



Universidad
del País Vasco

Euskal Herriko
Unibertsitatea



Escuela Universitaria
de Ingeniería
Vitoria-Gasteiz

Ingeniaritzako
Unibertsitatea Eskola
Vitoria-Gasteiz

GRADU AMAIERAKO LANA

ZUMAIAKO SANTIAGO ETA ITZURUN HONDARTZEN EZAUGARRITZE MORFOTOPOGRAFIKOA ETA GRANULOMETRIKOA



GEOMATIKA ETA TOPOGRAFIAN INGENIARITZA GRADUA

Egilea: Itziar Yeregui Echave

Tutorea: Ane Lopetegi Galarraga



2014-2015

*Eskerrak, Ane Lopetegiri emandako
laguntzagatik, familiari jasotako
animoengatik eta gelakide izan direnei,
karreran zehar bizitako
momentuengatik*

**ZUMAIAKO SANTIAGO ETA ITZURUN HONDARTZEN EZAUGARRITZE
MORFOTOPOGRAFIKOA ETA GRANULOMETRIKOA**

**CARACTERIZACIÓN MORFOTOPOGRAFICA Y GRANULOMÉTRICA DE LAS PLAYAS DE
SANTIAGO E ITZURUN DE ZUMAIA**

**MORPHOTOPOGRAPHIC AND GRANULOMETRIC DETERMINATION OF SANTIAGO AND
ITZURUN BEACHES IN ZUMAIA**

HITZ GAKOAK: Analisi granulometrikoa, analisi morfotopografikoa, profilaren eboluzioa, sedimentu garraioa

PALABRAS CLAVE: Análisis granulométrico, análisis morfotopográfico, evolución del perfil, transporte sedimentario

KEY WORDS: Granulometric analysis, morphotopographic analysis, beach profile evolution, sediment transport

LABURPENA:

Gradu amaierako lan honetan, Zumaia Santiago eta Itzurun hondartzetako hondar mugimendua aztertu eta laginen analisiak egin dira. Azterketa honek zazpi hilabeteko (2013 azaroa – 2014 maiatza) iraupena izan du, orotara bost neurketa topografiko eta bost aldiz laginak bildu direlarik hondartza bakoitzean. Ikerketa garaian, urteetako denborale gogorrenak egokitu dira, non hondar mugimendu handiak neurtu diren.

RESUMEN:

En este trabajo de fin de grado, se ha realizado el muestreo y análisis del movimiento de arena de las playas Santiago e Itzurun de Zumaia. El estudio ha tenido una duración de siete meses (noviembre 2013 – mayo 2014), en los cuales se han realizado cinco mediciones topográficas y cinco campañas de muestreos en cada playa. Durante este periodo, se han registrado algunos de los mayores temporales en los últimos años, debido a los cuales se han podido constatar grandes movimientos de arena.

ABSTRACT:

This dissertation consists of a study of the movement of the sand and the analysis of samples from Itzurun and Santiago beaches in Zumaia. The study lasted seven months (November 2013- May 2014), in which five topographic measurements and five sand sampling campaigns were carried out in each beach. During this period, the wheather conditions were the roughest in years which resulted in outstanding sand shifts.

MEMORIAREN AURKIBIDEA

| | | |
|-----------|---|-----------|
| 1. | <i>Sarrera</i> | 10 |
| 2. | <i>Ikerketa eremuaren kokapena</i> | 11 |
| 3. | <i>Helburuak eta metodoak</i> | 12 |
| 4. | <i>Euskal Herriko eta Zumaia inguruko klimatologia eta itsas dinamika</i> | 13 |
| 4.1. | <i>Klimatologia</i> | 13 |
| 4.2. | <i>Itsas dinamika</i> | 21 |
| 5. | <i>Urola ibaiaren bokaleko ezaugarriak</i> | 23 |
| 5.1. | <i>Urola ibaia</i> | 23 |
| 5.2. | <i>Urola ibaiaren bokala</i> | 24 |
| 6. | <i>Santiago eta Itzurun hondartzen ezaugarri orokorrak</i> | 36 |
| 7. | <i>Lan prozeduraren deskribapena</i> | 44 |
| 7.1. | <i>Azterketa morfotopografikoa</i> | 44 |
| 7.2. | <i>Azterketa granulometrikoa</i> | 57 |
| 8. | <i>Landa, laborategi eta bulego lanen emaitzak</i> | 65 |
| 8.1. | <i>Lehenengo kanpainaren emaitzak</i> | 65 |
| 8.2. | <i>Bigarren kanpainako emaitzak</i> | 75 |
| 8.3. | <i>Hirugarren kanpainaren emaitzak</i> | 85 |
| 8.4. | <i>Laugarren kanpainako emaitzak</i> | 95 |
| 8.5. | <i>Bosgarren kanpainaren emaitzak</i> | 105 |
| 8.6. | <i>Emaitza guztien sintesia</i> | 116 |

| | |
|--------------------------------------|------------|
| 9. Emaitzaren analisiak | 126 |
| 10. Ondorioak | 135 |
| 11. Aurrekontua | 137 |
| 12. Bibliografia | 139 |
| | |
| Eranskinak | 142 |
| A. Erpinen azalpen orriak | |
| B. Txosten meteorologikoak | |
| C. Planoak | |
| D. Argazki bilduma | |

TAULEN AURKIBIDEA

| | |
|---|-----------|
| Taula 1. Histogramaren zabaleraren mugak..... | 60 |
| Taula 2. Hautespen balioen sailkapena | 62 |
| Taula 3. Alborapen balioen sailkapena..... | 63 |
| Taula 4. Kurtosi balioen sailkapena | 64 |
| Taula 5. Itzurun hondartzan altxatutako puntuak [2013/11/01] | 65 |
| Taula 6. Santiago hondartzan altxatutako puntuak [2013/11/02] | 66 |
| Taula 7. Itzurun hondartzaren ezaugarri sedimentologikoak [2013/11/01]..... | 67 |
| Taula 8. Santiago hondartzaren ezaugarri sedimentologikoak [2013/11/02] | 71 |
| Taula 9. Itzurun hondartzan altxatutako puntuak [2013/12/08] | 75 |
| Taula 10. Santiago hondartzan altxatutako puntuak [2013/12/07] | 76 |
| Taula 11. Itzurun hondartzaren ezaugarri sedimentologikoak [2013/12/08]..... | 77 |
| Taula 12. Santiago hondartzaren ezaugarri sedimentologikoak [2013/12/07] | 81 |
| Taula 13. Itzurun hondartzan altxatutako puntuak [2014/01/17] | 85 |
| Taula 14. Santiago hondartzan altxatutako puntuak [2014/01/18] | 86 |
| Taula 15. Itzurun hondartzaren ezaugarri sedimentologikoak [2014/01/17]..... | 87 |
| Taula 16. Santiago hondartzaren ezaugarri sedimentologikoak [2014/01/18] | 91 |

| | |
|---|-----|
| <i>Taula 17. Itzurun hondartzan altxatutako puntuak [2014/02/16]</i> | 95 |
| <i>Taula 18. Santiago hondartzan altxatutako puntuak [2014/02/17]</i> | 96 |
| <i>Taula 19. Itzurun hondartzaren ezaugarri sedimentologikoak [2014/02/21]</i> | 97 |
| <i>Taula 20. Santiago hondartzaren ezaugarri sedimentologikoak [2014/02/21]</i> | 101 |
| <i>Taula 21. Itzurun hondartzan altxatutako puntuak [2014/05/15]</i> | 105 |
| <i>Taula 22. Santiago hondartzan altxatutako puntuak [2014/05/14]</i> | 106 |
| <i>Taula 23. Santiago hondartzan altxatutako puntuak [2014/05/14]</i> | 107 |
| <i>Taula 24. Itzurun hondartzaren ezaugarri sedimentologikoak [2014/05/16]</i> | 108 |
| <i>Taula 25. Santiago hondartzaren ezaugarri sedimentologikoak [2014/05/16]</i> | 112 |
| <i>Taula 26. Itzurun hondartzaren ezaugarri sedimentologikoak [2013/11/01 – 2014/05/16]</i> | 116 |
| <i>Taula 27. Santiago hondartzaren ezaugarri sedimentologikoak [2013/11/02 – 2014/05/16]</i> | 121 |
| <i>Taula 28. Itzurun hondartzako hondar bolumen diferentziak (bolumen kalkuluan, laukien tamaina 1 m)</i> | 128 |
| <i>Taula 29. Santiago hondartzako hondar bolumen diferentziak (bolumen kalkuluan, laukien tamaina 1m)</i> | 131 |
| <i>Taula 30. Ingeniariaren orduko kostua</i> | 137 |
| <i>Taula 31. Proiektuaren gastu suntsikorrik</i> | 137 |
| <i>Taula 32. Proiektuaren gastu ez suntsikorrik</i> | 138 |
| <i>Taula 33. Proiektuaren kostu totala</i> | 138 |
| <i>Taula 34. Proiektuaren kostu totala (bez-a eta irabaziak barne)</i> | 138 |

GRAFIKOEN AURKIBIDEA

| | |
|--|----|
| <i>Grafikoa 1. Prezipitazioa Zarautzen (2012)</i> | 15 |
| <i>Grafikoa 2. Prezipitazioa Zarautzen (2013)</i> | 15 |
| <i>Grafikoa 3. Prezipitazioa Zarautzen (2014)</i> | 15 |
| <i>Grafikoa 4. Tenperatura Zarautzen (2012)</i> | 16 |
| <i>Grafikoa 5. Tenperatura Zarautzen (2013)</i> | 16 |
| <i>Grafikoa 6. Tenperatura Zarautzen (2014)</i> | 17 |
| <i>Grafikoa 7. Haizearen abiadura Zarautzen (2012)</i> | 19 |

| | |
|--|----|
| Grafikoa 8. Haizearen joera Zarautzen (2012) | 19 |
| Grafikoa 9. Haizearen joera Zarautzen (2013) | 19 |
| Grafikoa 10. Haizearen abiadura Zarautzen (2013) | 19 |
| Grafikoa 11. Haizearen joera Zarautzen (2014) | 20 |
| Grafikoa 12. Haizearen abiadura Zarautzen (2014) | 20 |
| Grafikoa 13. Azaroa (2013) eta maiatza (2014) bitarteko olatu altuera maximoak | 22 |
| Grafikoa 14. Laginen histogramak (Itzurun – shoreface – 2013/11/01)..... | 68 |
| Grafikoa 15. Metatze-kurbak (Itzurun – shoreface – 2013/11/01) | 68 |
| Grafikoa 16. Laginen histogramak (Itzurun – foreshore – 2013/11/01)..... | 69 |
| Grafikoa 17. Metatze-kurbak (Itzurun – foreshore – 2013/11/01)..... | 69 |
| Grafikoa 18. Laginen histogramak (Itzurun – backshore – 2013/11/01)..... | 70 |
| Grafikoa 19. Metatze-kurbak (Itzurun – backshore – 2013/11/01)..... | 70 |
| Grafikoa 20. Laginen histogramak (Santiago – shoreface – 2013/11/02)..... | 72 |
| Grafikoa 21. Metatze-kurbak (Santiago – shoreface – 2013/11/02)..... | 72 |
| Grafikoa 22. Laginen histogramak (Santiago – foreshore – 2013/11/02) | 73 |
| Grafikoa 23. Metatze-kurbak (Santiago – foreshore – 2013/11/02) | 73 |
| Grafikoa 24. Laginen hitrogramak (Santiago – backshore – 2013/11/02) | 74 |
| Grafikoa 25. Metatze-kurbak (Santiago – backshore – 2013/11/02) | 74 |
| Grafikoa 26. Laginen histogramak (Itzurun – shoreface – 2013/12/08)..... | 78 |
| Grafikoa 27. Metatze-kurbak (Itzurun – shoreface – 2013/12/08) | 78 |
| Grafikoa 28. Laginen histogramak (Itzurun – foreshore – 2013/12/08) | 79 |
| Grafikoa 29. Metatze-kurbak (Itzurun – foreshore – 2013/12/08) | 79 |
| Grafikoa 30. Laginen histogramak (Itzurun – backshore – 2013/12/08)..... | 80 |
| Grafikoa 31. Metatze-kurbak (Itzurun – backshore – 2013/12/08) | 80 |
| Grafikoa 32. Laginen histogramak (Santiago – shoreface – 2013/12/07) | 82 |
| Grafikoa 33. Metatze-kurbak (Santiago- shoreface – 2013/12/07) | 82 |
| Grafikoa 34. Laginen histogramak (Santiago – foreshore – 2013/12/07) | 83 |
| Grafikoa 35. Metatze-kurbak (Santiago – foreshore – 2013/12/07) | 83 |
| Grafikoa 36. Laginen histogramak (Santiago – backshore – 2013/12/07) | 84 |
| Grafikoa 37. Metatze-kurbak (Santiago – backshore – 2013/12/07) | 84 |
| Grafikoa 38. Laginen histogramak (Itzurun – shoreface – 2014/01/17)..... | 88 |
| Grafikoa 39. Metatze-kurbak (Itzurun – shoreface – 2014/01/17) | 88 |
| Grafikoa 40. Laginen histogramak (Itzurun – foreshore – 2014/01/17) | 89 |
| Grafikoa 41. Metatze-kurbak (Itzurun – foreshore – 2014/01/17)..... | 89 |

| | |
|--|-----|
| Grafikoa 42. Laginen histogramak (Itzurun – backshore – 2014/01/17) | 90 |
| Grafikoa 43. Metatze-kurbak (Itzurun – basckshore – 2014/01/17) | 90 |
| Grafikoa 44. Laginen histogramak (Santiago – shoreface – 2014/01/18) | 92 |
| Grafikoa 45. Metatze-kurbak (Santiago – shoreface – 2014/01/18) | 92 |
| Grafikoa 46. Laginen histogramak (Santiago – foreshore – 2014/01/18) | 93 |
| Grafikoa 47. Metatze-kurbak (Santiago – foreshore – 2014/01/18) | 93 |
| Grafikoa 48. Laginen histogramak (Santiago – backshore – 2014/01/18) | 94 |
| Grafikoa 49. Metatze-kurbak (Santiago – backshore – 2014/01/18) | 94 |
| Grafikoa 50. Laginen histogramak (Itzurun – shoreface – 2014/02/21) | 98 |
| Grafikoa 51. Metatze-kurbak (Itzurun – shoreface – 2014/02/21) | 98 |
| Grafikoa 52. Laginen histogramak (Itzurun – foreshore – 2014/02/21) | 99 |
| Grafikoa 53. Metatze-kurbak (Itzurun – foreshore – 2014/02/21) | 99 |
| Grafikoa 54. Laginen histogramak (Itzurun – basckshore – 2014/02/21) | 100 |
| Grafikoa 55. Metatze-kurbak (Itzurun – backshore – 2014/02/21) | 100 |
| Grafikoa 56. Laginen histogramak (Santiago – shoreface – 2014/02/21) | 102 |
| Grafikoa 57. Metatze-kurbak (Santiago – shoreface – 2014/02/21) | 102 |
| Grafikoa 58. Laginen histogramak (Santiago – foreshore – 2014/02/21) | 103 |
| Grafikoa 59. Metatze-kurbak (Santiago – foreshore – 2014/02/21) | 103 |
| Grafikoa 60. Laginen histogramak (Santiago – backshore – 2014/02/21) | 104 |
| Grafikoa 61. Metatze-kurbak (Santiago – backshore – 2014/02/21) | 104 |
| Grafikoa 62. Laginen histogramak (Itzurun – shoreface – 2014/05/16) | 109 |
| Grafikoa 63. Metatze-kurbak (Itzurun – shoreface – 2014/05/16) | 109 |
| Grafikoa 64. Laginen histogramak (Itzurun – foreshore 2014/05/16) | 110 |
| Grafikoa 65. Metatze-kurbak (Itzurun – foreshore – 2014/05/16) | 110 |
| Grafikoa 66. Laginen histogramak (Itzurun – backshore – 2014/05/16) | 111 |
| Grafikoa 67. Metatze-kurbak (Itzurun – basckshore – 2014/05/16) | 111 |
| Grafikoa 68. Laginen histogramak (Santiago – shoreface – 2014/05/16) | 113 |
| Grafikoa 69. Metatze-kurbak (Santiago – shoreface – 2014/05/16) | 113 |
| Grafikoa 70. Laginen histogramak (Santiago – foreshore – 2014/05/16) | 114 |
| Grafikoa 71. Metatze-kurbak (Santiago – foreshore – 2014/05/16) | 114 |
| Grafikoa 72. Laginen histogramak (Santiago – backshore – 2014/05/16) | 115 |
| Grafikoa 73. Metatze-kurbak (Santiago – backshore – 2014/05/16) | 115 |
| Grafikoa 74. Bataz besteko sedimentu balioak (Itzurun) | 117 |
| Grafikoa 75. Hautespen balioen joera (Itzurun) | 118 |

| | |
|---|-----|
| Grafikoa 76. Alborapen balioen joera (Itzurun)..... | 119 |
| Grafikoa 77. Kurtosi balioen joera (Itzurun)..... | 120 |
| Grafikoa 78. Bataz besteko sedimentu balioak (Santiago) | 122 |
| Grafikoa 79. Hautespen balioak (Santiago) | 123 |
| Grafikoa 80. Alborapen balioen joera (Santiago) | 124 |
| Grafikoa 81. Kurtosi balioen joera (Santiago) | 125 |

1. Sarrera

Urola ibaiaren bokalean azken urteetan egindako eraikuntza lanek (parol muturreko luzapena, dikearen luzapena...) eragin zuzena izan dute Santiago hondartzaren bilakaeran. Dikeek babesa eskaintzen diote hondartzari eta ondorioz, ur lasaiak ditu, baina oso nabaria da urte gutxiren buruan, hondartzaren eta dunaren azalera abiada luzean zabaltzen ari dela.



Irudia 1. Santiago hondartzaren eboluzioa

Hondartzaren handitze hori ikusirik, bertako egoeraren azterketa bat burutzea erabaki da. Aldi berean, Zumaian beste hondartza bat izanik (Itzurun), bertako egoera ere aztertuko da, bien arteko antzekotasun zein ezberdintasunak bilduz.

Halaber, lan hau, Ane Lopetegi tutorearen laguntzaz, nik, Itziar Yereguik egin dut, gradu amaierako lan moduan.

Hain zuzen, lan honi dagokionez nire egin beharra, kanpaina ezberdinetan Zumaiako Santiango eta Itzurun hondartzen neurketa topografiko eta hondar laginen analisia egitea datza. Honela, kanpaina ezberdinetan lortutako emaitzak alderatu eta bi hondartzen ezaugarri fisiko eta sedimentologikoak aztertu eta parekatuko dira.

2. Ikerketa eremuaren kokapena

Zumaia, Gipuzkoako itsasertzean kokaturik, iparraldean Kantaure itsasoarekin, hegoaldean Zestoarekin, mendebaldean Debarekin eta ekialdean Getariarekin dauka muga. Herri honetan itsasoratzen dira Urola eta Narrondoko ibaiak, eta mendiezei inguraturik dago, mendi hauen artean garaien Izarraitz eta Indamendi direlarik.



Irudia 2. Ikerketa eremuaren kokapena (Zumaia)

Zumaiara bide ezberdinatik hel daiteke: 634 errepidetik (Donostia-Bilbo bidea), Bilbo-Behobia autopistatik, eta baita, barrenetik, Zumaia-Zumarraga eskualde errepidetik.

Urola ibaiaren itsasadarrean eraiki zen herri honek, bi motako hondartzta ditu. Alde batetik, ibaien bokaletan agertu ohi diren barra eta hareatza jatorria duen Santiago hondartza, eta bestalde Zumaia eta Deba artean dauden itsaslabarren oinpean sortutakoak (Itzurun eta Algorri).

✓ Santiago

Zumaia eta Getaria arteko mugetan, Urola ibaiaren bokalea eta kostako N-634 errepidearen artean kokatzen da; luzeran 350 m eta zabaleran bataz besteko 175 m ditu.



Irudia 3. Santiago hondartza

✓ Itzurun



Irudia 4. Itzurun hondartza

Herriaren sartaldean, Marianton eta Algorri muturren artean kokatzen den hondartzia irekia da Itzurun. Haitzek hiru zatitan banatzen dute hondartzia: San Telmo aldea (ermitapean), erdialdea, eta Marianton muturra. Luzeran 270 m eta zabaleran bataz besteko 75 m ditu.

3. Helburuak eta metodoak

Proiektuaren helburu nagusia Zumaiako Santiago eta Itzurun hondartzen azterketa morfotopografiko eta granulometrikoa egitea izan da. Hondartzen azterketa hau, 2013-2014 azaroa/maiatza artean egin da, guztira 10 neurketa topografiko eta 90 hondar ligin hartuz, Itzurun zein Santiago hondartzetatik.

Neurketak eta laginen bilketak, itsas beherako momentuak aprobetxatzuz egin dira, kasu gehietan denborale baten ostean. Neurketa topografikoak egiteko GPS-a erabili da eta laginen bilketak, 5-10cm sakoneran egin dira hondartzako gune ezberdinetan. Hain zuzen, kanpo lana egiten hasi aurretik, hiru profil zehaztu ziren hondarta bakoitzean (mendebaldean, erdialdean eta ekialdean) eta profil bakoitzean hiru puntu ezberdinatik hartu dira laginak: eremu infralitoralaren¹ goi ertzetik (shoreface), eremu mesolitoralaren² (foreshore) eta eremu supalitoralaren³ (backshore).

Bestalde, hainbat datu klimatologiko eta ozeanografiko bildu dira: marea taula, haizearen abiadura eta norabidea, eta baita olatuen altuera zein norabidea. Hondartzen begi bistako jarraipen bat ere egin da, emandako aldaketak zein gertaerak, argazki bilduma batean bilduz.

¹ Eremu infralitorala (shoreface): marea bizietan, itsasbehera arruntenak sortutako lerrotik behera.

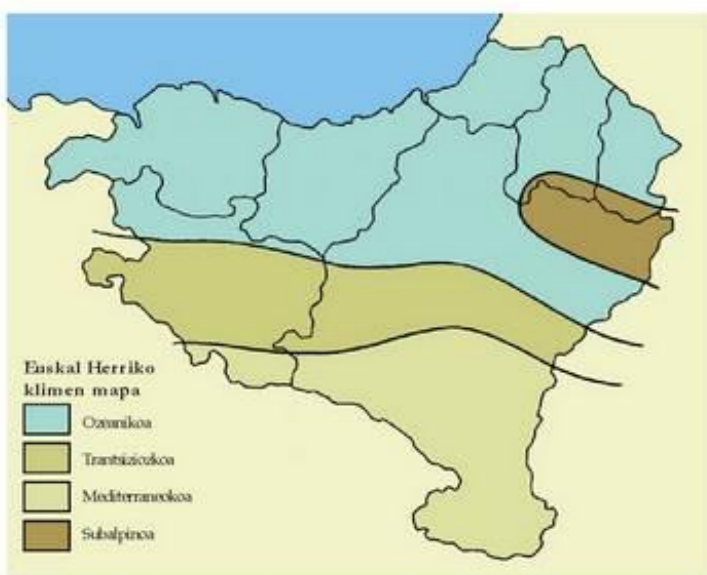
² Eremu mesolitorala (foreshore): Itsasbehera bakoitzean agerian geratzen den eremua.

³ Eremu supalitorala (backshore): marea biziak edo denboraleak itsasgoran zehazten duen mugatik gorako eremua.

4. Euskal Herriko eta Zumaia inguruko klimatologia eta itsas dinamika

4.1. Klimatologia

Euskal Herriak ez du klima aldetik eskualde homogeneo bat osatzen. Azaletik hiru alderdi bereiz daitezke:



Irudia 5. Klimaren araberako lurraldleen sailkapena

Isurialde atlantikoan Bizkaia, Gipuzkoa, ipar Euskal Herria ia oso-osorik, eta Arabako zein Nafarroako iparraldea sartzen dira; klima ozeaniarrean sartzen da bete-betean eta klima mesotermikotzat jo daiteke, temperaturei dagokienean nahikoa moderatua, eta prezipitazio aldetik oso euritsua.

Eguzki izpiek duten inklinazioa ezberdina izaten da urtarro bakoitzean. Euskadin, udako solstizioan (ekainaren 21ean) eguzkiaren inklinazioa 70° -koa izan ohi da gehienez, eta neguko solstizioan (abenduaren 21ean) gutxienez 25° -koa. Eguzkiaren argiak 16 ordu irauten du udan gehienez, eta 9 ordu inguru neguan gutxienez.

Latitudeak Euskadiko klima gehien baldintzatzen badu ere, Atlantikoko itsas korronteen sistemagatik ez balitz, neguko klima Euskadin askoz ere hotzagoa eta prezipitazio kopurua urriagoa litzateke.

Bizkaiko itsasoak berak ere eragin zuzena du Euskadiko isurialde atlantikoko kliman. Batetik, Kantaure aldeko haize ahul eta itsas brisaren ondorioz, itsasertzeo hezetasun-indizea altua izan ohi da eta bestetik, iparraldeko haizeak urak Bizkaiko golkoan (Kantaure aldeko erpinean) gerarazten ditu. Horrek ura ikaragarri gainberotuarazten du, eta, ondorioz, lurrunketa itzelak eraginda, zaparrada izateko aukera nabarmena izan ohi da euskal itsasertzean.

Erliebeak ere alde nabarmenak eragiten ditu zona orografiko batuetako eta besteetako parametro klimatikoen artean. Ingurune menditsuak tarteko, Atlantikoko haizeak ezaugarri ezberdiniek iristen dira Euskadira.

Penintsula HM-IE norabidean zeharkatzen duten aire-masa ozeanikoak, lehortu egiten dira bidean, eta Kantaurladerantz eta Frantziako hego-mendebaldeko lautadetarantz jaistekoan berotu egiten dira.

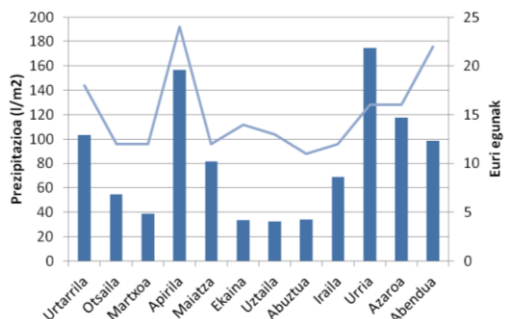
Haizea IM-koa denean ordea, euskal mendiak oso aproposak dira Atlantikoko aire-masak igarotzen uzteko, eta bizkor-bizkor egiten dute aurrera, Mediterraneo aldera. Haizeak gogor jo ohi du, eta euskal mendien erliebeak, ikaragarri errazten die bidea kondentsazioari, hodeiei eta azkenik prezipitazioari. Eta horrexegatik da euskal itsaserta Kantauri aldeko kostalderik euritsuena.

✓ **Prezipitazioa**

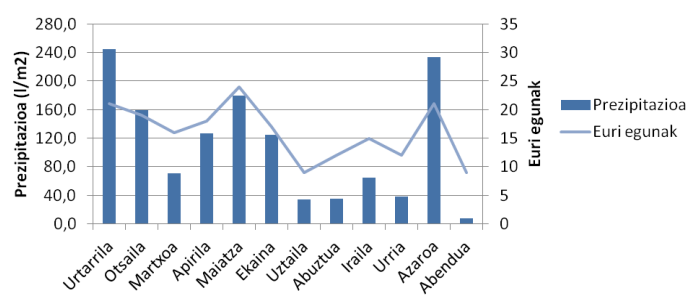
Orografiari begiratuz gero, prezipitazioen intentsitatea oso ondo ulertu daiteke. Batetik, euskal mendiek mendebal orientazioa dute eta mendebaleko mendilerro eta ekialdeko Pirinioak garaiagoak dira. Bestetik, Mediterraneo mendebaleko eskualde ziklo genetikoak nolabait ere airea xurgatu egiten du eta ondorioz, mendebaletik datorren haizea okertu eta Euskal Autonomia Erkidego osoa zeharkatuz bideratzen da Mediterraneorantz.

Hala ere, klima honetan prezipitazio-kopuruaz gain, kontuan izan behar da prezipitazio iraupena. Izan ere, askotan garrantzi handiagokoa izaten da zenbat denboran egiten duen euria, botatako ur-kantitatea bera baino.

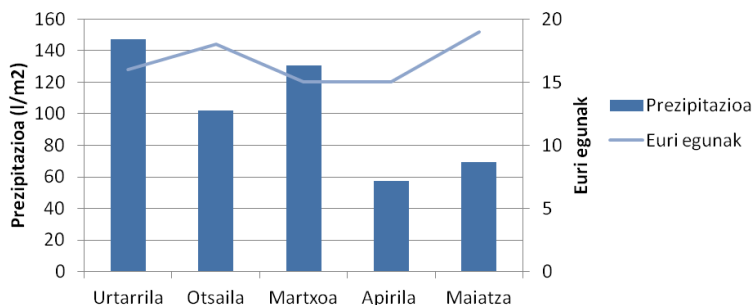
Txandaka-txandaka denetarik izaten dugu, euririk gabeko tarteak, lehortea, izugarrizko euri-jasak, eta prezipitazio motarik arruntena dugun, zirimiria. Euskalmet (Euskal Meteorologia Agentzia) web orritik 2012-2014 (maiataz) bitarteko datuak jaso dira. Zarautzen duen behatokian jasotako datuei esker irudikapen grafikoak egin dira, hilabetean jasotako prezipitazio kopuru zein euri egunekin.



Grafikoa 1. Prezipitazioa Zarautzen (2012)



Grafikoa 2. Prezipitazioa Zarautzen (2013)



Grafikoa 3. Prezipitazioa Zarautzen (2014)

2012 eta 2013ko irailean prezipitazio kopuruak antzerakoak izan baziren ere, urria - abendua bitartean alde nabariak bila daitezke. 2013ko urria eta abendua lehorragoak izan ziren, eta azaroan berriz euri-kopurua ia bikoiztu ($117,8 \text{ l/m}^2$ -tik $233,2 \text{ l/m}^2$) egin zen.

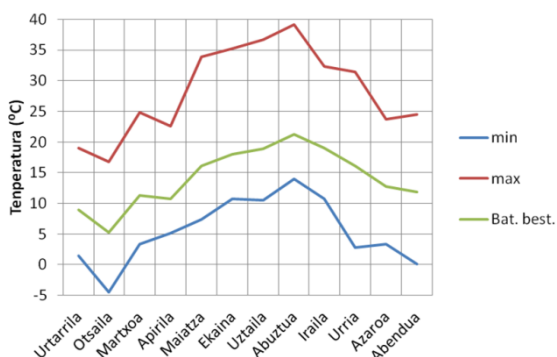
Aurtengo datuak alderatuz gero, Urtearen hasieran (urtarrila - otsaila) beste urtetako euri-egun kopuru antzerakoan izan badira ere, 2012an baino euri gehiago egin du eta 2013an baino gutxiago. Martxo berri, beste urteekin alderatuta oso euritsua izan da eta apiril-maiatza bitartetan euri-egun dezente izan badira ere, beste urteetan baino lehorragoak izan dira.

✓ **Tenperatura**

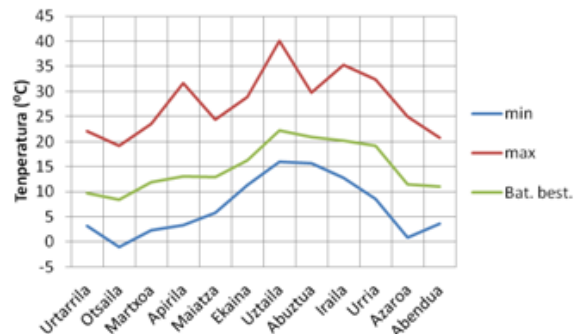
Hileko batez besteko tenperatura bitartek nahiko garrantzitsu eta esanguratsuak dira. Kostan, hilabete epelenen eta hotzenen arteko aldea 11 °C edo 12 °C-ren bueltan ibili ohi da, baina barrualdean 17 °C edo 18 °C-ra ere iritsi daiteke.

Kostaldeko behatokietan batez besteko temperaturarik altuenak uztaila-abuztuan erregistratu ohi dira. Udaberriko trantsizioko igoera, martxotik hasi eta ekainera bitartean, nahiko erregularra da, eta tenperatura pixkanaka igotzen da hilabete batetik bestera baina irailak nahikoa gordetzen badu ere udako berotasuna, urria heltzean tenperaturak zakar samar egiten du behera, aldaketa nabarmenagoa izaten delarik azaroan sartzean.

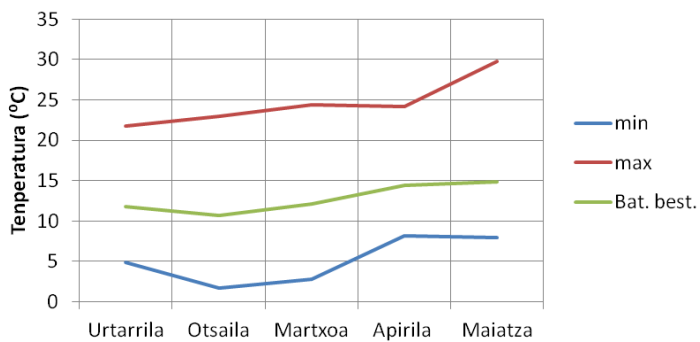
Hilabetez hilabete Zarautzko behatokian (Euskalmet, Euskal Meteorologia Agentziak emandako datuak) jasotako datuak beheko grafikoetan irudikatu dira, hilabete bakoitzean jasotako tenperatura maximo zein minimoak eta bataz besteko balioak adieraziz.



Grafikoa 4. Tenperatura Zarautzen (2012)



Grafikoa 5. Tenperatura Zarautzen (2013)



Grafikoa 6. Temperatura Zarautzen (2014)

Iraila eta abendu bitarteko hilabeteetan bataz besteko balioak antzerakoak izan ziren, balioek beherako joera erakusten dutelarik abuztuaz geroztik.

Bestalde, urtarriletik maiatza arteko bataz besteko tenperaturek urtez urte igoera nabarmena izan dutela azpimarra daiteke, tenperatura maximo eta minimoak gradu gutxi batzuk gora behera aldatzen direlarik.

Aipatzekoaz azkenik, tenperaturatik baxuena otsailean erregistratu direla azken bi urteetan (baita 2014an maiatza bitartean) eta balio maximoak, abuztua zein uztailean. 2014an berriz, maiatza bitartean, maiatzen jaso da baliorik handiena.

✓ Haizea

Eskualde geografiko bateko klima, neurri handi batean, jotzen duen haize nagusiaren ondorio da.

Gure herria, mendebaleko haize nagusiek zeharkatzen dute, meandro bikainak marratzuz, eta erdialdeko latitudeetako eskualdeetan hego edo iparreko aire korronteak edota arekiko kontrakorronteak sortuz. Ekialdeko haizeak berriz nahiko era erregularrean jotzen du.

Neguan, jet korrontea⁴ latitude baxu samarretan dabilenean, hau da 30 eta 40 gradu artean, nabarmen izaten dira mendebaleko zirkulazioak, depresioak eta hodei-fronteak. Udazkenean eta udaberrian, aire-fluxu horrek indarra galtzen duenean berriz, eguraldia ere aldakorrago egiten da normalean, eta aste batzuetan hegoko korronte epelak iristen diren bezala, hurrengoetan iparreko haize heze hotzek jotzen dute.

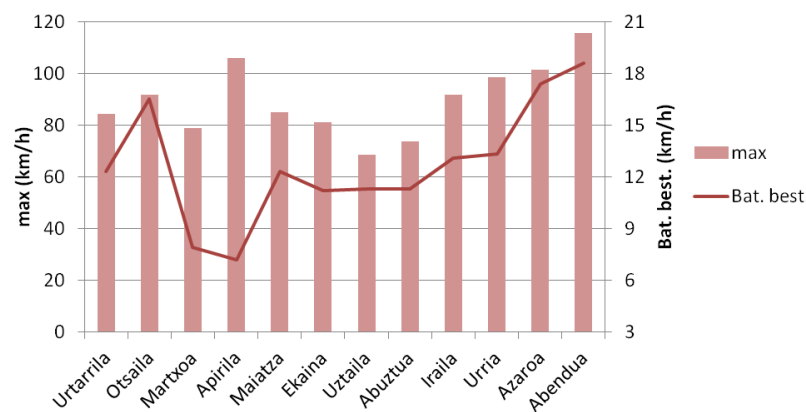
Udan, mendebaleko haizeen fluxu nagusiak iparrerantz egiten du eta ahuldu egiten da. Udako egun askotan, Euskal Herria antizikloaren ekialdean egon ohi denez, ipar-haizea nagusitzen da eta horrek indartu egiten ditu eguneko brisak.

Kostaldean negu mineko hilabeteetan jotzen du haizeak gogorren. Bestalde, Kantauri itsasoko hego-ekialdeko kostaldean, enbata sarri jotzen duen haize tipikoa da. Hasi martxotik eta urrira arte sor daitezke, baina udan maizago izaten dira eta bereziki arratsaldean sortzen den arren, gauean ere izaten dira.

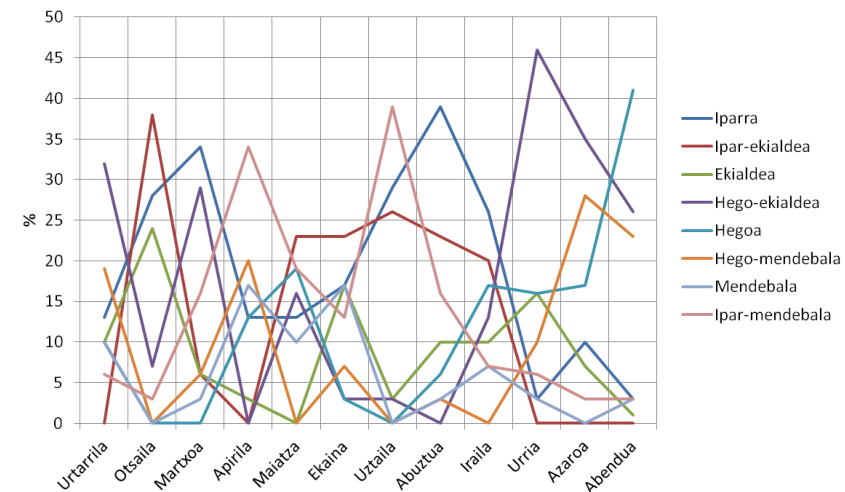
Herri bakotzeko haize norabide ohikoena, inguruaren topografiaren baitan dago. Hori dela eta, hondartzak aztertzeko orduan haizeak izan duen norabidea eta abiadura aztertzeko Euskalmetek eskura dituen Zarautzko behatokian jasotako datuak jaso eta irudikatu dira.

4 (Rossby) Jet korrontea "jet stream": troposfera goialdean behaturiko haizekada maximo bakoitzia. Hiru mota:

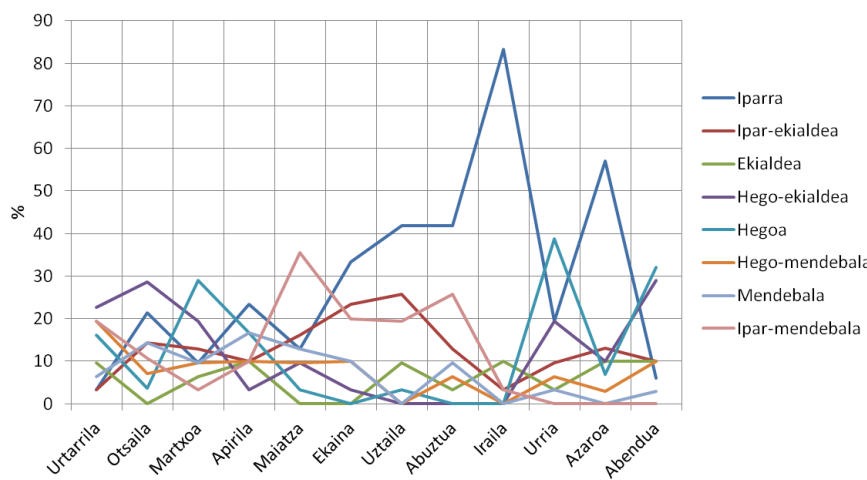
- Fronte polarreko jet korrontea: eremu epeleko depresioei lotuta (500 milibaretara behaturiko temperatura-gradienterik gorenarekin lotuta egoteagatik)
- Gau polarreko jet korrontea: neguan, 25 edo 50 milibaretara sortzen dena.
- Jet korronte subtropikalak: 200 milibare (neguan) eta 100 milibare (udan) artean garatzen dena.



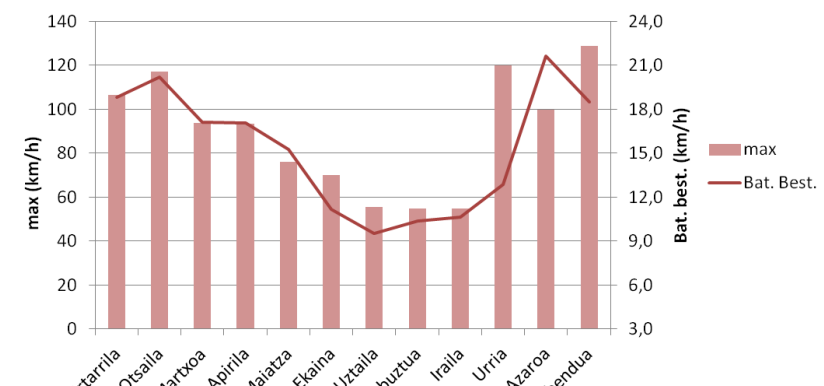
Grafikoa 7. Haizearen abiadura Zarautzen (2012)



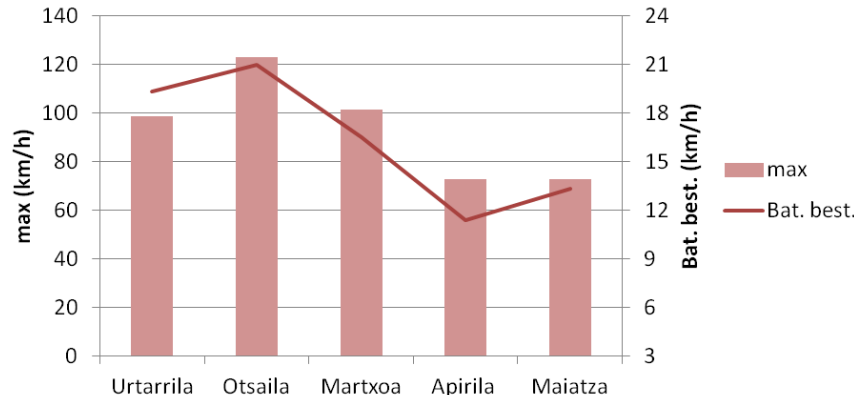
Grafikoa 8. Haizearen joera Zarautzen (2012)



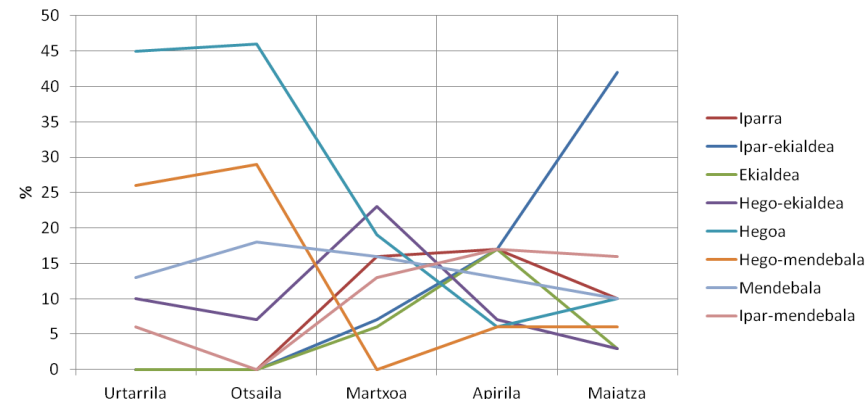
Grafikoa 9. Haizearen joera Zarautzen (2013)



Grafikoa 10. Haizearen abiadura Zarautzen (2013)



Grafikoa 12. Haizearen abiadura Zarautzen (2014)



Grafikoa 11. Haizearen joera Zarautzen (2014)

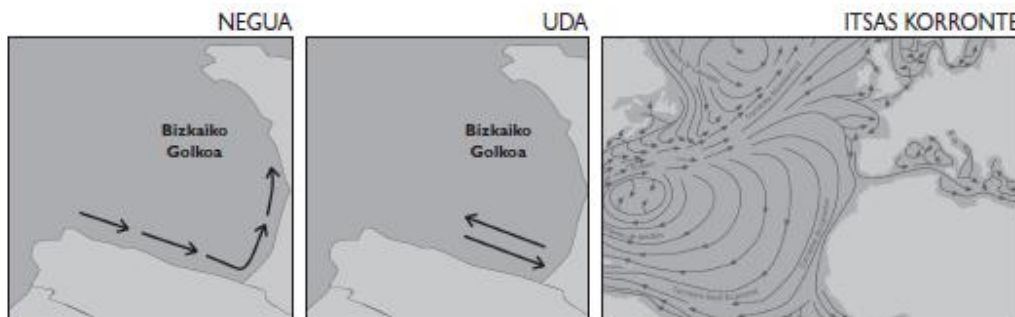
Urte batetik bestera balioak ez dute gorabehera handirik erakusten. Abuztuaz gerotzik, urte amaiera arte bataz besteko balioek gorako joera dute eta abiadura maximoak 2012-an zein 2013-an abenduan erregistratu ziren (115 km/h eta 128,8 km/h). Aurtengo urtarrila eta otsailean beste urteetan baino bataz besteko balio handiagoak jaso dira (19,3 – 21 km/h) eta martxoa maiatza bitarteko bataz besteko abiadurak, aurreko bi urtetako balioen artean (11,4-16,5 km/h) egon dira.

Bestalde, haizeak joera aldakorrik erakusten du urtean zehar. Orokorean ipar norabideko haizea nagusitu zen 2012-an eta 2013-an berriz, ipar, ipar-ekialde zein hego-ekialdeko haizeak nabarmendu ziren. Aruten, urtarrila zein otsailean batez ere hego norabideko haizea izan da, martxoan hego-ekialdeko joera izan zuen, apirilean norabidea aldakorra izan zen eta maiatzean berriz ekialdeko haizea nagusitu zen.

4.2. Itsas dinamika

Euskal Herriko itsasertzean bi zirkulazio mota aurki daitezke. Lehenak, negukoak, M-E norabidea du Kantauriko kostaldean eta H-I norabidea Frantziako itsasertzean. Korronte hori homogeneoa da, udazken amaieran edo neguan dago indartsuen eta milia bateko lastertasuna du haize nagusien eraginez.

Bigarren zirkulazio eredua uztailaren erdialdetik urriaren amaiera artekoa da. Korronte hori aldakorra da eta itsasertzaren parean mendebalerako norabidea hartzen du haize nagusien indarrez.



Irudia 6. Zirkulazio eredua

Aurtengo neguan, Euskal Herriko kostaldeak pairatu dituen denboraleak, azken urteetako bortitzenetakoak izan dira. Euskalmeten arabera, gutxienez 1965.urtera egin beharko litzake atzera ezaugarri berdintsuetako aurrekari bat aurkitzeko.

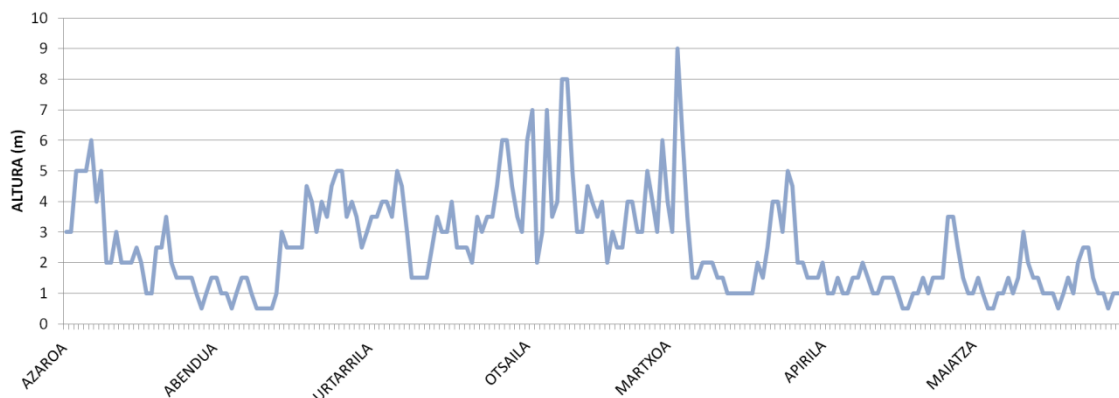
Azaroaren hasieran hasi ziren itsasoaren lehen mugimenduak, kostaldea 3-6 metro bitarteko olatuek kolpatu zuten. Urtearen amaierarekin batera, beste denborale bat izan genuen eta Itzurun hondartzan nabaria izan zen eragina. Izan ere, hondartzaren mendebalera joateko pasabidean zen ekialdean haitzak bistaratzen ziren. Egunetan barealdia egon bazen ere, urtarriaren 28an berriz ere olatu handiek kolpatu zuten kostaldea, bi hondartzetatik hondarra eramanez.

Hala eta guztiz, otsailaren 2ko denboralea izan zen gogorrena. Egun honetan beste egun batzuetan baino olatu txikiagoak izan baziren ere, itsaso

txarrarekin batera marea oso biziak egokituz ziren eta ondorioz sortutako kalteak handiak izan ziren. Besteak beste, hondartzako zein barra muturreko hormak puskatu zituen eta garabia uretarara bota zuen (ikus, eranskinetako argazki bilduma). Neguko azken denboralea martxoaren 4an izan zen eta hortik aurrera maiatza bitartean, itsasoak gorabehera txikiak erakutsi izan ditu.

Hondartzen azterketa garaian (2013/14 – azaroa/maiatza) olatu altuera zein jokabideari buruzko informazioa pasaiako buian jasotakoak hartu dira.

Azaroa - maiatza bitartean orokorrean, hondoko itsasoak ipar-mendebaleko (%65) norabidea izan du. Kasuren batzuetan mendebala (%30) eta oso gutxitan iparra (%5). Hala ere, aipatu beharra dago bi hondartzek ez dutela berdin jasaten olatuen indarra. Itzurun hondartzta itsas zabalera irekia dago eta olatuek ez dute inolako oztoporik hondartzara iristeko, guneren batzuetan dauden haitzak salbu baina Santiago hondartzza berriz, babestua dago Urola ibaiaren bokalean eraikitako kai-muturrekin eta ondorioz, olatu txikiagoak aurkituko ditugu bertan.



Grafikoa 13. Azaroa (2013) eta maiatza (2014) bitarteko olatu altuera maximoak

5. Urola ibaiaren bokaleko ezaugariak

5.1. Urola ibaia

Urola ibaia, Oria eta Deba arroen artean, Gipuzkoan dago oso osorik. Ibaiak hegoaldetik iparralderako bidea egiten du, hain zuzen ere, Aizkorri mendiaren magaletik hasi eta Zumaian itsasoratu arte (Kantauri itsasoa). Ibilbideak, 63,5 km ditu, urteko bataz besteko emaria $10,8 \text{ m}^3/\text{s}$ da eta ibaiaren arroa $337,5 \text{ km}^2$ da gutxi gorabehera.

Urola ibaiak sortzen duen bailara hiru eskualdetan banatzen da; batetik, Urola Garaia izenekoa, hau Legazpiraino luze da; bestetik Urola Erdia, Legazpitik Aizarnazabaleraíno doana; azkenik Urola Kosta, Aizarnazabaletik itsasoratu arteko bidea egiten duena.



Irudia 7. Gipuzkoako ibaien eta ibarren mapa

Urola ibaiaren sorburua Aizkorri mendilerroaren inguruetan dago, Legazpi herriaren udal barrutian, Brinkola eta Barrendiola errekatxoak elkartzean

sortua; errekatxo horiek era berean beste ur laster txiki batzuen elkartzetik sortuak dira (Pagola, Aierdi, Altzola).

Zati horretan harana oso estua da, eta ibaia mehartu egiten da mendien artean, ibaiadarren ur ekarpenik ia ez duela (uhar txiki batzuk kenduta). Goi ibilguan hainbat herri zeharkatzen ditu, hala nola Legazpi edo Urretxu; herri horietan, hiri eraikinek estaltzen dituzte ibilguaren zati handiak.

Azkoitira iritsita, Urola ibaiaren arroa zabaldu egiten da, eta adarrak eratzen dira; ezkerretik Katuin errekatxoaren ur ekarpenak hartzen ditu, eta eskuinetik, Ibaieder edo Urrestilla eta Errezil errekatxoak elkartzen zaizkio. Hor, Azkoitia eta Azpeitia herrien artean, Gipuzkoako ibai lautadarik zabalena eratzen du Urola ibaiak. Iraetatik aurrera, ibilgua zabalago bihurtzen da, eta azken kilometroetan mantso eta ur emari handiz jaisten ditu, Aizarnazabal baino lehentxeago Altxolaras errekatxoaren urak ere hartzen dituelarik. Behe ibilgu horretan, ibaiak hainbat meandro berezi eta ikusgarri eratzen ditu eta ibaiak Zumaian amaitzen du bere ibilbidea, Kantauri itsasoan itsasoratz.



Irudia 8. Urola ibaiaren ibilbidea

5.2. Urola ibaiaren bokala

Urola itsasadarrak historikoki aldaketa handiak jasan ditu Zumaian, orain dela gutxi arte portua bertako biztanleen bizi iturri izan baita.

1790ko hamarkada oso garrantzitsua izan zen Zumaiako portuan, garai hartako egoera ekonomiko larria zela eta Udalak lehen sektorea berpizteko asmoz, lantzeko lurrik hedatzeko lanak burutu baitzituen; Urola ezkerraldeko ihitokietako lurren saneamendu lanak egin eta herritarren artean saldu ziren.

Paduraren saneamendurako lehen proiektu hura handia eta garrantzitsua izan zen, besteak beste, itsasoari kendutako urak urezta ez zitezen, hainbat altueratako dikeak eraiki baitziren. Hala ere, emaitzak ez ziren uste bezain onak izan, 1816an inolako giza akatsik egin gabe, ustekabean dikeak hautsi eta ibaiko urek erriberak hartu baitzituen, ondorio larriak sortuz.

Erribera berriak konpondu ondoren, portuko hobekuntza eta moldaketak geldituta egon ziren 1883. urterako arte.



Irudia 9. Urola bokala, kaia eta Arrangoletako zabalgunea egin aurretik

1841. urtetik aurrera, barnealdeko aduanak kostaldera eraman zirenean, Euskal Herrian eta bereziki Gipuzkoan, berpizkunde ekonomikoa ezagutu zen XX. menderako arte. Berpizkunde ekonomiko horren ondorioz, merkataritza trukeak ugari egin ziren eta komunikazioka hobetu, hori behar-beharrezkoak baitzen merkataritzari begira. Portuko merkataritzaren hedakuntzarekin batera garraioen iraultza gertatu zen, hau da, lurrikezko ontziak hasi ziren erabiltzen belaontzien ordez eta, halaber, ontzi tamaina eta edukiera ere handitzen joan ziren. Berehala ikusi zen Zumaiako portua ez zegoela garapen ekonomikoaren ondoriozko premiei erantzuteko prestatuta eta argi zegoen, azpiegitura modernoak sortzeaz gain, portuko bi arazo nagusiak ezinbestez konpondu behar zirela (barraren arriskua eta ibaiaren sakonera txikia).

Hori horrela, 1848ko maiatzean, badiaren mendebaldean elkarri lotutako bi kai egiteko erabakia hartu zuen udalbatzak. Alde batetik, sarbideko arazoak konpontzeko eta bestetik, merkataritzan eskatzen zituen azpiegitura eta zerbitzuak sortzeko.

Portuaren hobekuntzarako lehen proiektu orokorra, 1883ko iraila eta 1885eko azaroa bitartean idatzi zuen Francisco Lafargak (Gipuzkoako ingeniarien burua). Txostenean, honako lan hauetan egitea proposatzen zen:

1. *Merkataritza kaia.* 310 metro inguruko luzera izango zuen lerro zuzenean. Arroako ibaiadarreko zubi berritik irten eta biltegietara, kaietara eta arranpla handira helduko zen.
2. *Ibaia bideratzeko dikea.* Obra hori aurrekoaren jarraipena zen eta kaiaren iparraldetik abitzu Puntako Aritzaren zabaldeginaino iritsiko zen. Bi helburu lortu nahi zituzten horrela: alde batetik, kanalaren ibilbidea zuzendu eta sakonera handitzea, ibaiko nahiz itsasoko korronteek “sarrerako hondoak higa zitzaten”; bestetik, “sirga bide” gisa eta ontziei laguntzeko kai gisa ere nahi zuten erabili.
3. *Puntako Aritzako zabaldegia.* Lafraga jaunak hiru ataletan banatu zituen obrak:
 - a. *Zabalgunea:* Leku lau bat nahi zuen egokitutu, Infernupeko errepeideko produktuak garraiatu eta norabide guztietan banatzeko.
 - b. *Puntako Aritzaren eraisketa:* Punta hori ebaki egingo zen ibaiaren ibilbide berriari jarraiki. Horrela, korronteen hustuketa abiadura eta ibaia betetzeko prozesua ez lirateke motelduko.
 - c. *Kaia:* ibaiaren ibilbidea luzatzea eta zabaldegiaren lubeta horma edo “hegal” perpendikular baten bidez eustea.
4. *Barra bideratzeko dikea.* Puntako Aritzatik olatu hormaraingo zabalduko zen. Ibaiaren mendebaldeko erribera bideratzea zuen helburu, ibaiaren korronteak barraraino eramateko.
5. *Barrako olatu horma.* Olatu horma eta barra gutxienez 40 metro luzatu nahi zuen. Horrela, ontziak Ipar-ekialdeko ekaitzetatik babestuz eta olatuak motelduz ibaiaren sarrerara iristen lagunduko zuen.
6. *Olatu desbideratzailea.* Kanaleko leku arriskutsuena Ipar-mendebaldeko ekaitzek eragindako olatuetatik babesteko asmoz egingo zen.

Lafargaren proiektuak akatsak zituela ikusi eta 1887ko ekainean proiektu berria onetsi zen. Aldaketak hasierako aurrekontua igo zuen eta Lafragak proiektuaren exekuzioa arriskuan ikusirik, barraren eta kanalaren nabigagarritasun baldintzak hobetzeko ezinbestekoak ziren obrak besterik ez

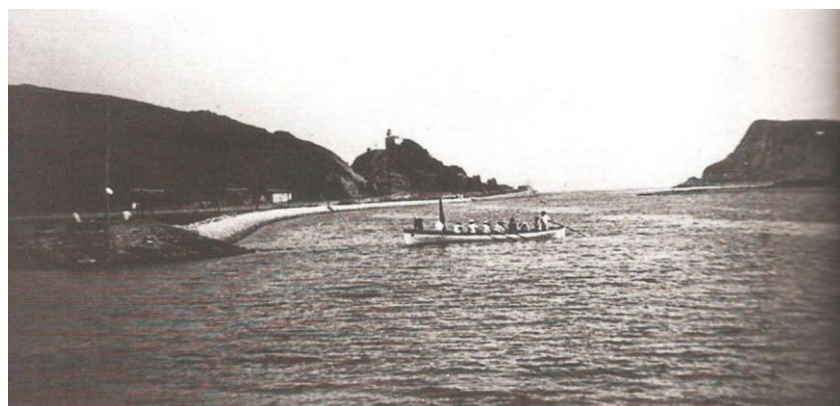
egitea proposatu zuen. Proposamena onartu eta handik hilabete gutxira obrak esleitzeko lehiaketa burutu zen. Obra horren emaitzak oso onak izan ziren; portu handia egin zuten eta Zumaiako Udalarentzat bultzada ekonomiko garrantzitsua eragin zuen, Arrangoletako padurako hiribildua handitu egin baitzen.

XIX. mendea Ignacio Fort ingenieriak Santiago paduraren saneamendurako idatzi zuen proiektuarekin amaitu zen. Bere helburua lur horiek lehortu eta saneatzea zen nekazaritzarako erabil zitezen. Helburu hori lortzeko, dikeak eta malekoia egitea (gaur egun Urolaren ertzetan dauden antzekoak) eta iparraldean kai muturra eraikitza proposatu zuen.

Bere ustetan, aurkako korronteak Santiago hondartzako harea eramatzen zuen eta marearekin bat egitean, harea alboetan geratzen zen eta beraz, dikea eraikiz gero, ez litzateke aurkako korronterik sortuko.

Udala, Marinelen kofradia eta biztanle asko proiektuaren kontra jarri ziren honako bi arrazoia zirela-eta: aurreikusitako obrak eginez gero, Erribera Berrietako nahiz Zaharretako lurraldeko Alpersail izeneko lekuak suntsitu egingo ziren; gainera, kanaleko marearen azalera asko murriztuko zenez, zailagoa izango zen maniobrak egitea edo portuan irten eta sartzea. Baino bazegoen beste arrazoi bat ere: obrak egin ondoren geratuko zen marea espazioa ez zen nahiko izango pilatzen joango ziren ontziak andanan jartzeko.

Eztabaidea askoren ondoren, proiektua baztertuta geratu zen eta interes bakarra, itsasoari irabazitako lurren saneamendua izan zen. Horretarako, harribilera eraiki zuten mendebaldeko ibai ertzean, hau da, Arrangoletako Zabaldura izenez ezagutzen ziren lurretan.



Irudia 10. Arrangoletako dikea

1900. urtean hasi zen Zumaiako portuen obren bigarren fasea: Estatuak Zumaiako Udalari lagatako lurren saneamendua. Julian Soriano bide ingeniariek, Zumaiako Udal korporazioak emandako mandatua betez, itxitura horma bat, Ondartxoko urak irtenarazteko estolderiaren eraikuntza eta Arrangoletako paduraren betetze lanak ingurueta zegoen hondar bankuaren dragatze lanetan lortutako materialez betetzea proposatu zuen.

Diru gorabeherak tarteko, obrak 1903. urteko azaroa inguruan hasi ziren, hondar bankuaren dragatze lanekin. Dragatze lan horiek beharrezkoak egin ziren gainera, azken urteetan hondar bankua asko zabaldu baitzen. Arazoa handia zenez, Arrate ingeriariak azterlan bat egin zuen Arrangoletako hondar bankuaren hazkunde azkarren arrazoiak argitzeko asmoz, eta lau faktore desberdinek batera egiten zutela adierazi zuen:

1. Arbilla garen Jute fabrikaren parean ibaia asko zabaltzen zelako.
2. Getariako errepideko metalezko zubiaren oinak eraikitzeko Urola ibaia desbideratu egin zelako.
3. Getaria eta Zumaia bitarteko errepidearen ertzetan islatzen ziren olatuak
4. Azkenik, hondar bankua sortzen zenean, mareak eragotzi egiten zituen eta etengabe hazten zen, aurreko hiru faktoreen eragina larriagoa eginez.

Proiektu lanak 1922. urtera arte luzatu ziren. Bitarte horretan, 1910an, Ignazio Zuloaga pintoreak Santiago hondartzaren erosi, etxea eraiki (1914) eta ermita erosi (etxea amaitu zuen urtean) zuen museo txiki bat jartzeko. 1916-1917 urteetan berriz, Zuloaga etxea itsasotik babesteko horma eraiki zen.



Irudia 11. Zuloaga etxea eta Santiago hondartzza

Urte batzuk lehenago Fort-ek aurkeztu zuen proiektuarekin gertatu zen bezala, Udala, San Telmo Marinelen kofradia eta zenbait biztanle aurka izan zituen proiektu horrek ere. Arrazoietako bat hauiek izan ziren:

- Santiajoko paduraren saneamendua eta Urola ibaiaren ezkerraldea bideratzeko lanak eginez gero, ibaiaren kanalak 35 metroko gutxieneko zabalera izango zuen, eta horrek ontziak igarotzeko eta merkataritza kaian karga eta deskarga eragiketak egiteko arazo handiak eragingo zituen.
 - Eskuineko ertzean proiektaturiko dikearen eraikuntzak itsaskia eragingo zuen behin eta berriro portuaren barnean.
 - Lur horiek maila ekinozioko marea bizietan lortzen zenaren azpitik zegoen, eta babesten zituzten malekoietai mailarik altuena ekinozio marea bizietan lortzen zen mailatik 35 zentimetrora besterik ez zegoen. Hori dela eta, ibaia bideratzeko lanak egiten baziren, ibaiko uraren maila lurraik babesten zituzten malekoien gainetik igo eta gainezka egingo zuen.
 - Zumaiaiko portuko baldintza fisikoek nahiz nabigazio balditzek okerrera egingo zutela. Alde batetik, portu osoan kanal hutsa geratuko litzakeelako libre eta bestetik, ibaia bideratzeko egingo zen luzera-dikearen azken zatiak olatuak itsaslabarrean haustera galaraziko zuen eta horiek, erreflexio efektuaren eraginez, itsaski iraunkorra eragingo zuten badiaren barnean. Ondorioz, ontziek ezingo zuten portuan babestu eta ezingo zituzten karga eta deskarga lanak behar bezala egin.

Arrazoi horiek medio, Sustapen Ministerioak ez zuen baimenik eman Santiagoko paduraren saneamendurako eta Urola ibaiaren eskuinaldea bideratzeko.

Udal korporazioak 1901. urtean Arbustaingo padura (Ondartxo) saneatzeko, betetzeko eta bertan eraikitzeko prozesua planteatu zuen. Hala ere, urte asko igaro zen Arbustaingo paduraren saneamendu eta beteketa lanak burutu baino lehen.

1911. urteko urtarrilean Victoriano Zelaia ingeniariek obren kontrataziorako proiektua eta baldintza plegua idatzi zituen. Padurako sarrerako ahoan hormabat eta arranpla eraikiko ziren, Arroako ibaiaren ibaiadarra dragatu egingo zen eta Puntako Aritza haitza errautsi. Obra horien helburua ibaia bideratu eta sakonera handitzea zen, barratik ontzi handiagoak igaro ahala izateko.

Obra paduraren beteketarekin eta itxitura hormaren eraikuntzarekin hasi ziren. Azken hori egiten ari zirela, ibaiadarra dragatzen hasi ziren eta dragaren ondorioz ateratako material eta hondakinak Ondartxoko dartsenan bota ziren.

Arbusaingo padura ixteko hormaren eraikuntza amaitu zenean, arranplaren eraikuntzan eta proiektaturiko gainerako obrei ekin zitzaien. 1919. urteko udan deskribatutako lan guztiak amaituta zeuden.

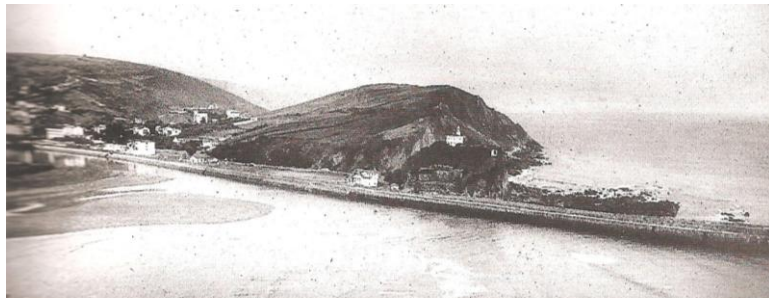


Irudia 12. Arbusaingo padura. 1915-16 bitartean, betetze lan istilutsuak

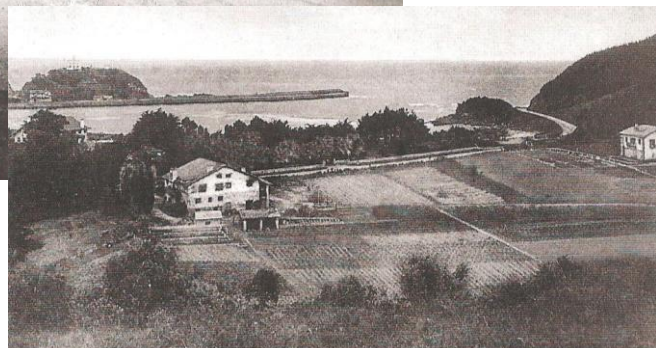
XIX. mendearren bukaeratik aurrera Zumaiko portuan egin zituzten azpiegitura lanek barraren eta kanalaren hidrodinamika eta nabigagarritasun baldintzak asko hobetu zituzten. Hala ere, emaitza hobeak lortuko ziren obra guztiak hasieran onetsi bezala gauzatu izan balira. Sustapen Ministerioaren aurrekontu egokitzapenek eragindako arazoengandik, “barrako kaiaren eta olatu hormaren” trazatuen aldaketak egin behar izan zituzten (ez zitzaion behar zuen zabalera eman) eta ezinezkoa izan zen Puntako Aritzako bankuaren errausketa lanak (1887. urtean hasitakoak) amaitzea.

Bestalde, Ondartxoren saneamendua eta Arroako ibaiadarraren dragatze lanak bukatu ondoren, merkataritzak, industriak, nabigazioak eta Hiribilduko ekonomiaren gainerako esparruek hazkunde handia izan zuten, eta horrez gain, Urolako Trenbidearen inaugurazioak ere onurak ekarri zituen. Hori horrela, 1922. urtean Zumaiko portuko sarbidea nahiko arriskutsua zen 200 tonatik gorako baporeentzat (batez ere neguan); barraren sakonera ez zen behar adinakoa eta ontziek hondoia jotzeko arrisku handia zuten. Beraz, ibaiaren nabigazio baldintzak eta sakonera hobetzeak lehentasuna zuen

Zumaiako portuaren etorkizunari begira. Gipuzkoa eta Nafarroako portu ingeniarien ustez, barra nahiz olatu horma gutxienez 50 metro luzatuz eta 15x2 metroko oinarria zuen Puntako Aritza izeneko bankoaren arrastoak desagerrarazi behar ziren, leku horretan ibaiak sakonera handiagoa izan zean.



Irudia 13. Paol muturrak bi garai:
XIX. mende bukaera eta XX.
mende hasiera



Irudia 14. Bigarren garaia: 1927-28an

Olatu hormaren luzapen lanak eta Puntako Aritzaren errausketa 1927ko azaroaren 26an egindako enkantean esleitu ziren. Lanak hurrengo hilabeteetan burutu ziren eta 1928ko abenduan nahiko aurreratuta zeuden. Obra horiek hobekuntza nabarmenak ekarri zituzten eta sarrerako nahiz barrako baldintzak asko hobetu zituzten, bai amaieran eta baita obrek iraun zuten bitartean ere.

Bitarte horretan, 1922ko ekainean, Zumaiako Udalak eta Urola bailarako hainbat enpresarik Gipuzkoako Foru Aldundiari, karga eta deskarga lanak bagoietatik ontzietara eta alderantziz zuenean egiteko leku eta edukiera nahikoa izango zuen kai bat egitea eskatu zien. Horrela, Probintziako eta bereziki eskualdeko komunikazio sarea eta azpiegiturak asko hobetuko ziren, Urolako trenbidea porturaino irten bazen, merkatalgaien garraioa merkeagoa izango zen eta itsas trafikoa Zumaiatik bidera zitekeen, ordura arte Bilbo, Donostia eta Pasaiako portuak erabili behar baitziren.

Proiektuaren egilea Nicolas de Bizkarrondo azpeitiarra izan zen, eta Urola ibaiaren ezkerraldearen mendebaldeko muturrean 100 metro inguruko kaia eraikitzea proposatu zuen. Horretarako ezinbesteko zen babez malekoiaaren ondoko padura aprobetxatzea eta, beraz, betelana egin behar zen aipatutako malekoitik ekinozioko itsasbeheraren inguruetaraino, betelanaren kanpoko ezponda harri-hormaz babestuz.

Aldundiaren kaia martxan jarri ondoren, Zumaiko eta inguruetako ekonomia suspertu egin zen. Inauguratu ondoren, ordura arte Donostiako edo Pasaiako portua erabiltzera behartuta zegoen itsas trafiko hura Zumaiko portura etorri zen. Hala ere, 1930.

urtearen hasieran portuaren hedapen zikloa etenda geratu zen. 1929an mundu mailako produktu salerosketa krisaldi larria jasan zuen gehiegizko produkzioaren ondorioz.



Irudia 15. 1926tik aurrera bukatutako Urolako moila (moila berria)

Urolako Merkataritza Kaiaren inaugurazioaren ondorengo urteetan ibaiaren sakonera gutxitzen eta, ondorioz, arazoa larritzen joan zen. Portuaren lokazte maila altuegia zenez, okerren zegoen eremua, hau da, merkataritza kaiaren pareko Narrondo ibaiaren zatia dragatzeko baimena eman zuten.

Lan horrek kanalaren sakonera txikiaren arazoa neurri batean eta epe laburrerako besterik ez zuen konpondu eta ibaiko sedimentuen pilaketa konpondu gabe geratu zen. Sakonera gutxitzen joan zen. Horrela, merkataritza kaiaren eta bokalearen bitarteko eremuan (ontziek portuan sartu eta irteteko gehien erabiltzen zuten eremua) sakonera metro bat baino gutxiagokoa izatera iritsi zen ekinozioko marea bizietako itsasbeheretan. Gauzak horrela, behar-beharrezkoa zen kanalaren sakonera handitzea eta bere horretan mantentzea. Bi aukera zituzten: dragatze lanak sarritan egitea (garestiak ziren oso) ala ibaia bideratzea, hustuketa korronEEK sakonera berez manten zezaten. Herrilan Zuzendaritza Nagusiak bigarren bidea aukeratu zuen.

Bi zati bereizi ziren dikearen diseinuan: barneko aldea eta kanpoko aldea. Lehenengoa kostako errepidearen burdinazko zubitik abiatu eta Santiagoko Hareatzaren muturreraino iritsi zen. Bere helburua kanalean beharrezko sakonera izatea zen (mareak ongi bideratuz). Gainera, Bizkaiko Golkoan ohikoak diren ekaitzek eragindako itsasgora bizietan urak portuaren barneko aldea estaltzen zuenez, sekzio horren altuerak ahalik eta txikieta izan behar zuen, hau da, korrontearen garbiketa efektua ziurtatzeko modukoa izango zen, baina ez altuagoa. Bigarren atala hareatzaren muturretik barraraino iristen zen. Bere helburua portuko barraren baldintzak hobetzea zen. Zati horretan ez zegoen bideratze lanen altuera mugatzeko arrazoik, alderantziz baizik. Dikea ekinozioko itsasgora bizien mailatik gora igotzea komenigarria zela uste zen, horrela, arian ariko desbideratzearen bidez, olatuak portuan sartzea gararazteko, harri-lubetaren gainetik igarotzeko joera baitzuten.

Proiektua 1935eko apirilaren 30ean onetsi zen, baina Gerra Zibila hasi zenean, obrak ezin izan ziren Gerra amaitu arte abiarazi.



Irudia 16. Zumaia 1959

Eskuineko dikearen eraikuntzak kanaleko sakonera hobetu egin zuen, baina portuaren lokaztea ez zuen behin-betiko konpondu. Berriro ere, eta nahi baino sarriago, kanaleko zona jakin batzuetan dragatzen lanak egin behar izan ziren. Lanak ondorengoak izan ziren:

- a) barraren saneamendua (1954)
- b) maniobrak egiteko zirkuluaren garbiketa (1957)

c) barrako haitzen hondoa dragatzeko lanak (1961-1965)

1950eko hamarkadaz geroztik, portuan merkataritzarako itsas trafikoa gehitzen zen neurrian, garbi geratu zen bertako kaiet itsasotik iristen zen trafiko guztia jasotzeko gutxieneko baldintzak ez zituztela betetzen. Arazoa handitzen zohoala ikusirik, kaia 12 metro zabaltzea eta ahalik eta luzeena egitea (150 metro) aurreikusten zen. Proiektu horrek bazuen beste abantaila garrantzitsu bat ere: kanalaren nabigazio baldintzak asko hobetuko zituen. Proiekaturiko zabaldurak metro erdi sakonagoa egingo zuen, eta gainera, sakonera hori mantentzeko ez ziren dragatzen lanak etengabe egin beharko. Kaia zabaltzeko lanak 1965eko abenduan hasi eta 1968ko ekainaren erdialdera amaitu ziren.



Irudia 17. Zumaia 1969

Merkataritza kaiaren zabalkuntza lanak amaitu ondoren portuan egin ziren inbertsioak instalazioen mantenumendurako lanetara mugatu ziren: Urolako eta Narrondoko merkataritza kaien dragatze lanak eta oinezkoentzako igarobidearen eraikuntza. Dinamika horrek inflexio puntu bat izan zuen 1992.urtean Zumaia 2005 Plan Estrategikoa idatzi zenean. Proiektu horren helburua portua azken urteetako lozorro ekonomikotik ateratzea zen.

Ordura arte merkataritza sektorearen beharrak konpontzeak bazuen lehentasuna, gero, ekonomikoki eraginkorra eta bideragarria ez zela ikusi

zutenez, merkataritza portu zaharra aisaldi eta turismo jardueretarako portu bihurtzena zuzendu ziren ahalegin guztiak. Helburu horiek lortzeko bi jarduera proposatu ziren Zumaia 2005 Plan Estrategikoan. Lehenengoa, dikea eta kontradikea iparralderantz luzatuz, barra bideratzea eta bigarrena, kirol instalazio nautiko bat egitea.

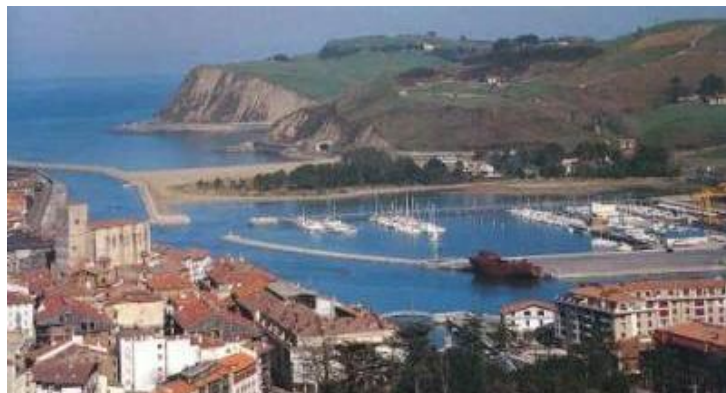
Barra hobetzeko obrei dagokienez, sei aukera proposatu ziren eta guztiekin filosofia bera zuten: egungo dikea nahiz kontradikea sakonera nahikoa duten zonetaraino luzatzea, horrela barraren amaiera ahalbidetu zedin. Proposamen arteko desberdintasuna dikek ipar-mendebaldetik ipar-ekialdera hartu behar zuten norabidean zetzan.



Irudia 18. Urola ibaiaren bokala gaur egun

Aukera horiek HICMA Madrilgo ingeniarri taldeak alderatu zituen eta, hirugarren aukera oinarritzat hartuz, beste aukera bat landu zuen. Kanpoko dikea eta kontradikea paraleloak izatea proposatu zuen; beraz, kanalak zabalera bera izaten jarraitzen zuen, Urolatik nahiz Narrondotik iristen ziren sedimentuak kanpora aterako zituen ur korrontearen abiadura gehitzeko. Azkenean, Eusko Jaurlaritzak HICMAren proposamena ontzat hartzea erabaki zuen.

Bestalde, Balenciaga ontziolaren ondoko kirol portuaren eraikuntza Zumaia 2005 planaren baitan eztabaidea gehien eragin zuen gaia izan zen. Alde batetik, hori egitea bidezkoa zen ala ez eta bestetik, kokalekua egokia zen ala ez eztabaideatzan zen. Eztabaideak hilabete batzuk iraun zuen eta ondoren, kirol portua Balenciaga ontziolaren jarraian eraiki zen, paduraren erdia erabiliz.



Irudia 19. Zumaia kirol portua

6. Santiago eta Itzurun hondartzen ezaugarri orokorrak

Hondartzen eraketa, itsasbazterreko higadura-fenomenoekin lotuta dago. Higadura-fenomeno hauek bi fase dituzte: higatzailea eta eraikitzailea.

Higatzailea ekaitzalditan gertatzen da bereziki. Itsas olatuak itsaslabarren aurka modu bortitzean lehertzerakoan, harri eta har-koskoak botatzen dituzte itsaslabarreko harkaitzen kontra. Honen ondorioz, itsaslabarra erori egiten da eta askatutako harri-puska hauek higadura-prozesu gogorragoa jasaten dute, tirainaren indarra dela eta bata bestearen aurka talka egiterakoan.

Higadura-prozesu honetan sortzen diren partikulak, sedimentazio-prozesuak eratzen dituzte itsas bareko egunetan. Hau da fase eraikitzailea. Partikula arinenak, itsasoak eramatzen ditu eta plataforma kontinentalean ezartzen ditu, sakontasun gutxiko inguru hauetan limoak metatz. Hareak eta hartxintxarrak kostaldean geratzen dira eta hondartzak eratzen dituzte itsaslabarren oinarrietan eta ibaien bokaleetan.

Agertzen direneko barruti geomorfologikoaren arabera, euskal kostaldeko hondartzak hiru multzo nagusitan bana daitezke: itsaslabarren oinarrietan itsas aldera eraikiak daudenak, itsasadarren bokalean daudenak eta badien barrualdeetan kokatutakoak.

Zumaian hain zuzen, bi mota ezberdinako hondartzak aurki daitezke. Batetik, itsaslabarren oinarrietan itsas aldera irekia dagoen hondartza estu eta txikia, Itzurun izenez ezaguna dena eta bestetik Urola bokalean kokatua dagoen Santiago hondartza.

✓ **Itzurun hondartza**

Itsasoari irekia, Marianton eta Algorri muturren artean kokaturik, luzeran 270 m eta zabaleran bataz besteko 75 m ditu Itzurun hondartzak.

Garaiera handiko itsaslabarren artean mugatua eta ipar-mendebaldeari begira olatuen indarra pairatzen du sarritan. Izaera aldakorra duen hondartza bizia da, itsasaldien eragina agerikoa da eta marea bizien garaian hondar azalera ia guztiz desagertzen da.



Irudia 20. Itzurun hondartza

Bertako balio paisajistiko, geologiko eta biologikoak direla eta, Deba - Zumaia Biotoxo Babestuaren barnean dago.

Hareak eta urak iodo kopuru handia dute, Kantauri itsasoan iodo gehien duen hondartza da hain zuzen. Uda amaierako eta udazken hasierako itsasoko denboraleek algak (*Gelidium mota*) errotik ateratzen dituzte itsas hondotik eta hondartzan pilatzen dira.

Aspaldi, Zumaiako baserritarrek abereen azpietarako eta simaurrakin nahastuta, sorok ongarritzeko erabiltzen zituzten. XX. mendeko 60ko hamarkadan komestikogintzarako biltzen hasi ziren eta gaur egun oraindik, ijitoen etniako familiak algak biltzen jarraitzen dute Itzurun hondartzan.



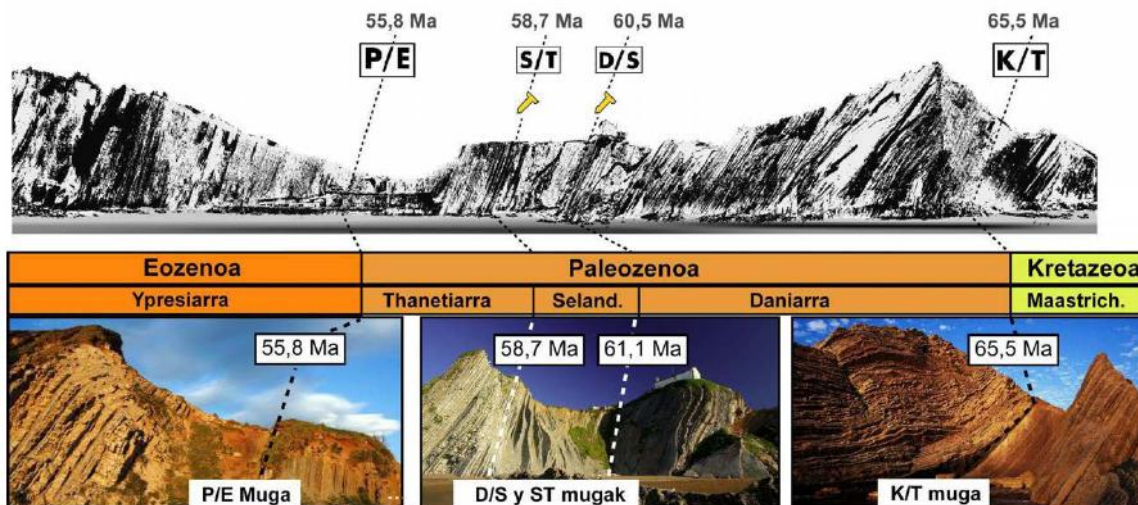
Irudia 21. Itzurun hondartza algez betea

Irudia 22. Algak jasotzen

Edonola ere, erregerreko geologikoaren aldetik dira interesgarriak Zumaiako labarrak. Deba aldetik Getaria aldera, gutxi gorabehera duela 100 milioi urtetik duela 50 milioi urtera bitarteko historia osoa dago jasota. Besteak beste, Itzurun hondartzan urre koloreko iltze baten bidez adierazita ageri dira Daniar/Selandiar eta Selandiar/Thanetiar denbora mugen estratotipoak⁵. Baita Paleozenoa eta Eozenoaren arteko trantsizioa definitzen duen denbora muga ere.



Irudia 23. Mugen kokapen mapa



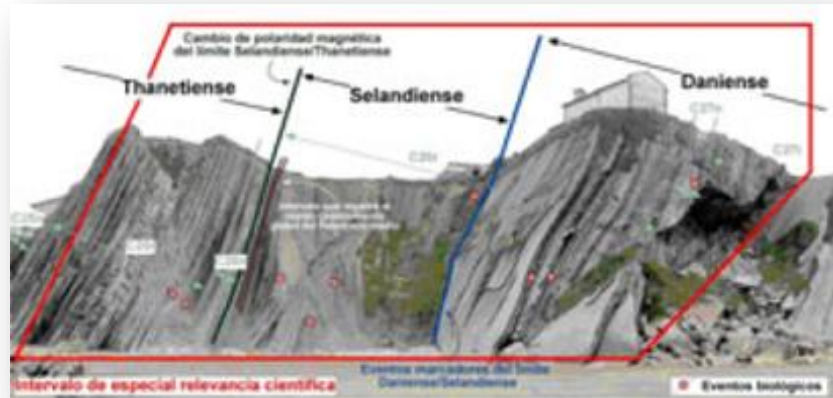
Irudia 24. Zumaiako muga geokronologikoak

5 Estratotipo edo GSSP (muga geokronologiko zehatz): IUGS taldeak (International Union of Geological Sciences) definitutako mugak dira, eta oinarrizko erreferentziak dira luraren historia aztertzeko.

- **D/S eta S/T MUGA:** *Daniar/Selandiar eta Selandiar/Tanetiar estaien mundu-mailako estratotipoak barne hartzen dituen tarte.*

2007ko ekainean, Paleocene working group taldeak Paleozénoko estratotipoak Zumaian kokatzea erabaki zuen.

Paleozenoa duela 65,5 milioi urteko K/T mugaren eta duela 56 milioi urteko P/E mugaren arteko garaia da. Geologiaren atal hori Zumaian oso-osorik ikus daiteke. Azaleratze guztiaren zatirik ezagunena eta ikusgarriena ere bada, Algorri punta, San Telmo aldea eta Itzurungo hondartzaren zati bat hartzen dituelako. Paleozénoko hamar milioi urteak hiru alditan banatuta daude: Daniarra (65,5-60,5), Selandiarra (60,5-58,7) eta Thanetiarra (58,7-56). Aldi horien guztien mugak oso ondo agertzen dira Itzurungo hondartzan. D/S muga itsas mailaren erorketa handi batek definitzen du eta S/T muga, berriz luraren magnetismoan emandako polo aldaketa batengatik ezagutzen da.



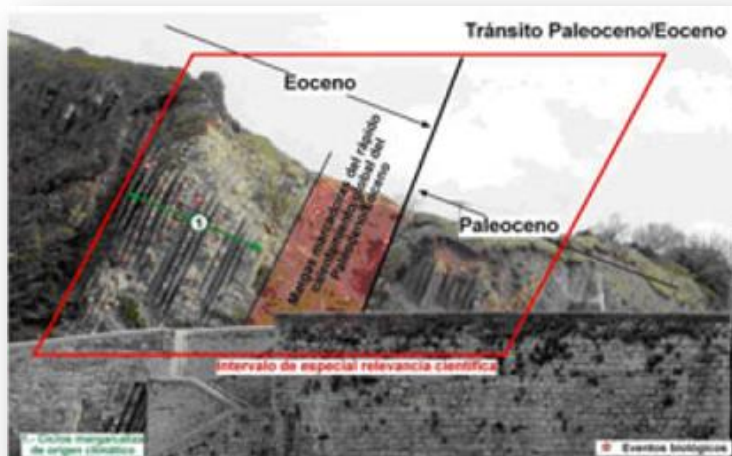
Irudia 25. D/S eta S/T mugak

- **P/E MUGA: Iurraren beroketa handia**

Paleozenoaren eta Eozenoaren arteko muga, duela 56 milioi urtekoa da. K/T-ko suntsipen handia gertatu eta hamar milioi urteratik, Lurraren historia geologikoko beroketa nabarmen eta azkarrenetako bat gertatu zen. Mundu osoan hainbat gauza eraldatu zituen: karbonoaren banaketa, ozeanoaren osaketa eta zirkulazioa, eta ekosistemak, baldintza berriei egokitutako behar izan baitzuten. Beroketa handi horrek eragin biotiko sakona izan zuen, bai

itsasoko komunitateetan, bai lurrekoetan; esaterako, ugaztun askok iparraldera migratu zuten eta bentoniko asko desagertu egin ziren.

Beroketa handi hori itsas hondo zaharrean erregistratu zen, orain Zumaiako geruzetan bistan dena. P/E muga Itzurun hondartzaren erdian dago, sarrerako eskulturen ondoan; lau metro inguruko zabalerako zati buztintsu gorrixka da. Zati hori aztertuz gero, P/E muga argi eta garbi zehazten duten anomaliak agertzen dira. Geruza buztintsuak honako berezitasunak ditu: itsasoko organismoaren oskolik ia ez dago (CaCO_3 bat-batean jaitsi baitzen) eta aldaketa isotopiko handiak ageri dira, ^{13}C eta ^{18}O isotopoek bat-bateko gainbehera izan baitzuten. Osaketaren aldaketa horiekin lotuta, geruzetan dauden mikrofosiletan ere aldaketa biotiko handiak ere antzeman daitezke beroketa honekin lotuta.



Irudia 26. P/E muga

Duela 56 milioi urte inguru gertatu ziren anomalia horiek guztiak ingurumen-al daketa sakon bat adierazten dute. Dirudienez, duela 56 milioi urte, Ipar itsasoan laba asko sartu zen; horrek ozeanoaren hondoko materia organikoa desegin eta CH_4 ugari isuri zuen. Isurketa honek ozeanoanoak azidifikatu zituen eta CH_4 hori eta CO_2 atmosferan sartzean, berotegi efektu handia sortu eta, ondorioz, Lurraren historiako beroketa handienetako bat ekarri zuen.

✓ Santiago hondartza

Urola ibaiaren bokalea eta kostako N-634 errepidearen artean Zumaia eta Getaria arteko mugetan kokatzen da Santiago hondartza; luzeran 350 m eta zabaleran 175 m ditu.

Dikeen luzapenek eragin zuzena izan dute hondartzaren bilakaeran. Urte gutxitan, hondartza eta dunaren azalera abiada handian zabaldu da eta era berean, dikek itsasoaren indarraren aurrean babesa eskaintzen diote hondartzari, ur lasaiak aurkitzen direlarik bertan.

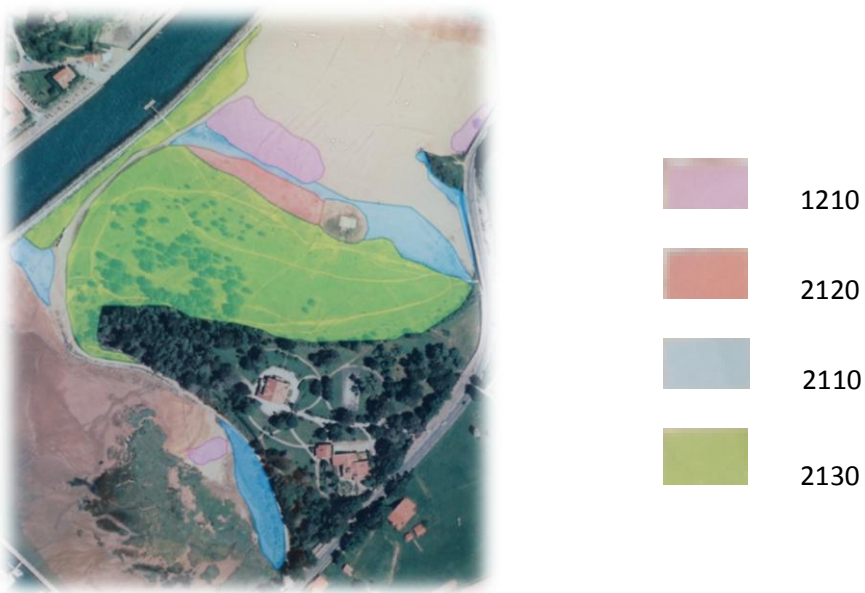


Irudia 27. Santiago hondartza

Hondartzaren atzealdean aurkitzen da, egun berreskuratze lanetan dagoen Urola itsasadarra Batasunaren Garrantzizko Lekuaren barne dauden duna eta padura. Euskal Herrian gelditzen diren bakarrenetako da Santiago hondartzakoa.

Duna sistema horretan landaretza berezia (136 espezie) bizi da eta mugimenduaren, gazitasunaren, eta lehortzearen aukako babesak dituzten espezieak bizi dira soilik. Landaretza hori ilaraka antolatzen da haizearen, itsasaldien eta kresalaren aurka espezie bakoitzak duen babesteko gaitasunaren arabera.

Dunak mugikorrik dira, haizeak hondar aleak atzerantz botatzen ditu, duna mugituz, eta hori egonkortzeko ezinbesteko lana egiten du bertako landaretzak. Dunaren azken zatian, berriz, egonkortu egiten da, eta duna grisa izena hartzen du; oro har landaretzaz estalirik egoten da zati hau.



Irudia 28. Santiagoko dunan agertzen diren habitatak, koloreka adierazita

- Metatutako itsas hondakinen gaineko urteroko landaretza (1210 habitata)

Hondartzaren goiko alde honetan, marea altuenekin olatuek materia organikoa metatzen dute. Eremu hauen kolonizazioa zaila da hareak elikagaiak metatzeko gaitasun txikia baitu. Gazitasunera moldatutako urteko espezieek osatzen dute komunitate hau.

Santiagon *Salsola kali*, *Cakile maritima*, *Polygonum maritimun*, *Sline nicaeensis* eta Honckenya *peploides* espezieak ikus daitezke, azken hau EAEn Kaltebera gisa sailkatua.



Irudia 29. *Sline nicaeensis*

- Itsasertzeko duna mugikorrik, *ammophila arenaria* landaredunak (duna zuriak) (2120 habitata)

Duna hauek helduagoak dira eta landare-estaldura handiagoa da. *Ammophila arenaria* subsp. *australis* da espezie egituratzalea baino



Irudia 30. Medicado littoralis

Santiagoko dunan azken urteetan desagertu egin da. *Aethorhiza bulbosa*, *Carex arenaria*, *Medicago littoralis*, *Pancratium maritimum*, *Calystegia soldanella*, *Eryngium maritimum*, *Euphorbia paralias* espezieak ere bertan hazten dira.

- **Duna mugikor embrionarioak (2110 habitata)**

Harea mugikorra den lehen lerro honetan landare iraunkorrik ageri dira. Gazitasun eta haize handiko eremua da eta era berean, drainatze altua duen ingurune lehorra da eta ondorioz, landare estaldura oso txikia aurkitzen da bertan.



Irudia 31. *Elytrigia juncea*
subsp. *boreoatlantica*

Habitat honetan espezie esanguratsuena *Elytrigia juncea* subsp. *boreoatlantica* graminea da. Espezie honekin batera *Calystegia soldanella*, *Eryngium maritimum*, *Euphorbia paralias*, *Aethorhiza bulbosa*, *Pancratium maritimum*... agertzen dira.

- **Kostako duna finkoak, landare belarkaradunak (2130 habitata)**

Landare belarkara eta zuhaixka txikiak nagusitzen dira substratu finkoetan. Landareen hazkuntzako baldintzak hobeak dira eta bertan agertzen den espezie kopurua altuagoa izatean landareek eremu batzuetan harea guztiz estaltzen dute. Landare espezie hauek agertzen dira: *Linaria supnina* subsp. *maritima*, *Helichrysum stoechas*, *Thymus praecox* subsp. *britannicus*, *Anthyllis vulmeraria*, *Koeleria albescens*, *Arenaria serpyllifolia*, *Lagurus ovatus* edo *Vulpia fasciculata*. Habitat honetan orkidea ikusgarriak ere agertzen dira.



Irudia 32. *Lagurus ovatus*

7. Lan prozeduraren deskribapena

Lan honetan Zumaiako Santiago eta Itzurun hondartzen azterketa morfotopografikoa eta granulometriko egin da, bertako egoeren nondik norakoak zeintzuk diren aztertuz.

7.1. Azterketa morfotopografikoa

Landa lanean, itsas-beherako unean bi hondartzen neurketa egin da (5 kanpaina) GPS-a erabiliz. Neurketa hauek burutzeko, lehenengo egin den gauza, bi hondartzetan puntu finko bana zehaztea izan da. Horretarako, puntuaren gainean basea estazionatu da, GPS-a tripode gainean jarritz. Behin argailua puntuaren finkatu eta bluetooth bidez hargailu eta terminalaren arteko konexioa lortu ondoren, lehenik terminalean Topsurv programa zabalduz hainbat parametro hartu behar dira kontuan: proiektuaren izena, lana ze motatakoa den (kasu honetan estatikoa), elebazio maskara, PDOP maskara, epoka, antenaren altuera eta neurketa modua (zuzena edo inklinatua) eta azkenik, behatu beharreko puntuaren izena. Bestalde, terminalean datuak sartzearekin batera, orri batean behaketa hasiera ordua zein bukaerakoa apuntatuko dira.

Parametro hauetatik garrantzitsuena, epoka izango da. Epokarekin, hargailuak zenbateko frekuentzian erregistratuko dituen datuak definituko da. Parametro hau, kanpo-lana burutu aurretik definituko da, bulegoan (GPS-a eta Topsurv softwarearen bitarte). Beste parametroak aldiz, kanpo-lana burutu ostean ere aldatu daitezke, alegia, kalkulu prozesuan.

Metodo estatikoaren parametroak definituak daudenean, behaketa estatikoarekin hasiko da, honetarako bi bide ezberdin izanik: TOPSURV edo MINTER. Lehengo kasuan, “*Inicio observación*” emanet hasiko litzateke neurketa eta bigarrenean, hargailuan dagoen FN botoia sakatuz. Behaketa amaitzean, “*Fin observación*” edo FN botoia sakatu beharko da.

Metodo estatikoan lan eginez, puntuetan finkatutako hargailuen artean base linea edo bektore tridimentsionala kalkulatuko da. Emaitza moduan, koordenatuen gehikuntzak (ΔX , ΔY , ΔZ) izango ditugu.

Behaketa denbora tarte zabal batean burutuko da, pare bat orduz gutxigorabehera eta bitarte horretan hondartzaren neurketa egiteko aprobetxatuko da beste GPS hargailu baten bitartez. Beraz, lehenengo eguneko landa lanean, koordenatu erlatiboekin egingo da lan eta behin bulegoan post-prozesua burutu ostean, eraldatuko dira koordenatu horiek.



Irudia 33. Santiago hondartzan, puntu finkoaren neurketa



Irudia 34. Itzurun hondartzan, puntu finkoaren neurketa

Hurrengo urratsa, roverra zuin gainean lotu, antena jarri eta piztea izango da. Basearen moduan, roverra ere bluetooth bidez konektatuko da libretara eta modu honetara konfiguratuko da:

- Configuración GPS: Tiempo real radio
- Sistema de coordenadas:
Proyección: SPAIN30 UTM ETRS89
Datum: ETRS89
Geoide: <ninguno>

- Unidades:

Distancia: metros

Angulo: grados (gones)

- Mostrar:

Tipo de coord.: Proyección

Orden de las coord.: este, norte, h

Behin guztia konfiguratu ostean, basea martxan dagoenez, hondartzaren neurketa egitean honekiko dituen differentziak lortuz lan egingo du.

Kasu honetan, hondartzak RTK (Real Time Kinematic) teknika erabiliz neurtu dira. RTK sistemek, estazio base bakarra (kasu honetan, estatiko erlatiboan neurtutako puntu) erabiltzen dute hargailu moduan eta unitate mugikorrei dagokionez, kopuru mugatua. Baseak, neurketak egiten dituen fase eramailea transmititzen du eta unitate mugikorrek bere neurketa faseak baseak jasotzen dituen neurketekin konparatzen ditu. Basetik unitate mugikorrera, seinalea zuzendu hori bidaltzeko hainbat aukera daude. Denbora errealean seinalea transmititu eta kostu baxua duen aukera, irratia modem bat erabiltzea da, normalean UHF bandan. Lurralde gehienetan, frekuentzia zehatz batzuk zehazki RTK erabilerako hautatzen dira eta ekipo topografiko gehienek, UHF banda modema integratua izaten dute aukera estandar moduan. Metodo honekin, 2cm-ko zehaztasuna lortzen da.



Irudia 35. Hondartzaren neurketa GPS bidez

Kanpo lana amaitzean, datuen deskarga egingo da. Roverreko datuak, hau da, hondartzan altxatutako puntuak terminaletik jasoko dira zuzenean. Estatikoan

jasotako datuak berriz, ordenagailuan PC-CCDU programaren bitartez **tps** formatuko fitxategi bat lortuko dugu.

Hasiera batean, GPS kalkulu bat egiteko puntu ezagun bat euskarri moduan izatea beharrezkoa da, baina Euskadiko GNSS sareko datuen deskarga egitea posible denez, ez da beharrezkoa izango. Kasu honetan, Igeldoko basea erabili da post-prozesuko kalkulua egiteko.

Datu hauek, IGEL basearen datuak, b5m.gipuzkoa.net web-orritik jaitsi behar dira. Horretarako lehenik eta behin behaketak egin ziren eguna eta ordua zehaztu behar dira. Kasu honetan behaketak 2013ko azaroak 1 eta 2013ko azaroak 2an egin ziren, 8:15 inguruan hasi eta 11:00 pasatxo arte, edo 7:20 inguruan hasi eta 10:00 pasatxo arte UTC ordua kontuan izanik; hau da, 2013ko 305 eta 306 eguneko 8, 9 eta 10. orduak (7:15-etatik 10:00-tara UTC denboran, 8:15-etatik 11:00-tara tokiko orduan), eta ordu hauei dagozkien letrak H, I, eta J dira (eguneko oh-1h UTC A, 1h-2h UTC B ... kontsideratz). Horrez gain, datu gordinen fitxategiak **d** edota **o** izango dira, eta efemerideak **n** formatuan egongo dira. Horrela jaitsi beharreko dokumentuek honako formatua izango dute:

- Datu gordinak: IZENA-EGUNA-ORDUA.URTEAo (igel305h.130)
- Datu gordin konprimituak: IZENA-EGUNA-ORDUA.URTEAd (igel305h.13d)
- Efemerideak: IZENA-EGUNA-ORDUA.URTEAn (igel305h.13n)

Post-prozesurako erabiliko den programa Topcon Tools da. Programa zabaltzean, lan berri bat sortu behar da, izena eta konfigurazioa hautatuz. Pantaila zabaltzean berriz, WGS84 erreferentzi-sisteman dagoela konprobatu, eta basearen datuak zein aurrez aipaturiko Igeldoko Rinex fitxategiak kargatuko dira. Datuak kargatzean, behaketen artean gainjartzea dagoela konprobatuko da “ocupación” ikonoan begiratuz.

Hurrengo urratsa behatutako puntu eta erreferentzia estazioa editatzea izango da. Behatutako puntuak, izena, behaketa egunean neurtutako antenaren altuera eta berau neurtzeko erabilitako metodoa (bertikala), eta antena mota (Topcon HiperPro) editatuko dira.

Behin datuak editatuta, post-prozesu kalkulua egiten hasiko da. Horretarako, “GPS+Postprocessing” botoia sakatuko da eta une horretan doiketa askea egiten hasiko da. Doiketa aske honen helburua sarearen barne funtsa konprobatzea da, sarearen errore erlatiboak konprobatzuz. Doiketa hau karratu txikienen metodoa erabiliz egiten da, bi puntu ezberdinatik lortutako koordenatu pareekin. Ondoren, triangeluen itxidura errorea azterzen da eta perdoiaren gainetik dauden kasuetan, (izenaren ezkerraldean puntu gorri batez adierazita egongo da) arazoak sortzen dituzten bektoreak desaktibatzen dira. Honela, WGS84 erreferentzia-sisteman koordenatuak eta GPS behaketan lorturiko zehaztasuna lortuko dira.

Ondoren koordenatuak editatu beharko dira. Horretarako, normalean estazioen azalpen orriean koordenatuak ETRS89 sistemaren ageririk direnez, pantailaren eskuinaldeko behealdean SPAIN ETRS89-ra aldatuko beharko da. Betalde, Igeldoko estazioaren inguruko informazioa (latitudea, longitudea eta altura elipsoidala) b5m.gipuzkoa.net web-orritik hartu beharko da.

Behin Igeldoko koordenatuak izanda, puntu finko moduan markatuko da, “control” gainean, “ambos” (puntu finko horizontalean eta bertikalean ezartzen du) aukera sakatuz. Horrela, puntu finkoa izanda, “adjustement” botoia sakatuko da eta doiketa behartua egiten hasiko da. Doiketa behartuak koordenatu ezaguneko puntu bat edo batzuk kontrol puntu moduan erabiltzera inplikatzen du eta kontrol puntu hauek, aukeratutako erreferentzia sisteman modu absolutu batean, sarea finkatuko dute. Behin, puntuak doituak daudenean, WGS84-tik SPAIN ETRS89-ra aldatu beharko da, doitutako puntu horien koordenatuak UTM ETRS89-an altura elipsoidalarekin lortzeko. Azkenik, datuak esportatuko dira berauekin lan egiteko.

Post-prozesua erabat amaitzeko ordea, Z koordenatuaren transformazioa (altura elipsoidala ortometrikora pasa) egin beharko da. Horretarako, esportatuko koordenatuak modua honetan editatuko dira:

PUNTUAREN IZENA X Y ZIRIA ALTURA ELIPSOIDALAK

x

v

ZIRIA

ALTURA ELIPSOIDAL

Jarraian, IGN-ek duen PAG programa zabalduko da kalkulagailu geodesikoa erabiltzeko eta ondorengo hautaketa egingo da:

- Sistema de refecencia: ETRS89
- Coordenadas: UTM
- Modo de trabajo: desde archivo

Goian aipaturiko fitxategia aukeratu eta “Datos de salida” sakatuko da aukeraketa hau eginez: ETRS89 UTM, ED50 UTM eta altura ortometriko. Azkenik, “Guardar resultados como...” emanda datu horiek gordeko dira.

Bestalde, hasieran aipatu denez, hondartzan neurtutako koordenatuak marrazteko, sistema absolutura pasa behar dira. Izen ere, puntu horiek baseak duen koordenatu erlatiboarekiko daude hartuta. Horretarako, post-prozesu aurreko eta ondorengo basearen koordenatuen differentziak (ΔX , ΔY , ΔZ) kalkulatuko dira. Differentzi hauek, hondartzan altxatutako puntu guztiei batuko zaie eta horrela, koordenatu egokiak (ETRS89 UTM, altura ortometrikoarekin) lortuko dira.

Bigarren kanpainatik aurrera, basea martxan jartzearekin batera post-prozesuan basearentzat kalkulatuko koordenatuak sartuko dira, horrela RTK bidez lortutako koordenatu guztiak (hondartzan altxatutako puntuak) absolutuak izango dira.

Hurrengo urratsa, neurketetan lortutako datuak grafikoki adieraztea izanda da. Kontuan izan beharko den lehen gauza artxiboaren formatua izango da, MDT-ak puntuen artxiboa formatu ezberdinetan importatzeko aukera ematen baitu. Kasu honetan ondorengoa erabili da:

| IZENA | X | Y | ALTURA_ORTOMETRIKOA |
|---------|------------|-------------|---------------------|
| BASE_16 | 559971.107 | 4794347.039 | 40.833 |
| ITZU_01 | 559943.189 | 4794363.517 | 1.700 |
| ITZU_02 | 559937.211 | 4794363.442 | 1.276 |
| ITZU_03 | 559932.058 | 4794366.656 | 0.876 |
| ... | | | |

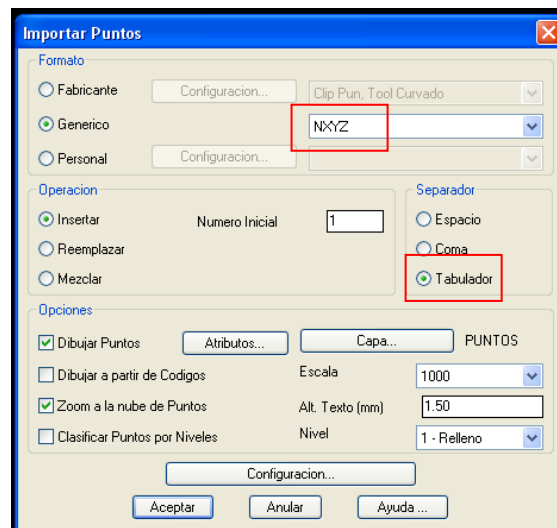
Horrez gain, badira kontuan hartzeko bi xehetasun. Batetik, kontuan izan behar da zutabe ezberdinak bereizteko erabilitako bereizgailua (kasu honetan tabuladorea erabili da) eta bestetik, dezimalen bereizketa puntu bidez adieraztea, MDT-ak koma milakoak bereizteko erabiltzen baitu.

Behin fitxategia prest izanda, marrazteko programan (AutoCad) ondorengo pausoak jarraitu dira:

1. Puntuak importatu. MDT > Puntos > Importar

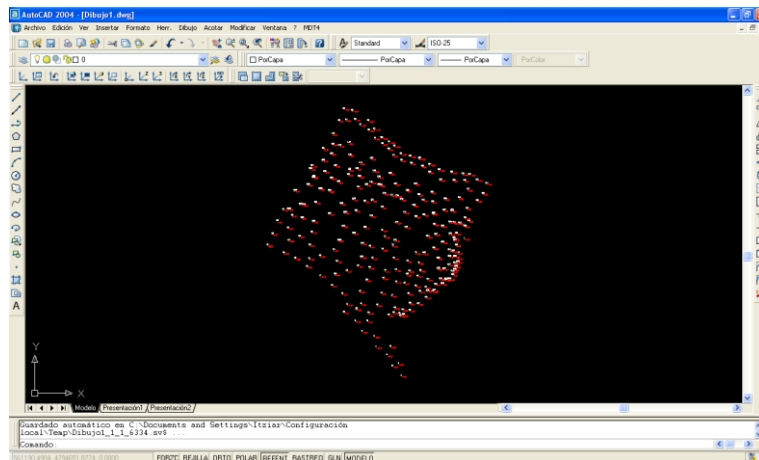


Irudia 36. Puntuak importatzeko jarraitu beharreko pausoak



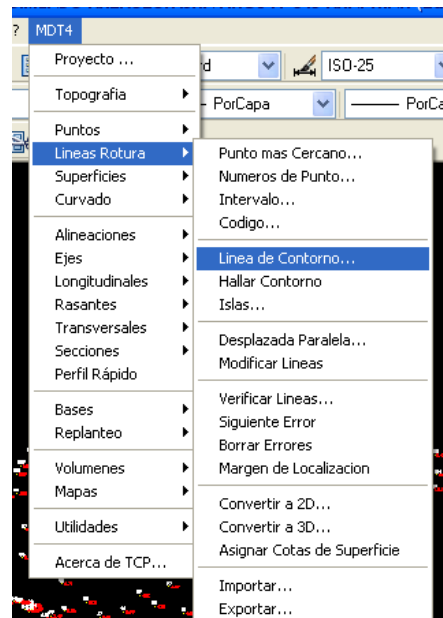
Irudia 37. Formatu, operazio eta aukeraketa ezberdina egiteko leihatila

“Aceptar” sakatu eta “Fichero de puntos” jartzen duen leihatila bat zabalduko da. “Tipo” jartzen duen lekuan, “Todos los ficheros” aukeratu eta aurrez sortu den puntuen fitxategia aukeratuko da. Puntuak honela irudikatuko dira:

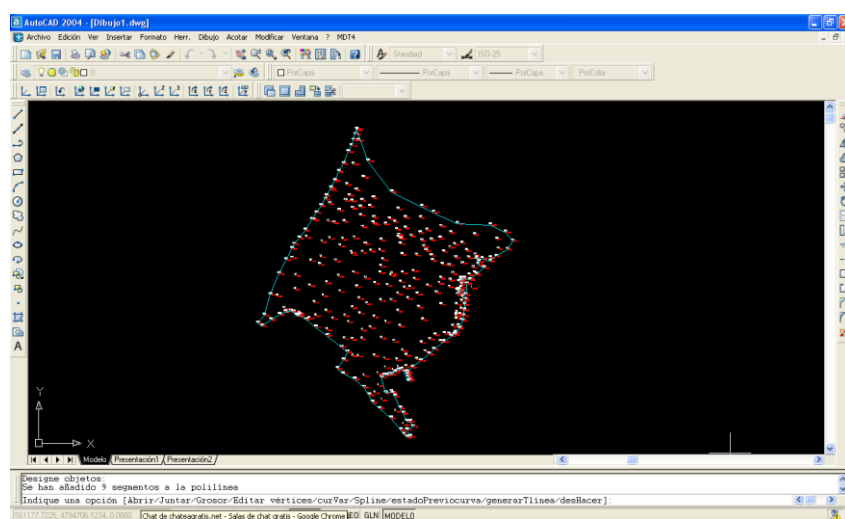


Irudia 38. Grafikoki puntuak marraztuta

2. Eremuaren muga definitzea. Gainazala sortzeko, eremua definitu beharko da aurrez. Horretarako, muga definitzen duten puntuak lotuko dira. MDT > Lineas Rotura > Linea de Contorno



Irudia 39. Eremua definitzen duten puntuak lotzeko

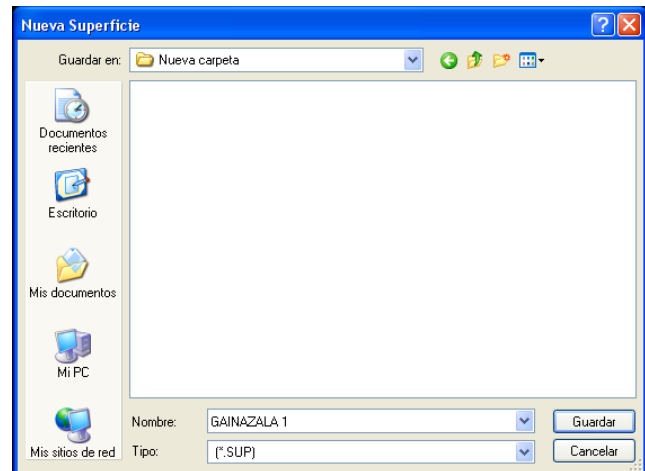


Irudia 40. Eremuaren muga definitua (línea contorno)

3. Gainazala sortzea. MDT > Superficies > Crear Superficie



Irudia 41. Gainazala sortzea



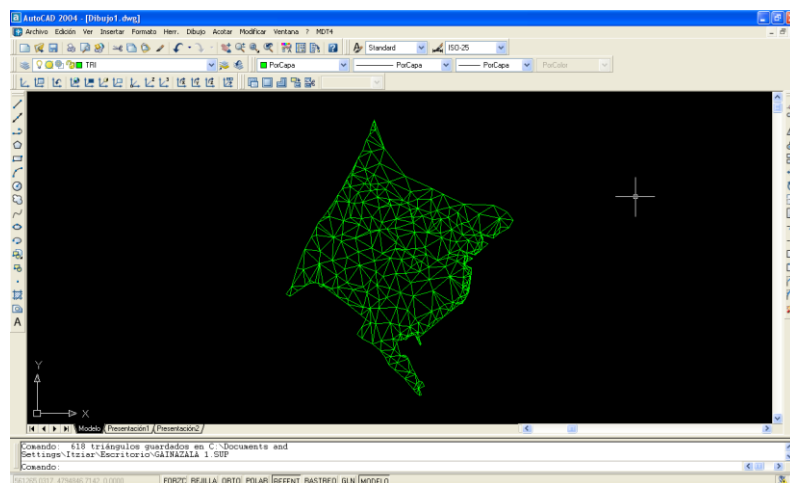
Irudia 42. Gainazal berriaren izena eta non gorde



Irudia 43. Gainazala sortzeko aukerak

Goiko irudian ikusten den moduan, gainazala sortzerakoan kontuan hartu beharko da triangelatu behar diren elementuak puntuak direla, eremua aurrez sortutako lerrokadurak (linea de contorno) mugatzen duela eta irudikapena erabatekoia izango dela.

Emaitzan moduan TRI izeneko kapa berri bat sortuko da, irudikapena ondorengoa delarik:



Irudia 44. Triangulatzeko bidez sortutako gainazala

4. Sestra kurba bidezko gainazala. MDT > Curvado > Curvar

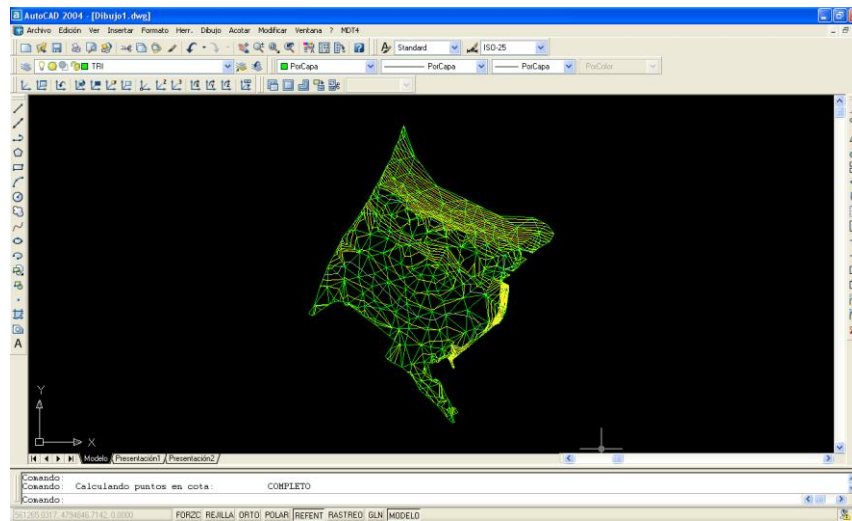


Irudia 45. Sestra-kurbak sortzeko pausoak



Irudia 46. Sestra-kurbak sortzeko aukera ezberdinak

Sestra-kurbak sortzerakoan, hainbat aldaketa egiteko aukera ematen du. Emaitzan moduan gainazala sestra-kurbekin lortuko da:



Irudia 47. Sestra-kurbak sortuta

5. Sare (malla) bidezko gainazala. MDT > Malla > Crear Malla a partir de Superficie



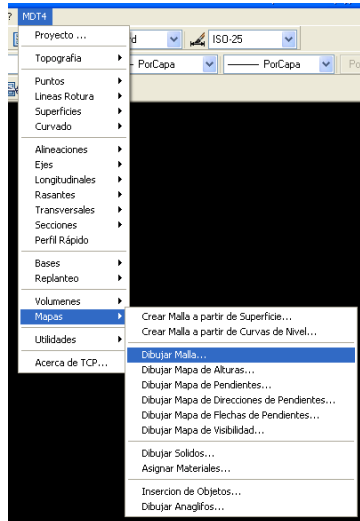
Irudia 48. Sarea sortzea



Irudia 49. Sarea sortzeko aukerak

Goiko leihatilan sarea sortu nahi den gainazala eta sarearen tamaina zenbatekoa nahi den aukeratzeko aukera ematen du, beste gauzen artean.

Behin aukeraketa eginda eta “Aceptar” emanda, lauki sare hori non gorde nahi den aukeratu beharko da. Sortu ondoren, lauki sare hori grafikoki ikusteko: MDT > Mapas > Dibujar Malla

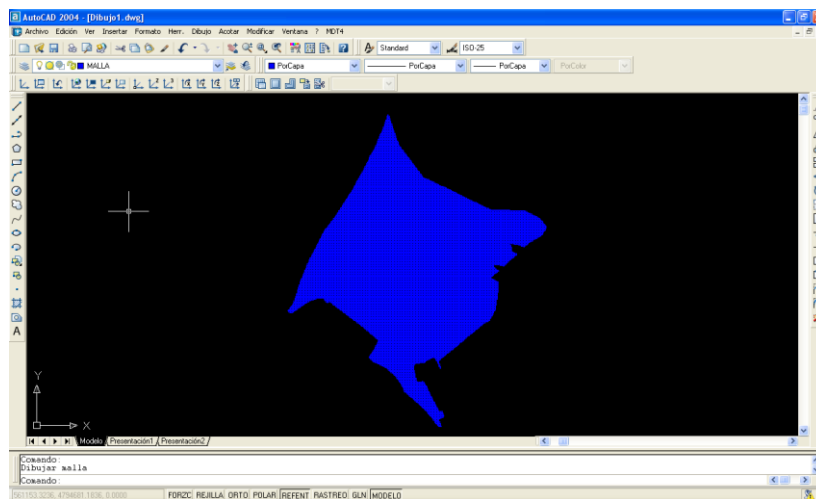


Irudia 50. Sarea marraztea



Irudia 51. Sarea marrazteko aukerak

Behin aukeraketa egin ondoren, aurrez sortutako lauki-sarearen fitxategia aukeratu beharko da eta emaitza ondorengoa izango da:

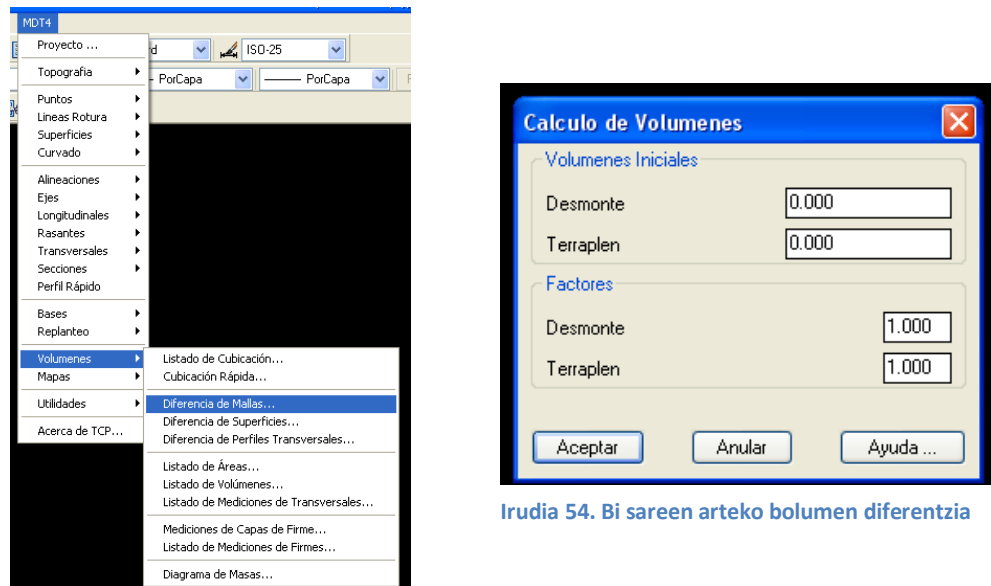


Irudia 52. Sarea grafikoki sortuta

Helburu nagusia, bi sare ezberdin arteko konparazioa egitea denez (kanpaina ezberdinako gainazalen artekoa), bolumen ezberdintasunak lortzeko, prozesu guztia errepikatu beharko da

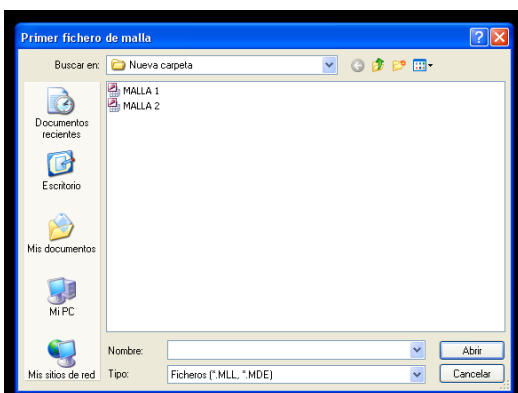
bigarren gainazala lortzeko. Behin hori eginda, volumen differentziak kalkulatuko dira.

6. Volumen differentziak kalkulua. MDT > Volúmenes > Diferencia de Malla



Irudia 53. Bolumen differentzia

Aurreko leihatilan (Calculo de Volumenes), “Aceptar” sakatu eta programak bi fitxategi sartzen eskatuko du (aurrez sortutako bi lauki-sareak). Behin hori sartuta, beheko eskuin aldeko irudian agertzen den moduan, volumen differentziei buruzko informazioa azalduko da.

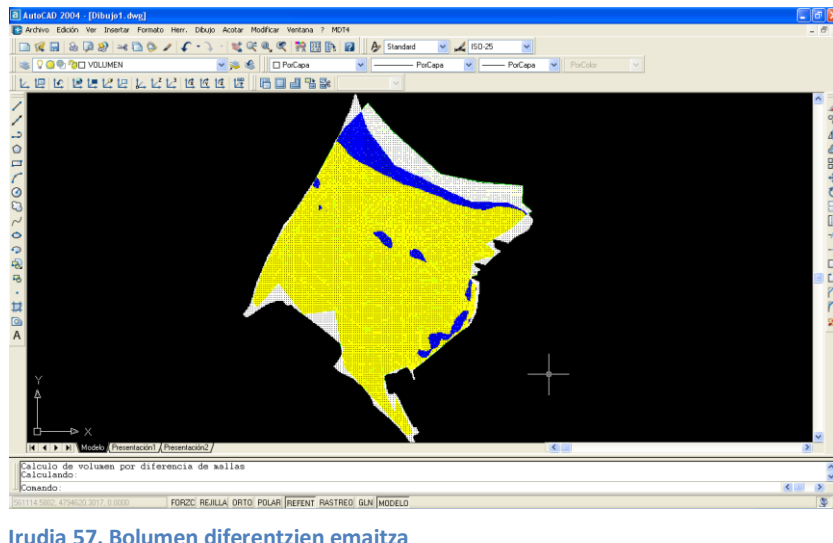


Irudia 55. Sare fitxategien aukeratzea



Irudia 56. Bolumen differentziaren informazioa

Grafikoki emaitza berriz, ondorengoa izango da:



7.2. Azterketa granulometrikoak

Azterketa granulometrikoak egiteko, hondartza guztian zehar laginak hartu behar dira. Horretarako, 3 profil zehaztu dira Itzurun hondartzan eta beste 3 Santiago hondartzan.

Profil bakoitzean hiru lagin hartu dira puntu ezberdinetan: hondartzaren goialdean (backshore), eguneroko itsasgoren batez besteko mugan (foreshore) eta marearen beheko mugan (shoreface).



Irudia 58. Itzurun hondartzan laginak hartutako puntuak



Irudia 59. Santiago hondartzan laginak hartutako puntuak

Behin profilak eta puntuak zehaztuta, pala txiki baten laguntzaz hondar liginak hartu dira, gutxi gorabehera 200 gramo ligin bakoitzeko. Plastikozko poltsa ezberdinetan sartu eta izendapen egokia jarri zaio poltsa bakoitzari. Hasieratik erabilitako izendapenak, argia eta zehatza izan beharko du, gero laborategian nahasterik ez izateko.

Kasu honetan, erabilitako kodeak ondorengo informazioa ematen digu. Lehenengo letrak hondartzaren izenari egiten dio erreferentzia. Ondorengo bi zenbakiek, lagina zein profiletan hartu den eta profil horretako zein puntutan (1=shoreface, 2=foreshore eta 3=backshore) adierazten digu. Parentesi arteko letrak berriz, profilari egiten dio erreferentzia, hau da, hondartzaren zein aldetan kokatzen den (W=mendebaldea, C=zentroa eta E=ekialdea). Azkenik data bat jarri da, lagina zein egunetan hartu den adierazten duena.

Adib.: I13 (W) – 2013/12/08. Lagina Itzurun hondartzako lehen profilean hartu da, hondartzaren goialdean (backshore). Profil hau hondartzaren mendebaldean kokatzen da eta 2013ko abenduaren 8an hartu zela adierazten du.

Laginak laborategian izanik, zorroetatik atera eta plater batean lehortzen jarriko dira eta nahasterik ez gertatzeko, plater bakoitzari etiketa bat jarriko zaio. Lehortzeko prozesua modu ezberdinetara egin daiteke: aire libreatan, estufa baten gainean edo labe bat erabiliz. Beti ere, kontutan izan behar da labean lehortuz gero 85 gradu baino altuagoko tenperatura ezin dela pasatu, sedimentuen ur osaketa ez ezabatzeko. Kasu honetan, lehortze prozesua aire libreatan egin da.



Irudia 60. Laginak lehortzen aire libreatan

Behin laginak lehortuta, zatiki lodi eta finaren bereizketa egingo da, 2mm-ko bahe baten laguntzaz. Balioak pisatu eta portzentajeak kalkulatuko dira, zatiki Iodian jasotako materiala aztertuz.

Ondoren, kuxara txiki eta ontzi bat erabiliz, zatiki fineko multzotik 30 gramo bereiziko dira eta lagina garbituko da materia organikoa kentzeko. Horretarako, kristalezko ontzi batera lagina pasa eta urez beteko da, apur bat irabiatu eta ura kenduko zaio.



Irudia 61. Zatiki finetik hartutako 30 gramo



Irudia 62. Laginak labean lehortzen

Bigarren aldiz lehortze prozesua burutuko da. Lehen aipatu bezala, metodo ezberdinak erabili ahal izango dira honetarako baina kasu honetan labe baten laguntzaz egin da, denbora aurrezteko. Honetako, labean sartu aurretik, etiketa bat jarri zaie kristalezko ontzi bakoitzari eta 80 gradutan labea izanik, lagin guztiak lehortzen utzi dira.

Hondarra lehortu ostean, bahe dorre batean sartu eta 15 minutuan astindu egingo da. Bahe dorrea ondorengo sare geruzaz osatua dago: 2mm, 1.25mm, 0.8mm, 0.5mm, 0.4mm, 0.25mm, 0.2mm, 0.125mm, 0.08mm eta 0.05mm. Ondoren, geruza bakoitzean geratutako hondar kantitatea pisatu behar da eta lagin bakoitzaren orrian apuntatu.



Irudia 63. Bahe dorrea astintzen

Datu hauekin, lagin bakoitzak duen hondar motaren portzentajea, histogramak, metatze-kurbak, batez besteko tamaina, tamaina balio zentrala, hautespena, alborapena eta kurtosia kalkulatzen dira.

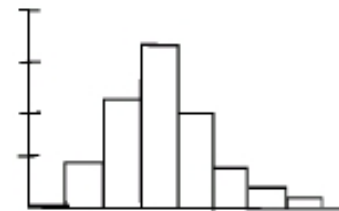
Histogramek emaitzak modu simple batean irudikatzeko aukera ematen dute. Barren altuerek metatutako sedimentuen portzentajea adierazten dute eta zabalerak mota bakoitzari jarritako mugak.

| $\varnothing \text{ mm}$ | |
|--------------------------|-----------------------------------|
| 2,000 - 1,250 | Very coarse / Oso lodia |
| 1,250 - 0,800 | |
| 0,800 - 0,500 | Coarse / Lodia |
| 0,500 - 0,400 | |
| 0,400 - 0,250 | Medium / Ertaina |
| 0,250 - 0,200 | |
| 0,200 - 0,125 | Fine / Fina |
| 0,125 - 0,080 | |
| 0,080 - 0,050 | Very fine / Oso fina |
| | Very coarse silt / Lohi oso lodia |

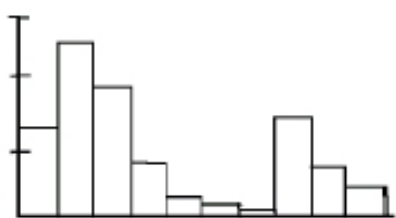
Taula 1. Histogramaren zabaleraren mugak

Klase dominantea zein den ikusteko aukera ematen du eta histogramaren forma kontuan hartuta hiru mota aurki daitezke:

Unimodal: maximo bakarra du. Sedimentuen garraioa konstante izan dela, perturbaziorik gabe eta gehiegizko kargarengatik metatu dela adierazten du. Orokorean sedimentu eolikoak eta itsastarrak dira (dunak, hondartzak, tonboloak...), aintzira edo laku batenak ere izan daitezke noizbehinka.



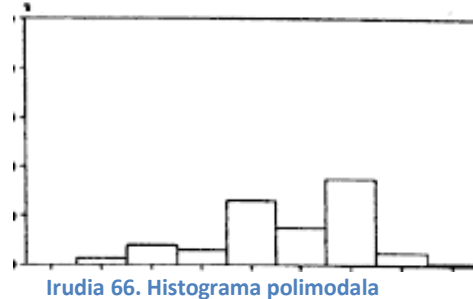
Irudia 64. Histograma unimodal



Bimodal: bi maximo ditu. Sedimentuen garraioa ez da konstantea izan, edozein motako perturbazioa dela eta, eta bi sedimentu mota nahastu direla adierazten du. Gehienbat itsastarrak izaten dira, estuarioak, deltak, ibai bokaletik gertukoak...

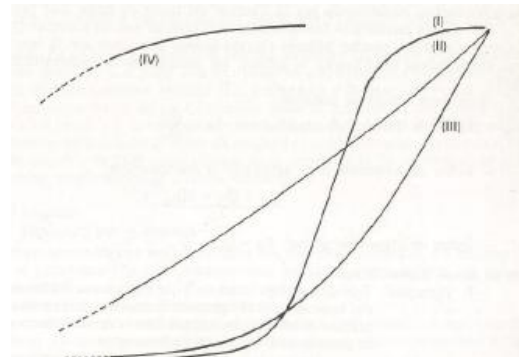
Irudia 65. Histograma bimodal

Polimodal: hainbat maximo. Flubiala, glaziarra, kobazulo depositoa, antropikoa. Sedimentu nahasketa adierazten du edo fluxu-energiaren aldaketa anizkunak.



Ehuneko metatuen kurbak, bahe bakoitzean atxikitako sedimentuen arabera eratzen dira. Lau motako kurba existitzen dira:

I **Sigmoidala:** sedimentu metaketa librearen seinalea dira. Inguruaren energia galera adierazten dute. Estratifikatutako metaketa hondartsuak izaten dira. Dunak, hondartzak ...



II **Logaritmikoa:** sedimentuaren garraioan materiala ez da tamainaren arabera metatu. Oso garraio motza jasandako deposituak edo gizakiak edo faunak nahastutakoak dira. Kobazulo, glaziar, malda irristadura, glacis ... motako deposituak izaten dira gehienbat. Orokorean urik gabe gertatutako garraio motzak.

III **Hiperbolikoa:** dekantazio sedimentazioa adierazten du (sedimentu fina) oso energia baxuko eremuetan: padurak, lakuak, putzuak.

IV **Parabolikoa:** derrigortutako metaketaren seinalea dira, gehienbat ibai deposituak eta batzuetan hondartza babestuak (reflexio eta refrakzio fenomenoak). Oztopo baten kontrako metaketak edo fluxu energia aldaketak adierazten dituzte (malda lehunketak, ibai nagusia eta adar arteko elkarguneak ...).

Hautespenak (edo sorting edo clasificación), balio zentral batekiko norbanakoak duen banaketa adierazten du. Sedimentuak garraioan jasandako bilakaerak baldintzatzen du eta kurbak zenbat eta zuzenagoak izan, sedimentuek hautespen hobeagoa izango dute.

| HAUTESPENA (SORTING σ_I) | |
|----------------------------------|---|
| σ_I | $\sigma_I = \frac{\phi_{84} - \phi_{16}}{4} + \frac{\phi_{95} - \phi_5}{6.6}$ |
| < 0,35 | Very well sorted / Oso ondo hautatua |
| 0,35 - 0,50 | Well sorted / Ondo hautatua |
| 0,50 - 0,70 | Moderately well sorted / Moderatuki ondo hautatua |
| 0,70 - 1,00 | Moderately sorted / Moderatuki hautatua |
| 1,00 - 2,00 | Poorly sorted / Eskas hautatua |
| 2,00 - 4,00 | Very poorly sorted / Gaizki hautatua |
| > 4,00 | Extremely poorly sorted / Oso gaizki hautatua |

Taula 2. Hautespen balioen sailkapena

Oso ondo hautatuak: jatorri eolikoa duten sedimentuak. Duna, loess ...

Ondo hautatuak: gehienbat hondar itsastarra izaten dira, kasuren batean depositu eolikoren bat ...

Moderatuki ondo hautatua / Moderatuki hautatua: deltak, tonboloak, hondartza babestuak, estuarioak ...

Eskas hautatuak: ibai eta korronte zurrumbilotsuko deposituak dira. Ibaiak, euri-bideak, laku depositu batzuk ...

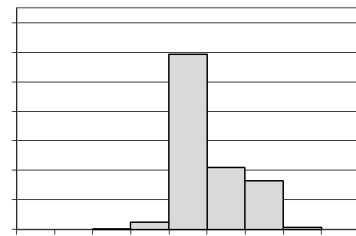
Gaizki hautatuak / Oso gaizki hautatuak: uholde deposituak, glaces eta deiekzio konoen metaketak, lokatz jarioak, depositu glaziarrak, nahastutako sedimentuak ...

Alborapenak (edo skewness edo asimetria edo simetria), populazio granulometriko batek bestearekiko duen nagusitasuna edo ez adierazten du.

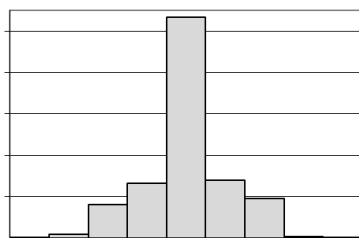
| ALBORAPENA (SKEWNESS SK1) | | |
|--|--------------------|------------|
| $Sk_I = \frac{\phi_{16} + \phi_{84} - 2\phi_{50}}{2(\phi_{84} - \phi_{16})} + \frac{\phi_5 + \phi_{95} - 2\phi_{50}}{2(\phi_{95} - \phi_5)}$ | | |
| 0,3 - 1,0 | Very fine skewed | POSITIBOA |
| 0,1 - 0,3 | Fine skewed | |
| 0,1 - -0,1 | Symmetrical | SIMETRIKOA |
| -0,1 - -0,3 | Coarse skewed | |
| -0,3 - -1,0 | Very coarse skewed | NEGATIBOA |

Taula 3. Alborapen balioen sailkapena

Positiboa: batez-bestekoa, tamaina balio zentrala baino balio txikiagoa dauka. Hori, batez-besteko indar zinetikoa normala den baino baxuagoa izan dela adierazten du. Dekantazio edo metaketa prozesua nagusitu dela adierazten du.



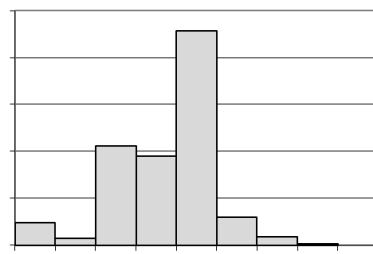
Irudia 68. Alborapen positiboa



Irudia 69. Alborapen simetrikoa

Simetrikoa: tamaina desberdinak sedimentuen distribuzioa simetrikoa da. Fluxuaren energia balio normaletan mantendu da aztertzen ari den sedimenturako. Ez da egon sedimentu garbiketarik, ezta dekantazio prozesurik.

Negatiboa: batez-bestekoa, tamaina balio zentrala baino balio handiagoa dauka. Hori, batez-besteko indar zinetikoa normala den baino altuagoa izan dela adierazten du. Garbiketa edo higadura prozesua nagusitu dela adierazten du.



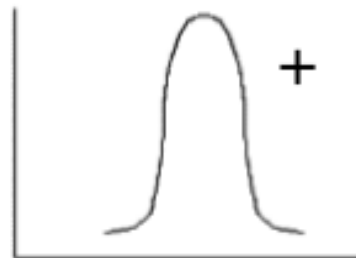
Irudia 70. Alborapen negatiboa

Kurtosia (edo kurtosis edo agudeza), erdialdearen sakabanatzea eta maiztasun-kurbako muturren sakabanatzea konparatzen ditu. Asimetriarekin batera parametro nabarmenak dira populazio desberdineko nahastea antzemateko.

| KURTOSIA (KUSTOSIS KG) | | |
|--|-----------------------|---------------|
| $K_G = \frac{\phi_{95} - \phi_5}{2.44(\phi_{75} - \phi_{25})}$ | | |
| < 0,64 | Very platykurtic | PLATIKURTIKOA |
| 0,67 - 0,90 | Platykurtic | |
| 0,90 - 1,11 | Mesokurtic | MESOKURTIKOA |
| 1,11 - 1,50 | Leptokurtic | |
| 1,50 - 3,00 | Very leptokurtic | LEPTOKURTIKOA |
| > 3,00 | Extremely leptokurtic | |

Taula 4. Kurtosi balioen sailkapena

Leptokurtikoa: distribuzio zorrotza denean, sedimentua osatzen duten pikorrik, tamaina gutxi batzuetan kontzentratzen dira. Inguru sedimentarioan indar zinetikoa oso konstantea izan da. Inguru eolikoak, dekantazio eremuak, lakuak ...



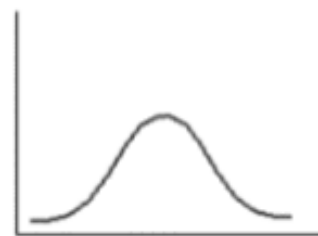
Irudia 71. Leptokurtikoa



Platikurtikoa: distribuzioa motza oso laua denean, sedimentua osatzen duten pikorrik, oso tamaina anitzekoak dira. Inguru sedimentarioan indar zinetiko aldakorra edo oso aldakorra izan dela adierazten dute. Euri-bideak, ibaiak, maldak deposituak, lokatza, nahastutako sedimentuak ...

Irudia 72. Platikurtikoa

Mesokurtikoa: distribuzioa beste bi multzoen artean gelditzen denean. Indar zinetikoa konstantea izan gabe, tarte batean mugitu egin da. Sedimentu itsastarrak.



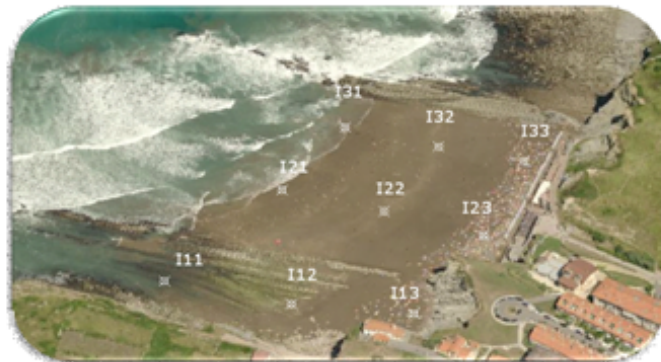
Irudia 73. Mesokurtikoa

8. Landa, laborategi eta bulego lanen emaitzak

8.1. Lehenengo kanpainaren emaitzak

| ITZURUN 2013_11_01 | | | | ITZURUN 2013_11_01 | | | | ITZURUN 2013_11_01 | | | | ITZURUN 2013_11_01 | | | |
|--------------------|------------|-------------|--------|--------------------|------------|-------------|--------|--------------------|------------|-------------|-------|--------------------|------------|-------------|-------|
| PUNTUA | x | y | H | PUNTUA | x | y | H | PUNTUA | x | y | H | PUNTUA | x | y | H |
| Base_ITZU | 559971,107 | 4794347,039 | 40,833 | ITZU_53 | 559818,680 | 4794337,898 | -0,252 | ITZU_106 | 559996,828 | 4794476,827 | 1,658 | ITZU_159 | 559961,098 | 4794370,911 | 3,368 |
| ITZU_01 | 559781,071 | 4794335,941 | -0,814 | ITZU_54 | 559806,121 | 4794332,119 | -0,394 | ITZU_107 | 560003,450 | 4794465,734 | 2,664 | ITZU_160 | 559966,021 | 4794370,846 | 3,775 |
| ITZU_02 | 559776,900 | 4794341,823 | -0,862 | ITZU_55 | 559805,761 | 4794321,836 | -0,432 | ITZU_108 | 559987,441 | 4794462,575 | 1,541 | ITZU_161 | 559962,160 | 4794379,929 | 2,969 |
| ITZU_03 | 559787,536 | 4794340,560 | -0,642 | ITZU_56 | 559810,399 | 4794320,520 | -0,403 | ITZU_109 | 559995,381 | 4794449,164 | 2,606 | ITZU_162 | 559973,277 | 4794375,472 | 3,582 |
| ITZU_04 | 559794,505 | 4794345,030 | -0,621 | ITZU_57 | 559814,272 | 4794321,632 | -0,395 | ITZU_110 | 559981,582 | 4794446,514 | 1,720 | ITZU_163 | 559967,143 | 4794389,116 | 2,840 |
| ITZU_05 | 559801,940 | 4794349,768 | -0,564 | ITZU_58 | 559821,194 | 4794320,018 | -0,366 | ITZU_111 | 559971,508 | 4794442,288 | 1,321 | ITZU_164 | 559979,576 | 4794388,135 | 3,403 |
| ITZU_06 | 559810,523 | 4794356,944 | -0,609 | ITZU_59 | 559825,975 | 4794325,041 | -0,185 | ITZU_112 | 559985,244 | 4794436,306 | 2,402 | ITZU_165 | 559981,585 | 4794374,962 | 3,886 |
| ITZU_07 | 559817,830 | 4794367,961 | -0,685 | ITZU_60 | 559837,053 | 4794319,245 | 0,148 | ITZU_113 | 559985,851 | 4794422,862 | 2,864 | ITZU_166 | 559986,509 | 4794374,582 | 4,006 |
| ITZU_08 | 559828,681 | 4794376,234 | -0,680 | ITZU_61 | 559851,025 | 4794310,693 | 0,528 | ITZU_114 | 559970,172 | 4794422,916 | 1,876 | ITZU_167 | 559989,804 | 4794379,495 | 4,088 |
| ITZU_09 | 559836,837 | 4794383,699 | -0,744 | ITZU_62 | 559862,860 | 4794306,474 | 0,885 | ITZU_115 | 559957,038 | 4794420,172 | 1,350 | ITZU_168 | 559982,208 | 4794389,478 | 3,484 |
| ITZU_10 | 559850,579 | 4794388,919 | -0,487 | ITZU_63 | 559868,961 | 4794316,154 | 1,001 | ITZU_116 | 559965,995 | 4794408,376 | 2,129 | ITZU_169 | 559979,151 | 4794402,007 | 3,019 |
| ITZU_11 | 559855,558 | 4794401,727 | -0,577 | ITZU_64 | 559858,991 | 4794326,278 | 0,560 | ITZU_117 | 559972,928 | 4794395,702 | 2,860 | ITZU_170 | 559992,373 | 4794398,286 | 3,839 |
| ITZU_12 | 559856,857 | 4794416,891 | -0,766 | ITZU_65 | 559845,141 | 4794327,956 | 0,287 | ITZU_118 | 559956,913 | 4794396,479 | 2,059 | ITZU_171 | 559998,177 | 4794401,729 | 3,946 |
| ITZU_13 | 559869,031 | 4794418,667 | -0,586 | ITZU_66 | 559857,918 | 4794334,821 | 0,409 | ITZU_119 | 559946,558 | 4794396,441 | 1,668 | ITZU_172 | 559990,839 | 4794409,811 | 3,426 |
| ITZU_14 | 559889,531 | 4794424,059 | -0,356 | ITZU_67 | 559872,853 | 4794333,836 | 0,727 | ITZU_120 | 559938,570 | 4794392,857 | 1,451 | ITZU_173 | 559983,986 | 4794419,969 | 2,833 |
| ITZU_15 | 559901,780 | 4794436,170 | -0,368 | ITZU_68 | 559887,120 | 4794336,256 | 1,057 | ITZU_121 | 559951,053 | 4794385,419 | 2,225 | ITZU_174 | 559989,571 | 4794426,365 | 3,018 |
| ITZU_16 | 559912,730 | 4794449,410 | -0,398 | ITZU_69 | 559879,225 | 4794348,723 | 0,622 | ITZU_122 | 559956,887 | 4794380,083 | 2,766 | ITZU_175 | 559999,798 | 4794431,341 | 3,442 |
| ITZU_17 | 559915,811 | 4794465,190 | -0,588 | ITZU_70 | 559878,929 | 4794362,413 | 0,416 | ITZU_123 | 559950,539 | 4794367,060 | 3,121 | ITZU_176 | 560006,510 | 4794431,890 | 3,874 |
| ITZU_18 | 559925,406 | 4794479,639 | -0,564 | ITZU_71 | 559894,370 | 4794355,000 | 0,931 | ITZU_124 | 559935,820 | 4794368,776 | 2,096 | ITZU_177 | 559996,337 | 4794443,220 | 2,919 |
| ITZU_19 | 559929,885 | 4794492,794 | -0,599 | ITZU_72 | 559905,481 | 4794355,316 | 1,333 | ITZU_125 | 559923,938 | 4794370,745 | 1,579 | ITZU_178 | 560004,006 | 4794445,528 | 3,270 |
| ITZU_20 | 559939,992 | 4794506,778 | -0,466 | ITZU_73 | 559896,412 | 4794368,347 | 0,826 | ITZU_126 | 559915,614 | 4794360,799 | 1,589 | ITZU_179 | 560012,147 | 4794444,574 | 3,861 |
| ITZU_21 | 559945,424 | 4794520,835 | -0,476 | ITZU_74 | 559897,510 | 4794377,801 | 0,627 | ITZU_127 | 559927,962 | 4794351,589 | 2,212 | ITZU_180 | 560015,317 | 4794453,720 | 3,796 |
| ITZU_22 | 559953,969 | 4794530,226 | -0,363 | ITZU_75 | 559911,667 | 4794370,634 | 1,263 | ITZU_128 | 559929,191 | 4794337,257 | 2,719 | ITZU_181 | 560008,247 | 4794453,679 | 3,299 |
| ITZU_23 | 559952,918 | 4794538,837 | -0,532 | ITZU_76 | 559918,416 | 4794371,976 | 1,377 | ITZU_129 | 559915,234 | 4794339,133 | 2,226 | ITZU_182 | 559999,861 | 4794460,628 | 2,548 |
| ITZU_24 | 559965,357 | 4794535,159 | -0,183 | ITZU_77 | 559925,290 | 4794374,757 | 1,297 | ITZU_130 | 559904,551 | 4794333,465 | 1,939 | ITZU_183 | 559991,177 | 4794456,450 | 2,000 |
| ITZU_25 | 559967,894 | 4794520,892 | 0,051 | ITZU_78 | 559919,162 | 4794379,667 | 1,041 | ITZU_131 | 559915,436 | 4794321,889 | 2,981 | ITZU_184 | 560003,820 | 4794464,666 | 2,724 |
| ITZU_26 | 559957,518 | 4794512,118 | -0,090 | ITZU_79 | 559922,078 | 4794393,436 | 0,887 | ITZU_132 | 559910,765 | 4794318,487 | 2,889 | ITZU_185 | 560010,847 | 4794467,877 | 3,111 |
| ITZU_27 | 559963,325 | 4794499,553 | 0,173 | ITZU_80 | 559936,170 | 4794395,256 | 1,308 | ITZU_133 | 559902,110 | 4794319,702 | 2,610 | ITZU_186 | 560021,556 | 4794472,300 | 3,698 |
| ITZU_28 | 559949,191 | 4794491,669 | -0,101 | ITZU_81 | 559929,280 | 4794406,976 | 0,793 | ITZU_134 | 559899,292 | 4794318,160 | 2,630 | ITZU_187 | 560025,195 | 4794481,427 | 3,518 |
| ITZU_29 | 559953,014 | 4794477,682 | 0,163 | ITZU_82 | 559943,424 | 4794411,903 | 1,110 | ITZU_135 | 559895,277 | 4794316,476 | 2,312 | ITZU_188 | 560016,038 | 4794481,865 | 3,296 |
| ITZU_30 | 559935,776 | 4794473,568 | -0,213 | ITZU_83 | 559942,316 | 4794424,682 | 0,741 | ITZU_136 | 559890,892 | 4794316,145 | 1,858 | ITZU_189 | 560010,567 | 4794489,300 | 2,201 |
| ITZU_31 | 559938,840 | 4794459,841 | 0,028 | ITZU_84 | 559956,386 | 4794428,358 | 1,103 | ITZU_137 | 559887,440 | 4794313,231 | 1,927 | ITZU_190 | 560021,748 | 4794493,384 | 2,861 |
| ITZU_32 | 559941,148 | 4794445,330 | 0,313 | ITZU_85 | 559954,030 | 4794441,393 | 0,713 | ITZU_138 | 559881,712 | 4794312,355 | 1,610 | ITZU_191 | 560030,542 | 4794492,425 | 3,518 |
| ITZU_33 | 559928,116 | 4794439,510 | 0,094 | ITZU_86 | 559966,797 | 4794443,465 | 1,087 | ITZU_139 | 559875,152 | 4794311,321 | 1,323 | ITZU_192 | 560031,669 | 4794489,854 | 3,729 |
| ITZU_34 | 559932,385 | 4794425,810 | 0,460 | ITZU_87 | 559965,979 | 4794458,202 | 0,744 | ITZU_140 | 559873,804 | 4794308,182 | 1,260 | ITZU_193 | 560034,089 | 4794495,454 | 3,437 |
| ITZU_35 | 559917,010 | 4794424,627 | 0,139 | ITZU_88 | 559973,667 | 4794463,844 | 1,118 | ITZU_141 | 559869,844 | 4794308,501 | 1,040 | ITZU_194 | 560027,767 | 4794497,873 | 3,106 |
| ITZU_36 | 559903,994 | 4794417,991 | -0,002 | ITZU_89 | 559974,090 | 4794477,718 | 0,665 | ITZU_142 | 559917,649 | 4794318,606 | 3,231 | ITZU_195 | 560018,809 | 4794504,713 | 2,277 |
| ITZU_37 | 559912,835 | 4794407,914 | 0,376 | ITZU_90 | 559988,798 | 4794482,139 | 1,103 | ITZU_143 | 559925,508 | 4794315,906 | 3,605 | ITZU_196 | 560022,207 | 4794516,908 | 2,118 |
| ITZU_38 | 559989,834 | 4794406,515 | 0,125 | ITZU_91 | 559984,059 | 4794495,750 | 0,761 | ITZU_144 | 559936,116 | 4794312,198 | 3,939 | ITZU_197 | 560022,934 | 4794523,431 | 2,067 |
| ITZU_39 | 559907,410 | 4794394,814 | 0,495 | ITZU_92 | 559998,201 | 4794500,748 | 1,244 | ITZU_145 | 559934,791 | 4794322,985 | 3,544 | ITZU_198 | 560028,504 | 4794523,487 | 2,401 |
| ITZU_40 | 559892,924 | 4794394,535 | 0,234 | ITZU_93 | 559993,459 | 4794515,993 | 0,894 | ITZU_146 | 559943,196 | 4794323,509 | 3,857 | ITZU_199 | 560033,884 | 4794523,390 | 2,768 |
| ITZU_41 | 559897,140 | 4794396,177 | -0,032 | ITZU_94 | 560008,590 | 4794514,390 | 1,598 | ITZU_147 | 559933,714 | 4794328,821 | 3,265 | ITZU_200 | 560037,314 | 4794521,050 | 3,148 |
| ITZU_42 | 559892,495 | 4794383,600 | 0,363 | ITZU_95 | 559998,880 | 4794523,760 | 0,968 | ITZU_148 | 559921,345 | 4794328,635 | 2,843 | ITZU_201 | 560039,037 | 4794517,150 | 3,037 |
| ITZU_43 | 559908,269 | 4794384,371 | 0,678 | ITZU_96 | 559991,200 | 4794529,283 | 0,630 | ITZU_149 | 559932,519 | 4794334,865 | 2,963 | ITZU_202 | 560042,050 | 4794513,271 | 3,008 |
| ITZU_44 | 559894,715 | 4794384,392 | 0,390 | ITZU_97 | 559998,096 | 4794530,033 | 0,761 | ITZU_150 | 559945,539 | 4794335,005 | 3,601 | ITZU_203 | 560044,923 | 4794510,744 | 3,314 |
| ITZU_45 | 559890,424 | 4794380,252 | 0,381 | ITZU_98 | 560002,794 | 4794530,228 | 0,967 | ITZU_151 | 559947,860 | 4794343,273 | 3,754 | ITZU_204 | 560042,054 | 4794507,798 | 3,221 |
| ITZU_46 | 559878,386 | 4794375,953 | 0,241 | ITZU_99 | 560009,279 | 4794526,722 | 1,171 | ITZU_152 | 559935,096 | 4794344,157 | 2,704 | ITZU_205 | 560036,576 | 4794506,852 | 3,095 |
| ITZU_47 | 559893,688 | 4794362,178 | 0,560 | ITZU_100 | 560020,179 | 4794524,001 | 1,860 | ITZU_153 | 559941,072 | 4794349,773 | 2,751 | ITZU_2 | | | |

| SANTIAGO 2013_11_02 | | | | PUNTUA x y H | | | | PUNTUA x y H | | | | PUNTUA x y H | | | | PUNTUA x y H | | | |
|---------------------|------------|-------------|-------|--------------|------------|-------------|--------|--------------|------------|-------------|-------|--------------|------------|-------------|-------|--------------|--|--|--|
| Base_SAN | 561185,509 | 4794616,361 | 9,229 | SAN_60 | 561125,048 | 4794557,938 | 3,696 | SAN_120 | 561185,287 | 4794642,129 | 2,611 | SAN_180 | 561134,653 | 4794645,908 | 4,046 | | | | |
| SAN_01 | 561094,257 | 4794483,018 | 3,080 | SAN_61 | 561137,494 | 4794543,594 | 4,273 | SAN_121 | 561178,301 | 4794635,638 | 2,849 | SAN_181 | 561145,805 | 4794647,442 | 2,997 | | | | |
| SAN_02 | 561104,255 | 4794462,196 | 3,104 | SAN_62 | 561145,202 | 4794551,238 | 4,201 | SAN_122 | 561185,158 | 4794631,928 | 3,687 | SAN_182 | 561147,166 | 4794633,968 | 3,824 | | | | |
| SAN_03 | 561107,557 | 4794446,969 | 3,196 | SAN_63 | 561137,246 | 4794556,601 | 3,765 | SAN_123 | 561171,419 | 4794636,326 | 2,665 | SAN_183 | 561139,011 | 4794618,959 | 3,883 | | | | |
| SAN_04 | 561096,566 | 4794458,965 | 3,462 | SAN_64 | 561113,881 | 4794572,111 | 3,843 | SAN_124 | 561168,962 | 4794651,140 | 1,801 | SAN_184 | 561134,276 | 4794598,443 | 3,793 | | | | |
| SAN_05 | 561089,872 | 4794472,528 | 3,473 | SAN_65 | 561127,043 | 4794570,313 | 3,768 | SAN_125 | 561160,527 | 4794665,461 | 1,147 | SAN_185 | 561146,513 | 4794604,921 | 3,653 | | | | |
| SAN_06 | 561076,208 | 4794482,120 | 3,649 | SAN_66 | 561139,634 | 4794566,021 | 3,743 | SAN_126 | 561159,121 | 4794651,225 | 1,994 | SAN_186 | 561148,830 | 4794621,488 | 3,796 | | | | |
| SAN_07 | 561074,301 | 4794495,895 | 3,395 | SAN_67 | 561130,704 | 4794577,090 | 3,828 | SAN_127 | 561146,036 | 4794647,928 | 2,909 | SAN_187 | 561157,177 | 4794631,928 | 3,450 | | | | |
| SAN_08 | 561059,255 | 4794501,671 | 3,564 | SAN_68 | 561116,998 | 4794576,454 | 3,898 | SAN_128 | 561144,924 | 4794661,468 | 1,870 | SAN_188 | 561166,476 | 4794636,651 | 2,794 | | | | |
| SAN_09 | 561065,194 | 4794514,396 | 3,435 | SAN_69 | 561128,569 | 4794586,393 | 3,904 | SAN_129 | 561144,315 | 4794673,636 | 1,142 | SAN_189 | 561166,709 | 4794622,191 | 3,693 | | | | |
| SAN_10 | 561050,559 | 4794514,325 | 3,494 | SAN_70 | 561125,071 | 4794598,576 | 3,960 | SAN_130 | 561133,588 | 4794663,723 | 2,162 | SAN_190 | 561174,492 | 4794623,238 | 3,600 | | | | |
| SAN_11 | 561051,727 | 4794529,600 | 3,549 | SAN_71 | 561114,224 | 4794588,869 | 4,119 | SAN_131 | 561121,801 | 4794657,263 | 3,282 | SAN_191 | 561171,330 | 4794617,164 | 3,762 | | | | |
| SAN_12 | 561036,497 | 4794525,503 | 3,438 | SAN_72 | 561100,200 | 4794577,793 | 4,046 | SAN_132 | 561128,174 | 4794670,765 | 1,871 | SAN_192 | 561157,314 | 4794611,751 | 3,650 | | | | |
| SAN_13 | 561040,339 | 4794534,818 | 3,476 | SAN_73 | 561086,939 | 4794576,727 | 4,140 | SAN_133 | 561124,103 | 4794683,905 | 1,253 | SAN_193 | 561165,554 | 4794602,787 | 3,846 | | | | |
| SAN_14 | 561034,465 | 4794548,041 | 3,737 | SAN_74 | 561097,679 | 4794592,171 | 4,332 | SAN_134 | 561113,935 | 4794675,740 | 2,175 | SAN_194 | 561151,748 | 4794592,141 | 3,590 | | | | |
| SAN_15 | 561021,674 | 4794558,274 | 3,766 | SAN_75 | 561096,376 | 4794607,927 | 4,477 | SAN_135 | 561101,216 | 4794669,124 | 3,625 | SAN_195 | 561151,983 | 4794579,390 | 3,688 | | | | |
| SAN_16 | 561007,421 | 4794570,173 | 3,778 | SAN_76 | 561086,739 | 4794618,899 | 4,522 | SAN_136 | 561099,515 | 4794683,918 | 2,285 | SAN_196 | 561172,450 | 4794614,053 | 4,471 | | | | |
| SAN_17 | 560990,857 | 4794581,776 | 3,685 | SAN_77 | 561083,522 | 4794602,859 | 4,532 | SAN_137 | 561092,842 | 4794696,864 | 1,502 | SAN_197 | 561174,255 | 4794608,260 | 5,291 | | | | |
| SAN_18 | 560976,333 | 4794591,892 | 3,595 | SAN_78 | 561071,297 | 4794591,992 | 4,366 | SAN_138 | 561078,586 | 4794692,365 | 2,478 | SAN_198 | 561170,399 | 4794600,999 | 4,688 | | | | |
| SAN_19 | 560962,024 | 4794598,595 | 3,527 | SAN_79 | 561068,369 | 4794606,899 | 4,515 | SAN_139 | 561081,269 | 4794681,981 | 3,299 | SAN_199 | 561176,062 | 4794598,976 | 6,426 | | | | |
| SAN_20 | 560942,231 | 4794608,000 | 3,501 | SAN_80 | 561083,517 | 4794626,878 | 4,497 | SAN_140 | 561069,500 | 4794685,895 | 3,726 | SAN_200 | 561176,679 | 4794592,148 | 7,094 | | | | |
| SAN_21 | 560948,197 | 4794622,089 | 3,689 | SAN_81 | 561036,106 | 4794776,853 | -0,270 | SAN_141 | 561073,130 | 4794699,939 | 2,229 | SAN_201 | 561176,213 | 4794587,743 | 7,157 | | | | |
| SAN_22 | 560954,073 | 4794637,985 | 4,100 | SAN_82 | 561046,391 | 4794774,635 | -0,452 | SAN_142 | 561069,826 | 4794715,541 | 1,290 | SAN_202 | 561172,445 | 4794594,580 | 5,651 | | | | |
| SAN_23 | 560961,375 | 4794652,452 | 4,537 | SAN_83 | 561038,835 | 4794762,979 | 0,234 | SAN_143 | 561056,075 | 4794709,716 | 2,243 | SAN_203 | 561172,274 | 4794586,037 | 6,082 | | | | |
| SAN_24 | 560972,376 | 4794644,674 | 3,870 | SAN_84 | 561030,036 | 4794762,284 | 0,413 | SAN_144 | 561042,518 | 4794701,656 | 3,410 | SAN_204 | 561173,814 | 4794582,144 | 6,327 | | | | |
| SAN_25 | 560967,263 | 4794629,624 | 3,657 | SAN_85 | 561049,766 | 4794763,757 | -0,144 | SAN_145 | 561042,989 | 4794719,887 | 2,130 | SAN_205 | 561172,057 | 4794578,265 | 5,128 | | | | |
| SAN_26 | 560968,461 | 4794613,924 | 3,579 | SAN_86 | 561056,513 | 4794757,162 | -0,098 | SAN_146 | 561042,152 | 4794734,628 | 1,363 | SAN_206 | 561165,294 | 4794583,909 | 4,617 | | | | |
| SAN_27 | 560981,426 | 4794619,140 | 3,693 | SAN_87 | 561065,916 | 4794761,732 | -0,587 | SAN_147 | 561030,165 | 4794731,464 | 2,025 | SAN_207 | 561165,608 | 4794594,416 | 4,119 | | | | |
| SAN_28 | 560996,647 | 4794624,489 | 3,901 | SAN_88 | 561066,910 | 4794750,579 | -0,174 | SAN_148 | 561022,318 | 4794745,616 | 1,457 | SAN_208 | 561158,916 | 4794579,334 | 4,074 | | | | |
| SAN_29 | 560994,059 | 4794608,401 | 3,741 | SAN_89 | 561073,657 | 4794751,646 | -0,396 | SAN_149 | 561022,171 | 4794732,790 | 2,308 | SAN_209 | 561169,522 | 4794575,938 | 5,453 | | | | |
| SAN_30 | 560993,692 | 4794591,652 | 3,687 | SAN_90 | 561074,736 | 4794740,401 | 0,020 | SAN_150 | 561010,358 | 4794727,326 | 3,476 | SAN_210 | 561170,004 | 4794571,725 | 5,241 | | | | |
| SAN_31 | 561006,970 | 4794594,893 | 3,800 | SAN_91 | 561082,556 | 4794740,915 | -0,246 | SAN_151 | 561020,447 | 4794721,350 | 2,891 | SAN_211 | 561166,012 | 4794566,603 | 6,625 | | | | |
| SAN_32 | 561023,804 | 4794602,524 | 4,107 | SAN_92 | 561083,846 | 4794733,166 | 0,068 | SAN_152 | 561010,082 | 4794712,807 | 3,619 | SAN_212 | 561161,440 | 4794566,202 | 5,287 | | | | |
| SAN_33 | 561027,654 | 4794588,334 | 4,049 | SAN_93 | 561091,596 | 4794735,521 | -0,273 | SAN_153 | 560996,493 | 4794706,296 | 4,435 | SAN_213 | 561155,085 | 4794566,713 | 3,842 | | | | |
| SAN_34 | 561025,325 | 4794572,227 | 3,824 | SAN_94 | 561091,375 | 4794726,797 | 0,122 | SAN_154 | 560998,574 | 4794693,521 | 4,072 | SAN_214 | 561156,823 | 4794560,544 | 4,897 | | | | |
| SAN_35 | 561039,875 | 4794576,914 | 3,972 | SAN_95 | 561098,132 | 4794730,269 | -0,233 | SAN_155 | 561011,841 | 4794699,208 | 3,690 | SAN_215 | 561148,903 | 4794559,792 | 3,734 | | | | |
| SAN_36 | 561053,578 | 4794582,889 | 4,183 | SAN_96 | 561097,176 | 4794719,194 | 0,271 | SAN_156 | 561025,382 | 4794706,235 | 3,225 | SAN_216 | 561146,986 | 4794552,509 | 4,311 | | | | |
| SAN_37 | 561067,816 | 4794580,650 | 4,184 | SAN_97 | 561106,249 | 4794720,755 | -0,032 | SAN_157 | 561020,288 | 4794691,005 | 3,617 | SAN_217 | 561139,024 | 4794552,220 | 3,817 | | | | |
| SAN_38 | 561064,096 | 4794565,141 | 3,941 | SAN_98 | 561107,167 | 4794712,750 | 0,303 | SAN_158 | 561017,808 | 4794675,353 | 3,879 | SAN_218 | 561057,641 | 4794593,766 | 4,349 | | | | |
| SAN_39 | 561055,682 | 4794551,491 | 3,679 | SAN_99 | 561117,730 | 4794718,319 | -0,227 | SAN_159 | 561029,197 | 4794686,314 | 3,659 | SAN_219 | 561058,284 | 4794610,319 | 4,529 | | | | |
| SAN_40 | 561057,426 | 4794535,972 | 3,557 | SAN_100 | 561119,212 | 4794709,608 | 0,155 | SAN_160 | 561041,499 | 4794695,373 | 3,719 | SAN_220 | 561061,669 | 4794622,995 | 4,470 | | | | |
| SAN_41 | 561066,449 | 4794524,635 | 3,477 | SAN_101 | 561129,145 | 4794715,561 | -0,351 | SAN_161 | 561051,933 | 4794702,661 | 3,046 | SAN_221 | 561047,789 | 4794622,892 | 4,544 | | | | |
| SAN_42 | 561077,038 | 4794534,665 | 3,460 | SAN_102 | 561132,568 | 4794705,912 | 0,008 | SAN_162 | 561054,704 | 4794693,203 | 3,831 | SAN_222 | 561029,775 | 4794614,127 | 4,285 | | | | |
| SAN_43 | 561082,457 | 4794549,042 | 3,729 | SAN_103 | 561141,347 | 4794708,145 | -0,254 | SAN_163 | 561053,462 | 4794679,709 | 3,972 | SAN_223 | 561034,935 | 4794631,540 | 4,395 | | | | |
| SAN_44 | 561084,801 | 4794567,573 | 3,990 | SAN_104 | 561141,551 | 4794698,256 | 0,188 | SAN_164 | 561047,871 | 4794665,041 | 4,000 | SAN_224 | 561036,977 | 4794648,843 | 4,252 | | | | |
| SAN_45 | 561100,608 | 4794562,949 | 3,788 | SAN_105 | 561153,104 | 4794700,991 | -0,155 | SAN_165 | 561050,637 | 4794651,013 | 4,164 | SAN_225 | 561032,206 | 4794659,309 | 4,119 | | | | |
| SAN_46 | 561095,190 | 4794545,814 | 3,630 | SAN_106 | 561155,009 | 4794688,884 | 0,317 | SAN_166 | 561061,555 | 4794662,609 | 4,059 | SAN_226 | 561017,870 | 4794647,110 | 4,257 | | | | |
| SAN_47 | 561098,795 | 4794530,671 | 3,453 | SAN_107 | 561168,720 | 4794698,542 | -0,308 | SAN_167 | 561063,514 | 4794682,797 | 4,089 | SAN_227 | 560998,027 | 4794637,348 | 4,049 | | | | |
| SAN_48 | 561091,428 | 4794522,154 | 3,274 | SAN_108 | 561171,515 | 4794688,176 | 0,108 | SAN_168 | 561078,974 | 4794682,769 | 3,422 | SAN_228 | 560983,965 | 4794642,293 | 3,906 | | | | |
| SAN_49 | 561097,935 | 4794524,704 | 3,612 | SAN_109 | 561182,529 | 4794696,051 | -0,302 | SAN_169 | 561085,439 | 4794671,955 | 4,152 | SAN_229 | 560986,402 | 4794657,809 | 4,161 | | | | |



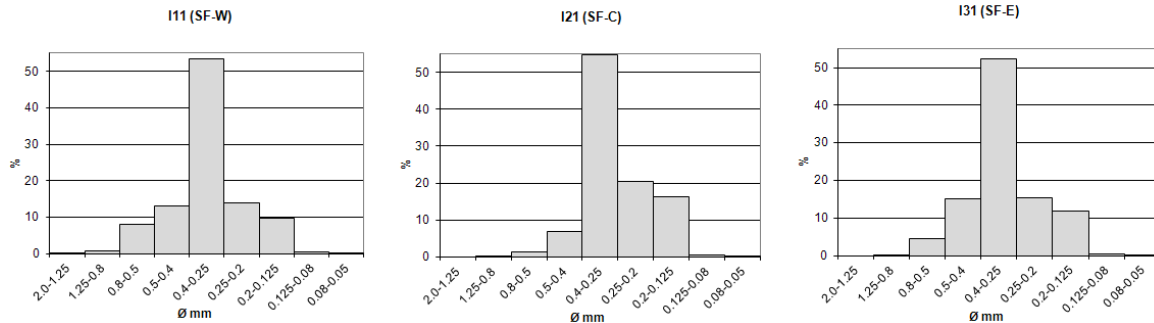
ITZURUN HONDARTZA

BS: Backshore, FS: Foreshore, SF: Shoreface
W: West (Mendebala), C: Center (Zentroa), E: East (Ekialdea)

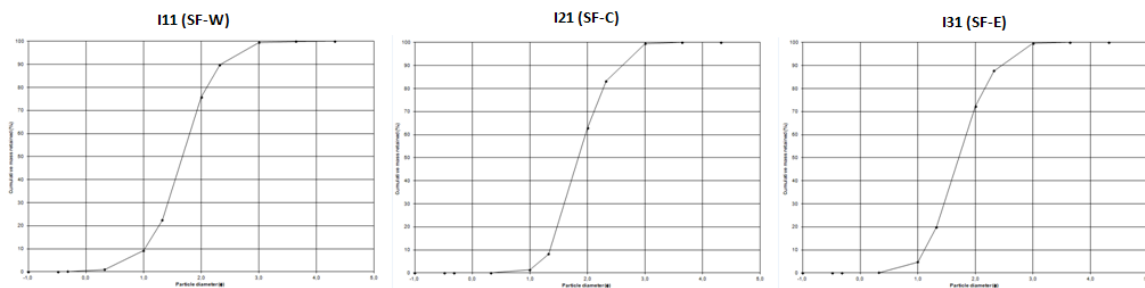
| | I11 | I21 | I31 | I12 | I22 | I32 | I13 | I23 | I33 | |
|--|------------------------|----------|----------|----------|----------|----------|----------|----------|----------|--------|
| SAMPLE TYPE | Unimodal | Unimodal | Unimodal | Unimodal | Unimodal | Unimodal | Unimodal | Unimodal | Unimodal | |
| MODE 1 (μm) | 325,0 | 325,0 | 325,0 | 325,0 | 325,0 | 325,0 | 325,0 | 325,0 | 325,0 | |
| GEOMETRIC FOLK & WARD METHOD (μm) | MEDIAN (D_{50}) | 313,7 | 279,4 | 305,3 | 292,1 | 288,3 | 280,0 | 297,7 | 316,8 | 315,9 |
| | MEAN (M_z) | 313,0 | 273,5 | 301,1 | 286,9 | 281,9 | 275,9 | 292,3 | 316,8 | 315,7 |
| LOGARITHMIC FOLK & WARD METHOD (Φ) | MEDIAN (D_{50}) | 1,673 | 1,840 | 1,712 | 1,775 | 1,794 | 1,837 | 1,748 | 1,659 | 1,663 |
| | MEAN (M_z) | 1,676 | 1,870 | 1,732 | 1,801 | 1,827 | 1,858 | 1,774 | 1,659 | 1,663 |
| | SORTING (σ_1) | 0,564 | 0,483 | 0,514 | 0,393 | 0,441 | 0,425 | 0,412 | 0,343 | 0,356 |
| | SKEWNESS (SK_1) | 0,003 | 0,141 | 0,123 | 0,185 | 0,188 | 0,182 | 0,143 | 0,017 | 0,020 |
| | KURTOSIS (K_6) | 1,313 | 1,018 | 1,061 | 1,027 | 1,068 | 0,979 | 1,125 | 1,040 | 1,012 |
| TOTALITY OF THE SAMPLE (%) | VERY COARSE SAND | 0,559 | 0,017 | 0,052 | 0,047 | 0,007 | 0,002 | 0,002 | 0,027 | 0,005 |
| | COARSE SAND | 8,637 | 1,378 | 4,670 | 0,618 | 0,686 | 0,408 | 1,051 | 1,978 | 2,009 |
| | MEDIUM SAND | 66,562 | 61,546 | 67,534 | 71,397 | 68,167 | 64,027 | 73,389 | 84,012 | 81,855 |
| | FINE SAND | 23,666 | 36,563 | 27,290 | 27,814 | 30,455 | 35,157 | 25,411 | 13,796 | 16,061 |
| | VERY FINE SAND | 0,549 | 0,491 | 0,450 | 0,124 | 0,686 | 0,407 | 0,138 | 0,178 | 0,050 |
| | VERY COARSE SILT | 0,027 | 0,005 | 0,003 | - | - | - | 0,010 | 0,010 | 0,021 |

Taula 7. Itzurun hondartzaren ezaugarri sedimentologikoak [2013/11/01]

ITZURUN – SHOREFACE [2013/11/01]



Grafikoa 14. Laginen histogramak (Itzurun – shoreface – 2013/11/01)



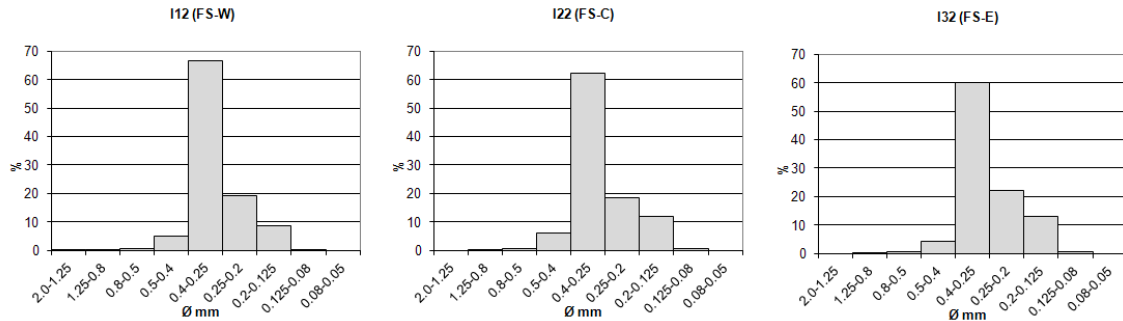
Grafikoa 15. Metatze-kurbak (Itzurun – shoreface – 2013/11/01)

Azalpen granulometrikoak:

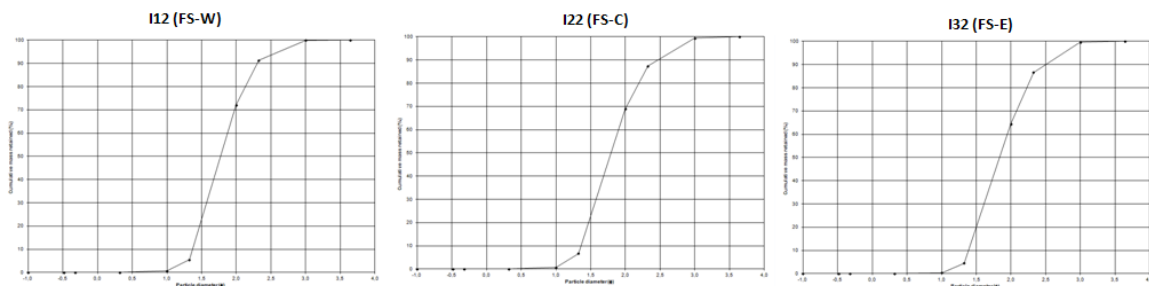
Laginek histograma unimodalak eta metatze-kurba sigomaidalak aurkezten dituzte. Tamaina ertaineko hondarra nabarmentzen da, non bataz besteko balioak 273,5 eta 313 μm artean dauden.

Erdialdean olatuen energia handiagoa izan da, hondartzaren ertzetan jasotako laginek hautespen moderatua ($\sigma_{l11}=0,564$ eta $\sigma_{l31}=0,514$) erakusten baitute eta erdikoak berriz ona ($\sigma_{l21}=0,483$). Alborapen (skewness) positiboa eta kurtosi mesokurtikoa atzeman da hondartzaren erdialdean eta ekialdean. Momentu horretan eremu hauetan hondar metaketa ematen ari zen, indar zinetikoa konstante izan gabe. Mendebalean berriz, alborapen simetrikoa eta kurtosi leptokurtikoa da, sedimentuen oreka mantentzen da indar zinetikoa konstantea izanik.

ITZURUN – FORESHORE [2013/11/01]



Grafikoa 16. Laginen histogramak (Itzurun – foreshore – 2013/11/01)



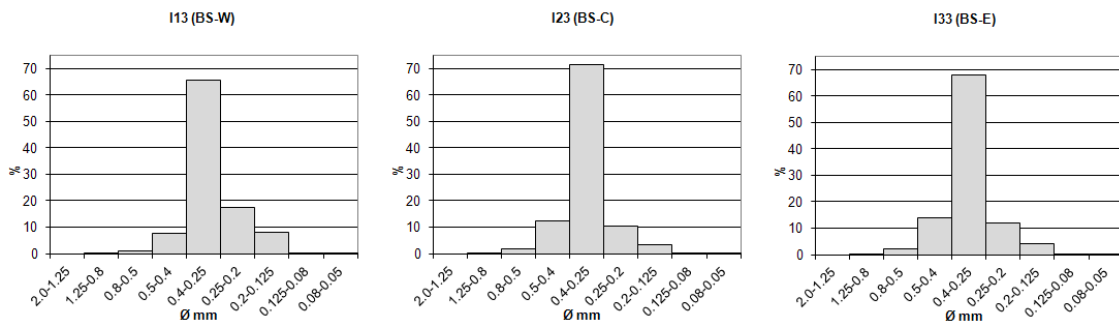
Grafikoa 17. Metatze-kurbak (Itzurun – foreshore – 2013/11/01)

Azalpen granulometrikoa:

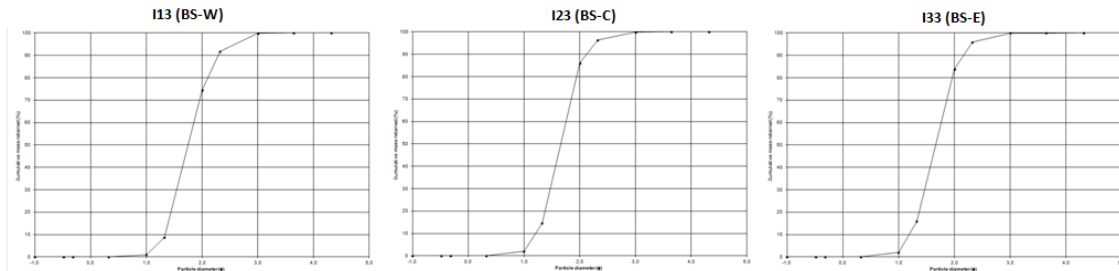
Hiru eremuetan ezaugarri antzerakoan ematen dira. Kurba sigmoidalak eta histograma unimodalak ageri dira, non tamaina ertaineko hondarraren presentzia nabaria den (bataz besteko balioa 275,9 eta 286,9 μm artean).

Olatuen energia konstantea izan denaren seinale dira hautespen balio onak. Baliorik onena ($\sigma_{l12}=0,393$), hondartzaren mendebalean eman da eta txarrena ($\sigma_{l22}=0,441$) erdialdean. Alborapen positibo eta kurtosi mesokurtikoa berriz, hondartzako eremu honetan (foreshore) metaketa edo dekantazio prozesua ematen ari zen seinale dira indar zinetikoa konstante baina normala baino txikiago izanik.

ITZURUN – BACKSHORE [2013/11/01]



Grafikoa 18. Laginen histogramak (Itzurun – backshore – 2013/11/01)



Grafikoa 19. Metatze-kurbak (Itzurun – backshore – 2013/11/01)

Azalpen granulometrikoak:

Metatze-kurba sigmoidalak eta histograma unimodalak dira, tamaina ertaineko hondarra nabarmentzen delarik. Ekialdeko eta erdialdeko laginek balio berdintsuak dituzten arren, mendebaldeko laginaren kasuan ezaugarriak nahiko aldatzen dira.

Mendebaldean, bataz besteko balioa txikiagoa ($M_{z13}=292,7 \mu\text{m}$) da beste bietan baino ($M_{z23}=316,8 \mu\text{m}$ eta $M_{z33}=316,7 \mu\text{m}$) eta hautespen balioa ona bada ere, besteekin alderatuta balioa handiagoa da ($\sigma_{l13}=0,412$, $\sigma_{l23}=0,343$ eta $\sigma_{l33}=0,356$). Alborapen eta kurtosi balioak ere desberdinak dira, kasu honetan sedimentuen banaketa positiboa eta leptokurtikoa da eta besteetan berriz, simetrikoa eta mesokurtikoa.

Laburbilduz, hondartzaren mendebalean beste eremuekin alderatuta, olatuen energia txikiagoa izan da indar zinetikoa konstante mantenduz, eta hondar metaketa emanez.



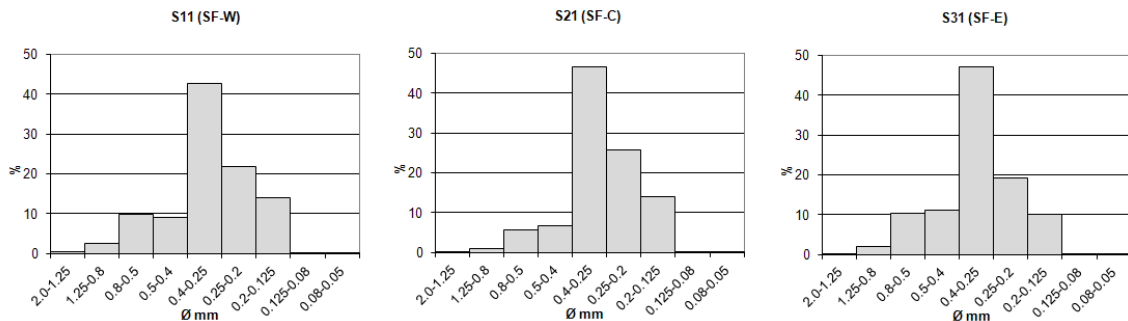
SANTIAGO HONDARTZA

BS: Backshore, FS: Foreshore, SF: Shoreface
W: West (Mendebala), C: Center (Zentroa), E: East (Ekialdea)

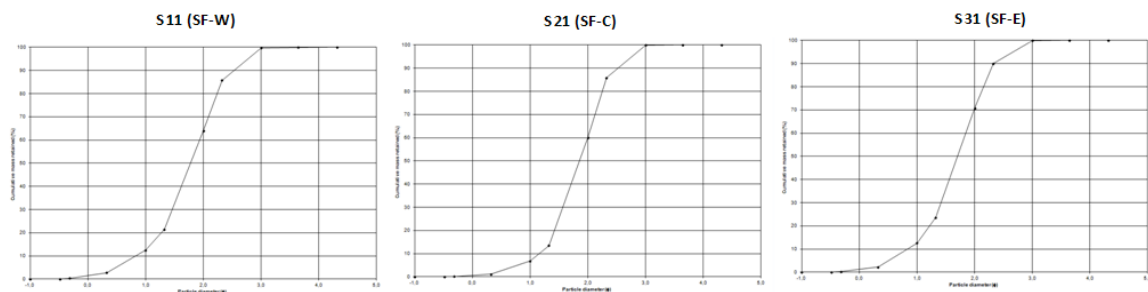
| | S11 | S21 | S31 | S12 | S22 | S32 | S13 | S23 | S33 | |
|--|------------------------|----------|----------|----------|----------|----------|----------|---------|----------|--------|
| SAMPLE TYPE | Unimodal | Unimodal | Unimodal | Unimodal | Unimodal | Unimodal | Unimodal | Bimodal | Unimodal | |
| MODE 1 (μm) | 225,0 | 225,0 | 325,0 | 325,0 | 325,0 | 325,0 | 325,0 | 325,0 | 450,0 | |
| MODE 2 (μm) | - | - | - | - | - | - | - | 1325,0 | - | |
| GEOMETRIC FOLK & WARD METHOD (μm) | MEDIAN (D_{50}) | 291,7 | 276,7 | 307,5 | 301,5 | 337,6 | 382,7 | 363,4 | 407,7 | 423,4 |
| | MEAN (M_z) | 300,7 | 279,9 | 313,2 | 296,5 | 347,0 | 403,0 | 383,5 | 430,0 | 436,1 |
| LOGARITHMIC FOLK & WARD METHOD (Φ) | MEDIAN (D_{50}) | 1,777 | 1,853 | 1,702 | 1,730 | 1,567 | 1,386 | 1,461 | 1,294 | 1,240 |
| | MEAN (M_z) | 1,734 | 1,837 | 1,675 | 1,754 | 1,527 | 1,311 | 1,383 | 1,218 | 1,240 |
| | SORTING (σ_1) | 0,640 | 0,535 | 0,609 | 0,456 | 0,581 | 0,614 | 0,615 | 0,714 | 0,657 |
| | SKEWNESS (SK_1) | -0,123 | -0,065 | -0,090 | 0,101 | -0,125 | -0,184 | -0,172 | -0,213 | -0,128 |
| | KURTOSIS (K_6) | 1,201 | 1,163 | 1,217 | 1,144 | 1,113 | 0,976 | 1,050 | 1,043 | 0,937 |
| TOTALITY OF THE SAMPLE (%) | VERY COARSE SAND | 1,579 | 0,667 | 1,229 | 0,217 | 1,682 | 3,450 | 3,042 | 7,364 | 5,046 |
| | COARSE SAND | 10,909 | 6,088 | 11,347 | 4,289 | 15,288 | 23,659 | 20,133 | 25,460 | 30,174 |
| | MEDIUM SAND | 51,501 | 53,314 | 58,177 | 69,269 | 64,661 | 63,393 | 63,663 | 58,813 | 57,756 |
| | FINE SAND | 35,724 | 39,788 | 29,149 | 25,822 | 18,079 | 9,445 | 12,215 | 7,797 | 6,421 |
| | VERY FINE SAND | 0,264 | 0,140 | 0,092 | 0,394 | 0,276 | 0,050 | 0,873 | 0,532 | 0,570 |
| | VERY COARSE SILT | 0,023 | 0,003 | 0,005 | 0,010 | 0,013 | 0,003 | 0,074 | 0,034 | 0,034 |

Taula 8. Santiago hondartzaren ezaugarri sedimentologikoak [2013/11/02]

SANTIAGO – SHOREFACE [2013/11/02]



Grafikoa 20. Laginen histogramak (Santiago – shoreface – 2013/11/02)



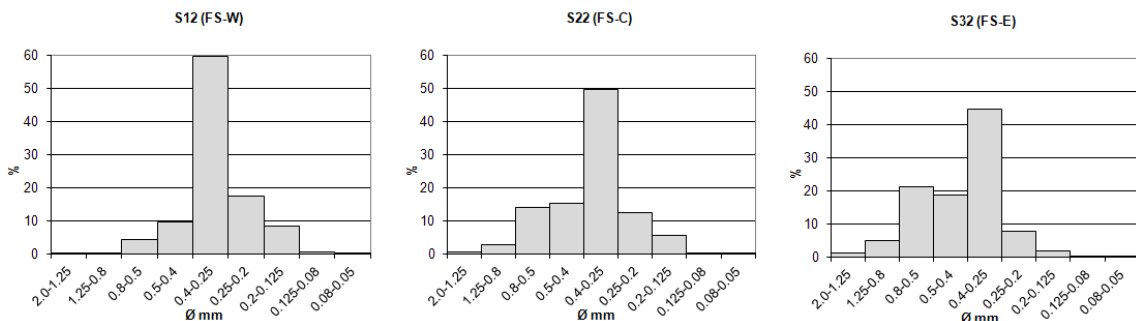
Grafikoa 21. Metatze-kurbak (Santiago – shoreface – 2013/11/02)

Azalpen granulometrikoak:

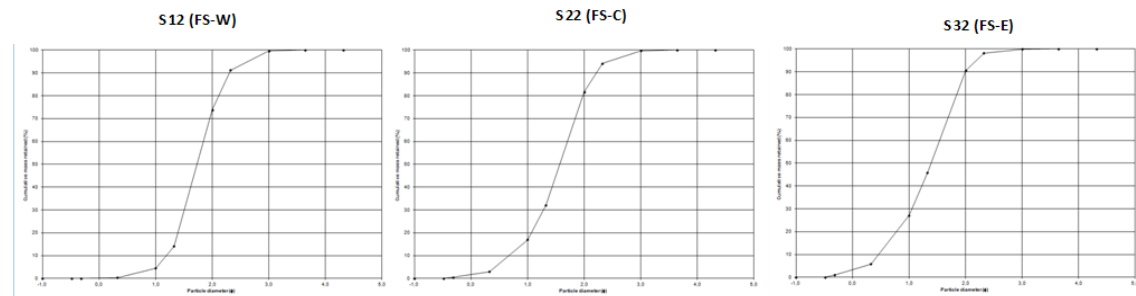
Kurba hiperboliko sigmoidalak eta histograma unimodalak, non tamaina ertaineko hondarra nagusi den. Bataz besteko balioak 279,9 eta 313,2 μm artean daude.

Erdialdean olatuen energia altuagoa izan da ertzetan baino, hiru kasuak moderatuki ondo hautatuak egon arren, erdiko balioa besteak baino hobea baita. Bestalde, mediana eta bataz besteko balioen artean, desberdintasun nabaria antzematen da (kasurik okerrenean 9 μm aldea); sedimentu higadura edo garbiketa ematen ari den seinale. Azkenik, kurtosi (leptokutikoa) balioak ikusita, eremu osoan itsas energia oso konstantea dela ondoriozta daiteke.

SANTIAGO – FORESHORE [2013/11/02]



Grafikoa 22. Laginen histogramak (Santiago – foreshore – 2013/11/02)



Grafikoa 23. Metatze-kurbak (Santiago – foreshore – 2013/11/02)

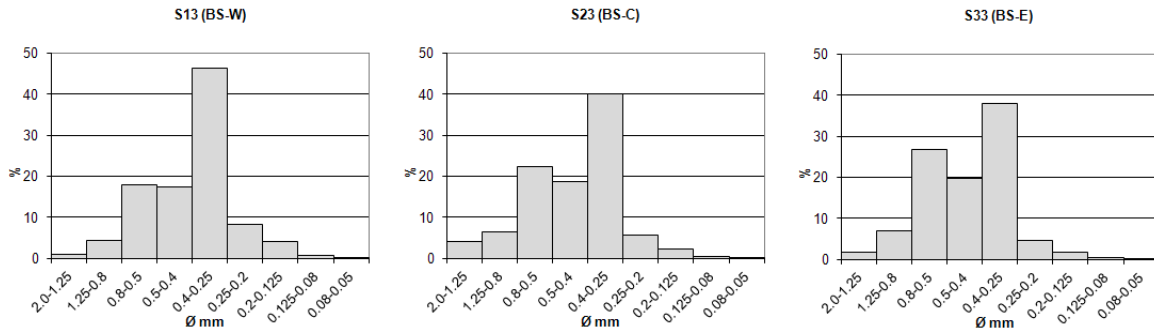
Azalpen granulometrikoa:

Kurba hiperboliko sigmoidalak dira, azken biak apalagoak izanik beste biak baino. Bataz besteko balioak 296,5 eta 403 μm artean daude, non tamaina ertaineko sedimentua nabarmentzen den.

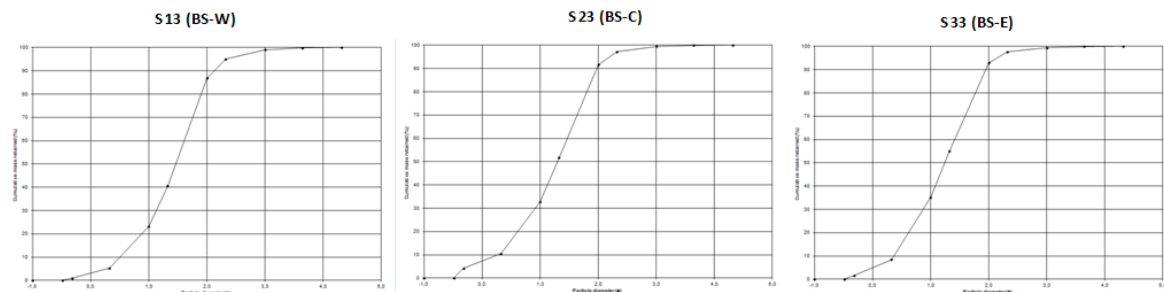
Hondartzaren mendebalean itsasoaren energia besteetan baino konstanteagoa izanda, hautespen ($\sigma_{12}=0,456$) eta kurtosi (leptokurtikoa) balioen arabera. Horrez gain, alborapen positiboak adierazten duenez, eremu honetan sedimentu metaketa ematen ari da.

Erdialdean eta ekialdean egoera bestelakoa da. Eremu hauetan mediana eta bataz bestekoaren arteko diferentzia nabaria da; ekialdean ematen da diferentzi handiena ($20,3 \mu\text{m} D_{50} < M_z$). Higadura edo garbiketa prozesuaren seinale dira, bataz besteko indarra normala baino handiagoa izan delarik.

SANTIAGO – BACKSHORE [2013/11/02]



Grafikoa 24. Laginen histrogramak (Santiago – backshore – 2013/11/02)



Grafikoa 25. Metatzekurbak (Santiago – backshore – 2013/11/02)

Azalpen granulometrikoak:

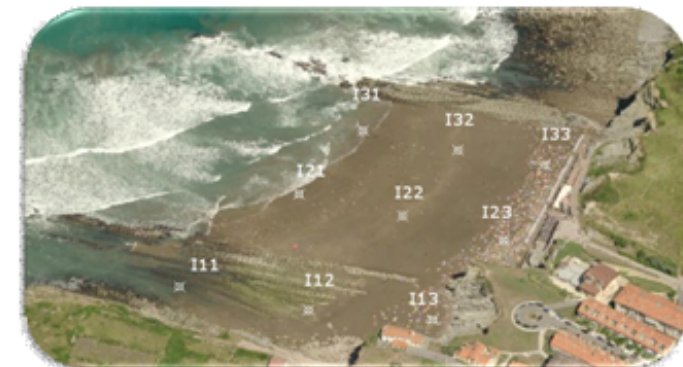
Bataz besteko balioak 383,5 eta 436,1 μm artean daude, kurba hiperboliko sigmoidal apalak dira eta histogramak, bimodal (S23) zein unimodalak (S13 eta S33).

Histograma bimodala, hondartzaren erdialdean sedimentu nahasketa (lodia eta fina) eman denaren seinale da. Bestalde, orokorrean sedimentu mugimendu txikia eman bada ere, garbiketaren seinale dira alborapen balio negatiboak; ipar norabideko haizeak hondartzaren atzealdera mugiaraziz hondarra.

8.2. Bigarren kanpainaren emaitzak

| ITZURUN 2013_12_08 | | | | | | | | | | | | | | | |
|--------------------|------------|-------------|--------|----------|------------|-------------|--------|----------|------------|-------------|--------|----------|------------|-------------|--------|
| PUNTUA | x | y | H | PUNTUA | x | y | H | PUNTUA | x | y | H | PUNTUA | x | y | H |
| Base_ITZU | 559971,107 | 4794347,039 | 40,833 | ITZU_62 | 559934,961 | 4794369,640 | 1,723 | ITZU_124 | 559938,929 | 4794409,833 | 0,919 | ITZU_186 | 559821,567 | 4794320,618 | 0,388 |
| ITZU_01 | 560035,736 | 4794519,904 | 2,425 | ITZU_63 | 559946,363 | 4794381,173 | 1,873 | ITZU_125 | 559925,414 | 4794399,782 | 0,810 | ITZU_187 | 559815,415 | 4794321,287 | 0,359 |
| ITZU_02 | 560032,758 | 4794520,130 | 2,228 | ITZU_64 | 559945,547 | 4794393,835 | 1,458 | ITZU_126 | 559907,529 | 4794420,451 | -0,142 | ITZU_188 | 559811,965 | 4794328,661 | 0,551 |
| ITZU_03 | 560033,813 | 4794517,512 | 2,370 | ITZU_65 | 559934,804 | 4794386,727 | 1,323 | ITZU_127 | 559894,509 | 4794406,577 | -0,006 | ITZU_189 | 559798,270 | 4794333,967 | 0,207 |
| ITZU_04 | 560030,607 | 4794518,030 | 2,235 | ITZU_66 | 559939,495 | 4794401,175 | 1,119 | ITZU_128 | 559904,744 | 4794393,491 | 0,566 | ITZU_190 | 559790,405 | 4794330,921 | 0,029 |
| ITZU_05 | 560037,868 | 4794518,550 | 2,545 | ITZU_67 | 559951,642 | 4794404,045 | 1,410 | ITZU_129 | 559929,365 | 4794388,606 | 1,131 | ITZU_191 | 559778,971 | 4794334,004 | -0,534 |
| ITZU_06 | 560037,758 | 4794516,005 | 2,653 | ITZU_68 | 559964,884 | 4794409,244 | 1,737 | ITZU_130 | 559925,625 | 4794375,031 | 1,066 | ITZU_192 | 559768,715 | 4794340,824 | -0,939 |
| ITZU_07 | 560049,983 | 4794513,727 | 2,685 | ITZU_69 | 559963,512 | 4794423,311 | 1,218 | ITZU_131 | 559902,900 | 4794379,971 | 0,747 | ITZU_193 | 559764,712 | 4794347,348 | -1,088 |
| ITZU_08 | 560043,928 | 4794511,603 | 2,991 | ITZU_70 | 559952,005 | 4794415,248 | 1,110 | ITZU_132 | 559888,564 | 4794384,935 | 0,494 | ITZU_194 | 559757,110 | 4794355,465 | -1,367 |
| ITZU_09 | 560043,507 | 4794508,748 | 3,097 | ITZU_71 | 559957,054 | 4794427,343 | 0,942 | ITZU_133 | 559876,561 | 4794388,011 | 0,198 | ITZU_195 | 559758,909 | 4794358,684 | -1,382 |
| ITZU_10 | 560041,797 | 4794508,042 | 3,069 | ITZU_72 | 559964,247 | 4794416,136 | 1,468 | ITZU_134 | 559925,024 | 4794371,852 | 1,136 | ITZU_196 | 559771,654 | 4794360,253 | -1,317 |
| ITZU_11 | 560041,252 | 4794511,247 | 2,793 | ITZU_73 | 559974,153 | 4794427,232 | 1,511 | ITZU_135 | 559932,608 | 4794366,282 | 1,733 | ITZU_197 | 559782,230 | 4794351,054 | -0,878 |
| ITZU_12 | 560037,405 | 4794511,525 | 2,652 | ITZU_74 | 559973,439 | 4794442,959 | 1,073 | ITZU_136 | 559941,185 | 4794360,129 | 2,326 | ITZU_198 | 559796,696 | 4794344,176 | -0,249 |
| ITZU_13 | 560035,150 | 4794500,920 | 2,999 | ITZU_75 | 559971,956 | 4794457,754 | 0,780 | ITZU_137 | 559929,421 | 4794363,907 | 1,679 | ITZU_199 | 559812,764 | 4794343,123 | 0,049 |
| ITZU_14 | 560032,576 | 4794489,601 | 3,232 | ITZU_76 | 559983,578 | 4794460,827 | 1,061 | ITZU_138 | 559945,862 | 4794355,547 | 2,798 | ITZU_200 | 559812,398 | 4794329,512 | 0,552 |
| ITZU_15 | 560028,821 | 4794490,065 | 2,815 | ITZU_77 | 559985,942 | 4794446,686 | 1,395 | ITZU_139 | 559943,255 | 4794350,270 | 2,728 | ITZU_201 | 559806,753 | 4794317,400 | 0,122 |
| ITZU_16 | 560031,068 | 4794517,061 | 2,232 | ITZU_78 | 559990,397 | 4794460,580 | 1,289 | ITZU_140 | 559940,577 | 4794349,064 | 2,617 | ITZU_202 | 559802,107 | 4794326,394 | 0,098 |
| ITZU_17 | 560034,429 | 4794515,394 | 2,392 | ITZU_79 | 559987,299 | 4794471,618 | 1,016 | ITZU_141 | 559946,850 | 4794345,907 | 3,141 | ITZU_203 | 559798,872 | 4794329,653 | 0,055 |
| ITZU_18 | 560029,228 | 4794517,391 | 2,149 | ITZU_80 | 559974,744 | 4794464,534 | 0,744 | ITZU_142 | 559942,455 | 4794338,219 | 2,955 | ITZU_204 | 559794,658 | 4794328,557 | -0,018 |
| ITZU_19 | 560024,357 | 4794518,415 | 1,952 | ITZU_81 | 559979,087 | 4794479,553 | 0,688 | ITZU_143 | 559941,577 | 4794327,738 | 3,200 | ITZU_205 | 559834,258 | 4794344,264 | 0,241 |
| ITZU_20 | 560024,922 | 4794514,450 | 2,023 | ITZU_82 | 559992,927 | 4794482,451 | 1,063 | ITZU_144 | 559933,769 | 4794320,920 | 3,051 | ITZU_206 | 559820,138 | 4794357,355 | -0,284 |
| ITZU_21 | 560018,856 | 4794508,347 | 1,870 | ITZU_83 | 559993,989 | 4794466,319 | 1,316 | ITZU_145 | 559932,464 | 4794314,148 | 3,217 | ITZU_207 | 559806,654 | 4794360,761 | -0,537 |
| ITZU_22 | 560029,975 | 4794503,241 | 2,521 | ITZU_84 | 560000,144 | 4794485,921 | 1,236 | ITZU_146 | 559919,819 | 4794318,389 | 2,638 | ITZU_208 | 559793,145 | 4794365,498 | -1,320 |
| ITZU_23 | 560024,588 | 4794497,093 | 2,317 | ITZU_85 | 559989,009 | 4794481,663 | 0,943 | ITZU_147 | 559927,232 | 4794332,785 | 2,403 | ITZU_209 | 559796,503 | 4794375,766 | -1,405 |
| ITZU_24 | 560015,370 | 4794496,033 | 1,906 | ITZU_86 | 559989,268 | 4794495,315 | 0,850 | ITZU_148 | 559925,889 | 4794348,629 | 2,025 | ITZU_210 | 559814,430 | 4794372,966 | -0,675 |
| ITZU_25 | 560018,491 | 4794487,559 | 2,289 | ITZU_87 | 560002,291 | 4794504,082 | 1,204 | ITZU_149 | 559933,138 | 4794356,863 | 2,102 | ITZU_211 | 559813,427 | 4794382,671 | -1,134 |
| ITZU_26 | 560024,966 | 4794479,279 | 3,120 | ITZU_88 | 560006,187 | 4794491,347 | 1,434 | ITZU_150 | 559930,046 | 4794362,389 | 1,751 | ITZU_212 | 559811,538 | 4794388,459 | -1,167 |
| ITZU_27 | 560014,227 | 4794477,686 | 2,302 | ITZU_89 | 560010,711 | 4794506,152 | 1,538 | ITZU_151 | 559916,912 | 4794348,763 | 1,717 | ITZU_213 | 559827,331 | 4794382,438 | -0,661 |
| ITZU_28 | 560005,716 | 4794486,212 | 1,489 | ITZU_90 | 560002,640 | 4794515,145 | 1,226 | ITZU_152 | 559913,045 | 4794332,980 | 1,968 | ITZU_214 | 559834,490 | 4794362,500 | -0,059 |
| ITZU_29 | 560011,543 | 4794471,617 | 2,294 | ITZU_91 | 559992,971 | 4794508,278 | 0,913 | ITZU_153 | 559908,361 | 4794324,493 | 2,058 | ITZU_215 | 559850,451 | 4794369,974 | 0,150 |
| ITZU_30 | 560019,047 | 4794461,852 | 3,229 | ITZU_92 | 559997,578 | 4794526,439 | 0,848 | ITZU_154 | 559908,115 | 4794318,887 | 2,309 | ITZU_216 | 559847,375 | 4794382,379 | -0,218 |
| ITZU_31 | 560004,901 | 4794457,868 | 2,299 | ITZU_93 | 560011,651 | 4794522,070 | 1,493 | ITZU_155 | 559902,464 | 4794319,939 | 2,143 | ITZU_217 | 559860,201 | 4794384,400 | 0,023 |
| ITZU_32 | 559994,554 | 4794466,968 | 1,332 | ITZU_94 | 559997,104 | 4794530,381 | 0,691 | ITZU_156 | 559896,580 | 4794318,718 | 2,005 | ITZU_218 | 559828,616 | 4794387,146 | -0,942 |
| ITZU_33 | 559997,773 | 4794446,962 | 2,198 | ITZU_95 | 559993,373 | 4794531,432 | 0,573 | ITZU_157 | 559907,371 | 4794338,470 | 1,636 | ITZU_219 | 559839,993 | 4794385,844 | -0,538 |
| ITZU_34 | 560011,778 | 4794440,327 | 3,481 | ITZU_96 | 559991,521 | 4794529,522 | 0,650 | ITZU_158 | 559907,859 | 4794353,447 | 1,368 | ITZU_220 | 559828,310 | 4794392,396 | -0,893 |
| ITZU_35 | 560009,717 | 4794440,419 | 3,295 | ITZU_97 | 559988,187 | 4794529,185 | 0,611 | ITZU_159 | 559922,265 | 4794358,804 | 1,698 | ITZU_221 | 559820,153 | 4794395,187 | -0,847 |
| ITZU_36 | 559993,110 | 4794435,267 | 2,379 | ITZU_98 | 559977,350 | 4794531,162 | 0,374 | ITZU_160 | 559916,913 | 4794371,807 | 1,290 | ITZU_222 | 559798,318 | 4794402,002 | -1,366 |
| ITZU_37 | 559983,405 | 4794444,050 | 1,357 | ITZU_99 | 559950,141 | 4794539,479 | -0,434 | ITZU_161 | 559901,275 | 4794358,829 | 1,117 | ITZU_223 | 559820,072 | 4794398,733 | -1,100 |
| ITZU_38 | 559983,480 | 4794426,862 | 2,018 | ITZU_100 | 559966,843 | 4794530,531 | -0,187 | ITZU_162 | 559899,209 | 4794342,605 | 1,339 | ITZU_224 | 559843,885 | 4794392,875 | -0,646 |
| ITZU_39 | 559997,601 | 4794429,197 | 2,863 | ITZU_101 | 559968,458 | 4794528,224 | 0,201 | ITZU_163 | 559884,858 | 4794338,454 | 1,093 | ITZU_225 | 559854,385 | 4794392,298 | -0,393 |
| ITZU_40 | 560006,373 | 4794431,256 | 3,526 | ITZU_102 | 559975,387 | 4794519,887 | 0,408 | ITZU_164 | 559888,567 | 4794326,032 | 1,439 | ITZU_226 | 559794,682 | 4794409,563 | -1,205 |
| ITZU_41 | 560007,980 | 4794429,376 | 3,858 | ITZU_103 | 559988,848 | 4794521,044 | 0,794 | ITZU_165 | 559889,595 | 4794316,346 | 1,750 | ITZU_227 | 559816,310 | 4794413,977 | -1,191 |
| ITZU_42 | 559992,259 | 4794420,151 | 2,789 | ITZU_104 | 559992,757 | 4794512,908 | 0,916 | ITZU_166 | 559880,043 | 4794316,873 | 1,490 | ITZU_228 | 559842,297 | 4794413,411 | -1,208 |
| ITZU_43 | 559976,360 | 4794427,892 | 1,592 | ITZU_105 | 559981,318 | 4794506,398 | 0,565 | ITZU_167 | 559875,279 | 4794316,016 | 1,438 | ITZU_229 | 559862,892 | 4794406,743 | -0,696 |
| ITZU_44 | 559978,829 | 4794408,438 | 2,422 | ITZU_106 | 559969,808 | 4794511,457 | 0,206 | ITZU_168 | 559873,851 | 4794308,225 | 1,474 | ITZU_230 | 559869,759 | 4794424,398 | -1,300 |
| ITZU_45 | 559994,235 | 4794414,606 | 3,160 | ITZU_107 | 559957,308 | 4794506,280 | -0,160 | ITZU_169 | 559869,521 | 4794308,938 | 1,256 | ITZU_231 | 559889,317 | 4794423,068 | -0,687 |
| ITZU_46 | 559999,438 | 4794405,663 | 3,962 | ITZU_108 | 559947,171 | 4794512,567 | -0,511 | ITZU_170 | 559869,484 | 4794318,138 | 1,195 | ITZU_232 | 559895,231 | 4794440,080 | -1,148 |
| ITZU_47 | 559981,735 | 4794396,811 | 2,977 | ITZU_109 | 559938,965 | 4794504,661 | -0,815 | ITZU_171 | 559863,040 | 4794305,941 | 1,088 | ITZU_233 | 559908,013 | 4794440,859 | -0,755 |
| ITZU_48 | 559969,164 | 4794405,279 | 2,057 | ITZU_110 | 559946,241 | 4794488,829 | -0,445 | ITZU_172 | 559849,318 | | | | | | |

| SANTIAGO 2013_12_07 | | | | | | | | | | | | | | | |
|---------------------|------------|-------------|-------|---------|------------|-------------|-------|---------|------------|-------------|-------|---------|------------|-------------|--------|
| PUNTUA | x | y | H | PUNTUA | x | y | H | PUNTUA | x | y | H | PUNTUA | x | y | H |
| Base_SAN | 561185,509 | 4794616,361 | 9,229 | SAN_59 | 561116,733 | 4794564,193 | 3,759 | SAN_118 | 561025,619 | 4794696,305 | 3,479 | SAN_177 | 561173,839 | 4794643,969 | 1,746 |
| SAN_01 | 561101,568 | 4794519,736 | 4,152 | SAN_60 | 561105,439 | 4794544,166 | 3,580 | SAN_119 | 561023,466 | 4794704,307 | 3,219 | SAN_178 | 561176,725 | 4794629,724 | 3,079 |
| SAN_02 | 561093,177 | 4794518,452 | 3,508 | SAN_61 | 561106,986 | 4794517,572 | 4,908 | SAN_120 | 561013,633 | 4794691,504 | 3,623 | SAN_179 | 561182,921 | 4794627,866 | 3,306 |
| SAN_03 | 561084,718 | 4794518,583 | 3,173 | SAN_62 | 561120,809 | 4794527,685 | 4,680 | SAN_121 | 561000,142 | 4794684,162 | 3,831 | SAN_180 | 561195,002 | 4794638,590 | 2,350 |
| SAN_04 | 561076,115 | 4794510,184 | 3,134 | SAN_63 | 561115,316 | 4794539,277 | 3,623 | SAN_122 | 560985,568 | 4794669,015 | 4,195 | SAN_181 | 561183,057 | 4794640,050 | 2,138 |
| SAN_05 | 561077,685 | 4794494,705 | 3,190 | SAN_64 | 561134,892 | 4794539,070 | 4,155 | SAN_123 | 560970,496 | 4794667,641 | 4,624 | SAN_182 | 561187,913 | 4794653,364 | 1,233 |
| SAN_06 | 561091,181 | 4794480,415 | 3,031 | SAN_65 | 561119,114 | 4794554,479 | 3,669 | SAN_124 | 560982,591 | 4794681,945 | 4,638 | SAN_183 | 561196,344 | 4794653,628 | 1,289 |
| SAN_07 | 561103,006 | 4794458,572 | 3,118 | SAN_66 | 561117,774 | 4794575,013 | 3,905 | SAN_125 | 560996,956 | 4794690,166 | 3,919 | SAN_184 | 561203,464 | 4794660,447 | 0,901 |
| SAN_08 | 561104,836 | 4794443,250 | 3,143 | SAN_67 | 561134,363 | 4794579,909 | 3,788 | SAN_126 | 560997,448 | 4794706,315 | 4,138 | SAN_185 | 561211,466 | 4794668,608 | 0,498 |
| SAN_09 | 561091,093 | 4794457,041 | 3,489 | SAN_68 | 561132,533 | 4794556,650 | 3,739 | SAN_127 | 561015,001 | 4794706,955 | 3,423 | SAN_186 | 561219,061 | 4794679,869 | 0,181 |
| SAN_10 | 561087,429 | 4794470,618 | 3,388 | SAN_69 | 561144,549 | 4794547,681 | 4,253 | SAN_128 | 561011,777 | 4794717,676 | 3,257 | SAN_187 | 561218,196 | 4794689,987 | -0,212 |
| SAN_11 | 561070,706 | 4794480,603 | 3,572 | SAN_70 | 561145,219 | 4794564,776 | 3,649 | SAN_129 | 561006,911 | 4794722,964 | 3,477 | SAN_188 | 561213,771 | 4794696,331 | -0,476 |
| SAN_12 | 561066,476 | 4794497,610 | 3,387 | SAN_71 | 561158,389 | 4794568,260 | 4,126 | SAN_130 | 561009,985 | 4794727,442 | 2,853 | SAN_189 | 561204,108 | 4794684,632 | 0,132 |
| SAN_13 | 561049,721 | 4794503,429 | 3,491 | SAN_72 | 561163,249 | 4794561,398 | 6,559 | SAN_131 | 561016,928 | 4794735,305 | 1,531 | SAN_190 | 561188,590 | 4794673,012 | 0,491 |
| SAN_14 | 561039,681 | 4794513,735 | 3,453 | SAN_73 | 561165,207 | 4794567,796 | 5,607 | SAN_132 | 561021,516 | 4794744,564 | 1,006 | SAN_191 | 561165,368 | 4794672,342 | 0,709 |
| SAN_15 | 561046,138 | 4794530,495 | 3,496 | SAN_74 | 561168,959 | 4794572,866 | 5,147 | SAN_133 | 561026,741 | 4794728,561 | 1,775 | SAN_192 | 561156,962 | 4794690,391 | 0,029 |
| SAN_16 | 561055,043 | 4794515,079 | 3,468 | SAN_75 | 561161,789 | 4794569,904 | 4,618 | SAN_134 | 561021,160 | 4794714,671 | 2,880 | SAN_193 | 561176,194 | 4794693,354 | -0,220 |
| SAN_17 | 561065,395 | 4794506,427 | 3,357 | SAN_76 | 561152,582 | 4794576,217 | 3,777 | SAN_135 | 561028,406 | 4794704,252 | 2,971 | SAN_194 | 561150,232 | 4794698,698 | -0,229 |
| SAN_18 | 561072,645 | 4794524,677 | 3,328 | SAN_77 | 561164,785 | 4794584,288 | 4,577 | SAN_136 | 561033,332 | 4794710,758 | 2,687 | SAN_195 | 561127,662 | 4794690,289 | 0,446 |
| SAN_19 | 561088,193 | 4794529,155 | 3,393 | SAN_78 | 561173,989 | 4794583,240 | 7,127 | SAN_137 | 561037,178 | 4794721,995 | 1,725 | SAN_196 | 561113,236 | 4794693,902 | 0,610 |
| SAN_20 | 561098,893 | 4794527,269 | 3,583 | SAN_79 | 561173,555 | 4794595,524 | 6,289 | SAN_138 | 561048,657 | 4794723,710 | 1,212 | SAN_197 | 561107,696 | 4794711,078 | 0,058 |
| SAN_21 | 561097,499 | 4794543,309 | 3,639 | SAN_80 | 561169,731 | 4794609,405 | 4,400 | SAN_139 | 561048,327 | 4794711,413 | 1,921 | SAN_198 | 561129,301 | 4794711,593 | -0,406 |
| SAN_22 | 561084,296 | 4794539,692 | 3,610 | SAN_81 | 561168,624 | 4794597,812 | 4,738 | SAN_140 | 561048,799 | 4794699,733 | 2,916 | SAN_199 | 561119,756 | 4794728,833 | -0,885 |
| SAN_23 | 561070,068 | 4794535,785 | 3,592 | SAN_82 | 561169,531 | 4794589,364 | 5,452 | SAN_141 | 561050,666 | 4794691,791 | 3,598 | SAN_200 | 561097,820 | 4794726,005 | -0,274 |
| SAN_24 | 561077,540 | 4794547,130 | 3,776 | SAN_83 | 561158,173 | 4794586,595 | 3,791 | SAN_142 | 561065,622 | 4794699,063 | 1,941 | SAN_201 | 561095,390 | 4794710,042 | 0,424 |
| SAN_25 | 561089,897 | 4794559,612 | 3,843 | SAN_84 | 561142,493 | 4794582,586 | 3,633 | SAN_143 | 561071,489 | 4794710,841 | 1,013 | SAN_202 | 561075,281 | 4794720,934 | 0,511 |
| SAN_26 | 561078,034 | 4794569,843 | 4,092 | SAN_85 | 561153,185 | 4794598,510 | 3,666 | SAN_144 | 561079,445 | 4794695,558 | 1,522 | SAN_203 | 561088,394 | 4794731,593 | -0,271 |
| SAN_27 | 561070,862 | 4794553,983 | 3,859 | SAN_86 | 561154,461 | 4794614,790 | 3,828 | SAN_145 | 561066,861 | 4794688,499 | 2,974 | SAN_204 | 561077,963 | 4794747,204 | -0,689 |
| SAN_28 | 561054,768 | 4794549,194 | 3,697 | SAN_87 | 561144,905 | 4794622,221 | 3,975 | SAN_146 | 561071,246 | 4794679,043 | 3,732 | SAN_205 | 561065,320 | 4794731,129 | 0,375 |
| SAN_29 | 561066,021 | 4794562,528 | 3,945 | SAN_88 | 561138,377 | 4794605,621 | 3,729 | SAN_147 | 561079,599 | 4794672,680 | 3,885 | SAN_206 | 561044,895 | 4794732,125 | 1,070 |
| SAN_30 | 561067,088 | 4794577,170 | 4,158 | SAN_89 | 561119,489 | 4794600,821 | 3,976 | SAN_148 | 561085,628 | 4794674,683 | 3,200 | SAN_207 | 561058,817 | 4794745,252 | 0,012 |
| SAN_31 | 561049,594 | 4794576,216 | 3,902 | SAN_90 | 561129,725 | 4794612,982 | 3,940 | SAN_149 | 561081,014 | 4794684,942 | 2,310 | SAN_208 | 561056,793 | 4794764,230 | -0,824 |
| SAN_32 | 561045,921 | 4794549,873 | 3,652 | SAN_91 | 561145,001 | 4794624,546 | 3,983 | SAN_150 | 561091,847 | 4794693,123 | 1,206 | SAN_209 | 561037,840 | 4794757,873 | 0,225 |
| SAN_33 | 561039,246 | 4794527,839 | 3,379 | SAN_92 | 561134,135 | 4794630,702 | 4,160 | SAN_151 | 561098,272 | 4794679,720 | 1,745 | SAN_210 | 561025,945 | 4794753,356 | 0,621 |
| SAN_34 | 561031,019 | 4794543,837 | 3,669 | SAN_93 | 561122,678 | 4794623,466 | 4,185 | SAN_152 | 561101,057 | 4794666,086 | 3,096 | SAN_211 | 561034,167 | 4794773,470 | -0,369 |
| SAN_35 | 561028,123 | 4794566,676 | 3,820 | SAN_94 | 561108,592 | 4794612,902 | 4,225 | SAN_153 | 561103,628 | 4794655,465 | 3,837 | SAN_212 | 561045,154 | 4794766,958 | -0,476 |
| SAN_36 | 561041,503 | 4794582,079 | 4,115 | SAN_95 | 561098,708 | 4794625,771 | 4,321 | SAN_154 | 561111,860 | 4794656,396 | 3,266 | SAN_213 | 561037,342 | 4794782,262 | -0,741 |
| SAN_37 | 561031,405 | 4794596,629 | 4,186 | SAN_96 | 561113,231 | 4794630,527 | 4,349 | SAN_155 | 561112,068 | 4794664,398 | 2,538 | SAN_214 | 561043,048 | 4794797,525 | -1,385 |
| SAN_38 | 561024,155 | 4794578,044 | 3,914 | SAN_97 | 561124,405 | 4794639,921 | 4,146 | SAN_156 | 561116,093 | 4794678,290 | 1,204 | SAN_215 | 561049,529 | 4794787,007 | -1,363 |
| SAN_39 | 560999,119 | 4794568,263 | 3,709 | SAN_98 | 561114,028 | 4794645,807 | 3,987 | SAN_157 | 561128,186 | 4794674,683 | 1,114 | SAN_216 | 561053,036 | 4794774,719 | -1,127 |
| SAN_40 | 560993,019 | 4794596,512 | 3,670 | SAN_99 | 561116,420 | 4794639,551 | 4,394 | SAN_158 | 561128,858 | 4794660,087 | 2,114 | SAN_217 | 561062,780 | 4794769,758 | -1,270 |
| SAN_41 | 560993,414 | 4794623,264 | 3,877 | SAN_100 | 561101,583 | 4794637,425 | 4,381 | SAN_159 | 561126,271 | 4794648,670 | 3,100 | SAN_218 | 561068,998 | 4794758,515 | -0,947 |
| SAN_42 | 560978,202 | 4794603,867 | 3,583 | SAN_101 | 561084,227 | 4794628,945 | 4,346 | SAN_160 | 561128,390 | 4794640,839 | 3,794 | SAN_219 | 561078,461 | 4794758,712 | -1,229 |
| SAN_43 | 560958,540 | 4794588,750 | 3,436 | SAN_102 | 561079,734 | 4794649,033 | 4,248 | SAN_161 | 561138,070 | 4794643,348 | 3,134 | SAN_220 | 561086,326 | 4794755,070 | -1,280 |
| SAN_44 | 560937,694 | 4794597,392 | 3,436 | SAN_103 | 561094,340 | 4794654,891 | 4,347 | SAN_162 | 561139,960 | 4794654,372 | 2,061 | SAN_221 | 561090,479 | 4794742,332 | -0,802 |
| SAN_45 | 560962,753 | 4794614,174 | 3,542 | SAN_104 | 561090,816 | 4794662,727 | 4,087 | SAN_163 | 561152,664 | 4794661,679 | 1,249 | SAN_222 | 561102,293 | 4794745,523 | -1,213 |
| SAN_46 | 560950,011 | 4794630,108 | 4,052 | SAN_105 | 561078,636 | 4794664,629 | 4,306 | SAN_164 | 561157,031 | 4794649,110 | 1,698 | SAN_223 | 561114,465 | 4794742,639 | -1,280 |
| SAN_47 | 560969,870 | 4794642,698 | 3,888 | SAN_106 | 561058,577 | 4794654,443 | 4,056 | SAN_165 | 561148,967 | 4794639,639 | 3,077 | SAN_224 | 561124,985 | 4794739,129 | -1,266 |
| SAN_48 | 560964,229 | 4794658,015 | 4,624 | SAN_107 | 561038,312 | 4794648,352 | 4,076 | SAN_166 | 561148,470 | 4794629,088 | 3,504 | SAN_225 | 561124,670 | 4794726,829 | -0,888 |
| SAN_49 | 560978,619 | 4794650,993 | 4,033 | SAN_108 | 561040,246 | 4794675,389 | 3,843 | SAN_167 | 561156,782 | 4794621,415 | 3,611 | SAN_226 | 561144,594 | 4794727,215 | -1,093 |
| SAN_50 | 560992,582 | 4794656,743 | 4,143 | SAN_109 | 561055,630 | 4794681,757 | 4,106 | SAN_168 | 561167,9 | | | | | | |



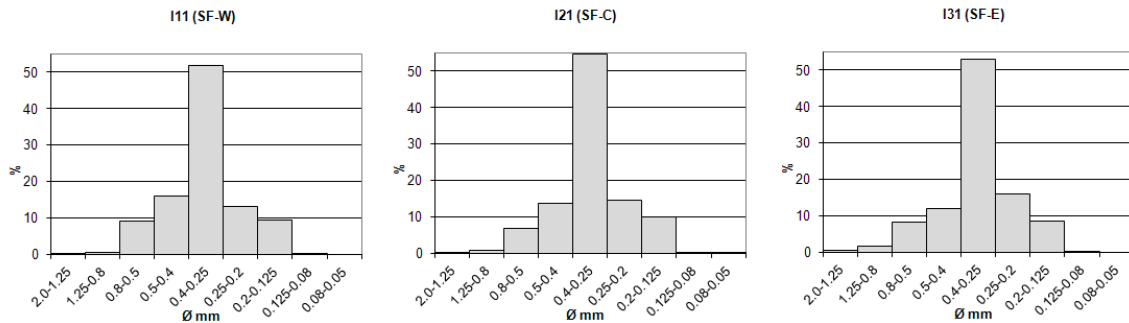
ITZURUN HONDARTZA

BS: Backshore, FS: Foreshore, SF: Shoreface
W: West (Mendebala), C: Center (Zentroa), E: East (Ekialdea)

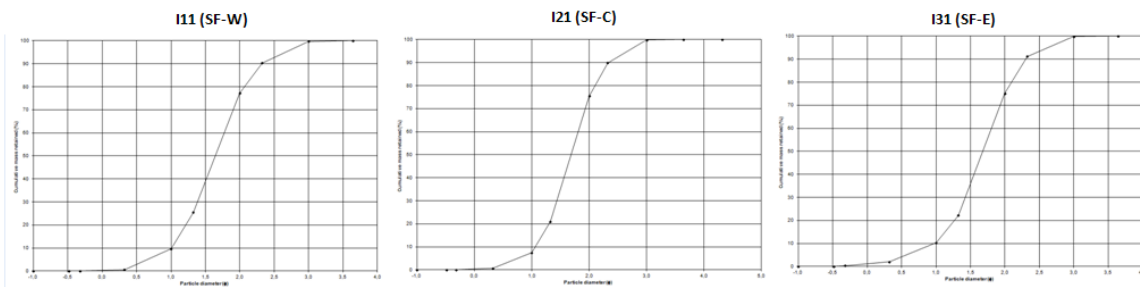
| | SAMPLE TYPE | I11 | I21 | I31 | I12 | I22 | I32 | I13 | I23 | I33 |
|--|------------------------|--------|--------|--------|--------|--------|--------|--------|--------|--------|
| | SF-W | SF-C | SF-E | FS-W | FS-C | FS-E | BS-W | BS-C | BS-E | |
| MODE 1 (μm) | 325,0 | 325,0 | 325,0 | 325,0 | 325,0 | 325,0 | 325,0 | 325,0 | 325,0 | 325,0 |
| GEOMETRIC FOLK & WARD METHOD (μm) | MEDIAN (D_{50}) | 320,2 | 311,5 | 312,4 | 350,9 | 334,0 | 325,4 | 307,8 | 271,2 | 258,2 |
| | MEAN (M_z) | 319,4 | 309,4 | 314,1 | 354,9 | 337,5 | 327,3 | 304,7 | 265,4 | 246,2 |
| LOGARITHMIC FOLK & WARD METHOD (ϕ) | MEDIAN (D_{50}) | 1,643 | 1,683 | 1,679 | 1,511 | 1,582 | 1,620 | 1,700 | 1,883 | 1,953 |
| | MEAN (M_z) | 1,646 | 1,692 | 1,671 | 1,495 | 1,567 | 1,611 | 1,714 | 1,914 | 2,022 |
| | SORTING (σ_1) | 0,564 | 0,538 | 0,568 | 0,455 | 0,362 | 0,340 | 0,360 | 0,443 | 0,511 |
| | SKEWNESS (SK_1) | 0,012 | 0,030 | -0,052 | -0,112 | -0,012 | -0,013 | 0,045 | 0,196 | 0,213 |
| | KURTOSIS (K_6) | 1,249 | 1,266 | 1,319 | 1,060 | 0,939 | 0,996 | 1,009 | 0,970 | 0,869 |
| TOTALITY OF THE SAMPLE (%) | VERY COARSE SAND | 0,339 | 0,404 | 1,180 | 0,361 | 0,038 | 0,078 | 0,005 | - | 0,002 |
| | COARSE SAND | 9,279 | 7,048 | 9,147 | 11,552 | 3,707 | 2,212 | 1,426 | 0,114 | 0,142 |
| | MEDIUM SAND | 67,617 | 68,049 | 64,764 | 79,442 | 87,184 | 88,048 | 79,169 | 59,985 | 53,411 |
| | FINE SAND | 22,509 | 24,284 | 24,662 | 8,612 | 9,030 | 9,619 | 19,336 | 39,138 | 44,494 |
| | VERY FINE SAND | 0,255 | 0,211 | 0,247 | 0,034 | 0,041 | 0,044 | 0,064 | 0,763 | 1,948 |
| | VERY COARSE SILT | - | 0,003 | - | - | - | - | - | - | 0,003 |

Taula 11. Itzurun hondartzaren ezaugarri sedimentologikoak [2013/12/08]

ITZURUN – SHOREFACE [2013/12/08]



Grafikoa 26. Laginen histogramak (Itzurun – shoreface – 2013/12/08)



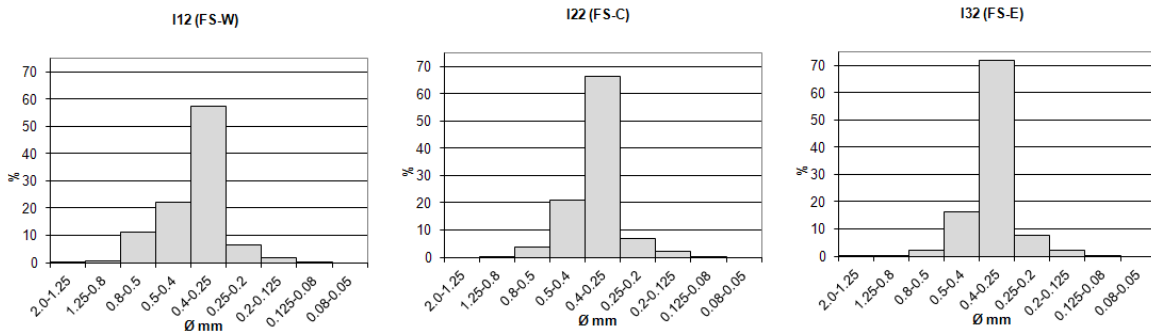
Grafikoa 27. Metatze-kurbak (Itzurun – shoreface – 2013/12/08)

Azalpen granulometrikoa:

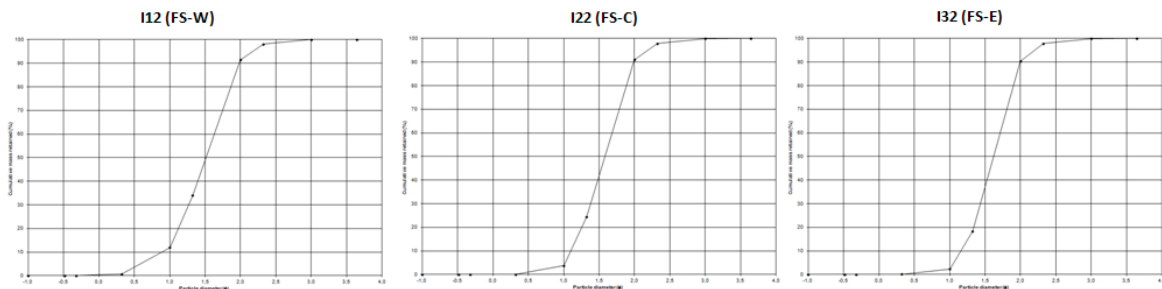
Kurba hiperboliko sigmoidal apalak eta histogramak unimodalak. Tamaina ertaineko hondarra nabarmentzen da, eta bataz besteko balioak 309,4 eta 319,4 μm artean daude.

Hiru kasuak, moderatuki hautatuak daude ($\sigma_{l11}=0,564$, $\sigma_{l21}=0,538$ eta $\sigma_{l31}=0,568$), tamaina desberdineko sedimentuen banaketa simetrikoa da eta distribuzio leptokurtikoa. Eremu osoan fluxuaren energia balio normaletan mantentzen da, indarra erdialdean ertzetan baino handiagoa den arren eta indar zinetikoa konstante mantentzen da, sedimentuen oreka mantenduz.

ITZURUN – FORESHORE [2013/12/08]



Grafikoa 28. Laginen histogramak (Itzurun – foreshore – 2013/12/08)



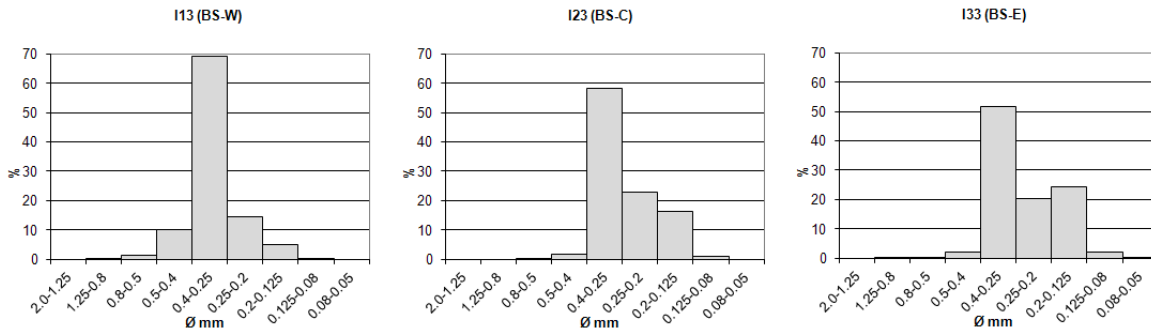
Grafikoa 29. Metatze-kurbak (Itzurun – foreshore – 2013/12/08)

Azalpen granulometrikoa:

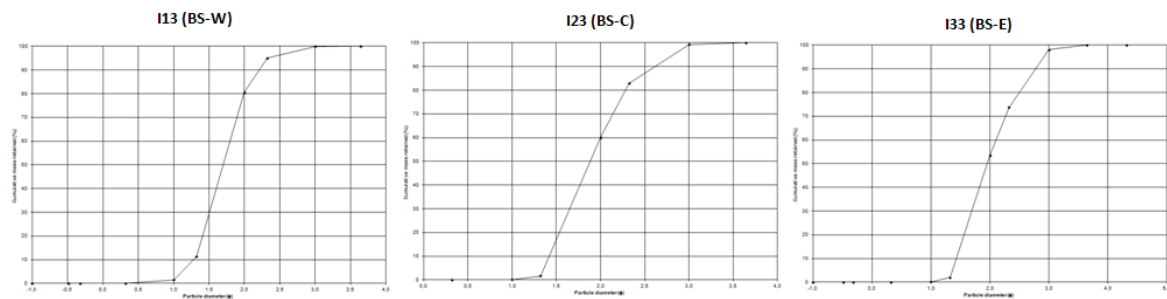
Histograma unimodalak eta metatze-kurba sigmoidal apalak. Tamaina ertaineko hondarra da nagusi eta bataz besteko balioak 327,2 eta 354,9 µm artean daude.

Hondartzaren mendebaldean, hautespen balioa kaxkarragoa ($\sigma_{I12}=0,455$) da besteekin ($\sigma_{I22}=0,362$ eta $\sigma_{I32}=0,340$) alderatua. Balioak ikusirik, olatuen energia ekialdean besteetan baino handiagoa izan dela ikus daiteke. Hala ere, mendebalean olatuen bataz besteko indarra normala baino handiagoa (alborapen negatiboa) izan da (higatura edo garbiketa prozesua ematen ari zen seinale). Kurtosi balioak (mesokurtikoa) berriz, eremu osoan indar zinetikoa konstante ez zenaren seinale dira.

ITZURUN – BACKSHORE [2013/12/08]



Grafikoa 30. Laginen histogramak (Itzurun – backshore – 2013/12/08)



Grafikoa 31. Metatze-kurbak (Itzurun – backshore – 2013/12/08)

Azalpen granulometrikoa:

Histograma unimodalak eta kurba hiperboliko sigmoidalak, oso apalak I23 eta I33 kasuak. Bataz besteko balioak mediana baino txikiagoak dira, baina mendebaleko zein erdialdeko laginen bataz bestekoek tamaina ertaineko sedimentu balioa ($Mz_{13}=304,7 \mu\text{m}$ eta $Mz_{23}=265,4 \mu\text{m}$) dute eta ekialdekoak berriz finarena ($Mz_{33}=246,2 \mu\text{m}$). Ekaitzaren ondorioz sedimentuaren okertzea eman da beraz ekialdean.

Hautespen balioek ($\sigma_{I13}=0,360$, $\sigma_{I23}=0,443$ eta $\sigma_{I33}=0,511$), mendebalean olatuen energia besteetan baino handiago izan denaren seinale dira. Bestalde alborapen simetrikoak, eremu horretan sedimentuen oreka, eta fluxu energia balio normaletan mantendu dela adierazte du, indar zinetikoa konstante izan gabe (kurtosi mesokurtikoa). Beste bi eremuetan berriz, alborapena positiboa izanik, sedimentuen metaketa prozesua ematen ari zen, olatuen bataz besteko indarra normala baino txikiago izanik eta ez konstantea (batez ere ekialdean).



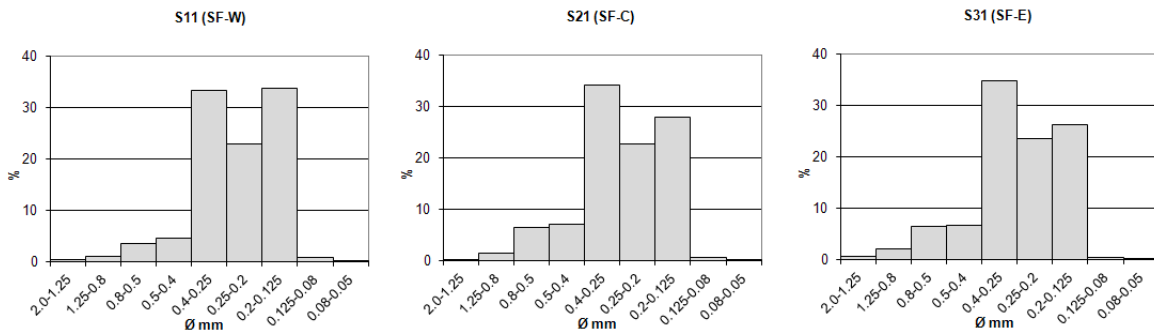
SANTIAGO HONDARTZA

BS: Backshore, FS: Foreshore, SF: Shoreface
W: West (Mendebala), C: Center (Zentroa), E: East (Ekialdea)

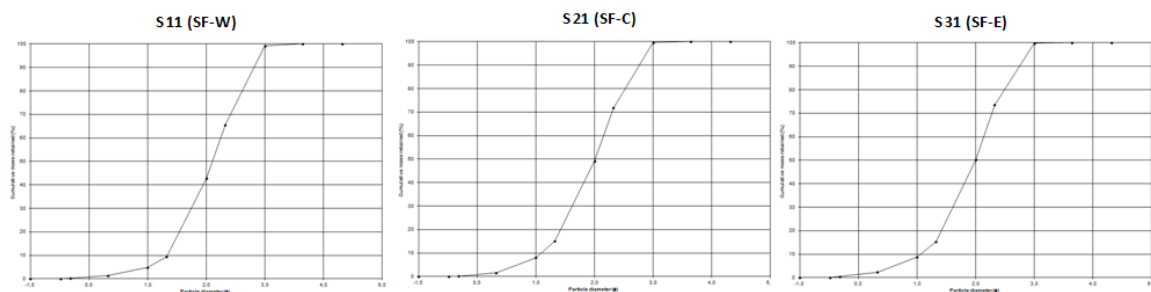
| | S11 | S21 | S31 | S12 | S22 | S32 | S13 | S23 | S33 | |
|--|------------------------|----------|----------|----------|----------|----------|----------|---------|---------|--------|
| SAMPLE TYPE | Unimodal | Unimodal | Unimodal | Unimodal | Unimodal | Unimodal | Unimodal | Bimodal | Bimodal | |
| MODE 1 (μm) | 225,0 | 225,0 | 225,0 | 225,0 | 325,0 | 325,0 | 325,0 | 325,0 | 325,0 | |
| MODE 2 (μm) | - | - | - | - | - | - | - | 1325,0 | 1325,0 | |
| GEOMETRIC FOLK & WARD METHOD (μm) | MEDIAN (D_{50}) | 232,8 | 247,9 | 250,4 | 272,9 | 327,3 | 330,7 | 347,6 | 392,1 | 385,5 |
| | MEAN (M_z) | 235,9 | 251,5 | 254,3 | 273,3 | 332,9 | 336,8 | 364,4 | 417,2 | 407,5 |
| LOGARITHMIC FOLK & WARD METHOD (Φ) | MEDIAN (D_{50}) | 2,103 | 2,012 | 1,998 | 1,874 | 1,612 | 1,597 | 1,525 | 1,351 | 1,375 |
| | MEAN (M_z) | 2,084 | 1,991 | 1,975 | 1,871 | 1,587 | 1,570 | 1,456 | 1,261 | 1,295 |
| | SORTING (σ_1) | 0,598 | 0,655 | 0,659 | 0,424 | 0,504 | 0,549 | 0,661 | 0,734 | 0,678 |
| | SKEWNESS (SK_1) | -0,096 | -0,127 | -0,141 | 0,112 | -0,137 | -0,127 | -0,116 | -0,195 | -0,273 |
| | KURTOSIS (K_G) | 0,893 | 1,025 | 1,099 | 0,966 | 1,137 | 1,078 | 1,092 | 0,970 | 1,197 |
| TOTALITY OF THE SAMPLE (%) | VERY COARSE SAND | 0,786 | 0,852 | 1,419 | 0,047 | 0,652 | 0,911 | 2,572 | 6,500 | 5,613 |
| | COARSE SAND | 4,066 | 7,195 | 7,393 | 1,206 | 11,054 | 13,935 | 19,149 | 26,240 | 21,872 |
| | MEDIUM SAND | 37,896 | 41,116 | 41,308 | 59,059 | 69,927 | 65,118 | 59,697 | 54,300 | 64,646 |
| | FINE SAND | 56,449 | 50,372 | 49,645 | 39,049 | 18,333 | 20,011 | 17,600 | 12,126 | 7,640 |
| | VERY FINE SAND | 0,797 | 0,456 | 0,231 | 0,635 | 0,034 | 0,023 | 0,961 | 0,834 | 0,229 |
| | VERY COARSE SILT | 0,006 | 0,008 | 0,003 | 0,003 | - | - | 0,021 | - | - |

Taula 12. Santiago hondartzaren ezaugarri sedimentologikoak [2013/12/07]

SANTIAGO – SHOREFACE [2013/12/07]



Grafikoa 32. Laginen histogramak (Santiago – shoreface – 2013/12/07)



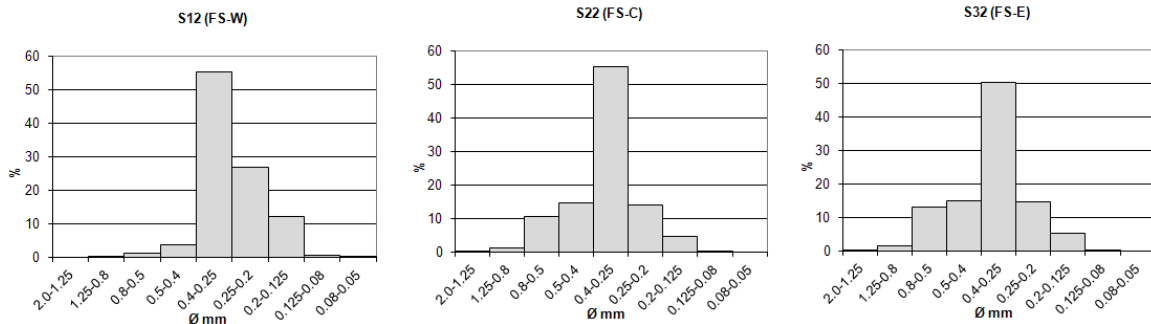
Grafikoa 33. Metatze-kurbak (Santiago- shoreface – 2013/12/07)

Azalpen granulometrikoak:

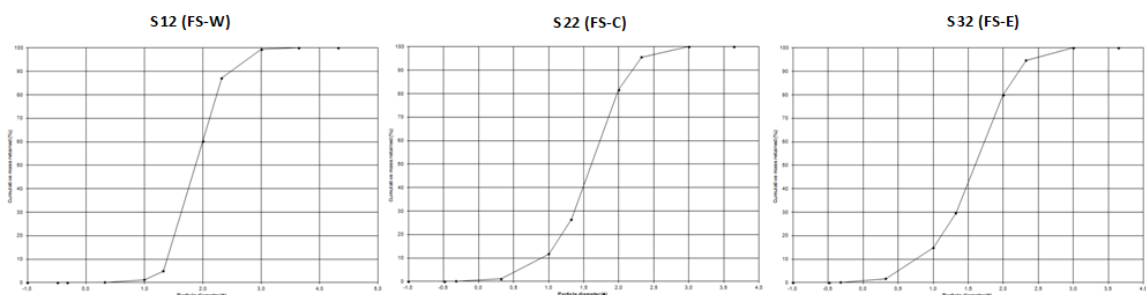
Tamaina fineko hondarraren presentzia nabariena da hondartzako hiru puntu hauetan. Kurba hiperboliko sigmoidalak dira eta histograma unimodalak non bataz besteko balioak 235,9 eta 254,3 μm artean dauden.

Moderatuki ondo hautatuak daude, eta kurtosi balioek (platikurtikoa eta mesokurtikoa) itsas energia hondartzaren zentroan eta ekialdean nahiko konstatea izan denaren seinale dira. Mendebalean berriz, platikurtikoa izanik, sedimentua osatzen duten pikorrik tamaina anitzekoak eta indar zinetiko aldakorra izan dela adierazten du. Bestalde, eremu osoan hondar garbiketa eman da (alborapen negatiboa); balioak ikusirik itsasoak energia handiagoa izan du hondartzaren ekialdean.

SANTIAGO – FORESHORE [2013/12/07]



Grafikoa 34. Laginen histogramak (Santiago – foreshore – 2013/12/07)



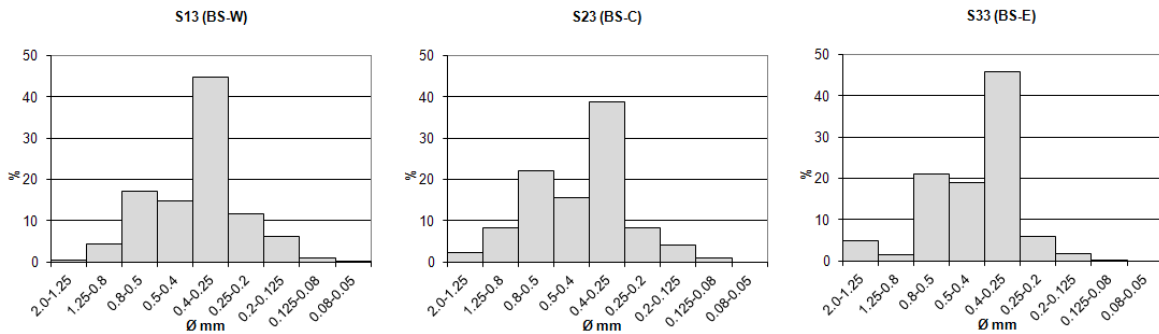
Grafikoa 35. Metatze-kurbak (Santiago – foreshore – 2013/12/07)

Azalpen granulometrikoa:

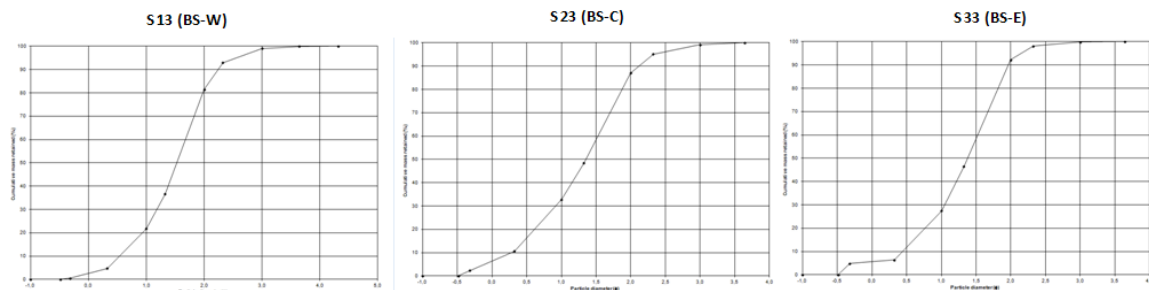
Metatze-kurba hiperboliko sigmoidalak eta histograma unimodalak. Tamaina ertaineko sedimentua nabarmentzen da eta bataz besteko balioak 273,3 eta 336,8 μm artean daude.

Moderatuki ondo ($\sigma_{S22}=0,504$ eta $\sigma_{S32}=0,549$) edo ondo hautatuak ($\sigma_{S12}=0,112$) daude eta kurtosi balio mesokurtikoa edo leptokurtikoa erakusten dute; itsasoaren energia ertzekin alderatuta erdialdean oso konstantea eta olatuen energia mendebalean altuagoa izan dela adierazten dute. Bestalde, eremu osoan sedimentuaren higadura edo garbiketa (alborapen negatiboa) eman da, garbiketarik handiena erdialdean eman delarik.

SANTIAGO – BACKSHORE [2013/12/07]



Grafikoa 36. Laginen histogramak (Santiago – backshore – 2013/12/07)



Grafikoa 37. Metatze-kurbak (Santiago – backshore – 2013/12/07)

Azalpen granulometrikoak:

Kurba hiperboliko sigmoidal apalak eta histograma unimodal (S13) edo bimodalak (S23 eta S33); erdialdean eta ekialdean garraioa ez da konstante izan eta sedimentu nahasketa eman da. Eremu osoan tamaina ertaineko hondarra nabarmentzen da eta bataz besteko balioak 364,4 eta 417,2 μm artean daude.

Moderatuki ondo hautatuak daude eta alborapen (skewness) balio negatiboa erakusten dute. Sedimentuen garraioa ez da oso handia izan, mugimendurik handiena ekialdean atzeman daiteke; ipar-ekialdeko, ekialdeko eta hego-ekialdeko haizeak, hondarra hondartzaren mendebalerantz eta atzerantz mugiarazi du.

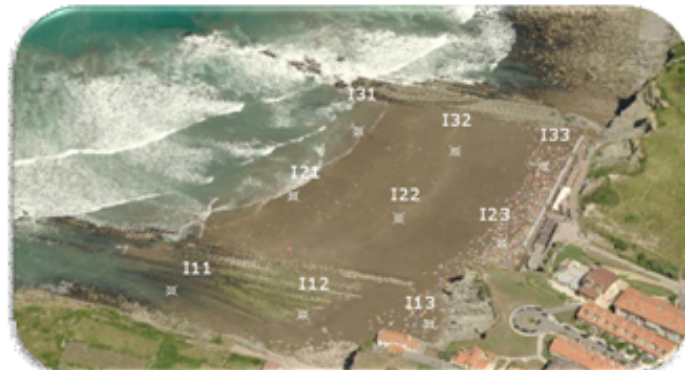
8.3. Hirugarren kanpainaren emaitzak

| ITZURUN 2014_01_17 | | | |
|--------------------|------------|-------------|--------|
| PUNTUA | x | y | H |
| Base_ITZU | 559971,107 | 4794347,039 | 40,833 |
| ITZU_01 | 559919,928 | 4794318,832 | 1,986 |
| ITZU_02 | 559928,599 | 4794315,490 | 2,601 |
| ITZU_03 | 559933,295 | 4794320,541 | 2,586 |
| ITZU_04 | 559938,305 | 4794323,370 | 2,921 |
| ITZU_05 | 559942,748 | 4794328,172 | 3,053 |
| ITZU_06 | 559942,186 | 4794336,050 | 2,806 |
| ITZU_07 | 559941,266 | 4794340,768 | 2,569 |
| ITZU_08 | 559944,256 | 4794347,151 | 2,681 |
| ITZU_09 | 559926,388 | 4794352,917 | 1,364 |
| ITZU_10 | 559924,303 | 4794354,483 | 1,113 |
| ITZU_11 | 559926,326 | 4794355,716 | 1,196 |
| ITZU_12 | 559940,545 | 4794351,771 | 1,950 |
| ITZU_13 | 559941,659 | 4794357,094 | 1,987 |
| ITZU_14 | 559926,798 | 4794362,263 | 0,992 |
| ITZU_15 | 559924,212 | 4794365,687 | 0,977 |
| ITZU_16 | 559922,952 | 4794370,869 | 0,979 |
| ITZU_17 | 559925,368 | 4794371,345 | 0,577 |
| ITZU_18 | 559926,533 | 4794367,694 | 0,713 |
| ITZU_19 | 559932,724 | 4794364,562 | 0,902 |
| ITZU_20 | 559942,156 | 4794360,745 | 1,603 |
| ITZU_21 | 559942,295 | 4794367,027 | 1,417 |
| ITZU_22 | 559952,230 | 4794365,370 | 1,956 |
| ITZU_23 | 559961,078 | 4794371,475 | 2,254 |
| ITZU_24 | 559973,034 | 4794376,129 | 2,700 |
| ITZU_25 | 559985,974 | 4794374,325 | 3,794 |
| ITZU_26 | 559988,146 | 4794380,134 | 3,510 |
| ITZU_27 | 559990,043 | 4794379,678 | 4,007 |
| ITZU_28 | 559997,918 | 4794401,724 | 3,341 |
| ITZU_29 | 560007,789 | 4794429,595 | 3,197 |
| ITZU_30 | 560006,626 | 4794431,704 | 2,978 |
| ITZU_31 | 560010,013 | 4794441,993 | 2,808 |
| ITZU_32 | 560011,903 | 4794441,097 | 2,914 |
| ITZU_33 | 560020,298 | 4794464,823 | 2,505 |
| ITZU_34 | 560023,630 | 4794477,108 | 2,297 |
| ITZU_35 | 560016,677 | 4794479,639 | 1,765 |
| ITZU_36 | 560007,004 | 4794482,981 | 1,140 |
| ITZU_37 | 560010,211 | 4794484,964 | 1,245 |
| ITZU_38 | 560003,992 | 4794488,649 | 0,924 |
| ITZU_39 | 559999,173 | 4794491,214 | 0,659 |
| ITZU_40 | 560003,697 | 4794492,814 | 0,781 |
| ITZU_41 | 559994,486 | 4794498,470 | 0,332 |
| ITZU_42 | 560004,300 | 4794499,356 | 0,522 |
| ITZU_43 | 560003,430 | 4794505,007 | 0,543 |
| ITZU_44 | 559991,262 | 4794509,643 | 0,115 |
| ITZU_45 | 560011,827 | 4794502,608 | 0,931 |
| ITZU_46 | 560025,193 | 4794500,211 | 1,225 |
| ITZU_47 | 560029,326 | 4794496,791 | 1,736 |
| ITZU_48 | 560024,588 | 4794493,096 | 1,511 |
| ITZU_49 | 560016,710 | 4794495,900 | 1,076 |
| ITZU_50 | 559997,680 | 4794487,692 | 0,708 |
| ITZU_51 | 560005,456 | 4794475,316 | 1,320 |
| ITZU_52 | 560013,202 | 4794470,178 | 1,860 |
| ITZU_53 | 560011,075 | 4794455,930 | 2,277 |
| ITZU_54 | 559999,311 | 4794459,777 | 1,499 |
| ITZU_55 | 559989,611 | 4794455,114 | 1,214 |
| ITZU_56 | 559999,563 | 4794442,791 | 2,103 |
| ITZU_57 | 560000,086 | 4794428,688 | 2,689 |
| ITZU_58 | 559990,078 | 4794430,172 | 2,040 |
| ITZU_59 | 559979,749 | 4794430,448 | 1,512 |
| ITZU_60 | 559983,183 | 4794414,485 | 2,112 |
| ITZU_61 | 559993,874 | 4794416,413 | 2,631 |
| ITZU_62 | 559985,889 | 4794401,352 | 2,605 |
| ITZU_63 | 559966,572 | 4794402,130 | 1,679 |
| ITZU_64 | 559977,240 | 4794388,108 | 2,553 |
| ITZU_65 | 559987,827 | 4794387,976 | 3,210 |
| ITZU_66 | 559967,802 | 4794380,652 | 2,355 |
| ITZU_67 | 559953,236 | 4794387,950 | 1,484 |
| ITZU_68 | 559950,543 | 4794374,695 | 1,675 |
| ITZU_69 | 559934,296 | 4794374,902 | 0,905 |
| ITZU_70 | 559935,911 | 4794368,086 | 1,122 |
| ITZU_71 | 559934,545 | 4794356,617 | 1,569 |
| ITZU_72 | 559923,261 | 4794359,926 | 1,116 |
| ITZU_73 | 559937,412 | 4794342,670 | 2,338 |
| ITZU_74 | 559931,873 | 4794330,400 | 2,207 |
| ITZU_75 | 559919,916 | 4794329,036 | 1,676 |
| ITZU_76 | 559914,770 | 4794344,283 | 1,283 |
| ITZU_77 | 559904,945 | 4794357,036 | 0,709 |
| ITZU_78 | 559901,114 | 4794344,434 | 0,879 |
| ITZU_79 | 559892,389 | 4794336,180 | 0,830 |
| ITZU_80 | 559888,474 | 4794347,668 | 0,510 |
| ITZU_81 | 559881,530 | 4794363,500 | 0,051 |
| ITZU_82 | 559877,493 | 4794340,258 | 0,445 |
| ITZU_83 | 559858,831 | 4794335,840 | 0,135 |
| ITZU_84 | 559856,935 | 4794352,946 | -0,098 |
| ITZU_85 | 559854,088 | 4794361,827 | -0,265 |
| ITZU_86 | 559841,990 | 4794335,438 | -0,103 |
| ITZU_87 | 559829,501 | 4794332,503 | -0,305 |
| ITZU_88 | 559828,668 | 4794326,000 | -0,401 |
| ITZU_89 | 559837,355 | 4794318,863 | -0,043 |
| ITZU_90 | 559849,781 | 4794312,280 | 0,189 |
| ITZU_91 | 559862,829 | 4794306,659 | 0,617 |
| ITZU_92 | 559867,690 | 4794312,272 | 0,438 |
| ITZU_93 | 559876,410 | 4794313,121 | 0,819 |
| ITZU_94 | 559881,597 | 4794323,584 | 0,624 |
| ITZU_95 | 559888,613 | 4794323,685 | 0,825 |
| ITZU_96 | 559896,925 | 4794319,229 | 1,221 |
| ITZU_97 | 559905,389 | 4794325,250 | 1,284 |
| ITZU_98 | 559914,957 | 4794325,315 | 1,462 |
| ITZU_99 | 559816,047 | 4794328,741 | -0,535 |
| ITZU_100 | 559837,226 | 4794345,597 | -0,274 |
| ITZU_101 | 559859,397 | 4794363,914 | -0,259 |
| ITZU_102 | 559914,671 | 4794363,954 | 0,795 |
| ITZU_103 | 559911,442 | 4794373,235 | 0,557 |
| ITZU_104 | 559893,438 | 4794379,220 | -0,060 |
| ITZU_105 | 559883,989 | 4794374,790 | -0,268 |
| ITZU_106 | 559924,593 | 4794377,606 | 0,416 |
| ITZU_107 | 559905,816 | 4794380,259 | 0,124 |
| ITZU_108 | 559912,197 | 4794392,014 | 0,168 |
| ITZU_109 | 559931,129 | 4794392,063 | 0,623 |
| ITZU_110 | 559947,218 | 4794388,418 | 1,235 |
| ITZU_111 | 559941,000 | 4794403,518 | 0,763 |
| ITZU_112 | 559925,837 | 4794414,195 | 0,176 |
| ITZU_113 | 559943,434 | 4794418,628 | 0,583 |
| ITZU_114 | 559963,009 | 4794416,471 | 1,202 |
| ITZU_115 | 559960,145 | 4794432,467 | 0,789 |
| ITZU_116 | 559955,547 | 4794446,086 | 0,375 |
| ITZU_117 | 559938,879 | 4794440,928 | 0,001 |
| ITZU_118 | 559950,995 | 4794454,399 | 0,084 |
| ITZU_119 | 559966,227 | 4794438,248 | 0,859 |
| ITZU_120 | 559981,302 | 4794436,862 | 1,394 |
| ITZU_121 | 559976,211 | 4794454,710 | 0,781 |
| ITZU_122 | 559966,149 | 4794468,440 | 0,221 |
| ITZU_123 | 559971,235 | 4794483,430 | 0,100 |
| ITZU_124 | 559981,785 | 4794470,400 | 0,612 |
| ITZU_125 | 559997,108 | 4794471,857 | 1,057 |
| ITZU_126 | 559987,295 | 4794491,379 | 0,355 |
| ITZU_127 | 559970,182 | 4794491,858 | -0,080 |
| ITZU_128 | 559986,039 | 4794505,332 | 0,047 |
| ITZU_129 | 559952,554 | 4794475,419 | -0,224 |
| ITZU_130 | 559929,509 | 4794429,469 | -0,015 |
| ITZU_131 | 559908,083 | 4794409,993 | -0,144 |
| ITZU_132 | 559908,086 | 4794410,019 | -0,149 |
| ITZU_133 | 559896,164 | 4794387,361 | -0,072 |

Taula 13. Itzurun hondartzan altxatutako puntuak [2014/01/17]

| SANTIAGO 2014_01_18 | | | | | | | | | | | | | | | |
|---------------------|------------|-------------|-------|--------|------------|-------------|-------|---------|------------|-------------|-------|---------|------------|-------------|-------|
| PUNTUA | x | y | H | PUNTUA | x | y | H | PUNTUA | x | y | H | PUNTUA | x | y | H |
| Base_SAN | 561185,509 | 4794616,361 | 9,229 | SAN_45 | 560982,476 | 4794632,198 | 3,734 | SAN_90 | 561156,840 | 4794557,309 | 5,173 | SAN_135 | 561070,101 | 4794683,113 | 3,670 |
| SAN_01 | 561103,202 | 4794516,658 | 4,946 | SAN_46 | 560963,397 | 4794623,270 | 3,459 | SAN_91 | 561164,126 | 4794560,920 | 7,114 | SAN_136 | 561055,925 | 4794680,762 | 3,822 |
| SAN_02 | 561100,452 | 4794519,575 | 4,049 | SAN_47 | 560953,070 | 4794603,373 | 3,273 | SAN_92 | 561168,301 | 4794571,595 | 6,006 | SAN_137 | 561063,692 | 4794670,760 | 4,190 |
| SAN_03 | 561096,912 | 4794519,480 | 3,260 | SAN_48 | 560956,127 | 4794587,976 | 3,388 | SAN_93 | 561170,619 | 4794576,206 | 6,054 | SAN_138 | 561037,648 | 4794686,174 | 3,372 |
| SAN_04 | 561088,198 | 4794517,745 | 3,070 | SAN_49 | 560970,630 | 4794588,087 | 3,528 | SAN_94 | 561173,008 | 4794579,103 | 7,065 | SAN_139 | 561051,890 | 4794697,978 | 3,129 |
| SAN_05 | 561081,884 | 4794517,271 | 3,067 | SAN_50 | 560937,702 | 4794596,251 | 3,353 | SAN_95 | 561174,859 | 4794583,460 | 7,588 | SAN_140 | 561053,892 | 4794718,394 | 1,544 |
| SAN_06 | 561074,999 | 4794505,252 | 3,127 | SAN_51 | 560948,724 | 4794626,753 | 3,915 | SAN_96 | 561175,463 | 4794589,234 | 7,674 | SAN_141 | 561033,463 | 4794715,760 | 2,409 |
| SAN_07 | 561080,773 | 4794492,384 | 3,233 | SAN_52 | 560957,686 | 4794627,379 | 3,509 | SAN_97 | 561174,521 | 4794598,810 | 6,643 | SAN_142 | 561028,866 | 4794693,985 | 3,221 |
| SAN_08 | 561089,613 | 4794487,304 | 2,987 | SAN_53 | 560968,446 | 4794651,277 | 4,020 | SAN_98 | 561172,244 | 4794607,526 | 5,688 | SAN_143 | 561008,605 | 4794695,974 | 3,811 |
| SAN_09 | 561098,699 | 4794467,996 | 3,150 | SAN_54 | 560968,162 | 4794664,845 | 4,771 | SAN_99 | 561169,547 | 4794612,218 | 4,277 | SAN_144 | 561004,976 | 4794719,368 | 3,711 |
| SAN_10 | 561106,480 | 4794453,408 | 3,117 | SAN_55 | 560976,895 | 4794678,432 | 4,997 | SAN_100 | 561167,207 | 4794603,438 | 4,237 | SAN_145 | 561013,525 | 4794733,488 | 2,669 |
| SAN_11 | 561108,089 | 4794447,605 | 3,198 | SAN_56 | 560988,366 | 4794694,591 | 4,874 | SAN_101 | 561167,222 | 4794603,414 | 4,228 | SAN_146 | 561029,287 | 4794732,212 | 1,897 |
| SAN_12 | 561100,716 | 4794444,586 | 3,176 | SAN_57 | 560990,567 | 4794690,468 | 4,442 | SAN_102 | 561166,150 | 4794585,223 | 4,660 | SAN_147 | 561025,689 | 4794753,631 | 1,092 |
| SAN_13 | 561085,473 | 4794463,952 | 3,450 | SAN_58 | 560995,328 | 4794677,121 | 4,283 | SAN_103 | 561157,786 | 4794565,013 | 4,232 | SAN_148 | 561044,751 | 4794742,746 | 1,075 |
| SAN_14 | 561085,414 | 4794471,662 | 3,299 | SAN_59 | 560985,402 | 4794666,319 | 4,242 | SAN_104 | 561140,413 | 4794570,386 | 3,581 | SAN_149 | 561033,531 | 4794773,016 | 2,009 |
| SAN_15 | 561074,396 | 4794484,648 | 3,306 | SAN_60 | 560976,059 | 4794654,115 | 3,943 | SAN_105 | 561150,467 | 4794585,862 | 3,623 | SAN_150 | 561045,779 | 4794767,849 | 2,058 |
| SAN_16 | 561061,623 | 4794490,723 | 3,483 | SAN_61 | 560986,716 | 4794640,850 | 3,921 | SAN_106 | 561142,113 | 4794610,218 | 3,801 | SAN_151 | 561051,681 | 4794746,173 | 1,493 |
| SAN_17 | 561064,781 | 4794506,095 | 3,175 | SAN_62 | 561000,131 | 4794650,791 | 4,086 | SAN_107 | 561168,910 | 4794615,200 | 3,866 | SAN_152 | 561053,736 | 4794726,735 | 1,087 |
| SAN_18 | 561039,993 | 4794512,849 | 3,335 | SAN_63 | 561005,719 | 4794664,527 | 4,181 | SAN_108 | 561172,646 | 4794616,595 | 4,003 | SAN_153 | 561070,231 | 4794729,857 | 1,430 |
| SAN_19 | 561049,885 | 4794525,480 | 3,414 | SAN_64 | 561025,571 | 4794664,926 | 4,063 | SAN_109 | 561177,364 | 4794613,017 | 5,928 | SAN_154 | 561090,412 | 4794730,495 | 2,010 |
| SAN_20 | 561065,968 | 4794524,422 | 3,295 | SAN_65 | 561024,712 | 4794648,290 | 4,183 | SAN_110 | 561178,901 | 4794621,280 | 3,893 | SAN_155 | 561091,660 | 4794708,988 | 1,267 |
| SAN_21 | 561097,528 | 4794525,010 | 3,197 | SAN_66 | 561025,441 | 4794628,353 | 4,192 | SAN_111 | 561171,275 | 4794628,124 | 3,403 | SAN_156 | 561074,044 | 4794699,639 | 1,770 |
| SAN_22 | 561097,191 | 4794533,464 | 3,326 | SAN_67 | 561012,217 | 4794617,041 | 3,888 | SAN_112 | 561170,841 | 4794621,494 | 3,980 | SAN_157 | 561094,217 | 4794685,755 | 1,806 |
| SAN_23 | 561092,960 | 4794549,004 | 3,545 | SAN_68 | 561033,623 | 4794608,472 | 4,198 | SAN_113 | 561182,810 | 4794626,361 | 4,022 | SAN_158 | 561112,136 | 4794700,129 | 1,443 |
| SAN_24 | 561097,300 | 4794560,168 | 3,688 | SAN_69 | 561043,431 | 4794632,989 | 4,363 | SAN_114 | 561193,914 | 4794639,781 | 2,547 | SAN_159 | 561131,757 | 4794700,297 | 1,743 |
| SAN_25 | 561082,041 | 4794555,487 | 3,695 | SAN_70 | 561064,005 | 4794639,498 | 4,361 | SAN_115 | 561189,635 | 4794654,252 | 1,188 | SAN_160 | 561137,976 | 4794675,445 | 1,211 |
| SAN_26 | 561076,634 | 4794539,181 | 3,431 | SAN_71 | 561062,779 | 4794660,611 | 4,319 | SAN_116 | 561181,339 | 4794637,970 | 2,768 | SAN_161 | 561165,690 | 4794680,068 | 1,296 |
| SAN_27 | 561060,616 | 4794539,521 | 3,485 | SAN_72 | 561087,470 | 4794648,206 | 4,602 | SAN_117 | 561161,590 | 4794634,177 | 3,000 | SAN_162 | 561186,611 | 4794669,415 | 1,107 |
| SAN_28 | 561067,209 | 4794554,439 | 3,651 | SAN_73 | 561069,896 | 4794626,906 | 4,423 | SAN_118 | 561146,291 | 4794629,373 | 3,693 | SAN_163 | 561196,754 | 4794654,003 | 1,264 |
| SAN_29 | 561072,450 | 4794571,056 | 4,010 | SAN_74 | 561072,607 | 4794598,676 | 4,392 | SAN_119 | 561145,880 | 4794644,868 | 3,230 | SAN_164 | 561208,120 | 4794666,592 | 1,150 |
| SAN_30 | 561054,521 | 4794581,438 | 4,071 | SAN_75 | 561057,783 | 4794584,507 | 4,165 | SAN_120 | 561159,976 | 4794650,903 | 1,974 | SAN_165 | 561216,150 | 4794676,977 | 1,616 |
| SAN_31 | 561050,255 | 4794561,852 | 3,675 | SAN_76 | 561092,092 | 4794578,100 | 4,087 | SAN_121 | 561147,440 | 4794656,988 | 2,111 | SAN_166 | 561221,424 | 4794684,927 | 1,866 |
| SAN_32 | 561045,392 | 4794541,606 | 3,397 | SAN_77 | 561118,628 | 4794598,584 | 3,902 | SAN_122 | 561134,281 | 4794651,856 | 3,061 | SAN_167 | 561216,219 | 4794690,957 | 2,096 |
| SAN_33 | 561030,428 | 4794544,213 | 3,575 | SAN_78 | 561119,041 | 4794629,977 | 4,284 | SAN_123 | 561131,894 | 4794639,132 | 3,902 | SAN_168 | 561215,688 | 4794700,471 | 2,414 |
| SAN_34 | 561031,475 | 4794565,610 | 3,551 | SAN_79 | 561147,353 | 4794617,780 | 3,768 | SAN_124 | 561116,556 | 4794640,464 | 4,390 | SAN_169 | 561205,741 | 4794693,667 | 2,131 |
| SAN_35 | 561041,247 | 4794582,552 | 3,946 | SAN_80 | 561124,950 | 4794589,598 | 3,796 | SAN_125 | 561114,657 | 4794653,112 | 4,078 | SAN_170 | 561193,170 | 4794689,500 | 1,923 |
| SAN_36 | 561026,421 | 4794598,517 | 3,975 | SAN_81 | 561116,682 | 4794565,618 | 3,664 | SAN_126 | 561113,322 | 4794663,752 | 3,245 | SAN_171 | 561174,216 | 4794698,835 | 2,225 |
| SAN_37 | 561020,998 | 4794574,971 | 3,570 | SAN_82 | 561103,544 | 4794546,998 | 3,455 | SAN_127 | 561107,244 | 4794675,800 | 2,167 | SAN_172 | 561155,252 | 4794704,155 | 2,164 |
| SAN_38 | 560999,867 | 4794568,028 | 3,648 | SAN_83 | 561114,842 | 4794532,891 | 3,670 | SAN_128 | 561097,948 | 4794671,199 | 3,206 | SAN_173 | 561129,026 | 4794719,760 | 2,392 |
| SAN_39 | 561002,202 | 4794585,802 | 3,611 | SAN_84 | 561103,928 | 4794523,530 | 3,763 | SAN_129 | 561098,614 | 4794660,573 | 4,198 | SAN_174 | 561103,571 | 4794740,265 | 2,528 |
| SAN_40 | 561012,202 | 4794598,146 | 3,733 | SAN_85 | 561103,161 | 4794525,246 | 3,326 | SAN_130 | 561083,855 | 4794657,992 | 4,519 | SAN_175 | 561039,555 | 4794784,729 | 2,594 |
| SAN_41 | 561002,616 | 4794617,164 | 3,882 | SAN_86 | 561106,336 | 4794516,307 | 5,272 | SAN_131 | 561076,570 | 4794671,751 | 4,170 | SAN_176 | 561045,852 | 4794781,048 | 2,534 |
| SAN_42 | 560990,194 | 4794596,661 | 3,407 | SAN_87 | 561117,875 | 4794524,803 | 4,979 | SAN_132 | 561084,601 | 4794679,376 | 3,116 | | | | |
| SAN_43 | 560972,132 | 4794587,883 | 3,467 | SAN_88 | 561131,437 | 4794535,774 | 4,182 | SAN_133 | 561082,623 | 4794690,656 | 2,032 | | | | |
| SAN_44 | 560976,348 | 4794613,956 | 3,447 | SAN_89 | 561133,588 | 4794551,166 | 3,589 | SAN_134 | 561069,858 | 4794693,516 | 2,566 | | | | |

Taula 14. Santiago hondartzan altzatutako puntuak [2014/01/18]



ITZURUN HONDARTZA

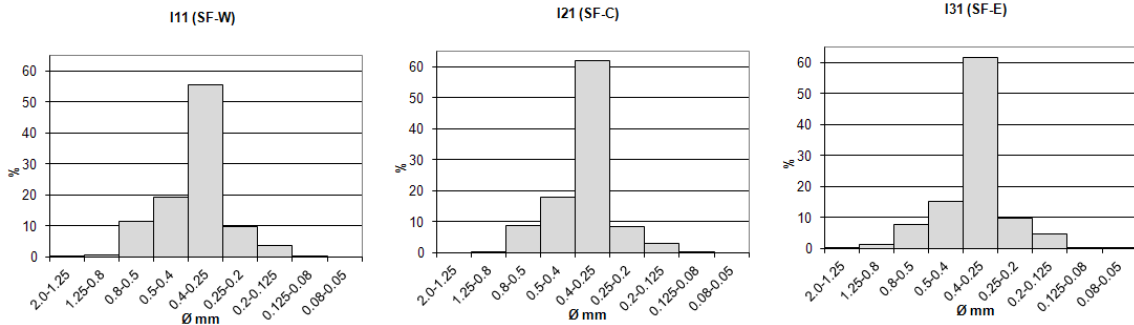
BS: Backshore, FS: Foreshore, SF: Shoreface

W: West (Mendebala), C: Center (Zentroa), E: East (Ekieldea)

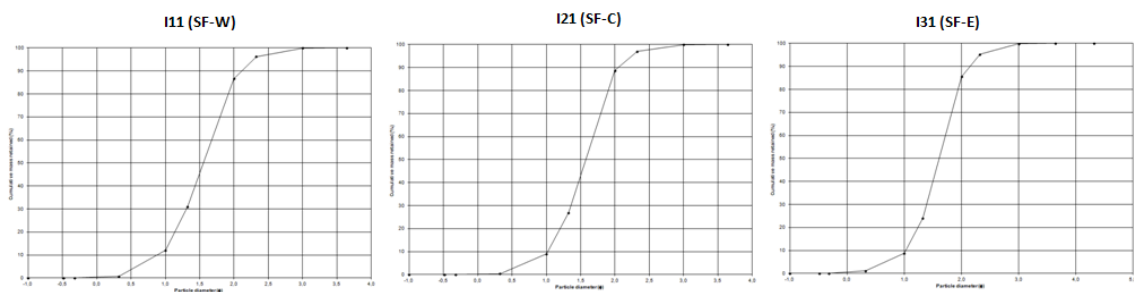
| | I11 | I21 | I31 | I12 | I22 | I32 | I13 | I23 | I33 | |
|--|----------------------|--------|--------|--------|--------|--------|--------|--------|--------|--------|
| SAMPLE TYPE | SF-W | SF-C | SF-E | FS-W | FS-C | FS-E | BS-W | BS-C | BS-E | |
| MODE 1 (μm) | 325,0 | 325,0 | 325,0 | 450,0 | 325,0 | 325,0 | 325,0 | 325,0 | 325,0 | |
| GEOMETRIC FOLK & WARD METHOD (μm) | MEDIAN (D_{50}) | 340,8 | 335,5 | 327,9 | 364,2 | 274,4 | 326,3 | 316,7 | 304,0 | 312,5 |
| | MEAN (M_z) | 346,4 | 341,4 | 334,1 | 363,9 | 267,2 | 328,9 | 316,7 | 299,3 | 312,5 |
| LOGARITHMIC FOLK & WARD METHOD (Φ) | MEDIAN (D_{50}) | 1,553 | 1,576 | 1,608 | 1,457 | 1,866 | 1,616 | 1,659 | 1,718 | 1,678 |
| | MEAN (M_z) | 1,529 | 1,550 | 1,581 | 1,458 | 1,904 | 1,604 | 1,659 | 1,741 | 1,678 |
| | SORTING (σ) | 0,483 | 0,442 | 0,458 | 0,452 | 0,447 | 0,348 | 0,351 | 0,387 | 0,322 |
| | SKEWNESS (SK_1) | -0,112 | -0,115 | -0,121 | -0,071 | 0,215 | -0,026 | 0,020 | 0,162 | 0,038 |
| | KURTOSIS (K_6) | 1,092 | 1,136 | 1,227 | 1,016 | 0,969 | 1,004 | 1,034 | 1,199 | 1,058 |
| TOTALITY OF THE SAMPLE (%) | VERY COARSE SAND | 0,380 | 0,164 | 0,617 | 0,179 | - | 0,020 | 0,008 | 0,008 | 0,003 |
| | COARSE SAND | 11,642 | 8,798 | 8,174 | 13,443 | 0,204 | 3,431 | 2,080 | 0,813 | 0,881 |
| | MEDIUM SAND | 74,610 | 79,664 | 76,672 | 79,199 | 61,533 | 86,844 | 83,012 | 79,041 | 85,697 |
| | FINE SAND | 13,277 | 11,293 | 14,341 | 7,152 | 37,523 | 9,668 | 14,790 | 19,910 | 13,319 |
| | VERY FINE SAND | 0,091 | 0,081 | 0,192 | 0,027 | 0,740 | 0,037 | 0,110 | 0,227 | 0,100 |
| | VERY COARSE SILT | - | - | 0,003 | - | - | - | - | - | - |

Taula 15. Itzurun hondartzaren ezaugarri sedimentologikoak [2014/01/17]

ITZURUN – SHOREFACE [2014/01/17]



Grafikoa 38. Laginen histogramak (Itzurun – shoreface – 2014/01/17)



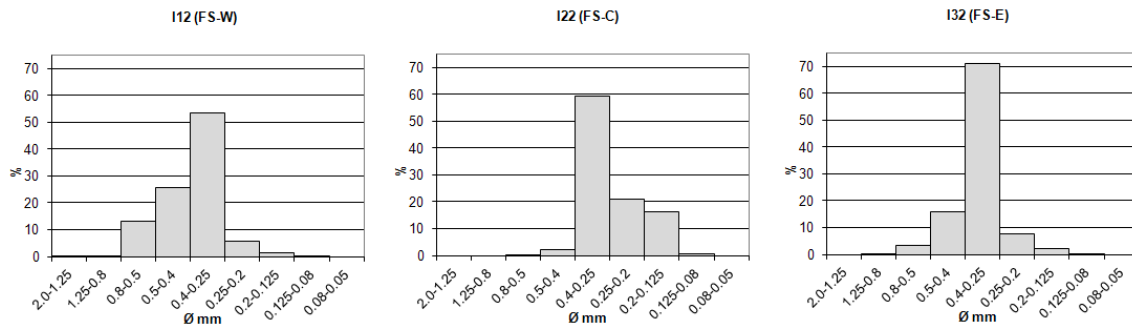
Grafikoa 39. Metatze-kurbak (Itzurun – shoreface – 2014/01/17)

Azalpen granulometrikoak:

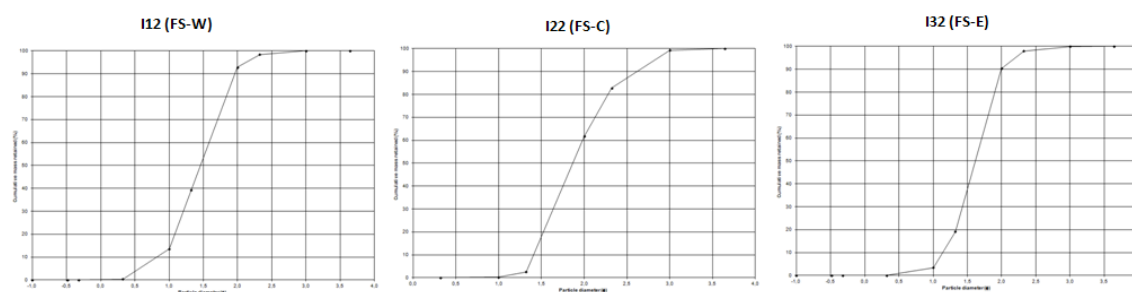
Metatze-kurba hiperboliko sigmoidal apalak eta histograma unimodalak. Tamaina ertaineko hondarra nabarmentzen da eta bataz besteko balioak 334,1 eta 346 μm artean daude.

Eremu osoan hautespen balioak ($\sigma_{I11}=0,483$, $\sigma_{I21}=0,442$ eta $\sigma_{I31}=0,458$) onak dira eta alborapen negatiboak; olatuen bataz besteko indarra (batez ere ekialdean) normala baino handiagoa eta higadura edo garbiketa prozesua gertatzen ari zen seinale dira. Bestalde, mendebalean ez bezala, itsasoaren energia zinetiko hori konstante mantendu izan da erdialdean eta ekialdean.

ITZURUN – FORESHORE [2014/01/17]



Grafikoa 40. Laginen histogramak (Itzurun – foreshore – 2014/01/17)



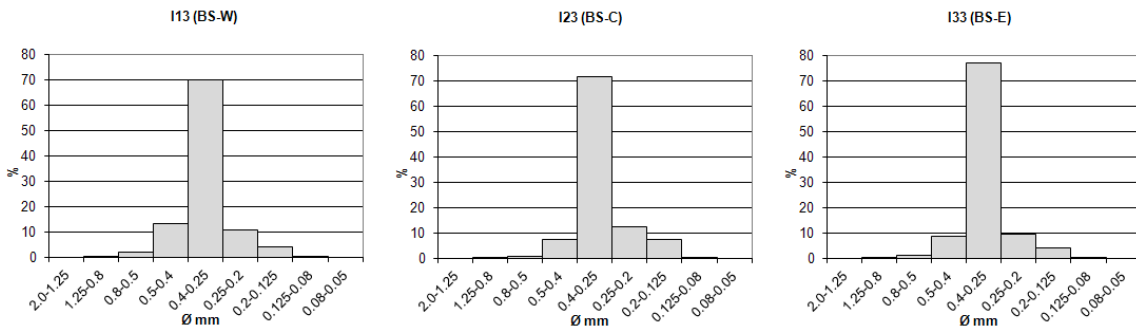
Grafikoa 41. Metatze-kurbak (Itzurun – foreshore – 2014/01/17)

Azalpen granulometrikoa:

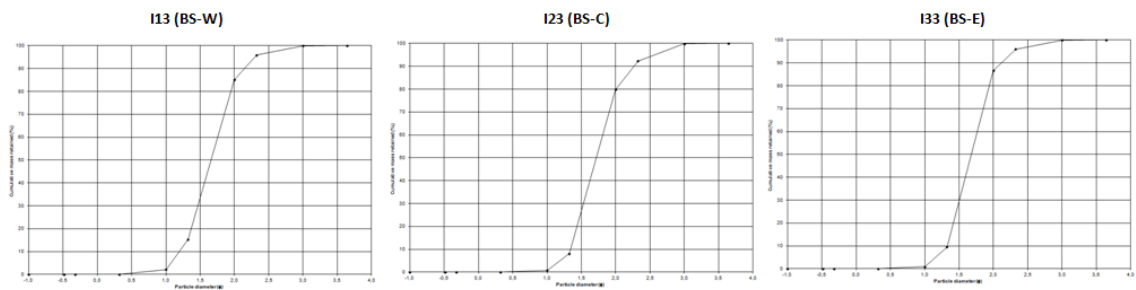
Bataz besteko balioak 267,2 eta 363,9 μm artean daude, histograma unimodalak dira eta metatze-kurba sigmoidalak nahiko apalak.

Hondartzaren mendebalean zein erdialdean hautespen balioak ($\sigma_{l12}=0,452$ eta $\sigma_{l22}=0,447$) onak dira eta ekialdean berri zoso ona ($\sigma_{l22}=0,348$); olatuen energia ekialdean besteetan baino handiagoa izan den seinale dira. Kustosi balioak (hiruetan mesokurtikoa) ikusita, eremu osoan itsasoaren energia zinetikoa konstantea ez dela izan ikus daiteke, batez ere erdialdean; baina alborapen balioek hondartzen ertzetan sedimentuen oreka mantendu dela adierazten dute eta erdialdean berri zoso olatuen bataz besteko indarra normala baino txikiagoa izan dela eta ondorioz metaketa edo dekantazioa gertatzen ari zela.

ITZURUN – BACKSHORE [2014/01/17]



Grafikoa 42. Laginen histogramak (Itzurun – backshore – 2014/01/17)



Grafikoa 43. Metatze-kurbak (Itzurun – basckshore – 2014/01/17)

Azalpen granulometrikoa:

Histograma unimodalak eta metatze-kurba sigmoidal nahiko apalak. Tamaina ertaineko hondarra da nagusi (bataz besteko balioak 299,3 eta 316,7 μm artean) eta I13 eta I33 laginetan, bataz besteko eta medianaren balioak berdinak dira; sedimentuen oreka mantendu den seinale.

Hondartzaren ertzetan, fluxuaren energia balio normaletan mantentzeaz gain, kurtosi balio mesokurtikoek, itsasoaren indar zinetiko hori konstante ez dela mantendu adierazten dute, hondartzaren erdian ez bezala. Bestalde, hautespen balioek ekialdean olatuen energia besteetan baino altuagoa izan denaren seinale dira; lehen bi laginek hautespen ona erakusten baitute eta azkenengoak berriz oso ona.

Azkenik, hondartzaren erdialdean, alborapen positiboa eta kurtosi leptokurtikoa izanik, itsasoaren bataz besteko indarra normala baino txikiago eta konstante izan dela adierazten dute, sedimentuen metaketa emanet.



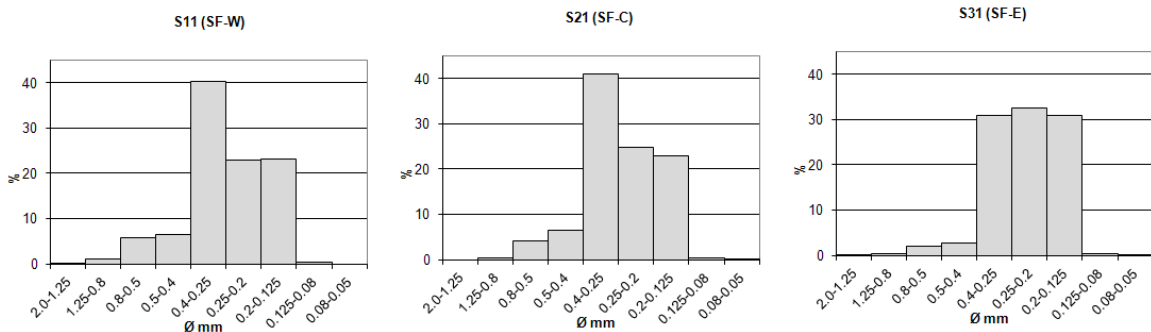
SANTIAGO HONDARTZA

BS: Backshore, FS: Foreshore, SF: Shoreface
W: West (Mendebala), C: Center (Zentroa), E: East (Ekialdea)

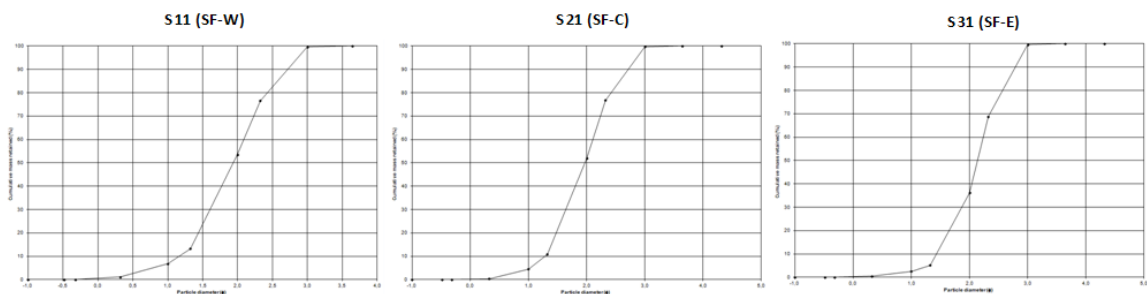
| | S11 | S21 | S31 | S12 | S22 | S32 | S13 | S23 | S33 | |
|--|------------------------|----------|----------|----------|----------|----------|---------|----------|---------|--------|
| SAMPLE TYPE | Unimodal | Unimodal | Unimodal | Unimodal | Unimodal | Unimodal | Bimodal | Unimodal | Bimodal | |
| MODE 1 (μm) | 225,0 | 225,0 | 225,0 | 325,0 | 325,0 | 325,0 | 450,0 | 325,0 | 325,0 | |
| MODE 2 (μm) | - | - | - | - | - | - | 1325,0 | - | 1325,0 | |
| GEOMETRIC FOLK & WARD METHOD (μm) | MEDIAN (D_{50}) | 260,5 | 255,5 | 227,4 | 318,2 | 323,2 | 329,3 | 429,2 | 365,5 | 343,9 |
| | MEAN (M_z) | 258,7 | 255,1 | 230,5 | 320,7 | 327,6 | 338,5 | 446,3 | 385,0 | 364,8 |
| LOGARITHMIC FOLK & WARD METHOD (Φ) | MEDIAN (D_{50}) | 1,940 | 1,969 | 2,136 | 1,652 | 1,629 | 1,602 | 1,220 | 1,452 | 1,540 |
| | MEAN (M_z) | 1,950 | 1,971 | 2,117 | 1,641 | 1,610 | 1,563 | 1,164 | 1,377 | 1,455 |
| | SORTING (σ_1) | 0,609 | 0,561 | 0,517 | 0,494 | 0,499 | 0,509 | 0,753 | 0,589 | 0,663 |
| | SKEWNESS (SK_1) | -0,044 | -0,010 | -0,051 | -0,088 | -0,128 | -0,177 | -0,131 | -0,178 | -0,234 |
| | KURTOSIS (K_6) | 1,094 | 1,011 | 0,934 | 1,195 | 1,159 | 1,171 | 0,952 | 1,018 | 1,164 |
| TOTALITY OF THE SAMPLE (%) | VERY COARSE SAND | 0,601 | 0,162 | 0,285 | 0,415 | 0,532 | 1,009 | 8,470 | 2,763 | 4,427 |
| | COARSE SAND | 6,251 | 4,315 | 2,302 | 8,635 | 10,065 | 12,380 | 29,671 | 20,146 | 16,363 |
| | MEDIUM SAND | 46,693 | 47,419 | 33,581 | 70,310 | 69,911 | 69,656 | 51,608 | 65,521 | 61,323 |
| | FINE SAND | 46,062 | 47,756 | 63,453 | 20,487 | 19,411 | 16,905 | 9,395 | 11,339 | 17,503 |
| | VERY FINE SAND | 0,392 | 0,343 | 0,373 | 0,154 | 0,080 | 0,050 | 0,831 | 0,224 | 0,369 |
| | VERY COARSE SILT | - | 0,005 | 0,005 | - | - | - | 0,025 | 0,006 | 0,014 |

Taula 16. Santiago hondartzaren ezaugarri sedimentologikoak [2014/01/18]

SANTIAGO – SHOREFACE [2014/01/18]



Grafikoa 44. Laginen histogramak (Santiago – shoreface – 2014/01/18)



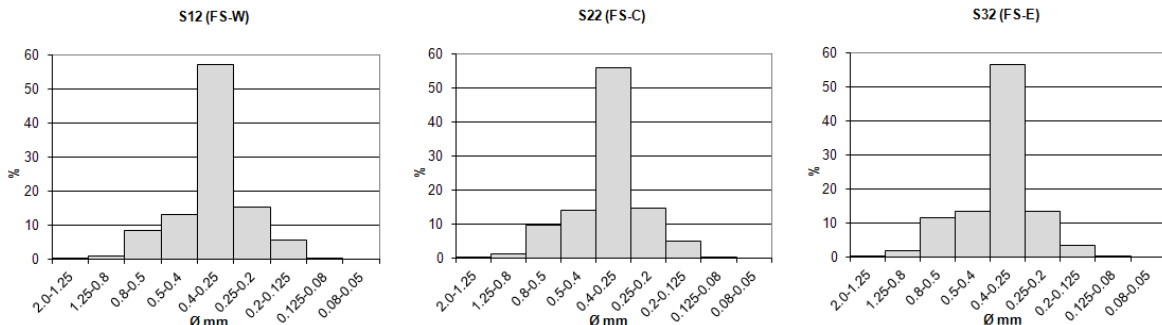
Grafikoa 45. Metatze-kurbak (Santiago – shoreface – 2014/01/18)

Azalpen granulometrikoak:

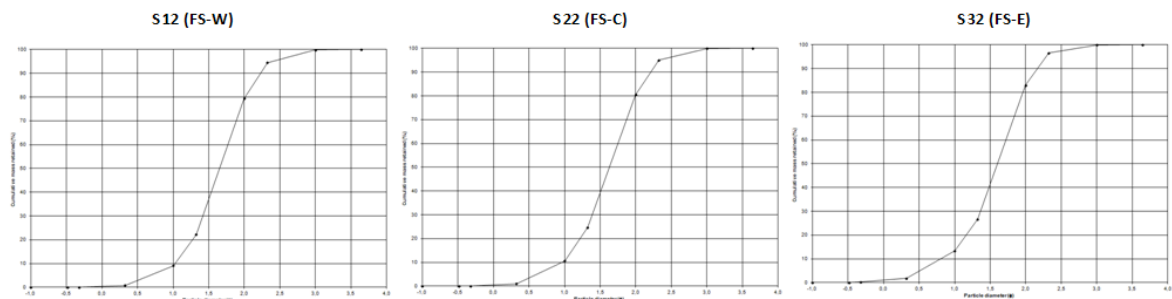
Kurba hiperboliko sigmoidalak, histograma unimodalak eta bataz besteko balioak 230,5 eta 258,7 μm artean daude. Mendebalean eta erdialdean tamaina ertaineko eta fineko sedimentua parekatua ageri dira, eta ekialdean berriz, sedimentu finaren presentzia nabariagoa da.

Parametroek (alborapen simetrikoek) ez badute ere adierazten sedimentu metaketa edo higadurarik (urreko egunetan izandako denboraleagatik), eremu osoan hondar metaketa eman da, bolumen diferentziatan ikus daitekeenez. Orokorean parametroak (hautespen nahiko ona eta kurtosi mesokurtikoa) ikusita, itsasoaren energia nahiko konstantea izan da, sedimentu metaketa txikiena ekialdean izan delarik.

SANTIAGO – FORESHORE [2014/01/18]



Grafikoa 46. Laginen histogramak (Santiago – foreshore – 2014/01/18)



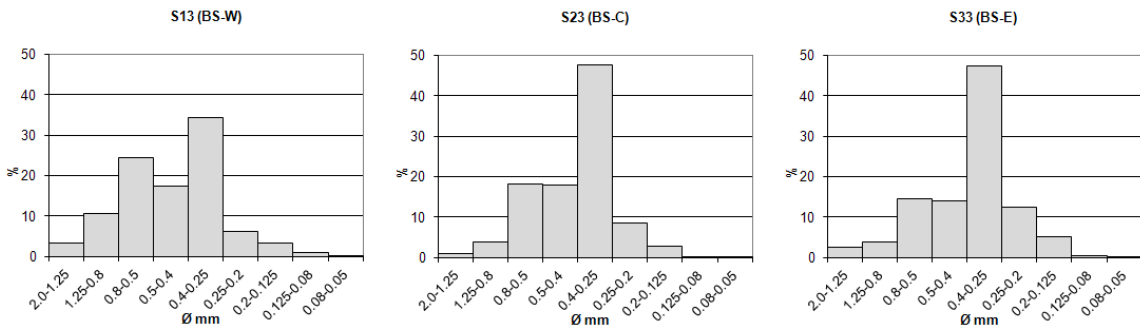
Grafikoa 47. Metate-kurbak (Santiago – foreshore – 2014/01/18)

Azalpen granulometrikoak:

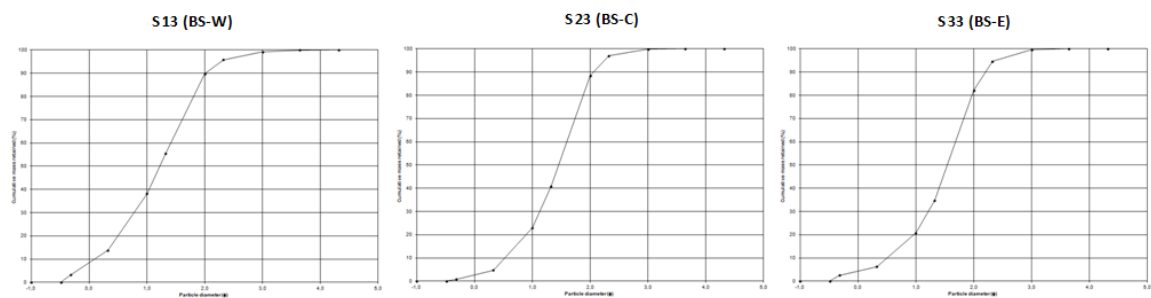
Kurba hiperboliko sigmoidalak eta histograma unimodalak. Tamaina ertaineko sedimentua nabarmentzen da eta bataz besteko balioak 320,7 eta 338,5 μm artean daude.

Parametroetan aurreko egunetan izandako itsas denborale zakarraren ezaugarriak nabartzen diren arren, volumen diferentziatan sedimentu metaketa atzematen da abendutik urtarrilera bitartean. Itsasoaren indar zinetikoa oso konstantea (kurtosi leptukurtikoa) izan da eremu osoan eta mendebalean eman da sedimentu pilaketatik handiena (hautespen onena), olatuen energia altuagoa izan baita beste eremuetan baino.

SANTIAGO – BACKSHORE [2014/01/18]



Grafikoa 48. Laginen histogramak (Santiago – backshore – 2014/01/18)



Grafikoa 49. Metatze-kurbak (Santiago – backshore – 2014/01/18)

Azalpen granulometrikoak:

Kurba hiperboliko sigmoidal apalak, mugimendua txikia izan den seinale eta, histograma unimodal eta bimodalak (bi sedimentu mota nahastu). Hala eta guztiz, tamaina ertaineko hondarra nabarmentzen da eta bataz besteko balioak 364,8 eta 446,3 μm artean daude.

Hautespen moderatua (S13) edo moderatuki ondo hautatuak (S23 eta S33) daude eta alborapen balio negatiboak dituzte. Hego, hego-ekialdeko haizeak sedimentua hondartzaren atzealdetik aurrera eta mendebalerantz mugiarazi du.

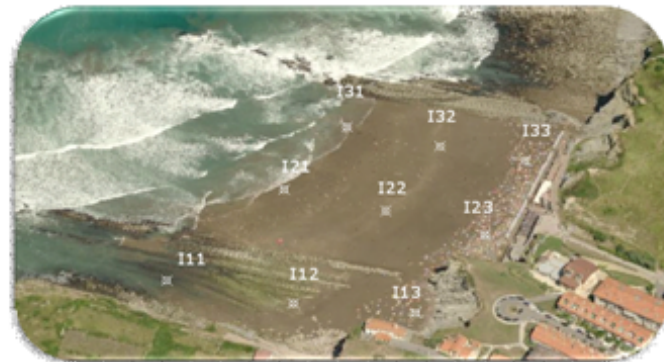
8.4. Laugarren kanpainaren emaitzak

| ITZURUN 2014_02_16 | | | | ITZURUN 2014_02_16 | | | | ITZURUN 2014_02_16 | | | |
|--------------------|------------|-------------|--------|--------------------|------------|-------------|--------|--------------------|------------|-------------|--------|
| PUNTUA | x | y | H | PUNTUA | x | y | H | PUNTUA | x | y | H |
| Base_ITZU | 559971,107 | 4794347,039 | 40,833 | ITZU_39 | 560014,617 | 4794477,591 | 2,249 | ITZU_78 | 559917,760 | 4794380,057 | 0,206 |
| ITZU_01 | 559943,189 | 4794363,517 | 1,700 | ITZU_40 | 559994,679 | 4794480,861 | 1,118 | ITZU_79 | 559986,982 | 4794381,354 | 3,456 |
| ITZU_02 | 559937,211 | 4794363,442 | 1,276 | ITZU_41 | 559997,745 | 4794494,523 | 1,093 | ITZU_80 | 559989,739 | 4794380,100 | 4,062 |
| ITZU_03 | 559932,058 | 4794366,656 | 0,876 | ITZU_42 | 560014,781 | 4794490,915 | 1,938 | ITZU_81 | 559986,467 | 4794375,891 | 4,147 |
| ITZU_04 | 559927,191 | 4794368,368 | 0,713 | ITZU_43 | 560023,180 | 4794485,874 | 2,636 | ITZU_82 | 559979,489 | 4794375,837 | 3,196 |
| ITZU_05 | 559928,276 | 4794372,847 | 0,425 | ITZU_44 | 560028,747 | 4794489,811 | 2,911 | ITZU_83 | 559952,083 | 4794395,745 | 1,139 |
| ITZU_06 | 559937,007 | 4794373,400 | 0,916 | ITZU_45 | 560033,048 | 4794489,815 | 3,330 | ITZU_84 | 559939,424 | 4794416,091 | 0,522 |
| ITZU_07 | 559943,673 | 4794367,904 | 1,351 | ITZU_46 | 560027,199 | 4794500,185 | 2,529 | ITZU_85 | 559925,787 | 4794422,351 | 0,088 |
| ITZU_08 | 559952,083 | 4794365,701 | 1,780 | ITZU_47 | 560032,079 | 4794503,343 | 2,708 | ITZU_86 | 559935,346 | 4794439,871 | 0,004 |
| ITZU_09 | 559958,077 | 4794367,829 | 2,141 | ITZU_48 | 560036,518 | 4794506,848 | 3,015 | ITZU_87 | 559950,657 | 4794476,103 | -0,071 |
| ITZU_10 | 559955,307 | 4794377,586 | 1,700 | ITZU_49 | 560024,531 | 4794508,998 | 2,095 | ITZU_88 | 559965,999 | 4794508,346 | 0,039 |
| ITZU_11 | 559951,589 | 4794387,470 | 1,298 | ITZU_50 | 560033,875 | 4794514,274 | 2,470 | ITZU_89 | 559972,410 | 4794469,416 | 0,537 |
| ITZU_12 | 559965,070 | 4794386,550 | 1,872 | ITZU_51 | 560029,033 | 4794516,053 | 2,003 | ITZU_90 | 559953,415 | 4794425,857 | 0,702 |
| ITZU_13 | 559966,057 | 4794372,385 | 2,369 | ITZU_52 | 560019,105 | 4794516,113 | 1,508 | ITZU_91 | 559946,046 | 4794354,773 | 3,055 |
| ITZU_14 | 559973,971 | 4794377,038 | 2,571 | ITZU_53 | 560038,144 | 4794518,978 | 2,829 | ITZU_92 | 559944,395 | 4794350,430 | 2,942 |
| ITZU_15 | 559980,134 | 4794380,093 | 2,907 | ITZU_54 | 560033,110 | 4794520,314 | 2,399 | ITZU_93 | 559934,420 | 4794356,073 | 1,981 |
| ITZU_16 | 559987,438 | 4794385,104 | 3,206 | ITZU_55 | 560019,041 | 4794524,229 | 1,698 | ITZU_94 | 559922,989 | 4794361,610 | 1,109 |
| ITZU_17 | 559992,447 | 4794388,073 | 3,430 | ITZU_56 | 560001,726 | 4794529,360 | 0,653 | ITZU_95 | 559921,835 | 4794368,666 | 0,962 |
| ITZU_18 | 559981,423 | 4794395,168 | 2,509 | ITZU_57 | 559994,062 | 4794526,497 | 0,335 | ITZU_96 | 559915,172 | 4794364,475 | 0,591 |
| ITZU_19 | 559967,383 | 4794398,418 | 1,677 | ITZU_58 | 560001,854 | 4794521,162 | 0,684 | ITZU_97 | 559902,747 | 4794368,411 | 0,133 |
| ITZU_20 | 559966,697 | 4794412,772 | 1,330 | ITZU_59 | 559997,492 | 4794515,604 | 0,775 | ITZU_98 | 559988,779 | 4794364,508 | -0,020 |
| ITZU_21 | 559981,413 | 4794412,287 | 2,036 | ITZU_60 | 559987,001 | 4794518,904 | 0,382 | ITZU_99 | 559923,112 | 4794351,829 | 1,207 |
| ITZU_22 | 559990,666 | 4794399,109 | 3,040 | ITZU_61 | 559982,095 | 4794527,994 | 0,009 | ITZU_100 | 559932,223 | 4794340,590 | 2,166 |
| ITZU_23 | 559997,270 | 4794399,642 | 3,575 | ITZU_62 | 559983,644 | 4794505,753 | 0,481 | ITZU_101 | 559946,908 | 4794339,017 | 3,662 |
| ITZU_24 | 560001,218 | 4794411,202 | 3,503 | ITZU_63 | 559991,974 | 4794491,127 | 0,917 | ITZU_102 | 559939,215 | 4794328,725 | 3,337 |
| ITZU_25 | 559995,778 | 4794418,196 | 2,824 | ITZU_64 | 559978,786 | 4794480,581 | 0,596 | ITZU_103 | 559930,796 | 4794314,575 | 3,882 |
| ITZU_26 | 559978,049 | 4794423,209 | 1,545 | ITZU_65 | 559987,341 | 4794464,967 | 1,056 | ITZU_104 | 559919,995 | 4794319,440 | 2,244 |
| ITZU_27 | 559978,138 | 4794437,360 | 1,248 | ITZU_66 | 559968,594 | 4794466,205 | 0,465 | ITZU_105 | 559916,908 | 4794328,921 | 1,202 |
| ITZU_28 | 559993,850 | 4794438,067 | 1,941 | ITZU_67 | 559958,070 | 4794476,175 | 0,107 | ITZU_106 | 559909,968 | 4794325,435 | 1,157 |
| ITZU_29 | 560004,829 | 4794441,525 | 2,658 | ITZU_68 | 559947,899 | 4794464,197 | -0,007 | ITZU_107 | 559912,091 | 4794341,780 | 0,695 |
| ITZU_30 | 560008,051 | 4794436,435 | 3,090 | ITZU_69 | 559965,750 | 4794445,124 | 0,709 | ITZU_108 | 559905,153 | 4794334,221 | 0,485 |
| ITZU_31 | 560010,152 | 4794442,073 | 2,992 | ITZU_70 | 559969,634 | 4794426,207 | 1,147 | ITZU_109 | 559900,530 | 4794344,008 | 0,209 |
| ITZU_32 | 560012,142 | 4794441,864 | 3,145 | ITZU_71 | 559948,354 | 4794426,456 | 0,566 | ITZU_110 | 559889,177 | 4794349,261 | -0,133 |
| ITZU_33 | 560007,583 | 4794452,118 | 2,486 | ITZU_72 | 559940,356 | 4794439,210 | 0,145 | ITZU_111 | 559881,606 | 4794342,271 | -0,359 |
| ITZU_34 | 559989,115 | 4794454,311 | 1,307 | ITZU_73 | 559927,328 | 4794429,285 | 0,006 | ITZU_112 | 559873,294 | 4794346,854 | -0,544 |
| ITZU_35 | 559992,884 | 4794467,469 | 1,246 | ITZU_74 | 559942,299 | 4794407,664 | 0,698 | ITZU_113 | 559880,014 | 4794353,804 | -0,422 |
| ITZU_36 | 560006,221 | 4794461,017 | 2,077 | ITZU_75 | 559951,061 | 4794391,970 | 1,185 | ITZU_114 | 559903,642 | 4794354,074 | 0,173 |
| ITZU_37 | 560015,116 | 4794462,481 | 2,731 | ITZU_76 | 559940,734 | 4794383,886 | 0,954 | ITZU_115 | 559908,451 | 4794373,933 | 0,068 |
| ITZU_38 | 560020,633 | 4794466,009 | 3,114 | ITZU_77 | 559926,789 | 4794387,055 | 0,495 | | | | |

Taula 17. Itzurun hondartzan altzatutako puntuak [2014/02/16]

| SANTIAGO 2014_02_17 | | | | | | | | | | | |
|---------------------|------------|-------------|--------|---------|------------|-------------|--------|---------|------------|-------------|-------|
| PUNTUA | x | y | H | PUNTUA | x | y | H | PUNTUA | x | y | H |
| Base_SAN | 561185,509 | 4794616,361 | 9,229 | SAN_55 | 561062,467 | 4794769,884 | -0,353 | SAN_110 | 561088,220 | 4794617,428 | 4,478 |
| SAN_01 | 561174,458 | 4794582,410 | 7,469 | SAN_56 | 561084,055 | 4794768,527 | -1,075 | SAN_111 | 561069,129 | 4794621,575 | 4,409 |
| SAN_02 | 561175,589 | 4794585,505 | 7,890 | SAN_57 | 561075,819 | 4794744,763 | -0,238 | SAN_112 | 561042,921 | 4794607,637 | 4,075 |
| SAN_03 | 561175,855 | 4794591,737 | 7,630 | SAN_58 | 561058,565 | 4794718,576 | 0,885 | SAN_113 | 561038,880 | 4794636,679 | 4,295 |
| SAN_04 | 561174,549 | 4794604,830 | 6,327 | SAN_59 | 561057,259 | 4794696,911 | 1,698 | SAN_114 | 561048,384 | 4794642,942 | 4,281 |
| SAN_05 | 561171,297 | 4794605,347 | 5,134 | SAN_60 | 561056,624 | 4794674,752 | 3,170 | SAN_115 | 561027,585 | 4794666,678 | 4,059 |
| SAN_06 | 561170,145 | 4794609,623 | 4,647 | SAN_61 | 561069,615 | 4794669,517 | 3,100 | SAN_116 | 561000,977 | 4794656,913 | 3,958 |
| SAN_07 | 561166,958 | 4794613,854 | 3,489 | SAN_62 | 561085,771 | 4794675,025 | 1,856 | SAN_117 | 560990,160 | 4794638,680 | 3,837 |
| SAN_08 | 561170,561 | 4794601,779 | 4,945 | SAN_63 | 561086,184 | 4794696,415 | 0,853 | SAN_118 | 560984,778 | 4794663,510 | 4,096 |
| SAN_09 | 561171,419 | 4794595,093 | 5,382 | SAN_64 | 561109,164 | 4794702,195 | 0,239 | SAN_119 | 560984,957 | 4794686,975 | 4,634 |
| SAN_10 | 561171,313 | 4794587,214 | 5,836 | SAN_65 | 561110,344 | 4794723,912 | -0,424 | SAN_120 | 560968,399 | 4794664,300 | 4,549 |
| SAN_11 | 561165,451 | 4794584,315 | 4,464 | SAN_66 | 561135,434 | 4794722,762 | -0,876 | SAN_121 | 560964,973 | 4794635,452 | 3,691 |
| SAN_12 | 561169,867 | 4794581,617 | 5,639 | SAN_67 | 561119,489 | 4794695,119 | 0,347 | SAN_122 | 560947,385 | 4794623,577 | 3,845 |
| SAN_13 | 561160,027 | 4794585,940 | 3,974 | SAN_68 | 561096,572 | 4794671,700 | 1,672 | SAN_123 | 560936,279 | 4794589,011 | 3,118 |
| SAN_14 | 561156,610 | 4794595,901 | 3,904 | SAN_69 | 561095,894 | 4794653,681 | 3,271 | SAN_124 | 560941,399 | 4794581,013 | 3,063 |
| SAN_15 | 561160,983 | 4794607,223 | 3,598 | SAN_70 | 561080,805 | 4794647,270 | 4,166 | SAN_125 | 560964,160 | 4794606,374 | 3,490 |
| SAN_16 | 561154,293 | 4794614,363 | 3,033 | SAN_71 | 561104,414 | 4794638,747 | 3,985 | SAN_126 | 560989,143 | 4794612,533 | 3,628 |
| SAN_17 | 561146,689 | 4794607,443 | 3,399 | SAN_72 | 561120,234 | 4794642,634 | 3,031 | SAN_127 | 560995,518 | 4794595,114 | 3,459 |
| SAN_18 | 561142,780 | 4794597,600 | 3,646 | SAN_73 | 561113,852 | 4794663,544 | 1,678 | SAN_128 | 560990,084 | 4794574,227 | 3,464 |
| SAN_19 | 561131,350 | 4794598,099 | 3,822 | SAN_74 | 561144,508 | 4794670,981 | 0,884 | SAN_129 | 561023,361 | 4794578,441 | 3,567 |
| SAN_20 | 561129,512 | 4794610,642 | 3,748 | SAN_75 | 561164,611 | 4794693,928 | -0,133 | SAN_130 | 561054,701 | 4794586,829 | 4,013 |
| SAN_21 | 561127,784 | 4794626,456 | 3,358 | SAN_76 | 561177,393 | 4794714,211 | -1,126 | SAN_131 | 561056,785 | 4794558,328 | 3,619 |
| SAN_22 | 561119,029 | 4794637,455 | 3,315 | SAN_77 | 561191,445 | 4794697,710 | -0,531 | SAN_132 | 561033,697 | 4794538,881 | 3,410 |
| SAN_23 | 561117,256 | 4794622,742 | 3,893 | SAN_78 | 561222,712 | 4794710,413 | -0,973 | SAN_133 | 561033,471 | 4794518,709 | 3,148 |
| SAN_24 | 561113,417 | 4794610,638 | 4,060 | SAN_79 | 561221,563 | 4794692,926 | -0,299 | SAN_134 | 561049,469 | 4794503,711 | 3,301 |
| SAN_25 | 561098,786 | 4794615,676 | 4,363 | SAN_80 | 561231,765 | 4794683,596 | 0,049 | SAN_135 | 561060,751 | 4794513,653 | 3,118 |
| SAN_26 | 561107,016 | 4794623,087 | 4,158 | SAN_81 | 561211,720 | 4794665,599 | 0,343 | SAN_136 | 561065,977 | 4794483,418 | 3,412 |
| SAN_27 | 561100,563 | 4794637,444 | 4,080 | SAN_82 | 561194,759 | 4794655,385 | 0,740 | SAN_137 | 561085,023 | 4794462,337 | 3,385 |
| SAN_28 | 561094,174 | 4794651,804 | 3,506 | SAN_83 | 561177,834 | 4794674,565 | 0,346 | SAN_138 | 561100,613 | 4794445,954 | 3,068 |
| SAN_29 | 561077,546 | 4794650,323 | 4,036 | SAN_84 | 561155,850 | 4794661,882 | 0,870 | SAN_139 | 561106,975 | 4794449,052 | 3,013 |
| SAN_30 | 561077,989 | 4794636,117 | 4,502 | SAN_85 | 561184,706 | 4794649,179 | 0,996 | SAN_140 | 561099,540 | 4794466,900 | 3,053 |
| SAN_31 | 561062,861 | 4794635,490 | 4,443 | SAN_86 | 561193,740 | 4794641,710 | 1,658 | SAN_141 | 561087,039 | 4794473,453 | 3,101 |
| SAN_32 | 561061,559 | 4794648,763 | 4,284 | SAN_87 | 561191,435 | 4794635,088 | 2,263 | SAN_142 | 561087,945 | 4794489,098 | 2,911 |
| SAN_33 | 561074,520 | 4794658,353 | 3,612 | SAN_88 | 561183,225 | 4794634,004 | 2,260 | SAN_143 | 561077,389 | 4794492,283 | 2,909 |
| SAN_34 | 561062,545 | 4794667,767 | 3,354 | SAN_89 | 561182,832 | 4794626,399 | 3,332 | SAN_144 | 561068,612 | 4794506,678 | 2,980 |
| SAN_35 | 561057,703 | 4794655,516 | 4,111 | SAN_90 | 561170,442 | 4794629,854 | 2,473 | SAN_145 | 561075,917 | 4794510,040 | 3,011 |
| SAN_36 | 561039,613 | 4794652,818 | 4,227 | SAN_91 | 561173,887 | 4794623,324 | 2,979 | SAN_146 | 561072,909 | 4794523,731 | 3,084 |
| SAN_37 | 561038,100 | 4794666,851 | 3,973 | SAN_92 | 561174,093 | 4794616,121 | 3,793 | SAN_147 | 561084,006 | 4794535,349 | 3,397 |
| SAN_38 | 561037,945 | 4794683,692 | 3,185 | SAN_93 | 561170,192 | 4794615,063 | 3,312 | SAN_148 | 561088,557 | 4794519,983 | 3,097 |
| SAN_39 | 561024,138 | 4794679,509 | 3,915 | SAN_94 | 561167,133 | 4794614,800 | 3,395 | SAN_149 | 561089,383 | 4794515,913 | 3,090 |
| SAN_40 | 561011,347 | 4794672,481 | 4,136 | SAN_95 | 561145,590 | 4794613,472 | 3,243 | SAN_150 | 561099,986 | 4794519,090 | 3,729 |
| SAN_41 | 561008,252 | 4794688,253 | 4,067 | SAN_96 | 561171,951 | 4794577,676 | 6,490 | SAN_151 | 561101,388 | 4794529,837 | 3,407 |
| SAN_42 | 560991,999 | 4794682,174 | 4,258 | SAN_97 | 561165,348 | 4794563,046 | 6,902 | SAN_152 | 561098,108 | 4794548,251 | 3,549 |
| SAN_43 | 560983,060 | 4794686,218 | 4,744 | SAN_98 | 561168,043 | 4794569,550 | 6,346 | SAN_153 | 561095,607 | 4794569,139 | 3,777 |
| SAN_44 | 560989,625 | 4794696,113 | 4,726 | SAN_99 | 561167,177 | 4794577,242 | 5,117 | SAN_154 | 561113,947 | 4794558,021 | 3,616 |
| SAN_45 | 561003,742 | 4794691,696 | 4,145 | SAN_100 | 561162,369 | 4794566,531 | 5,004 | SAN_155 | 561132,568 | 4794537,085 | 4,090 |
| SAN_46 | 561000,629 | 4794712,823 | 3,953 | SAN_101 | 561158,526 | 4794558,904 | 5,207 | SAN_156 | 561122,662 | 4794528,756 | 4,616 |
| SAN_47 | 561021,978 | 4794716,890 | 2,341 | SAN_102 | 561146,103 | 4794548,619 | 4,321 | SAN_157 | 561110,142 | 4794540,131 | 3,501 |
| SAN_48 | 561019,059 | 4794740,854 | 1,435 | SAN_103 | 561144,413 | 4794564,140 | 3,754 | SAN_158 | 561103,375 | 4794529,752 | 3,426 |
| SAN_49 | 561037,696 | 4794742,690 | 0,957 | SAN_104 | 561149,288 | 4794582,450 | 3,766 | SAN_159 | 561106,893 | 4794522,850 | 3,688 |
| SAN_50 | 561030,148 | 4794768,066 | 0,376 | SAN_105 | 561137,111 | 4794592,365 | 3,783 | SAN_160 | 561103,893 | 4794520,708 | 3,747 |
| SAN_51 | 561047,786 | 4794771,949 | 0,095 | SAN_106 | 561125,905 | 4794581,335 | 3,822 | SAN_161 | 561106,300 | 4794515,731 | 5,309 |
| SAN_52 | 561040,951 | 4794798,117 | -0,399 | SAN_107 | 561110,666 | 4794573,446 | 3,770 | SAN_162 | 561103,038 | 4794515,472 | 5,269 |
| SAN_53 | 561047,800 | 4794821,352 | -1,150 | SAN_108 | 561091,916 | 4794577,041 | 3,952 | | | | |
| SAN_54 | 561058,511 | 4794797,619 | -0,764 | SAN_109 | 561095,241 | 4794597,212 | 4,239 | | | | |

Taula 18. Santiago hondartzan altxatutako puntuak [2014/02/17]



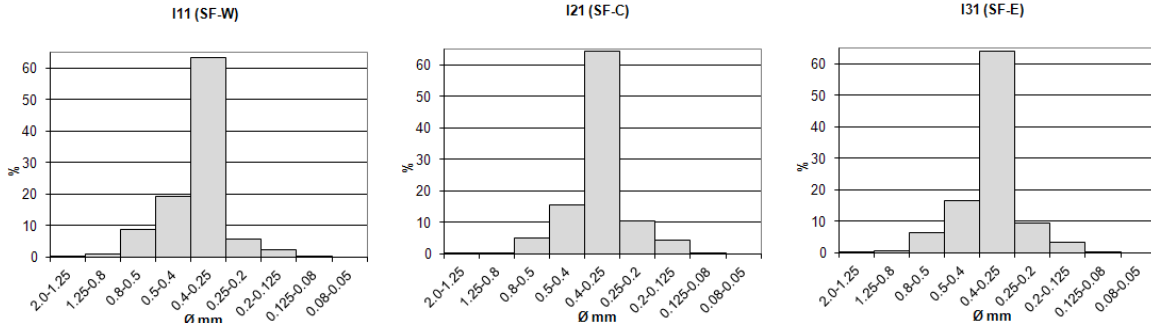
ITZURUN HONDARTZA

BS: Backshore, FS: Foreshore, SF: Shoreface
W: West (Mendebala), C: Center (Zentroa), E: East (Ekaldea)

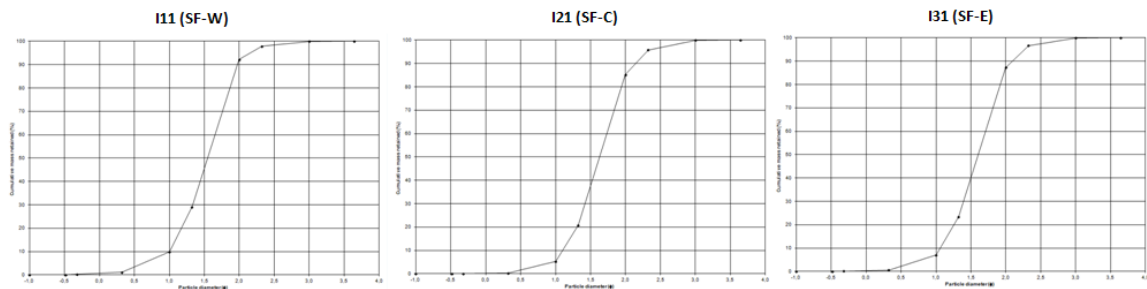
| | I11 | I21 | I31 | I12 | I22 | I32 | I13 | I23 | I33 | |
|--|-----------------------------|----------|----------|----------|----------|----------|----------|----------|----------|--------|
| | SF-W | SF-C | SF-E | FS-W | FS-C | FS-E | BS-W | BS-C | BS-E | |
| SAMPLE TYPE | Unimodal | Unimodal | Unimodal | Unimodal | Unimodal | Unimodal | Unimodal | Unimodal | Unimodal | |
| MODE 1 (μm) | 325,0 | 325,0 | 325,0 | 325,0 | 325,0 | 325,0 | 450,0 | 325,0 | 325,0 | |
| GEOMETRIC FOLK & WARD METHOD (μm) | MEDIAN (D_{50}) | 342,2 | 323,2 | 328,8 | 321,8 | 318,5 | 327,5 | 398,2 | 312,7 | 330,5 |
| | MEAN (Mz) | 348,5 | 326,8 | 333,9 | 322,9 | 318,5 | 329,7 | 386,5 | 309,7 | 333,8 |
| LOGARITHMIC FOLK & WARD METHOD (Φ) | MEDIAN (D_{50}) | 1,547 | 1,630 | 1,605 | 1,636 | 1,651 | 1,610 | 1,328 | 1,677 | 1,597 |
| | MEAN (Mz) | 1,521 | 1,613 | 1,583 | 1,631 | 1,651 | 1,601 | 1,371 | 1,691 | 1,583 |
| | SORTING (σ_1) | 0,434 | 0,393 | 0,421 | 0,348 | 0,342 | 0,329 | 0,424 | 0,408 | 0,366 |
| | SKEWNESS (SK ₁) | -0,149 | -0,029 | -0,093 | -0,010 | 0,002 | -0,038 | 0,007 | 0,132 | 0,009 |
| | KURTOSIS (K ₆) | 1,120 | 1,039 | 1,140 | 1,049 | 1,051 | 0,971 | 1,012 | 1,222 | 1,001 |
| TOTALITY OF THE SAMPLE (%) | VERY COARSE SAND | 0,687 | 0,148 | 0,331 | 0,401 | 0,241 | 0,022 | 0,803 | 0,005 | 0,008 |
| | COARSE SAND | 9,126 | 5,101 | 6,636 | 3,407 | 2,875 | 2,589 | 15,503 | 1,599 | 2,984 |
| | MEDIUM SAND | 82,389 | 79,943 | 80,275 | 84,660 | 84,044 | 89,709 | 82,168 | 80,559 | 87,277 |
| | FINE SAND | 7,744 | 14,707 | 12,691 | 11,465 | 12,776 | 7,657 | 1,513 | 17,660 | 9,647 |
| | VERY FINE SAND | 0,054 | 0,101 | 0,068 | 0,067 | 0,064 | 0,024 | 0,013 | 0,177 | 0,084 |
| | VERY COARSE SILT | - | - | - | - | - | - | - | - | |

Taula 19. Itzurun hondartzaren ezaugarri sedimentologikoak [2014/02/21]

ITZURUN – SHOREFACE [2014/02/21]



Grafikoa 50. Laginen histogramak (Itzurun – shoreface – 2014/02/21)



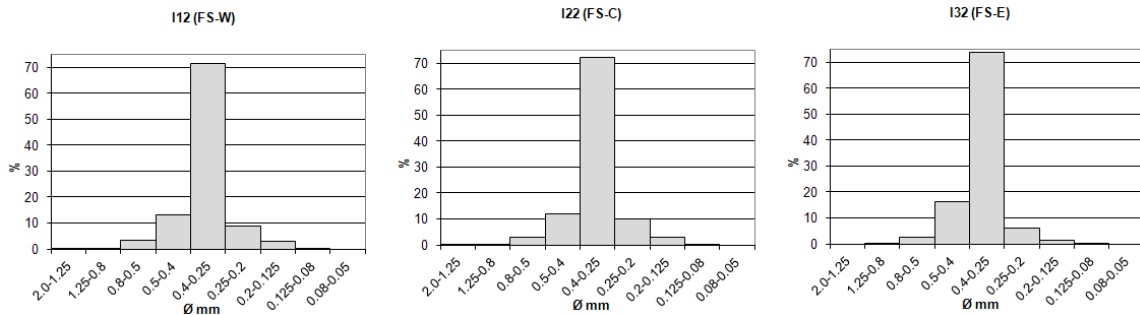
Grafikoa 51. Metatze-kurbak (Itzurun – shoreface – 2014/02/21)

Azalpen granulometrikoa:

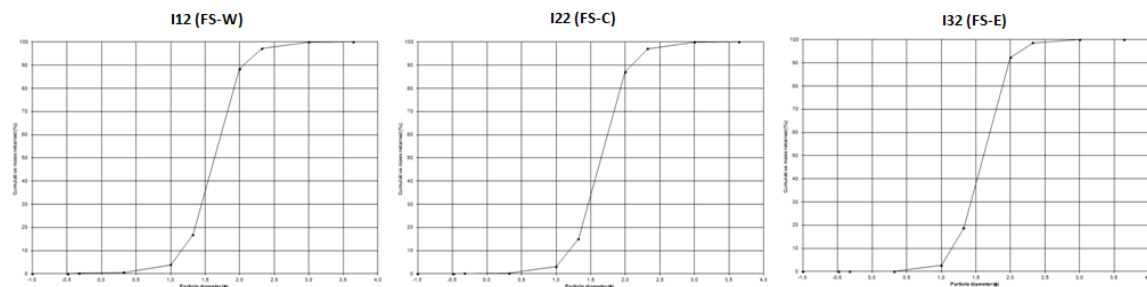
Histograma unimodalak eta metatze-kurba sigmoidal apalak. Tamaina ertaineko hondarra nabarmentzen da eta bataz besteko balioak 333,9 eta 248,5 μm artean daude.

Hiru eremuetan hautespen balio onak jaso dira; olatuen energia konstantea izan den seinale. Mendebelean alborapen negatiboak hondar galera egon dela adierazten du eta beste bi eremuetan alborapen balioak simetrikoak diren arren, erdialdean hondar galera txikia eman da eta ekialdean berri z metaketa (altxaketa topografikoan ikus daiteke). Eremu horretan gelditu diren pikorrik ekaitzaren energiara egokitu dira eta ondorioz ez da garbiketarik ez dekantaziorik nabarmendu parametroetan.

ITZURUN – FORESHORE [2014/02/21]



Grafikoa 52. Laginen histogramak (Itzurun – foreshore – 2014/02/21)



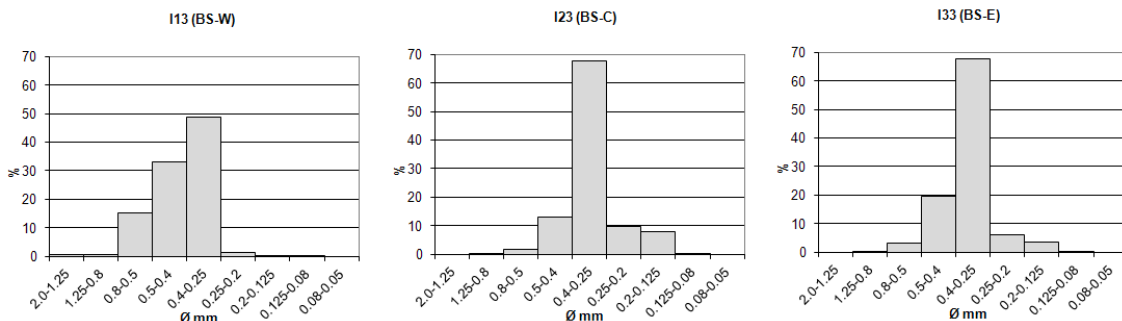
Grafikoa 53. Metatze-kurbak (Itzurun – foreshore – 2014/02/21)

Azalpen granulometrikoak:

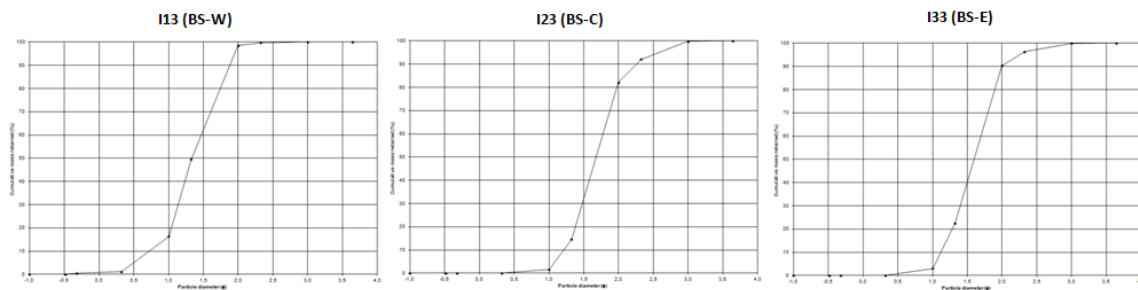
Histograma unimodalak eta metatze-kurba sigmoidalak. Tamaina ertaineko hondarra nabarmentzen da eta bataz besteko balioak 318,5 eta 329,7 μm artean daude.

Hautespen balio oso onek eta kurtosiak (mesokurtikoa) olatuen energia konstantea izan dela adierazten dute. Bestalde, alborapen balioek ez dute hondar irabazi ez galeratik adierazten, hondarraren ezaugarri granulometrikoak ekaitzaren energiara egokitutakoak. Baino neurketa topografikoa erreparatuz gero, batez ere mendebalean hondar galera nabaria atzeman daiteke, erdialdean txikiagoa eta ekialdean berriz hondar metaketa nabarmena.

ITZURUN – BACKSHORE [2014/02/21]



Grafikoa 54. Laginen histogramak (Itzurun – basckshore – 2014/02/21)



Grafikoa 55. Metatze-kurbak (Itzurun – backshore – 2014/02/21)

Azalpen granulometrikoak:

Histograma unimodalak eta metatze-kurba sigmoidalak. Bataz besteko balioak 309,7 eta 386,5 µm artean daude, tamaina ertaineko hondarra nabarmentzen delarik.

Hautespen balio onek, eremu osoan olatuen energia konstantea izan dela adierazten dute, batez ere erdialdean kurtosiaren (leptokurtikoa) arabera. Hondartzaren mendebalean, bataz besteko eta medianaren arteko differentzia nabaria da ($11,7 \mu\text{m}$, $D_{50} > M_z$), hondar metaketa eman den seinale; nahiz eta alborapen balioak hori ez erakutsi, altxaketa topografikoan ikus daiteke eremu txiki batean eman dela metaketa.

Erdialdean eta ekialdean ere, itsasoaren joera berdintsua izan da. Ekialdean hondar pilaketa nabaria atzeman da eta erdialdean berriz orokorrean hondar galera egon bada ere, alborapen balioak adierazten duen moduan, eremu txiki batean metaketa gertatu da; hondarraz gain, harriak pilatuta agertu ziren.



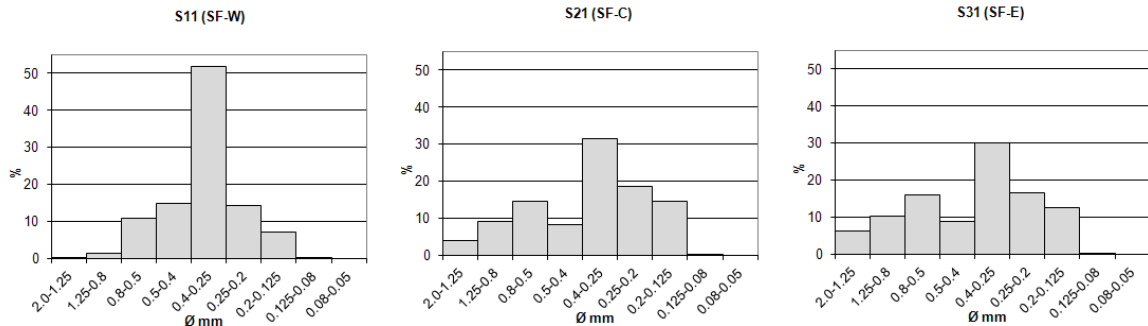
SANTIAGO HONDARTZA

BS: Backshore, FS: Foreshore, SF: Shoreface
W: West (Mendebala), C: Center (Zentroa), E: East (Ekialdea)

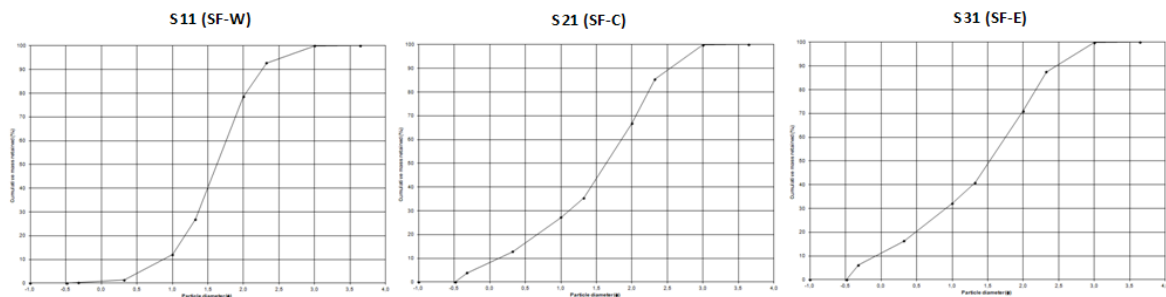
| | S11 | S21 | S31 | S12 | S22 | S32 | S13 | S23 | S33 | |
|--|------------------------|---------|---------|----------|----------|----------|----------|----------|---------|--------|
| | SF-W | SF-C | SF-E | FS-W | FS-C | FS-E | BS-W | BS-C | BS-E | |
| SAMPLE TYPE | Unimodal | Bimodal | Bimodal | Unimodal | Unimodal | Unimodal | Unimodal | Unimodal | Bimodal | |
| MODE 1 (μm) | 325,0 | 225,0 | 225,0 | 325,0 | 325,0 | 325,0 | 325,0 | 325,0 | 1325,0 | |
| MODE 2 (μm) | - | 1325,0 | 1325,0 | - | - | - | - | - | 325,0 | |
| GEOMETRIC FOLK & WARD METHOD (μm) | MEDIAN (D_{50}) | 324,0 | 321,4 | 347,1 | 299,8 | 319,1 | 348,3 | 353,7 | 344,8 | 436,9 |
| | MEAN (M_z) | 327,1 | 361,1 | 389,0 | 295,5 | 321,4 | 353,3 | 380,7 | 362,4 | 475,1 |
| LOGARITHMIC FOLK & WARD METHOD (ϕ) | MEDIAN (D_{50}) | 1,626 | 1,637 | 1,527 | 1,738 | 1,648 | 1,522 | 1,499 | 1,536 | 1,195 |
| | MEAN (M_z) | 1,612 | 1,470 | 1,362 | 1,759 | 1,637 | 1,501 | 1,393 | 1,464 | 1,074 |
| | SORTING (σ_1) | 0,560 | 0,913 | 0,955 | 0,434 | 0,414 | 0,492 | 0,709 | 0,641 | 0,807 |
| | SKEWNESS (SK_1) | -0,061 | -0,260 | -0,235 | 0,090 | -0,066 | -0,111 | -0,230 | -0,167 | -0,228 |
| | KURTOSIS (K_g) | 1,210 | 0,990 | 0,915 | 1,090 | 1,075 | 1,056 | 1,165 | 1,130 | 0,919 |
| TOTALITY OF THE SAMPLE (%) | VERY COARSE SAND | 0,789 | 8,302 | 11,188 | 0,045 | 0,147 | 0,512 | 4,866 | 3,205 | 13,511 |
| | COARSE SAND | 11,219 | 18,949 | 20,972 | 3,156 | 5,926 | 13,726 | 19,113 | 17,007 | 26,772 |
| | MEDIUM SAND | 66,523 | 39,489 | 38,872 | 70,288 | 76,587 | 73,410 | 59,238 | 62,013 | 51,582 |
| | FINE SAND | 21,341 | 33,036 | 28,806 | 26,326 | 17,287 | 12,325 | 16,173 | 17,163 | 7,880 |
| | VERY FINE SAND | 0,128 | 0,224 | 0,162 | 0,184 | 0,053 | 0,027 | 0,609 | 0,601 | 0,245 |
| | VERY COARSE SILT | - | - | - | - | - | - | - | 0,011 | 0,010 |

Taula 20. Santiago hondartzaren ezaugarri sedimentologikoak [2014/02/21]

SANTIAGO – SHOREFACE [2014/02/21]



Grafikoa 56. Lagen histogramak (Santiago –shoreface – 2014/02/21)



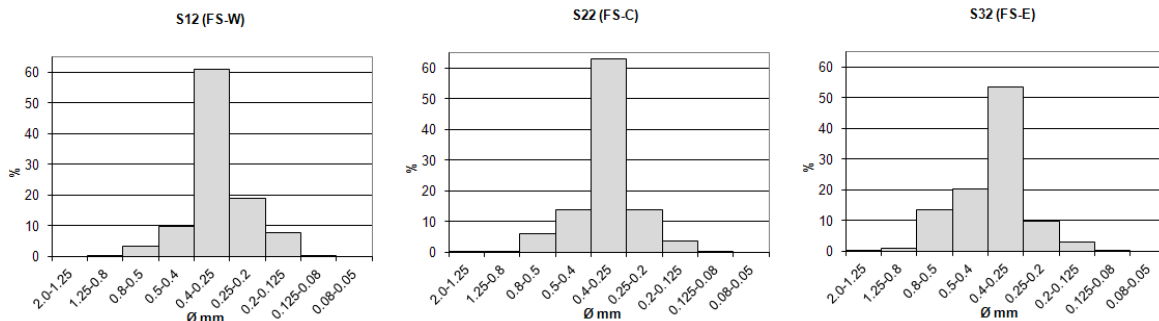
Grafikoa 57. Metatze-kurbak (Santiago – shoreface – 2014/02/21)

Azalpen granulometrikoak:

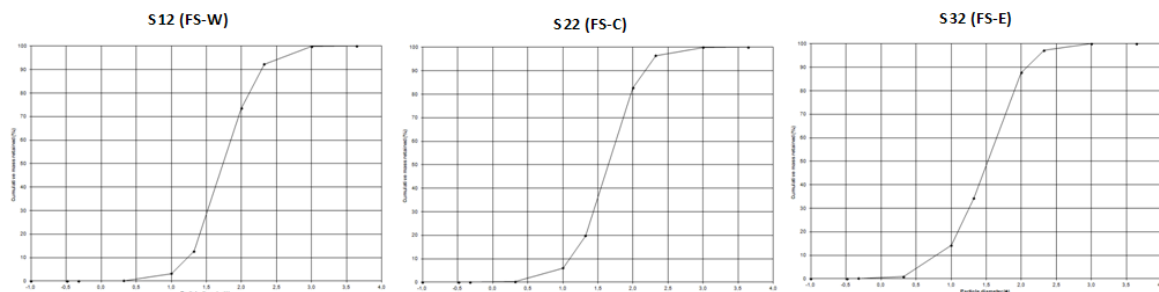
Kurba sigmoidal apala (S11) edo oso apalak (S21 eta S31) eta, histograma unimodala (S11) edo bimodalak (S21 eta S31). Tamaina ertaineko sedimentua nabarmentzen da eta bataz besteko balioak 327,1 eta 389 μm artean daude.

Hondartzaren erdialdean eta ekialdean sedimentu nahasketa (hondar fina eta lodia nahastuta) gogorra eman da eta alborapen negatiboak, sedimentu garbiketa gogorra eman den seinale dira. Ekialdean berriz, olatuen eragina txikiagoa izan da, hautespen balioen arabera (mendebalean hautespen ona eta beste bietan moderatua), baina hala eta guztiz eremu honetan ere sedimentu garbiketa edo higadura eman da.

SANTIAGO – FORESHORE [2014/02/21]



Grafikoa 58. Laginen histogramak (Santiago – foreshore – 2014/02/21)



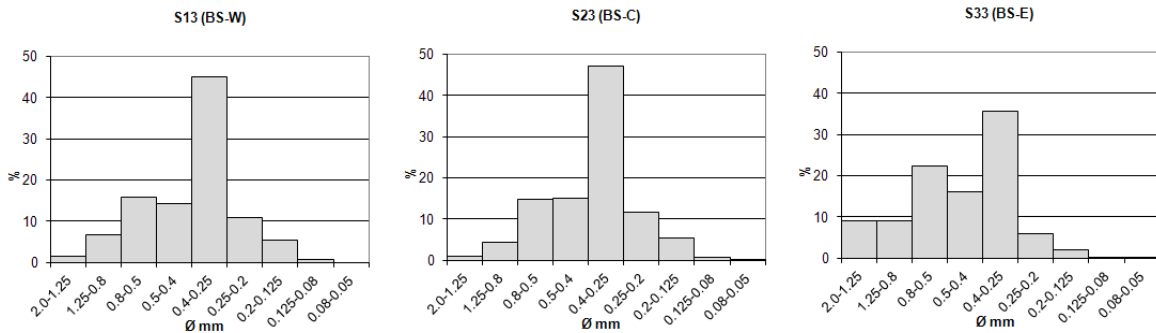
Grafikoa 59. Metatze-kurbak (Santiago – foreshore – 2014/02/21)

Azalpen granulometrikoa:

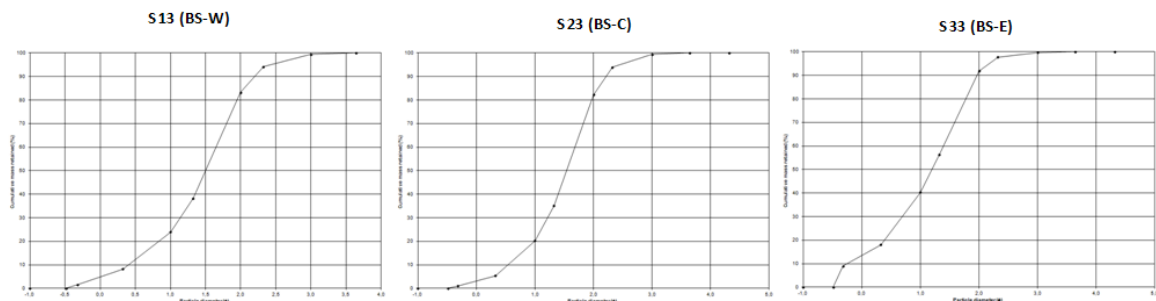
Histograma unimodalak eta kurba hiperboliko sigmoidalak, apala S32 kasua. Tamaina ertaineko sedimentua nabarmentzen da eta bataz besteko balioak 295,5 eta 353,3 μm artean daude.

Hautespen balioak onak dira, eta itsas energia zinetikoa nahiko konstantea (kurtosi leptokurtikoa) izan da. Bolumen diferentziak erreparatuta, eremu osoan hondar garbiketa nabaria antzematen da, nahiz eta mendebaleko zein erdialdeko alborapenek (alborapen simetrikoa) hori ez erakutsi; aurreko egunetan izandako denboralea dela eta.

SANTIAGO – BACKSHORE [2014/02/21]



Grafikoa 60. Laginen histogramak (Santiago – backshore – 2014/02/21)



Grafikoa 61. Metatze-kurbak (Santiago – backshore – 2014/02/21)

Azalpen granulometrikoa:

Kurba hiperboliko sigmoidal apalak (S13 eta S23) edo oso apala (S33) eta histograma unimodalak (S13 eta S23) edo bimodala (S33). Tamaina ertaineko hondarra nabarmentzen da eta bataz besteko balioak 362,4 eta 475,1 μm artean daude.

Hondartzaren ertzetan sedimentu nahasketa eman da, batez ere ekialdean, hautespen balio moderatua erakusten baitute (erdialdean moderatuki ondo hautatua). Bestalde, sedimentuaren higadura edo garbiketa emanda eremu osoan (alborapen negatiboa); hego, hego-mendebaleko haizeak (itsasoaren eragina ere izan zuen) hondarra ekialderantz eta aurrerantz mugiarazi du.

8.5. Bosgarren kanpainaren emaitzak

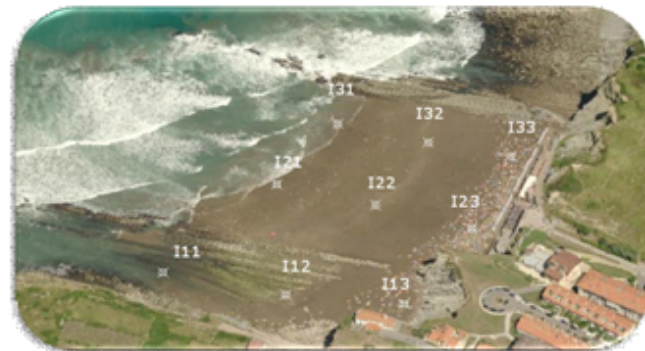
| ITZURUN 2014_05_15 | | | |
|--------------------|------------|-------------|--------|--------------------|------------|-------------|--------|--------------------|------------|-------------|--------|--------------------|------------|-------------|--------|
| PUNTUA | x | y | H |
| BASE_ITZU | 559971,107 | 4794347,039 | 40,833 | ITZU_60 | 559944,175 | 4794435,218 | 0,253 | ITZU_120 | 559993,125 | 4794387,361 | 4,258 | ITZU_180 | 559857,969 | 4794351,298 | -0,986 |
| ITZU_01 | 559926,990 | 4794370,173 | 0,594 | ITZU_61 | 559940,959 | 4794454,179 | -0,116 | ITZU_121 | 559989,983 | 4794378,631 | 4,456 | ITZU_181 | 559863,875 | 4794345,975 | -0,995 |
| ITZU_02 | 559937,870 | 4794365,400 | 1,203 | ITZU_62 | 559957,315 | 4794462,533 | 0,309 | ITZU_122 | 559988,766 | 4794379,013 | 4,208 | ITZU_182 | 559868,077 | 4794350,939 | -0,880 |
| ITZU_03 | 559938,061 | 4794384,559 | 0,833 | ITZU_63 | 559955,224 | 4794478,498 | 0,069 | ITZU_123 | 559987,023 | 4794373,331 | 4,490 | ITZU_183 | 559866,111 | 4794353,236 | -0,743 |
| ITZU_04 | 559955,733 | 4794375,602 | 1,821 | ITZU_64 | 559975,838 | 4794486,111 | 0,664 | ITZU_124 | 559984,180 | 4794374,009 | 4,256 | ITZU_184 | 559877,615 | 4794353,840 | -0,682 |
| ITZU_05 | 559972,983 | 4794381,300 | 2,881 | ITZU_65 | 559968,513 | 4794505,659 | 0,304 | ITZU_125 | 559983,131 | 4794373,668 | 4,262 | ITZU_185 | 559879,211 | 4794346,596 | -0,682 |
| ITZU_06 | 559984,487 | 4794382,001 | 3,612 | ITZU_66 | 559983,579 | 4794514,208 | 0,755 | ITZU_126 | 559978,930 | 4794374,987 | 3,674 | ITZU_186 | 559884,732 | 4794332,368 | -0,158 |
| ITZU_07 | 559979,813 | 4794392,482 | 2,988 | ITZU_67 | 559976,566 | 4794525,484 | 0,448 | ITZU_127 | 559973,446 | 4794375,504 | 3,127 | ITZU_187 | 559893,807 | 4794343,168 | -0,054 |
| ITZU_08 | 559970,468 | 4794401,179 | 1,779 | ITZU_68 | 559961,547 | 4794534,159 | -0,109 | ITZU_128 | 559973,283 | 4794373,432 | 3,238 | ITZU_188 | 559890,908 | 4794354,958 | -0,306 |
| ITZU_09 | 559965,594 | 4794413,943 | 1,218 | ITZU_69 | 559943,870 | 4794518,599 | -0,508 | ITZU_129 | 559971,186 | 4794373,830 | 3,115 | ITZU_189 | 559887,254 | 4794361,496 | -0,444 |
| ITZU_10 | 559979,160 | 4794416,747 | 1,845 | ITZU_70 | 559950,396 | 4794497,207 | -0,212 | ITZU_130 | 559969,246 | 4794371,556 | 3,178 | ITZU_190 | 559875,251 | 4794361,291 | -0,793 |
| ITZU_11 | 559985,268 | 4794405,297 | 2,850 | ITZU_71 | 559934,523 | 4794485,358 | -0,636 | ITZU_131 | 559967,853 | 4794371,850 | 3,049 | ITZU_191 | 559862,299 | 4794365,768 | -1,076 |
| ITZU_12 | 559990,580 | 4794394,111 | 3,574 | ITZU_72 | 559940,333 | 4794464,370 | -0,273 | ITZU_132 | 559967,468 | 4794371,084 | 3,128 | ITZU_192 | 559838,288 | 4794372,134 | -1,480 |
| ITZU_13 | 559997,449 | 4794407,238 | 3,602 | ITZU_73 | 559915,274 | 4794451,178 | -0,792 | ITZU_133 | 559961,270 | 4794371,157 | 2,559 | ITZU_193 | 559879,464 | 4794364,369 | -0,625 |
| ITZU_14 | 559991,568 | 4794418,695 | 2,876 | ITZU_74 | 559922,401 | 4794428,337 | -0,243 | ITZU_134 | 559959,001 | 4794365,960 | 2,978 | ITZU_194 | 559891,959 | 4794362,102 | -0,378 |
| ITZU_15 | 559977,336 | 4794422,208 | 1,564 | ITZU_75 | 559891,504 | 4794419,154 | -0,741 | ITZU_135 | 559956,113 | 4794366,894 | 2,334 | ITZU_195 | 559897,605 | 4794361,214 | -0,167 |
| ITZU_16 | 559975,859 | 4794437,370 | 1,182 | ITZU_76 | 559896,494 | 4794395,757 | -0,217 | ITZU_136 | 559953,061 | 4794365,587 | 2,073 | ITZU_196 | 559891,396 | 4794368,283 | -0,335 |
| ITZU_17 | 559990,067 | 4794439,413 | 1,835 | ITZU_77 | 559869,270 | 4794394,104 | -0,680 | ITZU_137 | 559951,555 | 4794364,718 | 2,084 | ITZU_197 | 559870,114 | 4794372,531 | -0,943 |
| ITZU_18 | 559997,268 | 4794428,101 | 2,930 | ITZU_78 | 559859,718 | 4794408,225 | -1,085 | ITZU_138 | 559942,463 | 4794367,403 | 1,278 | ITZU_198 | 559850,585 | 4794377,824 | -1,125 |
| ITZU_19 | 560005,236 | 4794427,806 | 3,608 | ITZU_79 | 559841,543 | 4794406,151 | -1,327 | ITZU_139 | 559943,045 | 4794365,344 | 1,356 | ITZU_199 | 559842,354 | 4794380,682 | -1,335 |
| ITZU_20 | 560002,361 | 4794440,185 | 2,929 | ITZU_80 | 559853,988 | 4794415,286 | -1,302 | ITZU_140 | 559943,530 | 4794361,685 | 1,493 | ITZU_200 | 559857,467 | 4794378,953 | -0,929 |
| ITZU_21 | 559991,994 | 4794441,359 | 1,931 | ITZU_81 | 559884,334 | 4794422,310 | -0,922 | ITZU_141 | 559942,488 | 4794360,490 | 1,417 | ITZU_201 | 559895,729 | 4794370,349 | -0,178 |
| ITZU_22 | 559979,384 | 4794441,295 | 1,223 | ITZU_82 | 559881,308 | 4794443,219 | -1,299 | ITZU_142 | 559944,186 | 4794366,167 | 2,138 | ITZU_202 | 559883,720 | 4794372,442 | -0,604 |
| ITZU_23 | 559982,759 | 4794456,274 | 1,137 | ITZU_83 | 559907,920 | 4794450,208 | -0,937 | ITZU_143 | 559939,498 | 4794352,113 | 1,713 | ITZU_203 | 559903,320 | 4794368,556 | 0,137 |
| ITZU_24 | 559992,934 | 4794444,603 | 1,881 | ITZU_84 | 559899,583 | 4794475,775 | -1,372 | ITZU_144 | 559941,088 | 4794348,594 | 2,524 | ITZU_204 | 559906,860 | 4794360,334 | 0,293 |
| ITZU_25 | 560006,234 | 4794451,705 | 2,812 | ITZU_85 | 559921,767 | 4794483,900 | -0,967 | ITZU_145 | 559944,519 | 4794345,120 | 2,960 | ITZU_205 | 559914,142 | 4794365,437 | 0,554 |
| ITZU_26 | 560014,605 | 4794455,490 | 3,393 | ITZU_86 | 559911,831 | 4794505,563 | -1,334 | ITZU_146 | 559947,150 | 4794343,305 | 3,193 | ITZU_206 | 559916,068 | 4794357,636 | 0,696 |
| ITZU_27 | 560010,750 | 4794471,529 | 2,602 | ITZU_87 | 559935,581 | 4794514,511 | -0,746 | ITZU_147 | 559942,018 | 4794335,685 | 3,124 | ITZU_207 | 559916,787 | 4794368,837 | 0,568 |
| ITZU_28 | 559996,696 | 4794473,973 | 1,448 | ITZU_88 | 559916,479 | 4794533,040 | -1,280 | ITZU_148 | 559940,026 | 4794331,630 | 3,190 | ITZU_208 | 559909,862 | 4794374,321 | 0,295 |
| ITZU_29 | 559999,434 | 4794488,936 | 1,479 | ITZU_89 | 559927,847 | 4794544,501 | -1,047 | ITZU_149 | 559936,381 | 4794327,907 | 3,020 | ITZU_209 | 559899,500 | 4794372,914 | -0,028 |
| ITZU_30 | 560014,294 | 4794480,012 | 2,565 | ITZU_90 | 559912,318 | 4794560,153 | -1,373 | ITZU_150 | 559932,869 | 4794320,894 | 2,995 | ITZU_210 | 559894,107 | 4794378,832 | -0,372 |
| ITZU_31 | 560025,828 | 4794487,955 | 3,026 | ITZU_91 | 559917,776 | 4794549,263 | -1,298 | ITZU_151 | 559926,872 | 4794315,575 | 2,646 | ITZU_211 | 559887,380 | 4794377,854 | -0,550 |
| ITZU_32 | 560017,368 | 4794505,044 | 2,209 | ITZU_92 | 559919,304 | 4794551,774 | -1,234 | ITZU_152 | 559919,733 | 4794318,607 | 1,885 | ITZU_212 | 559882,498 | 4794375,354 | -0,688 |
| ITZU_33 | 560000,747 | 4794505,584 | 1,403 | ITZU_93 | 559938,503 | 4794547,171 | -1,057 | ITZU_153 | 559915,632 | 4794316,452 | 1,476 | ITZU_213 | 559881,524 | 4794381,278 | -0,594 |
| ITZU_34 | 560007,646 | 4794520,850 | 1,547 | ITZU_94 | 559960,732 | 4794540,597 | -0,317 | ITZU_154 | 559910,991 | 4794321,431 | 1,269 | ITZU_214 | 559874,288 | 4794385,803 | -0,837 |
| ITZU_35 | 560025,594 | 4794520,060 | 2,337 | ITZU_95 | 559999,014 | 4794530,212 | 1,028 | ITZU_155 | 559908,000 | 4794324,588 | 1,183 | ITZU_215 | 559867,533 | 4794387,363 | -0,900 |
| ITZU_36 | 560035,691 | 4794516,928 | 2,719 | ITZU_96 | 560018,690 | 4794524,805 | 1,955 | ITZU_156 | 559903,869 | 4794322,737 | 1,041 | ITZU_216 | 559862,012 | 4794385,169 | -1,123 |
| ITZU_37 | 560031,411 | 4794500,728 | 2,920 | ITZU_97 | 560038,537 | 4794519,233 | 2,835 | ITZU_157 | 559893,249 | 4794320,714 | 0,576 | ITZU_217 | 559862,800 | 4794381,408 | -1,047 |
| ITZU_38 | 560016,157 | 4794524,438 | 1,892 | ITZU_98 | 560040,875 | 4794514,311 | 2,776 | ITZU_158 | 559884,186 | 4794321,753 | 0,151 | ITZU_218 | 559867,503 | 4794380,511 | -0,962 |
| ITZU_39 | 559999,640 | 4794525,304 | 1,206 | ITZU_99 | 560043,707 | 4794512,340 | 3,014 | ITZU_159 | 559871,133 | 4794317,766 | -0,310 | ITZU_219 | 559875,619 | 4794376,840 | -0,839 |
| ITZU_40 | 559989,197 | 4794514,740 | 0,942 | ITZU_100 | 560046,124 | 4794510,979 | 3,322 | ITZU_160 | 559797,315 | 4794346,466 | -1,738 | ITZU_220 | 559919,160 | 4794371,547 | 0,596 |
| ITZU_41 | 559981,980 | 4794529,688 | 0,546 | ITZU_101 | 560045,169 | 4794507,940 | 3,392 | ITZU_161 | 559802,508 | 4794337,716 | -1,763 | ITZU_221 | 559923,526 | 4794368,859 | 0,814 |
| ITZU_42 | 559973,686 | 4794513,988 | 0,436 | ITZU_102 | 560042,199 | 4794508,462 | 3,002 | ITZU_162 | 559812,233 | 4794333,024 | -1,580 | ITZU_222 | 559920,576 | 4794361,389 | 0,839 |
| ITZU_43 | 559976,930 | 4794494,579 | 0,650 | ITZU_103 | 560041,645 | 4794511,081 | 2,891 | ITZU_163 | 559812,454 | 4794343,538 | -1,505 | ITZU_223 | 559925,808 | 4794354,595 | 1,194 |
| ITZU_44 | 559975,799 | 4794480,126 | 1,050 | ITZU_104 | 560037,367 | 4794510,505 | 2,825 | ITZU_164 | 559799,856 | 4794356,932 | -1,660 | ITZU_224 | 559929,636 | 4794356,531 | 1,268 |
| ITZU_45 | 559991,171 | 4794490,817 | 1,148 | ITZU_105 | 560038,267 | 4794504,469 | 2,992 | ITZU_165 | 559812,239 | 4794354,358 | -1,383 | ITZU_225 | 559937,403 | 4794358,702 | 1,513 |
| ITZU_46 | 559973,816 | 4794483,906 | 0,618 | ITZU_106 | 560035,283 | 4794499,326 | 3,293 | ITZU_166 | 559793,688 | 4794369,747 | -1,732 | ITZU_226 | 559935,060 | 4794353,128 | 1,481 |
| ITZU_47 | 559978,700 | 4794466,303 | 0,945 | ITZU_107 | 560033,052 | 4794488,381 | 4,061 | ITZU_167 | 559819,719 | 4794355,148 | -1,330 | ITZU_227 | 559940,480 | 4794346,828 | 2,479 |

| SANTIAGO 2014_05_14 | | | | PUNTUA x y H | | | | PUNTUA x y H | | | | PUNTUA x y H | | | |
|---------------------|------------|-------------|-------|--------------|------------|-------------|-------|--------------|------------|-------------|-------|--------------|---|---|---|
| PUNTUA | x | y | H | PUNTUA | x | y | H | PUNTUA | x | y | H | PUNTUA | x | y | H |
| Base_SAN | 561185,509 | 4794616,361 | 9,229 | SAN_53 | 561042,194 | 4794635,353 | 4,559 | SAN_106 | 561161,879 | 4794570,453 | 4,685 | | | | |
| SAN_01 | 561096,158 | 4794520,698 | 3,590 | SAN_54 | 561040,565 | 4794657,067 | 4,462 | SAN_107 | 561157,002 | 4794561,019 | 4,681 | | | | |
| SAN_02 | 561089,914 | 4794517,144 | 3,412 | SAN_55 | 561025,582 | 4794667,946 | 4,319 | SAN_108 | 561165,050 | 4794563,422 | 6,689 | | | | |
| SAN_03 | 561080,663 | 4794520,032 | 3,368 | SAN_56 | 561020,085 | 4794649,548 | 4,334 | SAN_109 | 561168,502 | 4794570,991 | 6,398 | | | | |
| SAN_04 | 561071,263 | 4794513,086 | 3,221 | SAN_57 | 561000,915 | 4794645,070 | 4,157 | SAN_110 | 561172,004 | 4794577,927 | 6,703 | | | | |
| SAN_05 | 561072,497 | 4794498,226 | 3,165 | SAN_58 | 561009,157 | 4794623,146 | 4,079 | SAN_111 | 561151,698 | 4794561,708 | 4,152 | | | | |
| SAN_06 | 561076,405 | 4794481,017 | 3,415 | SAN_59 | 560988,957 | 4794619,410 | 3,917 | SAN_112 | 561146,769 | 4794551,798 | 4,205 | | | | |
| SAN_07 | 561093,246 | 4794467,207 | 3,156 | SAN_60 | 560994,539 | 4794599,344 | 3,714 | SAN_113 | 561134,194 | 4794554,763 | 3,920 | | | | |
| SAN_08 | 561102,596 | 4794451,320 | 3,116 | SAN_61 | 560996,035 | 4794583,119 | 3,526 | SAN_114 | 561128,674 | 4794539,645 | 3,883 | | | | |
| SAN_09 | 561067,861 | 4794489,538 | 3,402 | SAN_62 | 560975,941 | 4794586,599 | 3,519 | SAN_115 | 561118,217 | 4794530,382 | 4,014 | | | | |
| SAN_10 | 561054,740 | 4794510,379 | 3,455 | SAN_63 | 560957,823 | 4794592,199 | 3,423 | SAN_116 | 561105,345 | 4794521,515 | 3,972 | | | | |
| SAN_11 | 561047,554 | 4794533,899 | 3,452 | SAN_64 | 560949,519 | 4794606,747 | 3,581 | SAN_117 | 561105,324 | 4794535,152 | 3,556 | | | | |
| SAN_12 | 561067,095 | 4794534,479 | 3,610 | SAN_65 | 560971,001 | 4794614,746 | 3,760 | SAN_118 | 561123,842 | 4794550,702 | 3,837 | | | | |
| SAN_13 | 561079,478 | 4794530,854 | 3,485 | SAN_66 | 560972,044 | 4794631,705 | 3,907 | SAN_119 | 561140,312 | 4794559,859 | 3,967 | | | | |
| SAN_14 | 561094,205 | 4794529,766 | 3,484 | SAN_67 | 560967,389 | 4794652,980 | 4,233 | SAN_120 | 561125,468 | 4794578,123 | 4,061 | | | | |
| SAN_15 | 561101,334 | 4794540,606 | 3,603 | SAN_68 | 560990,160 | 4794649,686 | 4,159 | SAN_121 | 561120,389 | 4794593,363 | 4,201 | | | | |
| SAN_16 | 561090,826 | 4794551,929 | 3,784 | SAN_69 | 561002,401 | 4794654,449 | 4,237 | SAN_122 | 561147,520 | 4794596,991 | 4,019 | | | | |
| SAN_17 | 561075,762 | 4794555,809 | 3,843 | SAN_70 | 561003,533 | 4794672,663 | 4,392 | SAN_123 | 561141,671 | 4794610,858 | 3,686 | | | | |
| SAN_18 | 561062,158 | 4794568,453 | 3,978 | SAN_71 | 560984,628 | 4794678,206 | 4,530 | SAN_124 | 561169,563 | 4794610,202 | 4,226 | | | | |
| SAN_19 | 561066,820 | 4794581,704 | 4,177 | SAN_72 | 560994,783 | 4794699,038 | 4,670 | SAN_125 | 561168,209 | 4794614,742 | 3,380 | | | | |
| SAN_20 | 561081,093 | 4794575,217 | 4,167 | SAN_73 | 561011,016 | 4794697,520 | 3,783 | SAN_126 | 561171,635 | 4794617,395 | 3,267 | | | | |
| SAN_21 | 561098,088 | 4794570,534 | 3,964 | SAN_74 | 561012,799 | 4794676,834 | 4,320 | SAN_127 | 561171,911 | 4794621,656 | 3,011 | | | | |
| SAN_22 | 561095,235 | 4794588,740 | 4,264 | SAN_75 | 561028,361 | 4794675,636 | 4,005 | SAN_128 | 561171,219 | 4794627,705 | 3,018 | | | | |
| SAN_23 | 561087,634 | 4794601,579 | 4,513 | SAN_76 | 561042,443 | 4794677,407 | 3,451 | SAN_129 | 561158,366 | 4794626,160 | 3,085 | | | | |
| SAN_24 | 561074,651 | 4794601,180 | 4,447 | SAN_77 | 561038,713 | 4794659,483 | 4,421 | SAN_130 | 561147,391 | 4794628,348 | 3,152 | | | | |
| SAN_25 | 561082,814 | 4794619,731 | 4,683 | SAN_78 | 561052,401 | 4794659,851 | 4,165 | SAN_131 | 561148,835 | 4794645,641 | 3,490 | | | | |
| SAN_26 | 561095,297 | 4794609,294 | 4,531 | SAN_79 | 561062,830 | 4794661,472 | 3,695 | SAN_132 | 561135,613 | 4794656,071 | 3,408 | | | | |
| SAN_27 | 561107,313 | 4794603,589 | 4,377 | SAN_80 | 561074,044 | 4794662,207 | 3,295 | SAN_133 | 561117,713 | 4794656,679 | 3,440 | | | | |
| SAN_28 | 561119,063 | 4794609,447 | 4,282 | SAN_81 | 561077,320 | 4794650,653 | 3,886 | SAN_134 | 561100,014 | 4794657,357 | 3,310 | | | | |
| SAN_29 | 561103,538 | 4794616,329 | 4,545 | SAN_82 | 561075,043 | 4794643,048 | 4,586 | SAN_135 | 561098,284 | 4794670,406 | 3,631 | | | | |
| SAN_30 | 561086,884 | 4794631,783 | 4,824 | SAN_83 | 561088,301 | 4794634,043 | 4,809 | SAN_136 | 561095,804 | 4794678,111 | 3,745 | | | | |
| SAN_31 | 561074,173 | 4794635,150 | 4,780 | SAN_84 | 561101,458 | 4794635,055 | 4,243 | SAN_137 | 561074,721 | 4794674,843 | 3,458 | | | | |
| SAN_32 | 561067,625 | 4794622,006 | 4,686 | SAN_85 | 561114,310 | 4794636,935 | 3,350 | SAN_138 | 561055,806 | 4794669,933 | 3,466 | | | | |
| SAN_33 | 561056,235 | 4794628,413 | 4,657 | SAN_86 | 561115,807 | 4794627,386 | 3,907 | SAN_139 | 561052,237 | 4794690,533 | 3,375 | | | | |
| SAN_34 | 561045,642 | 4794617,986 | 4,466 | SAN_87 | 561098,718 | 4794624,145 | 4,646 | SAN_140 | 561068,028 | 4794693,564 | 3,696 | | | | |
| SAN_35 | 561048,579 | 4794603,773 | 4,342 | SAN_88 | 561109,985 | 4794617,171 | 4,421 | SAN_141 | 561050,153 | 4794704,797 | 3,457 | | | | |
| SAN_36 | 561057,842 | 4794597,668 | 4,365 | SAN_89 | 561131,280 | 4794619,400 | 3,713 | SAN_142 | 561030,204 | 4794697,371 | 3,106 | | | | |
| SAN_37 | 561049,326 | 4794585,802 | 4,122 | SAN_90 | 561145,623 | 4794622,230 | 3,092 | SAN_143 | 561017,897 | 4794695,658 | 3,520 | | | | |
| SAN_38 | 561040,318 | 4794592,703 | 4,122 | SAN_91 | 561157,572 | 4794617,842 | 3,026 | SAN_144 | 561023,949 | 4794710,686 | 3,100 | | | | |
| SAN_39 | 561035,371 | 4794575,431 | 3,853 | SAN_92 | 561166,413 | 4794614,098 | 3,470 | SAN_145 | 561032,065 | 4794722,709 | 2,872 | | | | |
| SAN_40 | 561052,442 | 4794565,466 | 3,870 | SAN_93 | 561167,198 | 4794608,588 | 4,152 | SAN_146 | 561012,848 | 4794718,897 | 3,108 | | | | |
| SAN_41 | 561051,580 | 4794554,913 | 3,706 | SAN_94 | 561166,195 | 4794596,561 | 4,453 | SAN_147 | 561007,819 | 4794724,158 | 3,174 | | | | |
| SAN_42 | 561040,018 | 4794554,588 | 3,632 | SAN_95 | 561166,894 | 4794587,245 | 4,794 | SAN_148 | 561015,525 | 4794735,242 | 2,701 | | | | |
| SAN_43 | 561040,398 | 4794534,161 | 3,387 | SAN_96 | 561166,157 | 4794582,672 | 4,834 | SAN_149 | 561019,765 | 4794747,094 | 1,984 | | | | |
| SAN_44 | 561030,457 | 4794555,520 | 3,601 | SAN_97 | 561170,570 | 4794584,811 | 5,907 | SAN_150 | 561033,532 | 4794741,895 | 1,287 | | | | |
| SAN_45 | 561030,936 | 4794582,868 | 3,888 | SAN_98 | 561172,148 | 4794590,861 | 6,234 | SAN_151 | 561036,578 | 4794728,748 | 2,158 | | | | |
| SAN_46 | 561016,802 | 4794579,412 | 3,683 | SAN_99 | 561172,583 | 4794600,643 | 5,880 | SAN_152 | 561039,800 | 4794721,943 | 2,673 | | | | |
| SAN_47 | 561009,478 | 4794566,321 | 3,464 | SAN_100 | 561173,607 | 4794605,750 | 6,018 | SAN_153 | 561040,296 | 4794713,388 | 3,030 | | | | |
| SAN_48 | 560988,006 | 4794580,309 | 3,486 | SAN_101 | 561175,880 | 4794596,914 | 7,092 | SAN_154 | 561049,464 | 4794714,826 | 2,675 | | | | |
| SAN_49 | 561008,895 | 4794588,485 | 3,720 | SAN_102 | 561176,019 | 4794590,259 | 7,695 | SAN_155 | 561060,914 | 4794715,574 | 1,693 | | | | |
| SAN_50 | 561005,370 | 4794607,151 | 3,871 | SAN_103 | 561175,018 | 4794583,289 | 7,748 | SAN_156 | 561066,163 | 4794702,189 | 2,868 | | | | |
| SAN_51 | 561025,581 | 4794612,277 | 4,145 | SAN_104 | 561165,610 | 4794584,980 | 4,688 | SAN_157 | 561065,278 | 4794695,357 | 3,681 | | | | |
| SAN_52 | 561023,854 | 4794630,969 | 4,293 | SAN_105 | 561165,746 | 4794579,383 | 4,874 | SAN_158 | 561080,024 | 4794693,967 | 2,935 | | | | |

Taula 22. Santiago hondartzan altzatutako puntuak [2014/05/14]

| PUNTUA | x | y | H | PUNTUA | x | y | H | PUNTUA | x | y | H |
|---------|------------|-------------|--------|---------|------------|-------------|--------|---------|------------|-------------|-------|
| SAN_159 | 561091,195 | 4794696,781 | 1,815 | SAN_212 | 561045,877 | 4794808,251 | -1,403 | SAN_265 | 561106,284 | 4794455,442 | 3,348 |
| SAN_160 | 561093,983 | 4794687,597 | 2,917 | SAN_213 | 561043,343 | 4794802,961 | -1,233 | SAN_266 | 561101,666 | 4794465,212 | 3,373 |
| SAN_161 | 561096,355 | 4794680,881 | 3,286 | SAN_214 | 561045,356 | 4794809,393 | -1,389 | SAN_267 | 561097,884 | 4794471,510 | 3,387 |
| SAN_162 | 561098,786 | 4794676,525 | 3,720 | SAN_215 | 561041,027 | 4794795,820 | -1,064 | SAN_268 | 561091,400 | 4794485,535 | 3,173 |
| SAN_163 | 561111,272 | 4794679,508 | 2,867 | SAN_216 | 561038,787 | 4794789,333 | -0,833 | SAN_269 | 561088,895 | 4794489,385 | 3,204 |
| SAN_164 | 561122,135 | 4794683,502 | 1,807 | SAN_217 | 561035,111 | 4794781,983 | -0,510 | SAN_270 | 561087,241 | 4794491,359 | 3,221 |
| SAN_165 | 561124,316 | 4794674,199 | 2,805 | SAN_218 | 561029,681 | 4794767,307 | 0,183 | SAN_271 | 561080,486 | 4794489,943 | 3,175 |
| SAN_166 | 561126,478 | 4794666,844 | 3,299 | SAN_219 | 561023,730 | 4794757,630 | 0,904 | SAN_272 | 561075,947 | 4794508,360 | 3,317 |
| SAN_167 | 561129,230 | 4794661,816 | 3,533 | SAN_220 | 561018,597 | 4794746,794 | 2,079 | SAN_273 | 561078,623 | 4794511,587 | 3,333 |
| SAN_168 | 561136,891 | 4794650,107 | 3,511 | SAN_221 | 561014,036 | 4794737,822 | 2,680 | SAN_274 | 561081,520 | 4794511,403 | 3,084 |
| SAN_169 | 561150,604 | 4794660,858 | 2,873 | SAN_222 | 561008,435 | 4794728,696 | 3,221 | SAN_275 | 561085,413 | 4794512,491 | 3,065 |
| SAN_170 | 561158,242 | 4794665,796 | 2,245 | SAN_223 | 561002,132 | 4794716,115 | 3,512 | SAN_276 | 561088,460 | 4794512,111 | 3,446 |
| SAN_171 | 561165,306 | 4794653,551 | 2,788 | SAN_224 | 560996,441 | 4794708,000 | 4,562 | SAN_277 | 561091,868 | 4794514,987 | 3,743 |
| SAN_172 | 561157,221 | 4794644,019 | 3,415 | SAN_225 | 560991,186 | 4794699,791 | 4,957 | SAN_278 | 561095,856 | 4794517,521 | 3,832 |
| SAN_173 | 561161,750 | 4794634,404 | 3,227 | SAN_226 | 560982,759 | 4794686,611 | 5,006 | SAN_279 | 561100,103 | 4794518,726 | 4,015 |
| SAN_174 | 561173,352 | 4794646,520 | 2,918 | SAN_227 | 560975,728 | 4794677,090 | 4,959 | SAN_280 | 561102,855 | 4794514,865 | 5,802 |
| SAN_175 | 561180,928 | 4794653,363 | 2,661 | SAN_228 | 560969,682 | 4794669,739 | 4,968 | SAN_281 | 561107,570 | 4794504,391 | 7,668 |
| SAN_176 | 561188,777 | 4794656,786 | 2,159 | SAN_229 | 560967,234 | 4794664,728 | 5,078 | SAN_282 | 561109,609 | 4794505,678 | 7,687 |
| SAN_177 | 561190,148 | 4794651,628 | 2,466 | SAN_230 | 560960,202 | 4794651,102 | 4,747 | SAN_283 | 561107,617 | 4794508,663 | 7,151 |
| SAN_178 | 561186,339 | 4794641,632 | 2,568 | SAN_231 | 560951,494 | 4794634,106 | 4,320 | SAN_284 | 561106,844 | 4794511,824 | 6,514 |
| SAN_179 | 561188,203 | 4794634,964 | 2,861 | SAN_232 | 560940,979 | 4794608,957 | 3,615 | SAN_285 | 561106,390 | 4794515,346 | 5,654 |
| SAN_180 | 561181,690 | 4794632,314 | 2,961 | SAN_233 | 560933,344 | 4794583,991 | 3,428 | SAN_286 | 561112,794 | 4794520,549 | 5,373 |
| SAN_181 | 561182,464 | 4794627,441 | 3,218 | SAN_234 | 560925,905 | 4794574,131 | 3,509 | SAN_287 | 561123,062 | 4794528,760 | 4,821 |
| SAN_182 | 561207,203 | 4794653,501 | 1,823 | SAN_235 | 560930,783 | 4794570,686 | 3,444 | SAN_288 | 561132,763 | 4794536,642 | 4,328 |
| SAN_183 | 561216,809 | 4794664,178 | 1,024 | SAN_236 | 560941,670 | 4794578,146 | 3,273 | SAN_289 | 561138,753 | 4794542,314 | 4,339 |
| SAN_184 | 561215,275 | 4794675,961 | 0,472 | SAN_237 | 560951,656 | 4794584,741 | 3,422 | SAN_290 | 561150,860 | 4794551,788 | 4,923 |
| SAN_185 | 561225,451 | 4794684,643 | -0,117 | SAN_238 | 560958,947 | 4794587,784 | 3,469 | SAN_291 | 561159,221 | 4794558,659 | 5,711 |
| SAN_186 | 561207,392 | 4794693,314 | -0,552 | SAN_239 | 560965,540 | 4794588,816 | 3,542 | SAN_292 | 561163,394 | 4794560,958 | 6,782 |
| SAN_187 | 561188,019 | 4794681,487 | 0,165 | SAN_240 | 560969,264 | 4794588,003 | 3,577 | SAN_293 | 561164,578 | 4794560,765 | 7,213 |
| SAN_188 | 561172,673 | 4794671,206 | 1,260 | SAN_241 | 560972,103 | 4794583,938 | 3,615 | SAN_294 | 561164,567 | 4794560,774 | 7,209 |
| SAN_189 | 561178,305 | 4794661,928 | 2,068 | SAN_242 | 560974,619 | 4794583,027 | 3,577 | SAN_295 | 561169,566 | 4794568,017 | 6,123 |
| SAN_190 | 561164,086 | 4794669,350 | 1,666 | SAN_243 | 560976,733 | 4794584,606 | 3,646 | SAN_296 | 561173,604 | 4794577,198 | 6,713 |
| SAN_191 | 561159,102 | 4794683,898 | 0,545 | SAN_244 | 560983,790 | 4794578,619 | 3,691 | SAN_297 | 561176,906 | 4794602,689 | 6,360 |
| SAN_192 | 561167,322 | 4794694,952 | -0,589 | SAN_245 | 560996,150 | 4794569,529 | 3,710 | SAN_298 | 561176,829 | 4794608,807 | 4,892 |
| SAN_193 | 561147,485 | 4794691,288 | 0,222 | SAN_246 | 561009,876 | 4794559,320 | 3,750 | SAN_299 | 561168,342 | 4794613,268 | 3,449 |
| SAN_194 | 561146,047 | 4794677,189 | 1,543 | SAN_247 | 561026,929 | 4794545,175 | 3,716 | SAN_300 | 561169,403 | 4794615,168 | 3,228 |
| SAN_195 | 561135,800 | 4794674,960 | 2,275 | SAN_248 | 561033,965 | 4794539,303 | 3,576 | SAN_301 | 561168,758 | 4794624,993 | 3,004 |
| SAN_196 | 561130,316 | 4794686,589 | 1,195 | SAN_249 | 561029,275 | 4794529,659 | 3,503 | SAN_302 | 561178,744 | 4794621,898 | 3,454 |
| SAN_197 | 561122,746 | 4794701,757 | 0,131 | SAN_250 | 561022,049 | 4794519,023 | 3,461 | SAN_303 | 561172,212 | 4794625,160 | 2,940 |
| SAN_198 | 561138,349 | 4794708,467 | -0,868 | SAN_251 | 561028,781 | 4794513,184 | 3,329 | SAN_304 | 561171,705 | 4794628,749 | 2,957 |
| SAN_199 | 561124,006 | 4794715,878 | -1,022 | SAN_252 | 561042,892 | 4794506,208 | 3,524 | SAN_305 | 561175,555 | 4794628,343 | 3,097 |
| SAN_200 | 561104,510 | 4794702,216 | 0,701 | SAN_253 | 561054,081 | 4794496,577 | 3,651 | SAN_306 | 561192,517 | 4794645,315 | 2,385 |
| SAN_201 | 561104,097 | 4794689,183 | 1,982 | SAN_254 | 561060,762 | 4794487,419 | 3,631 | SAN_307 | 561199,551 | 4794641,252 | 2,874 |
| SAN_202 | 561085,040 | 4794700,273 | 1,778 | SAN_255 | 561064,626 | 4794478,263 | 3,762 | SAN_308 | 561193,066 | 4794648,483 | 2,381 |
| SAN_203 | 561095,387 | 4794712,224 | 0,239 | SAN_256 | 561073,198 | 4794470,949 | 3,729 | SAN_309 | 561190,445 | 4794653,467 | 2,371 |
| SAN_204 | 561087,593 | 4794733,034 | -0,913 | SAN_257 | 561086,668 | 4794459,384 | 3,558 | SAN_310 | 561197,532 | 4794652,574 | 2,018 |
| SAN_205 | 561065,449 | 4794725,672 | 0,612 | SAN_258 | 561098,762 | 4794445,150 | 3,411 | SAN_311 | 561206,971 | 4794649,549 | 2,273 |
| SAN_206 | 561051,766 | 4794722,575 | 1,606 | SAN_259 | 561102,478 | 4794439,598 | 3,340 | SAN_312 | 561214,158 | 4794655,325 | 1,539 |
| SAN_207 | 561044,878 | 4794735,474 | 1,034 | SAN_260 | 561106,806 | 4794436,181 | 3,230 | SAN_313 | 561228,271 | 4794663,451 | 0,837 |
| SAN_208 | 561053,333 | 4794750,549 | -0,293 | SAN_261 | 561109,742 | 4794437,042 | 3,332 | SAN_314 | 561234,202 | 4794673,784 | 0,166 |
| SAN_209 | 561059,214 | 4794770,654 | -1,351 | SAN_262 | 561106,107 | 4794445,329 | 3,258 | SAN_315 | 561190,164 | 4794633,583 | 2,916 |
| SAN_210 | 561041,380 | 4794766,766 | -0,385 | SAN_263 | 561113,335 | 4794448,965 | 3,733 | SAN_316 | 561182,802 | 4794626,690 | 3,287 |
| SAN_211 | 561047,246 | 4794795,586 | -1,335 | SAN_264 | 561110,272 | 4794455,186 | 3,803 | | | | |

Taula 23. Santiago hondartzan altxatutako puntuak [2014/05/14]



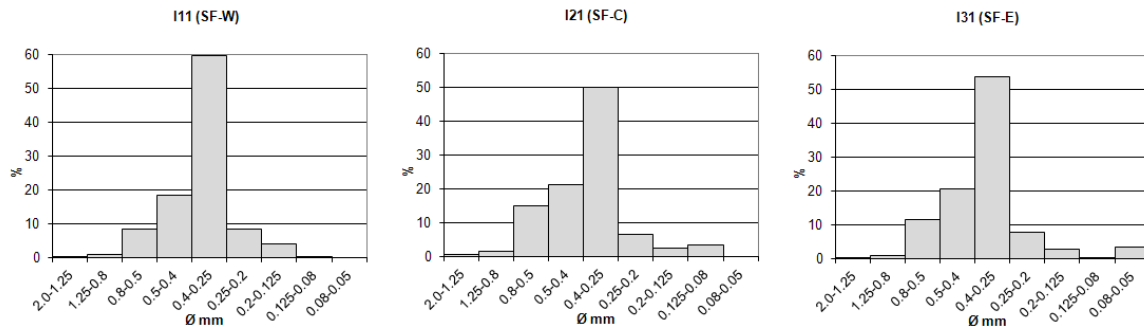
ITZURUN HONDARTZA

BS: Backshore, FS: Foreshore, SF: Shoreface
W: West (Mendebala), C: Center (Zentroa), E: East (Ekaldea)

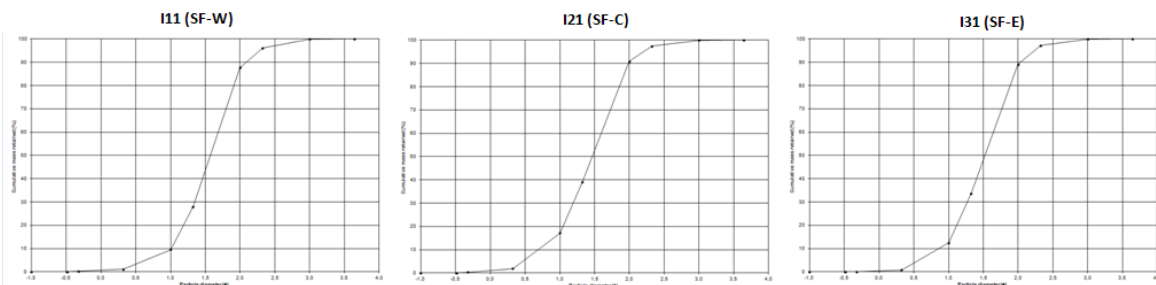
| | I11 | I21 | I31 | I12 | I22 | I32 | I13 | I23 | I33 | |
|--|------------------------|----------|----------|----------|----------|----------|----------|----------|----------|--------|
| | SF-W | SF-C | SF-E | FS-W | FS-C | FS-E | BS-W | BS-C | BS-E | |
| SAMPLE TYPE | Unimodal | Unimodal | Unimodal | Unimodal | Unimodal | Unimodal | Unimodal | Unimodal | Unimodal | |
| MODE 1 (μm) | 325,0 | 325,0 | 325,0 | 325,0 | 325,0 | 325,0 | 325,0 | 325,0 | 325,0 | |
| GEOMETRIC FOLK & WARD METHOD (μm) | MEDIAN (D_{50}) | 336,4 | 362,4 | 348,3 | 352,6 | 330,9 | 301,5 | 334,7 | 339,2 | 325,2 |
| | MEAN (M_z) | 342,1 | 368,3 | 352,6 | 357,1 | 333,9 | 298,0 | 338,8 | 343,3 | 328,6 |
| LOGARITHMIC FOLK & WARD METHOD (ϕ) | MEDIAN (D_{50}) | 1,572 | 1,464 | 1,521 | 1,504 | 1,596 | 1,730 | 1,579 | 1,560 | 1,621 |
| | MEAN (M_z) | 1,548 | 1,441 | 1,504 | 1,486 | 1,582 | 1,747 | 1,561 | 1,543 | 1,606 |
| | SORTING (σ_i) | 0,461 | 0,504 | 0,474 | 0,416 | 0,320 | 0,325 | 0,337 | 0,367 | 0,376 |
| | SKEWNESS (SK_i) | -0,112 | -0,113 | -0,102 | -0,170 | -0,076 | 0,108 | -0,070 | -0,043 | -0,014 |
| | KURTOSIS (K_G) | 1,151 | 1,055 | 1,073 | 0,998 | 0,910 | 0,921 | 0,907 | 0,936 | 1,019 |
| TOTALITY OF THE SAMPLE (%) | VERY COARSE SAND | 0,691 | 1,137 | 0,416 | 0,468 | 0,055 | 0,008 | 0,038 | 0,068 | 0,075 |
| | COARSE SAND | 8,868 | 16,025 | 12,109 | 10,431 | 2,810 | 0,623 | 4,171 | 5,275 | 4,405 |
| | MEDIUM SAND | 78,105 | 73,736 | 76,600 | 83,848 | 91,232 | 78,817 | 89,643 | 87,657 | 82,835 |
| | FINE SAND | 12,197 | 9,037 | 10,838 | 5,213 | 5,903 | 20,481 | 6,134 | 6,893 | 12,612 |
| | VERY FINE SAND | 0,138 | 0,065 | 0,038 | 0,040 | - | 0,070 | 0,013 | 0,099 | 0,073 |
| | VERY COARSE SILT | - | - | - | - | - | - | - | 0,008 | - |

Taula 24. Itzurun hondartzaren ezaugarri sedimentologikoak [2014/05/16]

ITZURUN – SHOREFACE [2014/05/16]



Grafikoa 62. Laginen histogramak (Itzurun – shoreface – 2014/05/16)



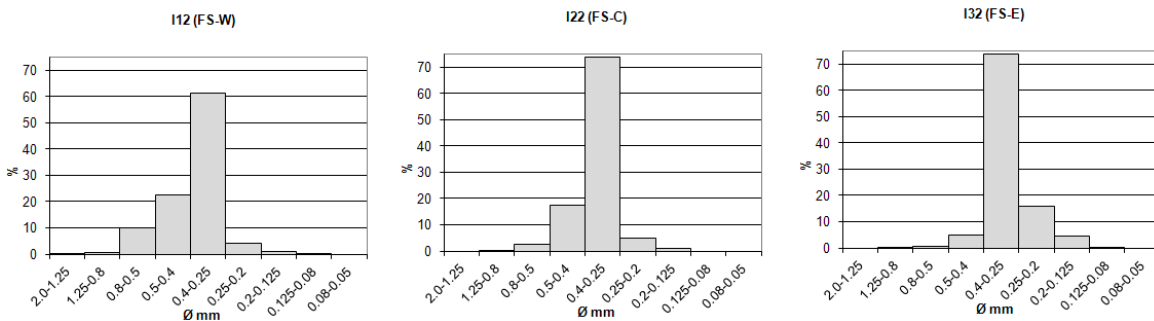
Grafikoa 63. Metatze-kurbak (Itzurun – shoreface – 2014/05/16)

Azalpen granulometrikoa:

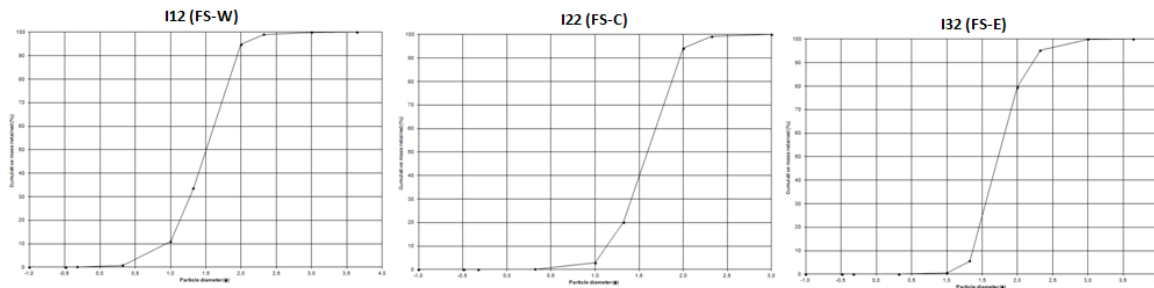
Metatze-kurba hiperboliko sigmoidalak eta histograma unimodalak. Tamainaertaineko hondarra nabarmentzen da eta bataz besteko balioak 342,1 eta 368,3 μm artean daude.

Eremu osoan hautespen balioa ona da, eta hiru kasuetako alborapen balio negatiboek, garbiketa arina ematen ari denaren seinale dira. Altxaketa topografikoa erreparatuz, mendebalean zein erdialdean hondar galera txiki bat ikus daiteke; ekialdean berriz, alborapen balioa negatiboa bada ere (ia simetriko), otsail-maiatz bitartean hondar metaketa gertatu da; orokorrean beraz, olatuen indarra normala baino txikiagoa izan den seinale. Bestalde mendebalean, ipar-mendebaleko olatuetatik babestuago egonik, oraindik ekaitzaren kurtosi ezaugarria ez du galdu (leptokutiko izaten jarraitzen du).

ITZURUN – FORESHORE [2014/05/16]



Grafikoa 64. Laginen histogramak (Itzurun – foreshore 2014/05/16)



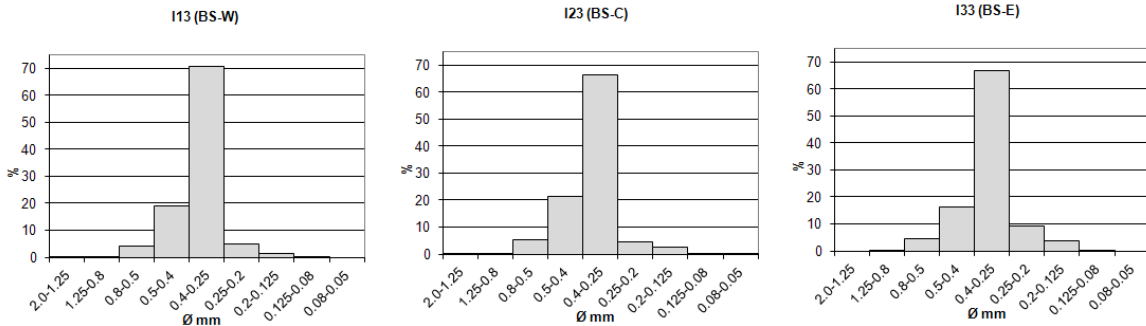
Grafikoa 65. Metatze-kurbak (Itzurun – foreshore – 2014/05/16)

Azalpen granulometrikoa:

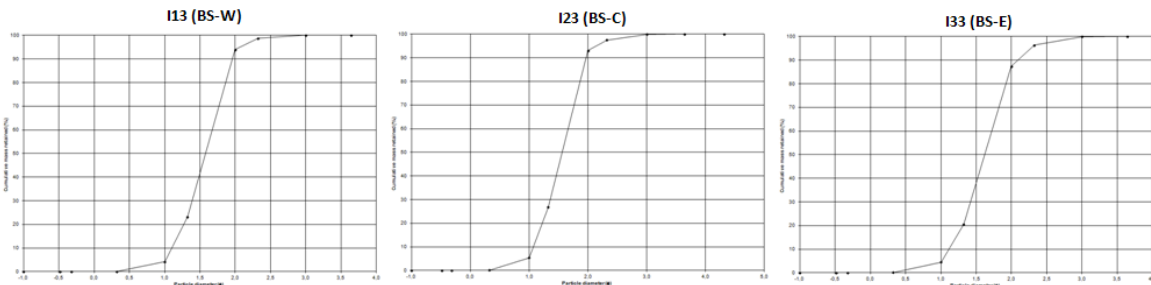
Histograma unimodalak eta metatze-kurba hiperboliko sigmoidalak (tenkatua I12 kasua). Tamaina ertaineko hondarra da nagusi, non bataz besteko balioak 298 eta 357,1 μm artean dauden.

Hautespen ona (I12) edo oso ona (I22 eta I32) erakusten dute. Mendebalean alborapen negatiboak, sedimentu berririk ez dela iritsi adierazten du; toki babestua (labarren atzealdea) da eta ekaitzaren egoera mantentzen da. Beste bi eremuetan (erdialdea eta ekialdea) berriz, alborapen positiboak dekantazio prozesua ematen ari denaren seinale dira. Argi ikusten da martxo - maiatza bitarteko bolumen diferentzietan hondartzaren ekialdean eta erdian ematen ari dela sedimentu irabazia (batez ere, ekialdean) eta mendebalean berriz, apena atzeman daitekeela aldaketa.

ITZURUN – BACKSHORE [2014/05/16]



Grafikoa 66. Laginen histogramak (Itzurun – backshore – 2014/05/16)



Grafikoa 67. Metatze-kurbak (Itzurun – basckshore – 2014/05/16)

Azalpen granulometrikoa:

Histograma unimodalak eta metatze-kurba hiperboliko sigmoidalak (tenkatuak I13 eta I23). Bataz besteko balioak 325,2 eta 334,7 μm artean daude, non tamaina ertaineko sedimentua nabarmentzen den.

Hautespen balio onek eta distribuzio mesokurtikoek, olatuen energia altua eta konstantea izan dela adierazten dute. Bestalde, alborapen balioek sedimentu garbiketa edo metaketarik adierazten ez badute ere, bolumen differentziatan, ekialdean zein erdialdean, martxotik maiatza bitartean hondar metaketa egon dela ikus daiteke.



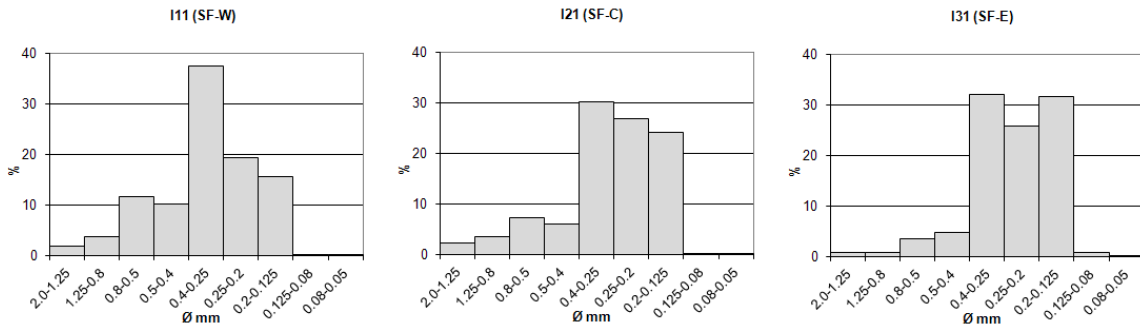
SANTIAGO HONDARTZA

BS: Backshore, FS: Foreshore, SF: Shoreface
W: West (Mendebala), C: Center (Zentroa), E: East (Ekialdea)

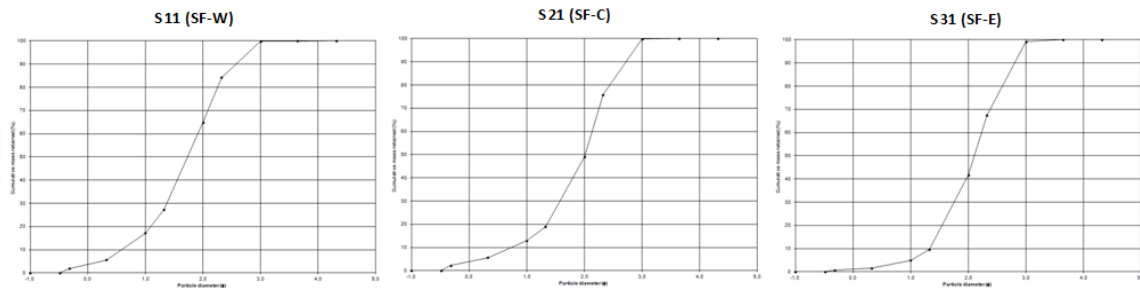
| | S11 | S21 | S31 | S12 | S22 | S32 | S13 | S23 | S33 | |
|--|------------------------|---------|----------|----------|----------|----------|----------|----------|----------|--------|
| | SF-W | SF-C | SF-E | FS-W | FS-C | FS-E | BS-W | BS-C | BS-E | |
| SAMPLE TYPE | Bimodal | Bimodal | Unimodal | |
| MODE 1 (μm) | 225,0 | 225,0 | 225,0 | 225,0 | 325,0 | 225,0 | 325,0 | 325,0 | 325,0 | |
| MODE 2 (μm) | 1325,0 | 1325,0 | - | - | - | - | - | - | - | |
| GEOMETRIC FOLK & WARD METHOD (μm) | MEDIAN (D_{50}) | 301,2 | 248,0 | 232,7 | 302,5 | 358,9 | 285,2 | 321,9 | 358,7 | 333,7 |
| | MEAN (M_z) | 316,4 | 265,9 | 236,8 | 315,3 | 390,2 | 293,7 | 324,9 | 369,7 | 340,9 |
| LOGARITHMIC FOLK & WARD METHOD (ϕ) | MEDIAN (D_{50}) | 1,731 | 2,012 | 2,103 | 1,725 | 1,478 | 1,810 | 1,635 | 1,479 | 1,583 |
| | MEAN (M_z) | 1,660 | 1,911 | 2,078 | 1,665 | 1,358 | 1,768 | 1,622 | 1,436 | 1,553 |
| | SORTING (σ_1) | 0,738 | 0,749 | 0,594 | 0,655 | 0,681 | 0,601 | 0,487 | 0,524 | 0,485 |
| | SKEWNESS (SK_1) | -0,166 | -0,287 | -0,108 | -0,156 | -0,286 | -0,149 | -0,061 | -0,152 | -0,136 |
| | KURTOSIS (K_6) | 1,147 | 1,274 | 0,935 | 1,208 | 1,039 | 1,240 | 1,234 | 1,052 | 1,150 |
| TOTALITY OF THE SAMPLE (%) | VERY COARSE SAND | 3,756 | 3,897 | 1,107 | 2,467 | 4,892 | 1,710 | 0,316 | 1,440 | 0,638 |
| | COARSE SAND | 13,445 | 8,985 | 3,890 | 12,778 | 21,233 | 9,309 | 8,169 | 16,749 | 10,804 |
| | MEDIUM SAND | 47,656 | 36,133 | 36,745 | 52,109 | 59,431 | 51,315 | 73,119 | 71,770 | 73,810 |
| | FINE SAND | 34,922 | 50,779 | 57,438 | 32,539 | 14,414 | 37,579 | 18,042 | 9,891 | 14,344 |
| | VERY FINE SAND | 0,198 | 0,199 | 0,815 | 0,105 | 0,030 | 0,087 | 0,354 | 0,145 | 0,403 |
| | VERY COARSE SILT | 0,022 | 0,007 | 0,005 | 0,002 | - | - | - | 0,005 | - |

Taula 25. Santiago hondartzaren ezaugarri sedimentologikoak [2014/05/16]

SANTIAGO – SHOREFACE [2014/05/16]



Grafikoa 68. Laginen histogramak (Santiago – shoreface – 2014/05/16)



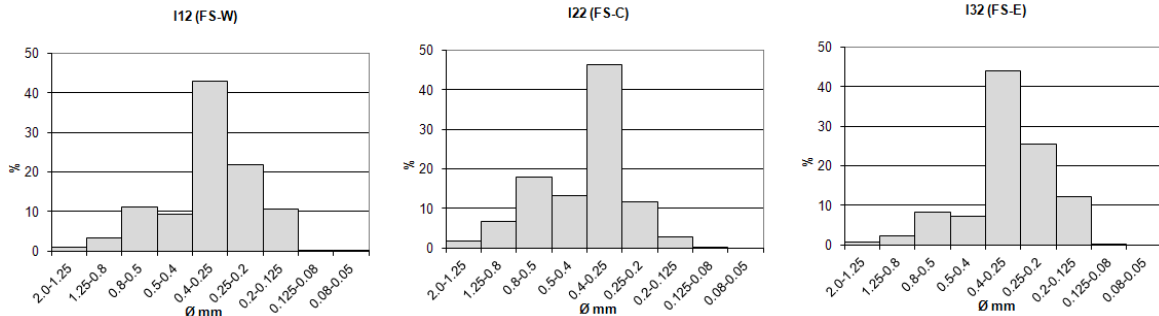
Grafikoa 69. Metatze-kurbak (Santiago – shoreface – 2014/05/16)

Azalpen granulometrikoak:

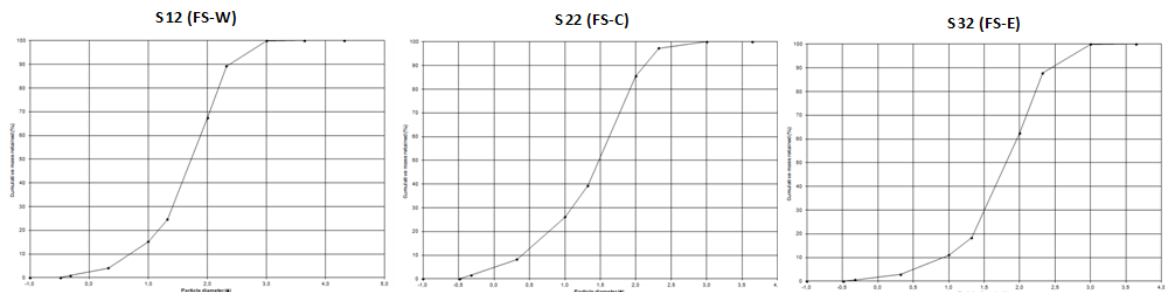
Kurba hiperboliko sigmoidalak (oso apalak S21 eta S31) eta histograma unimodala (S31) edo bimodalak (S11 eta S21); ekaitzean sedimentua modu ez askean (sedimentazio behartua) mugitu eta sedimentu nahasketa eman den seinale. Bataz besteko balioak 236,8 eta 316,4 μm artean daude, non hondartzaren zentroan eta ekialdean sedimentu fina nabarmentzen den eta mendebalean berriz, tamaina ertaineko hondarra.

Sedimentu nahasketa eman denez, hautespen balioak ez dira onak eta alborapen negatiboak hondar garbiketaren seinale dira. Oraindik hondartzak ekaitzaren aztarnak aurkezten ditu eta ez da oreka egoerara iritsi.

SANTIAGO – FORESHORE [2014/05/16]



Grafikoa 70. Laginen histogramak (Santiago – foreshore – 2014/05/16)



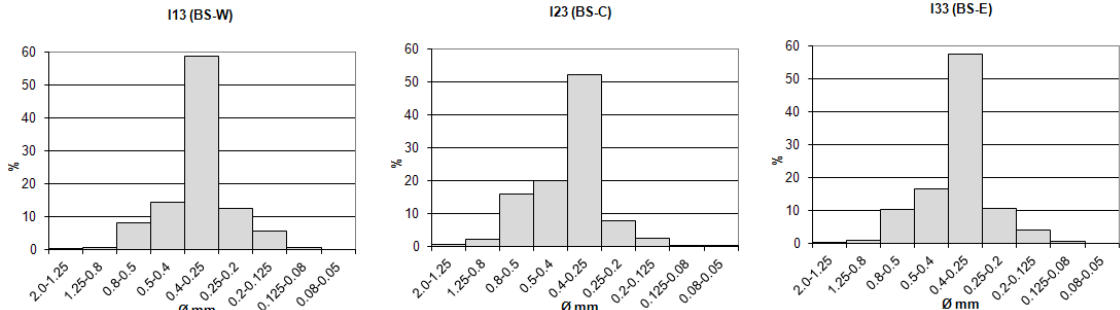
Grafikoa 71. Metate-kurbak (Santiago – foreshore – 2014/05/16)

Azalpen granulometrikoa:

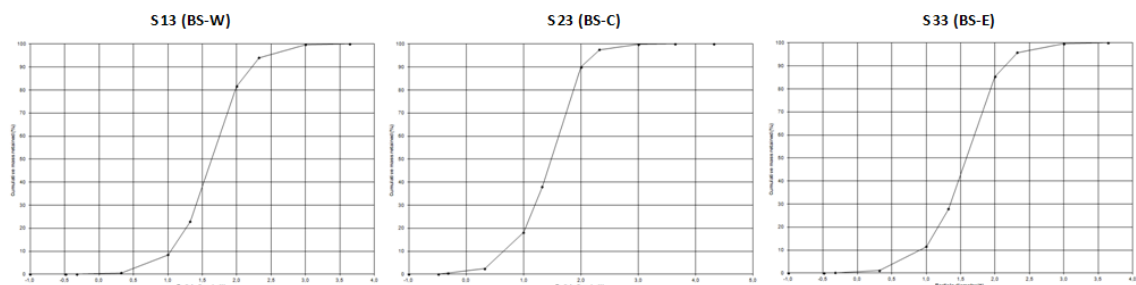
Kurba hiperboliko sigmoidalak, apalak S22 eta S32 (sedimentazio behartua), histograma unimodalak eta bataz besteko balioak 293,7 eta 358,9 μm artean daude, non tamaina ertaineko sedimentua nabamentzen den.

Ekaitzaren aztarnak nabari dira parametroetan, baina bolumen differentziengatik gero otsaila - maiatza bitartean hondar metaketa nabaria eman da, pilaketa handiena hondartzaren erdi aldetik ekialderantz eman delarik.

SANTIAGO – BACKSHORE [2014/05/16]



Grafikoa 72. Laginen histogramak (Santiago – backshore – 2014/05/16)



Grafikoa 73. Metatze-kurbak (Santiago – backshore – 2014/05/16)

Azalpen granulometrikoak:

Kurba hiperboliko sigmoidalak eta histograma unimodalak, non tamaina ertaineko sedimentua nabarmentzen den. Bataz besteko balioak 324,9 eta 369,7 μm artean daude.

Hondartzaren ertzetan hautespen balio onak jaso dira eta erdian beriz kaxkarragoa. Orokorean, eremu osoan sedimentu metaketa eman da, nahiz eta parametroek hori ez erakutsi lehenagotik jasandako ekaitzaren ondorioz. Ipar-ekialdeko haizeak eta tarteka ipar-mendebalekoak, sedimentua hondartzaren aurrealdetik atzerantz mugiarazi du.

8.6. Emaitza guztien sintesia

✓ ITZURUN HONDARTZA

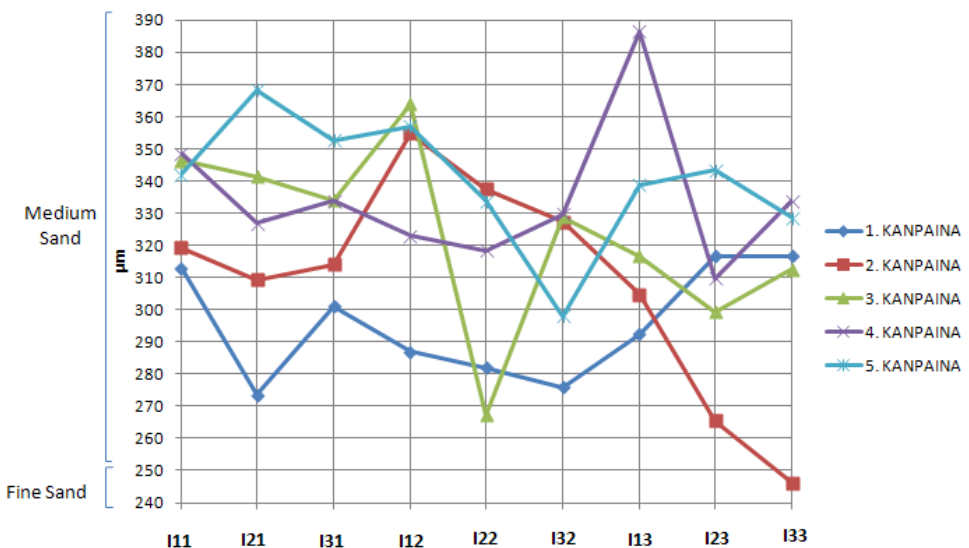
| | | FOLK AND WARD METHOD | | | | | | | | | | | |
|-------------|-----|-----------------------------|--------------|------------------------|--------------|-----------|------------------------|----------------|---------------|-------------|------------------------|---------------|-------------|
| | | GEOMETRIC (μm) | | LOGARITHMIC (ϕ) | | | | | DESCRIPTION | | | | |
| | | SAMPLE TYPE | MEDIAN (D50) | MEAN (Mz) | MEDIAN (D50) | MEAN (Mz) | SORTING (σ_1) | SKEWNESS (SK1) | KURTOSIS (KG) | MEAN | SORTING | SKEWNESS | KURTOSIS |
| 1. KANPAINA | I11 | SF-W Unimodal | 313,7 | 313,0 | 1673 | 1676 | 0,564 | 0,003 | 1,33 | Medium Sand | Moderately Well Sorted | Symmetrical | Leptokurtic |
| | I21 | SF-C Unimodal | 279,4 | 273,5 | 1840 | 1870 | 0,483 | 0,111 | 10,18 | Medium Sand | Well Sorted | Fine Skewed | Mesokurtic |
| | I31 | SF-E Unimodal | 305,3 | 301,1 | 1712 | 1732 | 0,514 | 0,123 | 1,061 | Medium Sand | Moderately Well Sorted | Fine Skewed | Mesokurtic |
| | I12 | FS-W Unimodal | 292,1 | 286,9 | 1775 | 1801 | 0,393 | 0,185 | 1,027 | Medium Sand | Well Sorted | Fine Skewed | Mesokurtic |
| | I22 | FS-C Unimodal | 288,3 | 281,9 | 1794 | 1827 | 0,441 | 0,188 | 1,068 | Medium Sand | Well Sorted | Fine Skewed | Mesokurtic |
| | I32 | FS-E Unimodal | 280,0 | 275,9 | 1837 | 1858 | 0,425 | 0,182 | 0,979 | Medium Sand | Well Sorted | Fine Skewed | Mesokurtic |
| | I13 | BS-W Unimodal | 297,7 | 292,3 | 1748 | 1774 | 0,412 | 0,143 | 1,125 | Medium Sand | Well Sorted | Fine Skewed | Leptokurtic |
| | I23 | BS-C Unimodal | 316,8 | 316,8 | 1659 | 1659 | 0,343 | 0,017 | 1,040 | Medium Sand | Very Well Sorted | Symmetrical | Mesokurtic |
| | I33 | BS-E Unimodal | 315,9 | 315,7 | 1663 | 1663 | 0,356 | 0,020 | 1,012 | Medium Sand | Well Sorted | Symmetrical | Mesokurtic |
| 2. KANPAINA | I11 | SF-W Unimodal | 320,2 | 319,4 | 1643 | 1646 | 0,564 | 0,012 | 1,249 | Medium Sand | Moderately Well Sorted | Symmetrical | Leptokurtic |
| | I21 | SF-C Unimodal | 3115 | 309,4 | 1683 | 1692 | 0,538 | 0,030 | 1,266 | Medium Sand | Moderately Well Sorted | Symmetrical | Leptokurtic |
| | I31 | SF-E Unimodal | 312,4 | 314,1 | 1679 | 1671 | 0,568 | -0,052 | 1,39 | Medium Sand | Moderately Well Sorted | Symmetrical | Leptokurtic |
| | I12 | FS-W Unimodal | 350,9 | 354,9 | 1511 | 1495 | 0,455 | -0,112 | 1,060 | Medium Sand | Well Sorted | Coarse Skewed | Mesokurtic |
| | I22 | FS-C Unimodal | 334,0 | 337,5 | 1582 | 1567 | 0,362 | -0,012 | 0,939 | Medium Sand | Well Sorted | Symmetrical | Mesokurtic |
| | I32 | FS-E Unimodal | 325,4 | 327,3 | 1620 | 1611 | 0,340 | -0,013 | 0,996 | Medium Sand | Very Well Sorted | Symmetrical | Mesokurtic |
| | I13 | BS-W Unimodal | 307,8 | 304,7 | 1700 | 1714 | 0,360 | 0,045 | 1,009 | Medium Sand | Well Sorted | Symmetrical | Mesokurtic |
| | I23 | BS-C Unimodal | 2712 | 265,4 | 1883 | 1914 | 0,443 | 0,196 | 0,970 | Medium Sand | Well Sorted | Fine Skewed | Mesokurtic |
| | I33 | BS-E Unimodal | 258,2 | 246,2 | 1953 | 2,022 | 0,511 | 0,213 | 0,869 | Fine Sand | Moderately Well Sorted | Fine Skewed | Platykurtic |
| 3. KANPAINA | I11 | SF-W Unimodal | 340,8 | 346,4 | 1553 | 1529 | 0,483 | -0,112 | 1,092 | Medium Sand | Well Sorted | Coarse Skewed | Mesokurtic |
| | I21 | SF-C Unimodal | 335,5 | 341,4 | 1576 | 1550 | 0,442 | -0,115 | 1,136 | Medium Sand | Well Sorted | Coarse Skewed | Leptokurtic |
| | I31 | SF-E Unimodal | 327,9 | 334,1 | 1608 | 1581 | 0,458 | -0,121 | 1,227 | Medium Sand | Well Sorted | Coarse Skewed | Leptokurtic |
| | I12 | FS-W Unimodal | 364,2 | 363,9 | 1457 | 1458 | 0,452 | -0,071 | 1,016 | Medium Sand | Well Sorted | Symmetrical | Mesokurtic |
| | I22 | FS-C Unimodal | 274,4 | 267,2 | 1866 | 1904 | 0,447 | 0,215 | 0,969 | Medium Sand | Well Sorted | Fine Skewed | Mesokurtic |
| | I32 | FS-E Unimodal | 326,3 | 328,9 | 1,616 | 1604 | 0,348 | -0,026 | 1,004 | Medium Sand | Very Well Sorted | Symmetrical | Mesokurtic |
| | I13 | BS-W Unimodal | 316,7 | 316,7 | 1659 | 1659 | 0,351 | 0,020 | 1,034 | Medium Sand | Well Sorted | Symmetrical | Mesokurtic |
| | I23 | BS-C Unimodal | 304,0 | 299,3 | 1,718 | 1741 | 0,387 | 0,162 | 1,199 | Medium Sand | Well Sorted | Fine Skewed | Leptokurtic |
| | I33 | BS-E Unimodal | 312,5 | 312,5 | 1678 | 1678 | 0,322 | 0,038 | 1,058 | Medium Sand | Very Well Sorted | Symmetrical | Mesokurtic |
| 4. KANPAINA | I11 | SF-W Unimodal | 342,2 | 348,5 | 1547 | 1521 | 0,434 | -0,149 | 1,120 | Medium Sand | Well Sorted | Coarse Skewed | Leptokurtic |
| | I21 | SF-C Unimodal | 323,2 | 326,8 | 1630 | 1613 | 0,393 | -0,029 | 1,039 | Medium Sand | Well Sorted | Symmetrical | Mesokurtic |
| | I31 | SF-E Unimodal | 328,8 | 333,9 | 1605 | 1583 | 0,421 | -0,093 | 1,140 | Medium Sand | Well Sorted | Symmetrical | Leptokurtic |
| | I12 | FS-W Unimodal | 3218 | 322,9 | 1636 | 1631 | 0,348 | -0,010 | 1,049 | Medium Sand | Very Well Sorted | Symmetrical | Mesokurtic |
| | I22 | FS-C Unimodal | 318,5 | 318,5 | 1,651 | 1651 | 0,342 | 0,002 | 1,051 | Medium Sand | Very Well Sorted | Symmetrical | Mesokurtic |
| | I32 | FS-E Unimodal | 327,5 | 329,7 | 1,610 | 1601 | 0,329 | -0,038 | 0,971 | Medium Sand | Very Well Sorted | Symmetrical | Mesokurtic |
| | I13 | BS-W Unimodal | 398,2 | 386,5 | 1328 | 1371 | 0,424 | 0,007 | 1,012 | Medium Sand | Well Sorted | Symmetrical | Mesokurtic |
| | I23 | BS-C Unimodal | 312,7 | 309,7 | 1677 | 1691 | 0,408 | 0,132 | 1,222 | Medium Sand | Well Sorted | Fine Skewed | Leptokurtic |
| | I33 | BS-E Unimodal | 330,5 | 333,8 | 1597 | 1583 | 0,366 | 0,009 | 1,001 | Medium Sand | Well Sorted | Symmetrical | Mesokurtic |
| 5. KANPAINA | I11 | SF-W Unimodal | 336,4 | 342,1 | 1572 | 1548 | 0,461 | -0,112 | 1,151 | Medium Sand | Well Sorted | Coarse Skewed | Leptokurtic |
| | I21 | SF-C Unimodal | 362,4 | 368,3 | 1464 | 1441 | 0,504 | -0,113 | 1,055 | Medium Sand | Moderately Well Sorted | Coarse Skewed | Mesokurtic |
| | I31 | SF-E Unimodal | 348,3 | 352,6 | 1,521 | 1504 | 0,474 | -0,102 | 1,073 | Medium Sand | Well Sorted | Coarse Skewed | Mesokurtic |
| | I12 | FS-W Unimodal | 352,6 | 357,1 | 1504 | 1486 | 0,416 | -0,170 | 0,998 | Medium Sand | Well Sorted | Coarse Skewed | Mesokurtic |
| | I22 | FS-C Unimodal | 330,9 | 333,9 | 1596 | 1582 | 0,320 | -0,076 | 0,910 | Medium Sand | Very Well Sorted | Symmetrical | Mesokurtic |
| | I32 | FS-E Unimodal | 3015 | 298,0 | 1730 | 1747 | 0,325 | 0,108 | 0,921 | Medium Sand | Very Well Sorted | Fine Skewed | Mesokurtic |
| | I13 | BS-W Unimodal | 334,7 | 338,8 | 1579 | 1561 | 0,337 | -0,070 | 0,907 | Medium Sand | Very Well Sorted | Symmetrical | Mesokurtic |
| | I23 | BS-C Unimodal | 339,2 | 343,3 | 1560 | 1543 | 0,367 | -0,043 | 0,936 | Medium Sand | Well Sorted | Symmetrical | Mesokurtic |
| | I33 | BS-E Unimodal | 325,2 | 328,6 | 1621 | 1606 | 0,376 | -0,014 | 1,019 | Medium Sand | Well Sorted | Symmetrical | Mesokurtic |

Taula 26. Itzurun hondartzaren ezaugarririk sedimentologikoak [2013/11/01 – 2014/05/16]

Sedimentu mota:

Hondartzaren bataz besteko sedimentu tamaina 320,5 μm -koa da, tamaina ertaineko sedimentua; bataz besteko balioen %98-a sedimentu ertaina delarik eta %2-a berri fina. Eremu infralitoralaren goi ertzean (shoreface) aurkitzen da sedimenturik lodiena (bataz bestekoa balioa 328,3 μm), hondartzaren mendebaldean salbu, eremu mesolitoralean (foreshore) bataz bestekoa handiagoa baita, eta eremu supalitoralera (backshore) joan heinean bataz bestekoa txikitzen da (foreshore: 319 μm eta backshore: 314,1 μm).

Profilak aztertuz gero berriz, hondartzaren mendebalean (I11: 333,9 μm , I12: 337,1 μm eta I13: 327,8 μm) jaso dira bataz besteko balio handienak, ondoren hondartzaren ekialdean (I31: 327,2 μm , I32: 312 μm eta I33: 307,6 μm) eta baliorik txikienak berriz erdialdean (I21: 323,9 μm , I22: 307,8 μm eta I23: 306,9 μm).

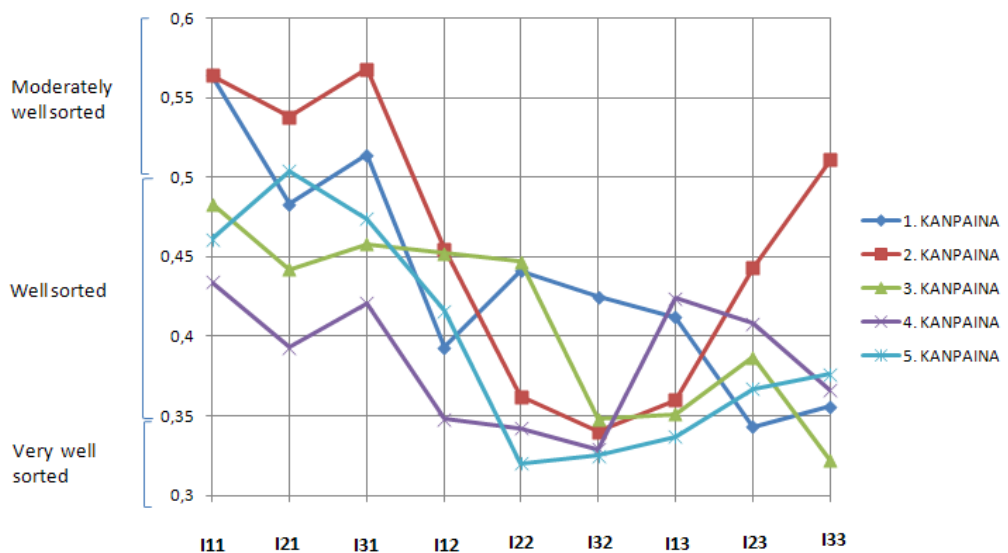


Grafikoa 74. Bataz besteko sedimentu balioak (Itzurun)

Hautespene (sorting):

Balioak 0,320 eta 0,568 artean daude, non hautespen oso ona eta moderatuki ondo hautatuen artean sailka daitezken. Sedimentuen %64 hautespen ona erakusten dute, %20-ak oso ona eta %16-a berriz moderatuki ondo hautatua dago. Bataz besteko orokorraren balioa 0,418 da, hautespen ona; orokorrean olatuen energia konstante izan denaren seinale.

Hondartzaren eremu infralitoralaren goi ertzean (shoreface) aurkitzen dira bataz besteko balio kaxkarrenak (σ_{11} : 0,501; σ_{21} : 0,472 eta σ_{31} : 0,487). Eremu mesolitoralean (foreshore), hautespene hobetzen da, hondartzaren mendebaldetik ekialderantz bataz besteko balioaren hobekuntza (σ_{12} : 0,413; σ_{22} : 0,382 eta σ_{32} : 0,352) ematen delarik eta eremu supalitoralean, hondartzaren mendebaldean hautespen balioa (σ_{13} : 0,377) hobetzen bada ere, zentroan zein ekialdean balioen (σ_{23} : 0,390 eta σ_{33} : 0,386) okertze txiki bat ematen da eremu mesolitoraleko (foreshore) datuekin alderatuz gero.

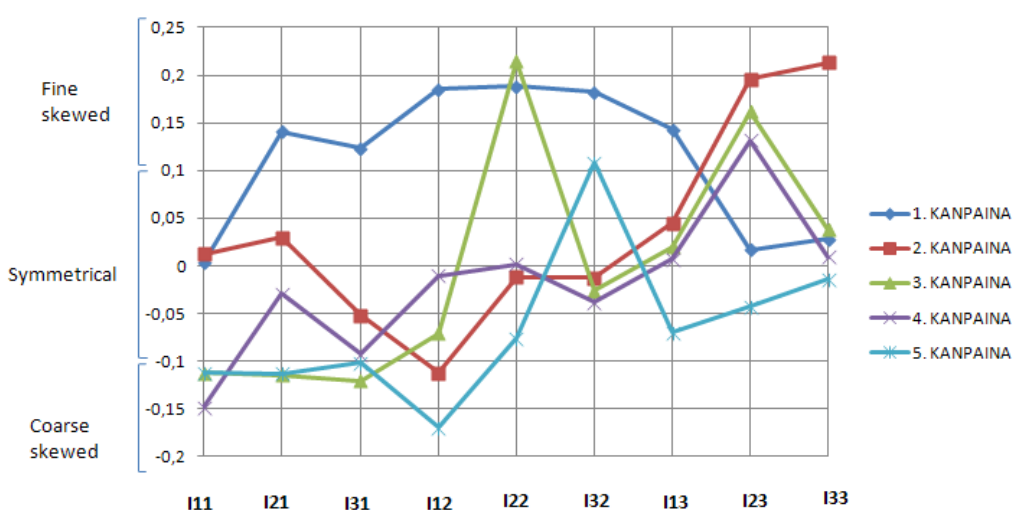


Grafikoa 75. Hautespen balioen joera (Itzurun)

Alborapena (skewness):

Alborapen positibo eta negatibo artean kokatzen dira balioak (-0,170 – 0,215); %53 simetrikoa, % 27 positiboa eta %20 negatiboa. Bataz besteko balio txikienak, hondartzaren eremu infralitoralaren goi ertzean (shoreface) aurkitzen dira, baliorik txikiena (SK_{11} : -0,072) mendebaldean eta handiena (SK_{21} : -0,017) zentroan delarik. Eremu mesolitoralean (foreshore) eta supalitoralean (backshore) ere hondartzaren mendebaldean eman dira bataz besteko txikienak (SK_{12} : -0,036 eta SK_{13} : 0,029) eta zentroan handienak (SK_{22} : 0,063 eta SK_{23} : 0,093).

Bataz besteko balioek, orokorrean hondartza osoan sedimentuen oreka mantentzen dela adierazten badute ere, balioak alderatz, hondartzaren mendebaldean zein eremu infralitoralaren goi ertzean (shoreface) korronteek beste eremuetan baino energia handiagoa izan dute, energiarik txikiena izan duen gunea eremu supalitoraleko (backshore) zentroa izan delarik.

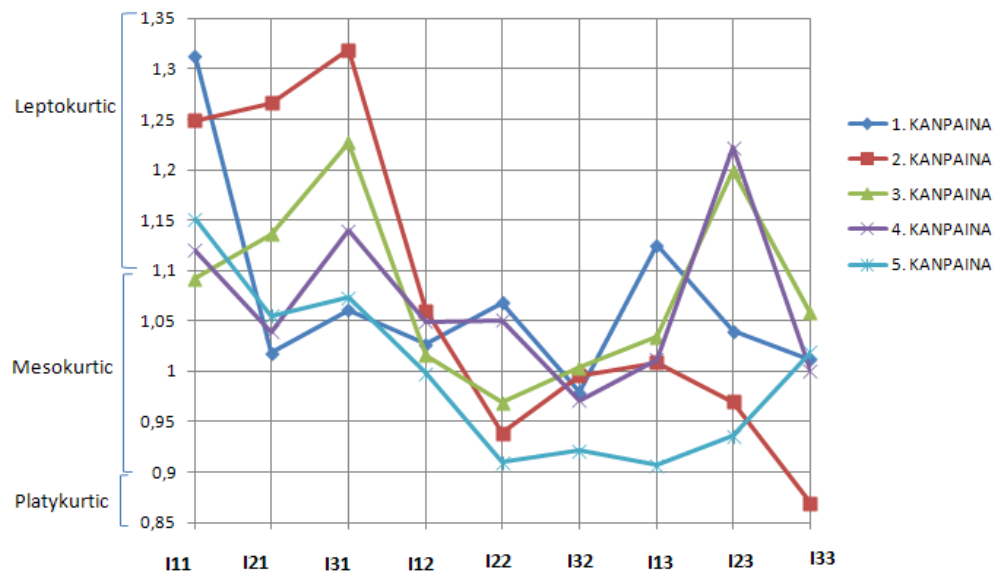


Grafikoa 76. Alborapen balioen joera (Itzurun)

Kurtosia (kurtosis):

Laginen % 71 mesokurtikoa da, %27 leptolurtikoa eta %2 platikurtikoa, bataz besteko orokorra KG: 1,058 (mesokurtikoa) delarik. Itsasoaren indar zinetikoa nahiko konstante izan denaren seinale da, sedimentua tamaina ezberdin batzuetan kontzentratzen delarik.

Indarra konstanteen eremu infralitoralaren goi ertzean (shoreface) eman da, batez ere hondartzaren mendebalean (KG_{11} : 1,185) zein ekialdean (KG_{31} : 1,164), balioa txikiagoa delarik zentroan (KG_{21} : 1,103). Eremu mesolitoralean (foreshore) mendebaletik ekialderantz balioa txikitu (KG_{12} : 1,030, KG_{22} : 0,987 eta KG_{32} : 0,974) egiten da eta eremu supalitoralean (basckshore), zentroan jaso da bataz besteko handiena (KG_{23} : 1,073) eta ekialdean txikiena (KG_{33} : 0,992), mendebalean bataz besteko kurtosia KG_{13} : 1,017 delarik.



Grafikoa 77. Kurtosi balioen joera (Itzurun)

✓ SANTIAGO HONDARTZA

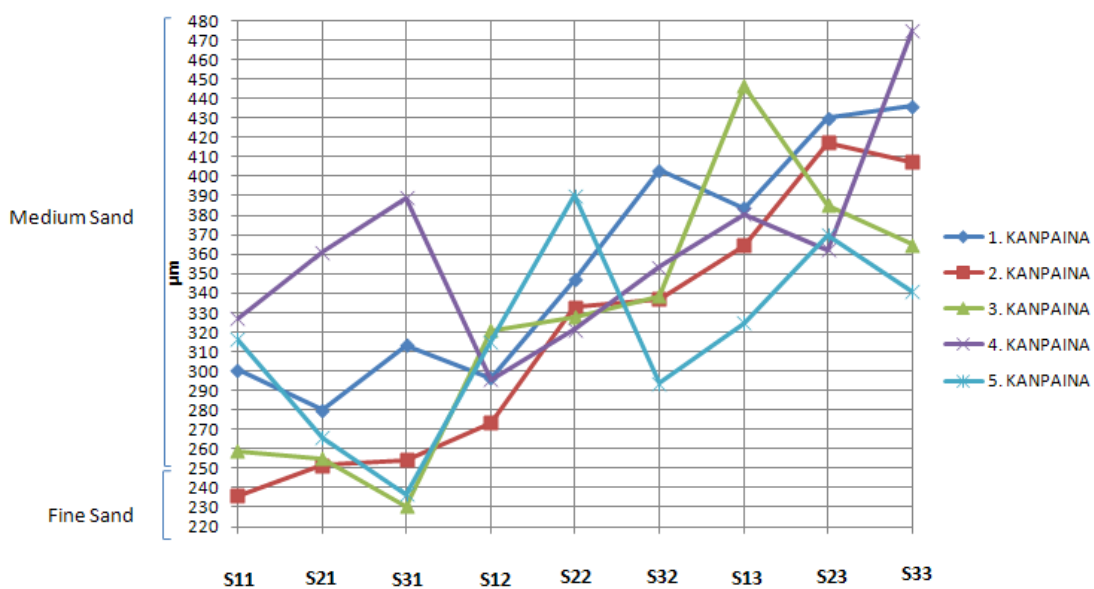
| | | FOLK AND WARD METHOD | | | | | | | | | | | |
|-------------|-----|-----------------------------|---------------------------|------------------------|---------------------------|------------------------|------------------------|-----------------------------|---------------|-------------|------------------------|---------------|--------------|
| | | GEOMETRIC (μm) | | LOGARITHMIC (ϕ) | | | | | DESCRIPTION | | | | |
| | | SAMPLE TYPE | MEDIAN (D ₅₀) | MEAN (M _z) | MEDIAN (D ₅₀) | MEAN (M _z) | SORTING (σ_1) | SKEWNESS (SK ₁) | KURTOSIS (KG) | MEAN | SORTING | SKEWNESS | KURTOSIS |
| 1. KANPAINA | S11 | SF-W Unimodal | 2917 | 300,7 | 1,777 | 1,734 | 0,640 | -0,123 | 1,201 | Medium Sand | Moderately Well Sorted | Coarse Skewed | Lepto kurtic |
| | S21 | SF-C Unimodal | 276,7 | 279,9 | 1,853 | 1,837 | 0,535 | -0,065 | 1,163 | Medium Sand | Moderately Well Sorted | Symmetrical | Lepto kurtic |
| | S31 | SF-E Unimodal | 307,5 | 313,2 | 1,702 | 1,675 | 0,609 | -0,090 | 1,217 | Medium Sand | Moderately Well Sorted | Symmetrical | Lepto kurtic |
| | S12 | FS-W Unimodal | 3015 | 296,5 | 1,730 | 1,754 | 0,456 | 0,101 | 1,144 | Medium Sand | Well Sorted | Fine Skewed | Lepto kurtic |
| | S22 | FS-C Unimodal | 337,6 | 347,0 | 1,567 | 1,527 | 0,581 | -0,125 | 1,113 | Medium Sand | Moderately Well Sorted | Coarse Skewed | Lepto kurtic |
| | S32 | FS-E Unimodal | 382,7 | 403,0 | 1,386 | 1,311 | 0,614 | -0,184 | 0,976 | Medium Sand | Moderately Well Sorted | Coarse Skewed | Mesokurtic |
| | S13 | BS-W Unimodal | 363,4 | 383,5 | 1,461 | 1,383 | 0,615 | -0,172 | 1,050 | Medium Sand | Moderately Well Sorted | Coarse Skewed | Mesokurtic |
| | S23 | BS-C Bimodal | 407,7 | 430,0 | 1,294 | 1,218 | 0,714 | -0,213 | 1,043 | Medium Sand | Moderately Sorted | Coarse Skewed | Mesokurtic |
| | S33 | BS-E Unimodal | 423,4 | 436,1 | 1,240 | 1,240 | 0,657 | -0,128 | 0,937 | Medium Sand | Moderately Well Sorted | Coarse Skewed | Mesokurtic |
| 2. KANPAINA | S11 | SF-W Unimodal | 232,8 | 235,9 | 2,103 | 2,084 | 0,598 | -0,096 | 0,893 | Fine Sand | Moderately Well Sorted | Symmetrical | Platykurtic |
| | S21 | SF-C Unimodal | 247,9 | 251,5 | 2,012 | 1,991 | 0,655 | -0,127 | 1,025 | Medium Sand | Moderately Well Sorted | Coarse Skewed | Mesokurtic |
| | S31 | SF-E Unimodal | 250,4 | 254,3 | 1,998 | 1,975 | 0,659 | -0,141 | 1,099 | Medium Sand | Moderately Well Sorted | Coarse Skewed | Mesokurtic |
| | S12 | FS-W Unimodal | 272,9 | 273,3 | 1,874 | 1,871 | 0,424 | 0,112 | 0,966 | Medium Sand | Well Sorted | Fine Skewed | Mesokurtic |
| | S22 | FS-C Unimodal | 327,3 | 332,9 | 1,612 | 1,587 | 0,504 | -0,137 | 1,137 | Medium Sand | Moderately Well Sorted | Coarse Skewed | Lepto kurtic |
| | S32 | FS-E Unimodal | 330,7 | 336,8 | 1,597 | 1,570 | 0,549 | -0,127 | 1,078 | Medium Sand | Moderately Well Sorted | Coarse Skewed | Mesokurtic |
| | S13 | BS-W Unimodal | 347,6 | 364,4 | 1,525 | 1,456 | 0,661 | -0,116 | 1,092 | Medium Sand | Moderately Well Sorted | Coarse Skewed | Mesokurtic |
| | S23 | BS-C Bimodal | 392,1 | 417,2 | 1,351 | 1,261 | 0,734 | -0,195 | 0,970 | Medium Sand | Moderately Sorted | Coarse Skewed | Mesokurtic |
| | S33 | BS-E Bimodal | 385,5 | 407,5 | 1,375 | 1,295 | 0,678 | -0,273 | 1,197 | Medium Sand | Moderately Well Sorted | Coarse Skewed | Lepto kurtic |
| 3. KANPAINA | S11 | SF-W Unimodal | 260,5 | 258,7 | 1,940 | 1,950 | 0,609 | -0,044 | 1,094 | Medium Sand | Moderately Well Sorted | Symmetrical | Mesokurtic |
| | S21 | SF-C Unimodal | 255,5 | 255,1 | 1,969 | 1,971 | 0,561 | -0,010 | 1,011 | Medium Sand | Moderately Well Sorted | Symmetrical | Mesokurtic |
| | S31 | SF-E Unimodal | 227,4 | 230,5 | 2,136 | 2,117 | 0,517 | -0,051 | 0,934 | Fine Sand | Moderately Well Sorted | Symmetrical | Mesokurtic |
| | S12 | FS-W Unimodal | 318,2 | 320,7 | 1,652 | 1,641 | 0,494 | -0,088 | 1,195 | Medium Sand | Well Sorted | Symmetrical | Lepto kurtic |
| | S22 | FS-C Unimodal | 323,2 | 327,6 | 1,629 | 1,610 | 0,499 | -0,128 | 1,159 | Medium Sand | Well Sorted | Coarse Skewed | Lepto kurtic |
| | S32 | FS-E Unimodal | 329,3 | 338,5 | 1,602 | 1,563 | 0,509 | -0,177 | 1,171 | Medium Sand | Moderately Well Sorted | Coarse Skewed | Lepto kurtic |
| | S13 | BS-W Bimodal | 429,2 | 446,3 | 1,220 | 1,164 | 0,753 | -0,131 | 0,952 | Medium Sand | Moderately Sorted | Coarse Skewed | Mesokurtic |
| | S23 | BS-C Unimodal | 365,5 | 385,0 | 1,452 | 1,377 | 0,589 | -0,178 | 1,018 | Medium Sand | Moderately Well Sorted | Coarse Skewed | Mesokurtic |
| | S33 | BS-E Bimodal | 343,9 | 364,8 | 1,540 | 1,455 | 0,663 | -0,234 | 1,164 | Medium Sand | Moderately Well Sorted | Coarse Skewed | Lepto kurtic |
| 4. KANPAINA | S11 | SF-W Unimodal | 324,0 | 327,1 | 1,626 | 1,612 | 0,560 | -0,061 | 1,210 | Medium Sand | Moderately Well Sorted | Symmetrical | Lepto kurtic |
| | S21 | SF-C Bimodal | 3214 | 3611 | 1,637 | 1,470 | 0,913 | -0,260 | 0,990 | Medium Sand | Moderately Sorted | Coarse Skewed | Mesokurtic |
| | S31 | SF-E Bimodal | 347,1 | 389,0 | 1,527 | 1,362 | 0,955 | -0,235 | 0,915 | Medium Sand | Moderately Sorted | Coarse Skewed | Mesokurtic |
| | S12 | FS-W Unimodal | 299,8 | 295,5 | 1,738 | 1,759 | 0,434 | 0,090 | 1,090 | Medium Sand | Well Sorted | Symmetrical | Mesokurtic |
| | S22 | FS-C Unimodal | 319,1 | 3214 | 1,648 | 1,637 | 0,414 | -0,066 | 1,075 | Medium Sand | Well Sorted | Symmetrical | Mesokurtic |
| | S32 | FS-E Unimodal | 348,3 | 353,3 | 1,522 | 1,501 | 0,492 | -0,111 | 1,056 | Medium Sand | Well Sorted | Coarse Skewed | Mesokurtic |
| | S13 | BS-W Unimodal | 353,7 | 380,7 | 1,499 | 1,393 | 0,709 | -0,230 | 1,165 | Medium Sand | Moderately Sorted | Coarse Skewed | Lepto kurtic |
| | S23 | BS-C Unimodal | 344,8 | 362,4 | 1,536 | 1,464 | 0,641 | -0,167 | 1,130 | Medium Sand | Moderately Well Sorted | Coarse Skewed | Lepto kurtic |
| | S33 | BS-E Bimodal | 436,9 | 475,1 | 1,195 | 1,074 | 0,807 | -0,228 | 0,919 | Medium Sand | Moderately Sorted | Coarse Skewed | Mesokurtic |
| 5. KANPAINA | S11 | SF-W Bimodal | 3012 | 316,4 | 1,731 | 1,660 | 0,738 | -0,166 | 1,147 | Medium Sand | Moderately Sorted | Coarse Skewed | Lepto kurtic |
| | S21 | SF-C Bimodal | 248,0 | 265,9 | 2,012 | 1,911 | 0,749 | -0,287 | 1,274 | Medium Sand | Moderately Sorted | Coarse Skewed | Lepto kurtic |
| | S31 | SF-E Unimodal | 232,7 | 236,8 | 2,103 | 2,078 | 0,594 | -0,108 | 0,935 | Fine Sand | Moderately Well Sorted | Coarse Skewed | Mesokurtic |
| | S12 | FS-W Unimodal | 302,5 | 315,3 | 1,725 | 1,665 | 0,655 | -0,156 | 1,208 | Medium Sand | Moderately Well Sorted | Coarse Skewed | Lepto kurtic |
| | S22 | FS-C Unimodal | 358,9 | 390,2 | 1,478 | 1,358 | 0,681 | -0,286 | 1,039 | Medium Sand | Moderately Well Sorted | Coarse Skewed | Mesokurtic |
| | S32 | FS-E Unimodal | 285,2 | 293,7 | 1,810 | 1,768 | 0,601 | -0,149 | 1,240 | Medium Sand | Moderately Well Sorted | Coarse Skewed | Lepto kurtic |
| | S13 | BS-W Unimodal | 3219 | 324,9 | 1,635 | 1,622 | 0,487 | -0,061 | 1,234 | Medium Sand | Well Sorted | Symmetrical | Lepto kurtic |
| | S23 | BS-C Unimodal | 358,7 | 369,7 | 1,479 | 1,436 | 0,524 | -0,152 | 1,052 | Medium Sand | Moderately Well Sorted | Coarse Skewed | Mesokurtic |
| | S33 | BS-E Unimodal | 333,7 | 340,9 | 1,583 | 1,553 | 0,485 | -0,136 | 1,150 | Medium Sand | Well Sorted | Coarse Skewed | Lepto kurtic |

Taula 27. Santiago hondartzaren ezaugarri sedimentologikoak [2013/11/02 – 2014/05/16]

Sedimentu mota:

Bataz besteko balioak 230,5 eta 475,1 μm artean daude, sedimentu fina eta ertainaren artean hain zuen. %93-a tamaina ertainekoa da eta %7-a berriz fina, bataz besteko balio orokorra 335,8 μm -koa (tamaina ertaineko hondarra) delarik.

Hondartzaren zentroan, eremu infralitoralaren goi ertzean (shoreface) aurkitzen da sedimenturik finena (S_{21} : 282,7 μm), ekialderantz balioa (S_{31} : 284,76 μm) zertxobait handitzen da eta mendebalderantz berriz differentzia nabariagoa da (S_{11} : 287,76 μm). Hondartzan gorantz joan ala, bataz besteko balioaren gorakada nabarmena ematen da. Eremu mesolitoralean (foreshore), mendebaletik ekialderantz sedimentuaren tamaina handiagoa (S_{12} : 300,26 μm , S_{22} : 343,82 μm eta S_{32} : 345,06 μm) da eta eremu supalitoralean (backshore) ere, tendentzia berdina erakusten dute balioek (S_{13} : 379,96 μm , S_{23} : 392,86 μm eta S_{33} : 404,88 μm).

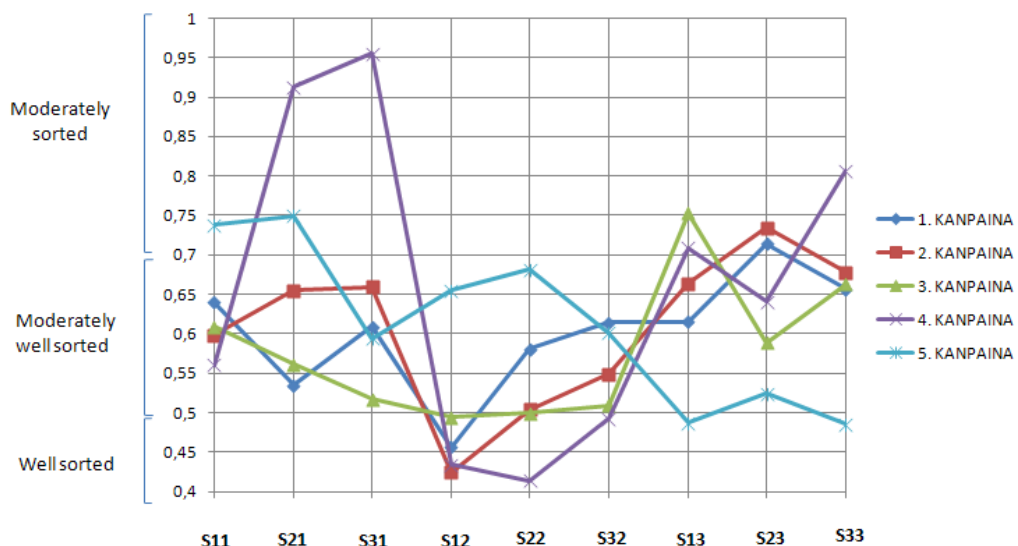


Grafikoa 78. Bataz besteko sedimentu balioak (Santiago)

Hautespene (sorting):

Hautespene ona (σ : 0,414) eta moderatuaren (σ : 0,955) arteko balioak erakusten dituzte laginek. Sedimentuen %60 moderatuki ondo hautatua dago, %20-a ondo eta beste %20-ak hautespen moderatua erakusten dute.

Bataz besteko baliorik onenak eremu mesolitoralean (foreshore) jaso dira (σ_{11} : 0,493; σ_{22} : 0,536 eta σ_{33} : 0,553) eta beste bi eremuetan (shoreface eta backshore) balioak (σ_{11} : 0,629; σ_{21} : 0,683; σ_{31} : 0,667; σ_{13} : 0,646; σ_{23} : 0,640 eta σ_{33} : 0,658) nabarmen okertzen dira. Ondorioz, olatuen energia handiagoa izan da eremu mesolitoralean (foreshore), eremu infralitoralaren goi ertzean (shoreface) baino.

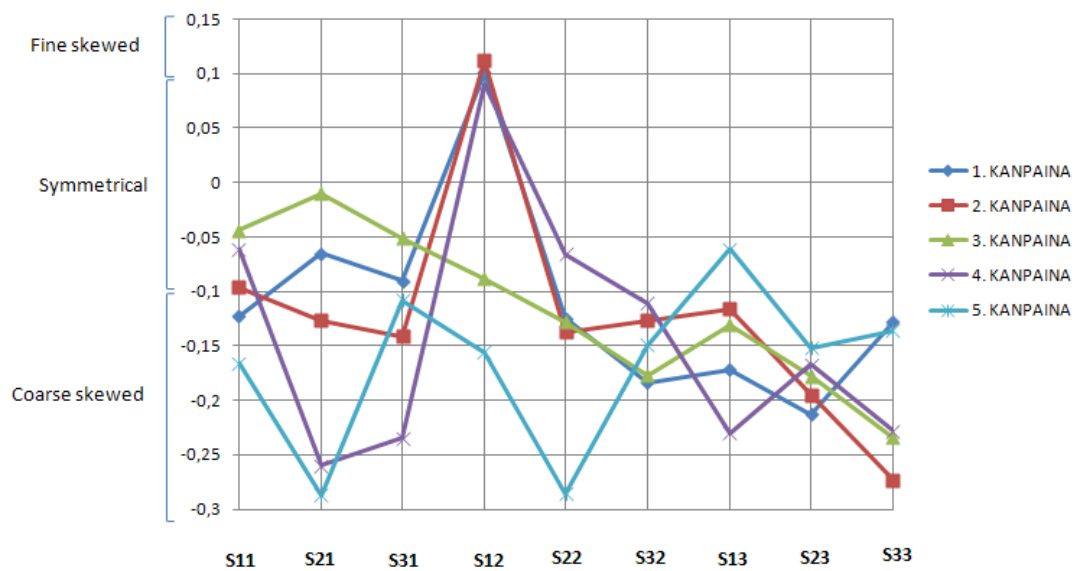


Grafikoa 79. Hautespen balioak (Santiago)

Alborapena (skewness):

Laginen %71-ak alborapen negatiboa erakusten dute, %24,5 simetriko eta %4,5 positiboa. Bataz besteko balioa SK: -0,131 –koa da, alborapen negatiboa; orokorrean bataz besteko olatuen edo haizearen energia balio normalak baino handiagoa izan den seinale.

Eremu supalitoralean jaso dira balio negatibo handienak (SK_{13} : -0,142; SK_{23} : -0,181 eta SK_{33} : -0,200). Beste bi eremuetan balioak antzerakoan izan dira; eremu mesolitoralean (foreshore), balioa (SK_{12} : 0,012; SK_{22} : -0,148 eta SK_{32} : -0,150) ekialderantz joan ala handitu egiten da eta eremu infralitoralaren goi ertzean (shoreface) berriz, zentroan ertzetan baino balio txikiagoa da (SK_{11} : -0,098; SK_{21} : -0,150 eta SK_{31} : -0,125).

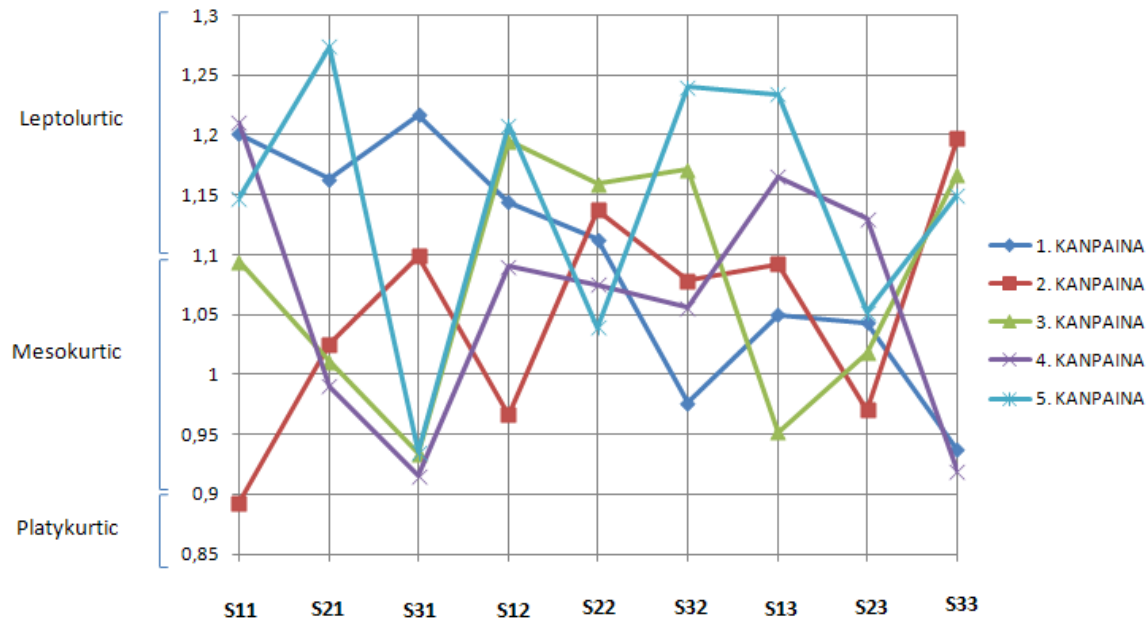


Grafikoa 80. Alborapen balioen joera (Santiago)

Kurtosia (kurtosis):

Laginen %2 platikurtikoa da, %45 leptokurtikoa eta %53 mesokurtikoa, bataz besteko orokorra KG: 1,085 (mesokurtikoa, ia leptokurtikoa) delarik; itsasoaren edo haizearen indar zinetikoa konstante izan denaren seinale da.

Eremu infralitoralaren goi ertzean (shoreface) zein mesolitoralean (foreshore), hondartzaren mendebaldean izan da indarra konstateen (KG_{11} : 1,109 eta KG_{12} : 1,121), ekialderantz joan ala balioak txikitzen (KG_{21} : 1,093; KG_{31} : 1,020; KG_{22} : 1,105 eta KG_{32} : 1,104) direlarik. Eremu supalitoralean berri, eremu osoan antzerako balioak jaso dira, zentroan balioa (KG_{23} : 1,043) txikiagoa delarik ertzetan (KG_{13} : 1,099 eta KG_{33} : 1,074) baino.



Grafikoa 81. Kurtosi balioen joera (Santiago)

9. Emaitzaren analisia

Zumaiako hondartzen azterketa morfotopografiko eta granulometrikoak orotara zazpi hilabeteko iraupena izan du. Zazpi hilabetetan bost neurketa topografiko eta bost egunetako hondar lagenak bildu izan dira hondartzaren bakoitzean. Hain zure ere, 2013ko azaroan hasi eta 2014ko maiatzean amaitu ziren kanpo lanak.

Bitarte horretan, itsasoak gogor kolpatu izan du Zumaiako kosta, azken urtetako itsasaldi gogorrenetakoak ikusteko aukera egon da eta horrek izan duen eragina begi bistazkoa izan da.

Azaroaren hasieran itsasoaren lehen mugimendua ziren, 3-6 metro bitarteko olatuek kolpatu zuten kosta eta itsasoaren aldaketa hori aurreikusiz, azaroko lehen bi egunetan hondartzen altxaketa topografikoa zein lagenen bilketa burutu zen. Kanpo lan egunean, 2,5-3 metro arteko olatuak izan ziren ipar-mendebaldeko norabidean eta haizeak 14,3-21,1 km/h bataz besteko abiadura izan zuen ipar-norabidean.

Ondorengo egunetan itsasoa baretu egin zen, haizeak 6,6-41,1 km/h bataz besteko abiadura izan zuen, ipar-norabidea nagusitu zelarik eta euri egunak dezente izan ziren, orotara 22 egun. Abenduan sartzean, ekialdeko haizea nagusitu zen, 7,4-17,5 km/h arteko abiaduran, ateri mantendu ziren lehen egunak eta olatuak (0,5-1,5 m artean) txikiak izan ziren. Barealdi hori aprobetxatuz, abenduaren 7 eta 8an bigarren aldiz hondartzen neurketa egin eta lagenak bildu ziren.

Urtearen amaierarekin batera, bigarren denboralea izan genuen, haizearen abiadura (14,9-41,8 km/h) indartu egin zen, hego-norabidea hartuz eta olatuak 4,5-5 metro arteko altuerara iritsi ziren. Urtarrileko lehen hamabostaldian ere egoera antzerakoa mantendu zen, hego-norabideko haizeak jarraitu zuen 7,1-31,9 km/h abiaduran eta 5 metro arteko olatuak altxatu ziren. Denboraleak eragindako aldaketak ikusteko urtarrilaren 17 eta 18an hirugarrengoa aldiz kanpo lana buru zen.

Bigarren hamabostaldian euriak ez zuen etenik izan eta egunetan barealdi txiki bat egon bazeen ere, urtarrilaren 28an olatuak indartu (4,5-6 m) egin ziren, hego-mendebaldeko haizea nagusituz 14,9-31,2 km/h arteko abiadurekin.

Hala eta guztiz, otsaileko denboralea (otsailak 2-9 bitartean) izan zen gogorrena, 9 metro arteko olatuak eta 10-32,6 km/h abiadura izan bazuen haizeak bataz beste, 123,1 km/h haize ufadak ere jaso zirelarik; hondartzetan hondar mugimendua handiak sortarazteaz gain, hainbat kalte sortu zituen. Hori horrela, denborale ostean laginak jaso (otsailaren 21an) eta laugarren neurketa (otsailak 16 eta 17) burutu zen.

Hasierako egun horiek kenduta, otsaila bare joan zen, olatuak txikitu egin ziren, eta haizeak hego, hego-mendebaldeko norabidean nagusi izaten jarraitu bazuen ere abiadura motelagoa izan zuen.

Otsaileko barealdi horrek, denboraleen amaiera ematen bazuen ere, neguko azken denboralea martxoaren 4an izan zen; 5-9 metroko olatuak altxatu ziren eta ipar-mendebaleko haizeak bataz beste 28,5 km/h abiadura izan zuen, tarteren batean 99,8 km/h abiadurara iritsi zelarik.

Hortik aurrera, maiatza bitartean, itsasoa bare mantendu zen (olatuen altuera maximoa 3,5 m), haizeak norabide aldakorra izan zuen eta euria egun dezentetan egin zuen (apirilean 15 egunetan eta maiatzean 7 egunetan, neurketa egun bitartean). Hori horrela, ekaitzen ondorengo barealdiak hondartzetan izandako joera aztertzeko maiatzaren 14 eta 15an, bosgarren eta azken altxaketa topografikoa burutu zen eta maiatzaren 16an laginak jaso ziren.

ITZURUN

Azidotik urtarrilera hondar galera egon da hondartzan eta urtarriletik maiatzera hondarra pilatu dela ikus daiteke beheko taulan erreparatuz gero. Aipatzeko ordea, hirugarren eta laugarren kanpainetan lortutako datuak. Datuen arabera, orokorki hondar pilaketa handiagoa izan da hondar galera baino urtarriletik otsaila bitartean, baina eranskinetako planoak eta argazkiak erreparatuz gero, hondartzaren mendebaldean haitzak ageri direla ikusten da. Hori dela eta, bertako egoera ikusirik (sakonera dezenteko putzua) hondartzaren eremu horretan ezin izan zen neurketarik egin eta ondorioz zati horretako hondar galera kalkulatzea ez da posible izan.

| | | HONDAR LUBETA BOLUMENA (m ³) | HONDAR LURERAUZKETA BOLUMENA (m ³) |
|-------------|-------------|--|--|
| 1. KANPAINA | 2. KANPAINA | | |
| 2013/11/01 | 2013/12/08 | 1970,825 | 4777,038 |
| 2. KANPAINA | 3. KANPAINA | | |
| 2013/12/08 | 2014/01/17 | 21,535 | 7655,581 |
| 3. KANPAINA | 4. KANPAINA | | |
| 2014/01/17 | 2014/02/16 | 1844,107 | 971,048 |
| 4. KANPAINA | 5. KANPAINA | | |
| 2014/02/16 | 2014/05/15 | 2237,238 | 325,596 |

Taula 28. Itzurun hondartzako hondar bolumen diferentziak (bolumen kalkuluan, laukien tamaina 1 m)

SHOREFACE

Lehen kanpainatik bigarrenetara hondartzaren erdi eta ekialdean eman zen hondar higadura, 0-0,60 m artean eta mendebaldean 0-0,40 m arteko metaketa atzman zen. Hautespen balioa (σ_{11} : 0,564) berdin mantendu zen mendebaldean eta beste bi eremuetan apur bat okertu zen (desberdintasuna lehen kanpainatik bigarrenetara, σ_{21} : 0,055; σ_{31} : 0,054). Sedimentuen bataz besteko balioak ere handitu (desberdintasuna, l_{11} : 6,4 μ m, l_{21} : 35,9 μ m eta l_{31} : 13 μ m) egin ziren lehen laginetatik bigarrenetara.

Bigarren kanpainatik hirugarrenetara, hondartzaren behealde guztian eraman zuen hondarra itsasoak, ekialdean haitzak agerian geratu ziren eta mendebalean berriz 0,60-0,80 m arteko hondar galera egon zen. Olatuen energia altuagoa izan zen, hautespen balioak (bigarren kanpainatik hirugarrenetara emandako hobekuntza, σ_{11} : -0,081; σ_{21} : -0,096; σ_{31} : -0,110) hobetu egin baitziren eta hondarraren bataz besteko balioa handitu (desberdintasuna, l_{11} : 27 μ m, l_{21} : 32 μ m eta l_{31} : 20 μ m).

Urtarrila otsaila bitartean, aldaketa nabarmena mendebaldean atzman zen; otsailaren hasieran izandako denboraleak, hondar guztia eraman zuen haitz plataforma agerian utziz. Zentroan gorabehera txikiko hondar mugimendua (-0,20 – 0,20 m artean) egon zen eta ekialdean 0,20 - 0,60 m artean metatu zen hondarra. Hautespen balioak hobetu (desberdintasuna, σ_{11} : -0,049; σ_{21} : -0,049; σ_{31} : -0,037) egin ziren, bataz besteko tamaina mendebaldean handitu (desberdintasuna, l_{11} : 2,1 μ m) egin zen eta zentroan eta ekialdean berriz txikitu (desberdintasuna, l_{21} : -14,6 μ m eta l_{31} : -0,2 μ m).

Otsaila maiatza bitartean aldaketa hondartzaren ekialdean eman da, 0,40 – 0,60 m artean hondarra pilatuz. Erdialdean eta mendebalean berriz, ia ez da aldaketarik atzeman, -0,20 – 0,20 m arteko gorabeherak egon dira. Hautespen balioak okertu (desberdintasuna, σ_{11} : 0,027; σ_{21} : 0,111; σ_{31} : 0,053) egin dira, mendebalean bataz besteko balioa txikitu (desberdintasuna, I_{11} : -6,4 μm) eta erdialdean eta ekialdean handitu (desberdintasuna, I_{21} : 41,5 μm eta I_{31} : 18,7 μm) egin direlarik.

FORESHORE

Azazotik abendura bitartean, mendebaldean 0,20 – 0,40 m artean metatu zen hondarra; zentroan eta ekialdean berriz, 0 - 0,40 m arteko higadura eman zen. Hori horrela, hautespen balioa okertu (desberdintasuna, σ_{12} : 0,062) egin zen mendebaldean, eta erdialdean zein ekialdean hobetu (desberdintasuna, σ_{22} : -0,079 eta σ_{32} : -0,085). Sedimentuaren bataz besteko balioak berriz handitu (desberdintasuna, I_{12} : 68 μm , I_{22} : 55,6 μm eta I_{32} : 51,4 μm) egin ziren eremu osoan.

Abendutik urtarrilera, hondar higadura eman zen eremu osoan; mendebaldean eta ekialdean 0,40 – 0,60 m arteko desberdintasuna egon zen (ekialdean haitzak bistaratzen) eta zentroan berriz 0,20 – 0,60 m bitarteko. Ertzeten apena atzeman zen hautespen balioen (desberdintasuna, σ_{12} : -0,003 eta σ_{32} : 0,008) aldaketa, baina zetroan (desberdintasuna, σ_{22} : 0,085) aldea nabariagoa izan zen. Bestalde, alboetako bataz besteko balioak handitu (desberdintasuna, I_{12} : 9 μm eta I_{32} : 1,6 μm) egin ziren eta zentroan txikitu (desberdintasuna, I_{22} : -70,3 μm).

Urtarriletik otsailera, mendebaldean haitzak agerian geratu ziren, zentroan hondar higadura txikia (0 -20 m artean) atzeman zen eta ekialdean berriz, 0 – 80 m arteko hondar metaketa eman zen. Bataz besteko balioak handitu egin ziren zentroan nahiz ekialdean (desberdintasuna, I_{22} : 51,3 μm eta I_{32} : 0,8 μm) eta mendebaldean berriz txikitu (desberdintasuna, I_{12} : -41 μm). Hautespen balioei dagokienean, eremu osoan hobetu ziren balioak (desberdintasuna, σ_{12} : -0,104; σ_{22} : -0,105 eta σ_{32} : -0,019).

Otsailetik maiatzera, geroz eta gehiago (0,20 – 0,60 m artean) pilatu zen hondarra mendebaldean, zentroan mugimendu txikia (-0,20 – 0,20 m artean)

atzeman zen eta ekialdean oraindik haitzak agerian bazeuden ere, hondar apur bat ($0 - 0,20$ m artean) berreskuratu zen. Hori horrela, bataz besteko balioak mendebaldean zein zentroak handitu (desberdintasuna, l_{12} : $34,2 \mu\text{m}$ eta l_{22} : $15,4 \mu\text{m}$) egin ziren eta ekialdean berriz txikitu (desberdintasuna, l_{32} : $-31,7 \mu\text{m}$). Hautespen balioaren aldaketa nabarmenena berriz mendebaldean atzman zen (desberdintasuna, σ_{12} : $0,068$), eta beste bi eremuetan pixka bat hobetu ziren (desberdintasuna, σ_{22} : $-0,022$ eta σ_{32} : $-0,004$).

BACKSHORE

Eremu osoan hondar higadura ($0 - 0,80$ m artean) eman zen azarotik abendura bitartean, mendebaldetik ekialderantz joan ala desberdintasuna handiagoa zelarik. Bataz besteko balioa handitu (desberdintasuna, l_{13} : $12,4 \mu\text{m}$) egin zen mendebaldean, eta beste bi eremuetan txikitu (desberdintasuna, l_{23} : $-51,4 \mu\text{m}$ eta l_{33} : $-70,5 \mu\text{m}$). Hori horrela, hautespen balioa hobetu (desberdintasuna, σ_{13} : $-0,052$) egin zen mendebaldean eta beste bi eremuetan okertu (desberdintasuna, σ_{23} : $0,100$ eta σ_{33} : $0,155$).

Abendutik urtarriilerako bitartean ere hondar higadura ($0,20 - 0,80$ m artean) eman zen eremu osoan, eta ekialdean haitzak bistaratu ziren. Higadura horrek, sedimentuaren bataz besteko balioa handiagoa (desberdintasuna, l_{13} : $12 \mu\text{m}$, l_{23} : $33,9 \mu\text{m}$ eta l_{33} : $66,3 \mu\text{m}$) izatera bultzatu zuen eta hautespen balioak hobetu (desberdintasuna, σ_{13} : $-0,003$; σ_{23} : $-0,056$ eta σ_{33} : $-0,189$) ziren.

Urtarriletik otsailera, ekialdean $0 - 0,80$ m artean metatu zen hondarra, zentroan mugimendu txikia ($-0,20 - 0,20$ m artean) atzman zen eta ekialdean eremu txiki batean $0,20 - 0,40$ m arteko hondar metaketa egon bazeen ere, orokorrean higadura ($0 - 0,20$ m artean) atzman zen; apenas zegoen hondarrik, harriak ziren nagusi. Bataz besteko balioak handitu (desberdintasuna, l_{13} : $69,8 \mu\text{m}$, l_{23} : $10,4 \mu\text{m}$ eta l_{33} : $21,3 \mu\text{m}$) egin ziren aurreko kanpainatik eta hautespen balioak okertu (desberdintasuna, σ_{13} : $0,073$; σ_{23} : $0,021$ eta σ_{33} : $0,044$).

Otsailetik maiatzera, mendebaldean hondar berreskurapenik ez zen atzman eta zentroan eta ekialdean $0,20 - 0,40$ m artean metatu zen. Hori horrela, sedimentuaren bataz besteko balioa handitu (desberdintasuna, l_{23} : $33,6 \mu\text{m}$) egin zen zentroan eta beste bi eremuetan txikitu (desberdintasuna, l_{13} : $-47,7 \mu\text{m}$).

μm eta $l_{33}: 5,2 \mu\text{m}$). Tarte horretan egoera barea izanik hautespen balioek orokorrean hobera egin zuten, ekialdean apur bat okertu zen arren (desberdintasuna, $\sigma_{13}: -0,087$; $\sigma_{23}: -0,041$ eta $\sigma_{33}: 0,010$).

SANTIAGO

Hondar lubeta eta lurerauzketa bolumenak tartekatuak izan dira hilabetez hilabete. Azarotik abendura, hondar mugimendu txikia atzeman zen beste kanpainekin alderatuta, baina orokorrean hondar mugimendu handiak atzeman dira neurketa batetik bestera. Urtarrila otsaila bitartean (otsailaren hasieran izandako denborale gogorra tarteko), kanpainaaldi guztiako hondar mugimendurik handiena atzeman zen. Itsasaldi gogorraz gain, otsailaren 2ko marea bizek ura hondartzaren goialderaino iristea ahalbidetu zuten (ikus, eranskinetako argazki bilduma), ia hondartza osoan hondar higadura eman zelarik.

| | | HONDAR LUBETA BOLUMENA (m ³) | HONDAR LURERAUZKETA BOLUMENA (m ³) |
|---------------------------|---------------------------|--|--|
| 1. KANPAINA | 2. KANPAINA 2013/11/02 | 527,186 | 6132,816 |
| 2. KANPAINA 2013/12/07 | 3. KANPAINA 2014/01/18 | 16545,536 | 2555,282 |
| 3. KANPAINA 2014/01/18 | 4. KANPAINA 2014/02/17 | 555,459 | 22308,191 |
| 4. KANPAINA 2014/02/17 | 5. KANPAINA 2014/05/14 | 16138,358 | 1530,110 |

Taula 29. Santiago hondartzako hondar bolumen diferentziak (bolumen kalkuluan, laukien tamaina 1m)

SHOREFACE

Mugimendu txikia atzeman zen azarotik abendura bitartean. Mendebaldean zein ekialdean $-0,20 - 0,40$ m arteko higadura eman zen eta ekialdean berriz, $-0,20 - 0,20$ m arteko mugimenduak atzeman ziren. Sedimentuen bataz besteko tamaina eremu osoan txikitu zen, batez ere bi ertzetan (kanpaina batetik besterako desberdintasuna, $S_{11}: -64,8 \mu\text{m}$, $S_{21}: -28,4 \mu\text{m}$ eta $S_{31}: -58,9 \mu\text{m}$) eta hautespen balioetan aldaketarik handiena zentroan eman zen, (kanpaina batetik bestera desberdintasuna, $\sigma_{11}: -0,042$; $\sigma_{21}: 0,120$ eta $\sigma_{31}: 0,050$).

Abendu urtarrila bitartean, hondar metaketa handia eman zen. Mendebaldean ia 3 m arteko pilaketak atzeman ziren eta zentroan zein ekialdean 2,50 metrora arte metatu zen. Metaketa horren ondorioz, mendebaldean eta zentroan bataz besteko balioak handitu baziren ere, ekialdean txikitu egin zen (desberdintasuna, S₁₁: 22,8 µm, S₂₁: 3,6 µm eta S₃₁: -23,8 µm), hautespen balioak ia eremu osoan hobetu zirelarik (desberdintasuna, σ₁₁: 0,011; σ₂₁: -0,094 eta σ₃₁: -0,142).

Urtarriletik otsailera berriz, ekaitzaldi gogorrak aurreko hilabetean metatutako hondarra eraman egin zuen; 2,50 m arteko hondar higadura eman zen eremu osoan. Itsasoak, tamaina fineko hondarra eraman eta lodia geratu zen hondartzan, bataz besteko balioak asko handitu zirelarik (desberdintasuna, S₁₁: 68,4 µm, S₂₁: 106 µm eta S₃₁: 158,5 µm). Hautespen balioetan ere atzeman zen aldaketa, moderatuki ondo hautatuak egotetik hautespen moderatua izatera pasa baitziren zentroan eta ekialdean (desberdintasuna, σ₁₁: -0,049; σ₂₁: 0,352 eta σ₃₁: 0,438).

Otsailetik maiatzera bitarteko barealdian (tartean martxoaren hasierako denboralea), hondartzaren zentrotik mendebalderantz hondar lurerauzketa (0 – 0,60 m artean) eman zen eta ekialderantz berriz hondarra metatu (0 – 1,00 m artean) zen. Hori horrela, sedimentuaren bataz besteko balioak txikitu (desberdintasuna, S₁₁: -10,7 µm, S₂₁: -95,2 µm eta S₃₁: -152,2 µm) egin ziren, zentrotik ekialderantz batez ere, hautespen balioak ere hobetu egin zirelarik eremu horietan (desberdintasuna, σ₁₁: 0,178; σ₂₁: -0,164 eta σ₃₁: -0,361).

FORESHORE

Eremu osoan eman zen hondar lurerauzketa azaro abendu bitartean. Zentroan atzeman zen higadura handiena (0,40 – 1,00 m artean), ekialdean ondoren (0,20 – 0,80 m artean) eta mendebaldean azkenik (0,20 – 0,60 m artean). Hautespen balioak asko aldatu ez baziren ere, hobetu egin ziren eremu osoan (desberdintasuna, σ₁₂: -0,032; σ₂₂: -0,077 eta σ₃₂: -0,065) eta bataz besteko balioak txikitu (desberdintasuna, S₁₂: -23,2 µm, S₂₂: -14,1 µm eta S₃₂: -66,2 µm) egin ziren.

Abendu urtarrila bitartean emandako hondar lubeta batez ere, zentroan eta ekialdean atzeman zen (metaketa, 0 – 0,60 m artean) eta mendebaldean -0,40 – 0,20 m arteko gorabeherak eman ziren. Mendebaldean emandako hondar higadura horrek, bertako sedimentuaren bataz besteko balioa handitu egin zuen eta beste bi eremuetan berriz aldaketa txikia atzeman zen (desberdintasuna, S_{12} : 47,4 μm , S_{22} : -5,3 μm eta S_{32} : 1,7 μm). Hautespen balioetan ia ez zen aldaketarik atzeman, (desberdintasuna, σ_{12} : 0,07; σ_{22} : -0,005 eta σ_{32} : -0,04), laginiak moderatuki ondo edo ondo hautatuen aranean sailkatuak zeuden.

Urtarriletik otsailera, hondar higadura nabarmena eman zen eremu osoan. Tarte horretan izandako ekaitzaldiek, zentroan eta ekialdean 1,50 m artean eraman zuten hondarra eta mendebaldean berriz metro bete aranean. Bataz besteko balioak txikitu egin ziren zentroan eta mendebaldean eta ekialdean berriz handitu (desberdintasuna, S_{12} : -25,2 μm , S_{22} : -6,2 μm eta S_{32} : 14,8 μm). Hautespen balioak hobetu (hautespen ona) egin ziren, itsas energia handiagoa izan zenaren seinale (desberdintasuna, σ_{12} : -0,06; σ_{22} : -0,085 eta σ_{32} : -0,017).

Hondar lurerauzketa handia eman bazen ere urtarrila otsaila aranean, maiatza bitartean berreskuratu egin zen berriz ere. Mendebaldetik ekialderantz joan ala, metaketa handiagoa atzeman zen; mendebaldean 0,40 – 1,50 m artean metatu zen, eta zentroan eta ekialdean berriz, 0,60 – 2,00 m artean. Itsas energia txikiagoa izan zen, hautespen balioak okertu egin baitziren (desberdintasuna, σ_{12} : 0,221; σ_{22} : 0,267 eta σ_{32} : 0,109) eta bataz besteko balioetan ere atzeman zen aldaketa (desberdintasuna, S_{12} : 19,8 μm , S_{22} : 68,8 μm eta S_{32} : -59,6 μm).

BACKSHORE

Hondartzaren eremu honetan haizearen eraginak baldintzatzen du hondarraren mugimendua. Aipatzekoa ordea, ikerketa garaian izandako itsasaldi gogorrak; uneren batzuetan ura hondartzaren goialdera iritsi baizen (otsailaren 2ko itsasgoran esaterako).

Orokorrean mugimendu txikiak atzeman dira eremu honetan. Azarotik abendura bitartean, ipar-ekialdeko, hego-ekialdeko zein ekialdeko haizeak,

hondartzaren atzealdean pilatu (0 – 0,20 m artean) zuen hondarra, batez ere mendebaldean. Hori horrela, bataz besteko balioak txikitu egin ziren (desberdintasuna, S_{13} : -19,1 μm , S_{23} : -12,8 μm eta S_{33} : -28,6 μm) eta hautespen balioak okertu (desberdintasuna, σ_{13} : 0,049; σ_{23} : 0,020 eta σ_{33} : 0,021).

Abendutik urtarrilera, haize norabide aldaketak (hego, hego-ekialdea) hondarraren mugimendua aldarazi zuen. Hondarra, hondartzaren atzealdetik aurrerantz mugiaraziz (-0,20 – 0,20 m artean). Bataz besteko balioetan atzeman zen aldaketa, zentroan zein ekialdean balioak txikitu egin ziren eta mendebaldean berriz handitu (desberdintasuna, S_{13} : 81,9 μm , S_{23} : -32,2 μm eta S_{33} : -42,7 μm). Hori horrela, hautespen balioak hobetu egin ziren zentroan eta ekialdean, eta mendebaldean okertu (desberdintasuna, σ_{13} : 0,089; σ_{23} : -0,145 eta σ_{33} : -0,015).

Urtarrila otsaila bitartean, hego, hego-mendebaleko haizeak, hondarra aurrerantz eta ekialderantz (-0,20 – 0,20 m artean) mugiarazi zuen, hautespen balioa mendebaldean hobetu egin zelarik eta beste bi eremuetan okertu (desberdintasuna, σ_{13} : -0,044; σ_{23} : 0,052 eta σ_{33} : 0,144). Sedimentuen bataz besteko balioa berriz, asko handitu zen ekialdean eta beste eremuetan nabarmen txikitu zen (desberdintasuna, S_{13} : -65,6 μm , S_{23} : -22,6 μm eta S_{33} : 110 μm).

Otsailetik maiatzera, eremu osoan atzeman zen hondar metaketa (0 – 0,40 m artean). Hautespen balioak eremu osoan hobetu ziren, batez ere ekialdean (desberdintasuna, σ_{13} : -0,222; σ_{23} : -0,117 eta σ_{33} : -0,322) eta bataz besteko balioak ertzetan txikitu egin ziren (desberdintasuna, S_{13} : -55,8 μm , S_{23} : 7,3 μm eta S_{33} : -134,2 μm).

10. Ondorioak

Urteetan izan diren ekaitzaldi gogorrenetakoak egokitu izan dira zazpi hilabete iraun duen hondartzen azterketa morfotopografiko eta granulometrikoan. 2013ko azarotik hasi eta 2014ko maiatza bitartean denborale ezberdinek izandako eraginak aztertu dira bi hondartzetan. Horrez gain, denboraleen ostean hondartzek izan dute joera ere aztertu da.

ITZURUN

Herriaren mendebaldean kokatzen den eta itsas zabalera irekia dagoen hondartza honek bete-betean jasotzen ditu ipar-mendebaleko norabidean etortzen diren olatuak. Denborale gogorretan, itsasoak hondarra eramateko joera du, eremu osoan ematen delarik higadura. Ertzatan azaleratzen diren haitzak izaten dira askotan horren seinale.

Ekaitzaldien ondorengo barealdietan, hondarra pixkanaka pilatzen joaten da. Ekieldean zein zentroan hondar metaketa nahiko arin ematen da eta mendebaldean berriz, eremu hori babestuago egonik, gehiago kostatzen zaio egoera normalera iristea.

Tamaina ertaineko sedimentua nabarmentzen da hondartza osoan, jasotako laginen bataz besteko balioak $246,2 - 386,5 \mu\text{m}$ artean daude (sedimentu fina – ertia). Bestalde, hautespen balioak onak dira, laginen %20 hautespen oso ona izan dute, %64 ona eta %16 moderatuki ondo hautatua egon dira. Orokorean, eremu mesolitoralean (foreshore) jaso dira balio onenak eta kaxkarrenak berriz, eremu infralitoralaren goi ertzean (shoreface).

SANTIAGO

Parol muturraren eta dikearen luzapenek hondartzari babesia ematen diotela begi bistakoa da, eta orokorean ur lasaiak aurkituko ditugun arren bertako hondar mugimendua handia da.

Azterketa garaian bertako egoera tartekatuz joan da, denborale batzuetan hondarra pilatuz eta besteetan eramanez. Ekaitzaldi gogorretan (otsailekoa kasu), hondar higadura ematen bada ere, barealdian azkar berreskuratzen da galduakoa.

Eremu supalitoraleko sedimentuaren mugimendua haizeak baldintzatzen du eta bertan mugimendu txikiak (-0,20 – 0,20 m artean) ematen dira baina eremu infralitoralaren goi ertzean (shoreface) eta mesolitoralean (foreshore) itsasoak mugimendu handiak sortazten ditu (ia 3 metro arteko aldaketak jaso dira). Hori horrela, malda handia aurkitzen da hondartzaren goialdetik (backshore) beherantz (shoreface).

Bestalde, hondartza osoan tamaina ertaineko sedimentua nabarmentzen da, jasotako laginen bataz besteko balioak 230,5 eta 475,1 µm artean daude (sedimentu fina – ertaina). Hala eta guztiz, eremu batetik bestera sedimentu tamainaren aldaketa nabaria da. Eremu infralitoralaren goi ertzean (shoreface) aurkitzen da sedimenturik finena (Mz: 285,1 µm) eta hondartzan gorantz joan ala hondarraren tamaina loditzen da (shoreface Mz: 329,7 µm eta backshore Mz: 392,6 µm).

Azkenik, hondartza honen egoera aurreikusiz, dikeak babesten duen gunera arte hondartza hazten joango dela esan daiteke, urteetan zehar, denbora gutxian asko aurreratzen ari baita. Hori horrela, ibaiaren bokalean sedimentuaren pilaketa geroz eta arinago geratutako da eta ondorioz arazo bilakatu daiteke bertako egora.

11. Aurrekontua

| | Kodea | Formula - Iturria | Ingeniaria |
|-----------------------------------|------------|-------------------------|-----------------|
| Urteko soldata | us | Eraik Sold 2010 | 27423,89 |
| Hirurtekoa | h | | 0 |
| Hirurtekoaren saria | hs | 2008 Eraik Hitz. 28 art | 0,05 |
| Antzinatasuna | a | us*h*hs | 0 |
| Hitzarmen plusa | hp | | 2092,95 |
| KOTIZAGARI TOTALA | KT | us+a+hp | 29516,84 |
| Jan egunak | je | | 0 |
| Jatorduaren prezioa | jp | 2008 Eraik Hitz. 28 art | 10 |
| Desplazamendu egunak | de | | 0 |
| Desplazamendu prezioa | dp | 2008 Eraik Hitz. 28 art | 49 |
| Jatordua eta desplazamendua | jd | je*jp+de*dp | 0 |
| Segurua | se | | 350 |
| TOTAL EZ KOTIZAGARRIA | TEK | jd+se | 350 |
| Kontingentzia oinarria | ko | KT | 29516,84 |
| Kontingentzia tipo | kt | 2010 eskuliburua | 0,236 |
| Kontingentzia kuota | kk | ko*kt | 6965,97 |
| Istripu eta gaixotasun oinarria | igo | KT | 29516,84 |
| Istripu eta gaixotasun tipo | igt | 2010 eskuliburua | 0,067 |
| Istripu eta gaixotasun | ig | igo*igt | 1977,63 |
| Fogasa oinarria | fo | KT | 29516,84 |
| Fogasa tipo | ft | 2010 eskuliburua | 0,063 |
| Fogasa kotizazioa | fk | fo*ft | 1859,56 |
| SOLDATAREN KOTIZAZIOA | SK | kk+ig+fk | 10803,16 |
| KOSTE TOTALA | KoT | TK+TEK+SK | 40670,00 |
| Hitzarmen orduak | ho | | 1800 |
| Hutsegite eta baimendutako egunak | hb | | 6 |
| Ordu galduak | og | hb*8 | 48 |
| Aparteko orduak | ao | | 0 |
| Aparteko ordu konpentsatuak | aok | ao*1.75 | 0 |
| LAN ORDUAK | LO | ho-og+ao-aok | 1752 |
| ORDUKO KOSTUA (€/h) | OK | KoT/LO | 23,21 |

Taula 30. Ingeniariaren orduko kostua

| | Kantitatea | Aleko prezioa | Prezio totala |
|--|------------|---------------|---------------|
| Orriak (500 orriko zorroa) | 1 | 2,50 | 2,50 |
| Boligrafoa | 1 | 1,00 | 1,00 |
| Plastikozko platerak (25 plater) | 1 | 1,15 | 1,15 |
| Plastikozko poltsa handiak (16 poltsa) | 6 | 0,90 | 5,40 |
| Plastikozko poltsa txikiak (50 poltsa) | 3 | 0,90 | 2,70 |
| Inprimatzea | 1 | 60,00 | 60,00 |
| GASTU SUNTSIKORRAK (€) | | | 72,75 |

Taula 31. Proiektuaren gastu suntsikorrik

| | Kantitatea | Aleko prezioa | Prezio totala |
|----------------------------------|------------|---------------|----------------|
| GPS+ROVER alokairua | 10 | 185 | 1850,00 |
| Ordenagailua | 5% | 1000 | 50,00 |
| MDT alokairua hilabetea | 5 | 90 | 450,00 |
| Kalkulagailua | 5% | 180 | 9,00 |
| Argazki kamera | 5% | 200 | 10,00 |
| Laborategi alokairua | 8 | 40 | 320,00 |
| GASTU EZ SUNTSIKORRAK (€) | | | 2689,00 |

Taula 32. Proiektuaren gasto ez suntsikorrik

| | Kodea | Formula | Ingenaria |
|---------------------------------------|-------|-------------|------------------|
| Orduko kostua | OK | KoT/LO | 23,21 |
| Lan orduak | h | | 350 |
| LANGILEAGATIKO KOSTUA | LK | OK*h | 8124,72 |
| Jatorduaren prezioa | jp | | 10,00 |
| Jan egunak | je | | 8 |
| Desplazamendu prezioa | dp | | 35,00 |
| Desplazamendu egunak | de | | 18 |
| Jatordua eta desplazamendua | jd | je*jp+de*dp | 710,00 |
| LANGILEAGATIKO KOSTU TOTALA | LKT | LK+jd | 8834,72 |
| Langile kopurua | Ik | | 1 |
| EKIPAMENDUAGATIKO KOSTU TOTALA | cto | LKT*Ik | 8834,72 |
| GASTU SUNTSIKORRAK (€) | | | 72,75 |
| GASTU EZ SUNTSIKORRAK (€) | | | 2689,00 |
| KOSTU TOTALA (€) | | | 11.596,47 |

Taula 33. Proiektuaren kostu totala

| | |
|--------------------------------------|------------------|
| KOSTU TOTALA (€) | 11.596,47 |
| BEZ (%21) | 2435,26 |
| KOSTU TOTALA BEZ-A BARNE | 14.031,72 |
| IRABAZIA (%10) | 1403,17 |
| PROIEKTUAREN KOSTU TOTALA (€) | 15.434,90 |

Taula 34. Proiektuaren kostu totala (bez-a eta irabaziak barne)

12. Bibliografía

- AGENCIA ESTATAL DE METEOROLOGÍA. [sarean]
<http://www.aemet.es/es/portada> [kontsulta: 2014 Abuztua]
- ARTETXE, O. *Draga bat erosteko beharra.* [sarean]
http://www.ereiten.com/blog_view.php?uuid=71&cat=0 [Kontsulta: 2014 Urtarrila]
- AZKUE IBARBIA, I. *Zumaia, izena eta izana.* Zumaiko Udala. ISBN-13: 978-84-923919-4-3
- AZTERKOSTA. *Itsas ingurunea. Itsasoak eta Ozeanoak.* [sarean]
http://www.euskadi.net/contenidos/libro/carpeta_azterkosta2/eu_9368/adjuntos/azterkosta2-2.pdf [Kontsulta: 2014 Urtarrila]
- BERGARAKO UDALA. *Hondartzak.* [sarean]
http://zientzia.net/site_media/pdf/A199_Oo1-40_7.pdf [kontsulta: 2013 Abendua]
- CARBALLO, J. eta HILARIO, A. *Flysch Algorri Medata. Deba eta Zumaia arteko itsasertzeko babesturiko biotopoak.* ISBN: 978-84-614-1681-3
- CARBALLO BERAZADI, J. eta MANTEROLA ISPIZUA, I. *Zumaia oroituz.* Zumaiko Udala
- ESTONBA MINTXERO, M. *Euskal Herriko kostaldea (IV): Hondartzak.* [sarean]
<http://zientzia.net/artikuluak/euskal-herriko-kostaldea-iv-hondartzak/> [Kontsulta: 2014 Abendua]
- EUSKAL METEOROLOGIA AGENTZIA. [sarean]
<http://www.euskalmet.euskadi.net/> [Kontsulta: 2014 Abuztua]
- EUSKALTZAINdia. *Euskal Herriko ibaiak.* [sarean]
http://www.euskaltzaindia.net/dok/arauak/Araua_0166.pdf [Kontsulta: 2014 Urtarrila]

- FLOR G. y FLOR BLANCO G. *Sedimentología de los depósitos arenosos superficiales de la playa de vega (Concejo de Ribadesella, Asturias)*. Revista de la Sociedad Geológica de España 22 (1-2)
- GALARRAGA Aiestaran, A. *Algorri, iragana haitz bihurtua.* [sarean] <http://zientzia.net/artikuluak/algorri-iragana-haitz-bihurtua/> [Kontsulta: 2014 Urtarrila]
- GIPUZKOAKO BATZAR NAGUSIAK. *Ibaia.* [sarean] http://w39ow.gipuzkoa.net/WAS/CORP/DJGPortalWEB/territorio_historico_de_gipuzkoa.jsp?id=0404 [kontsulta: 2013 Abendua]
- GIPUZKOAKO FORU ALDUNDIA. *Urolaren arroa.* [sarean] http://www4.gipuzkoa.net/oohh/web/eus/01_09.asp [Kontsulta: 2014 Urtarrila]
- HILARIO ORÚS, A. *Zumaiako flysch-a gure planetaren historia ulertu eta irakasteko paraje aparta.* [sarean] <http://www.ehu.es/ikastorratza/9 Alea/flysch5.pdf> [kontsulta: 2013 Azaroa]
- LOPETEGI GALARRAGA, A. *Caracterización granulométrica de depósitos litorales actuales en Gipuzkoa: Hondarribia-Getaria.* CKQ Escuela de Cuaternario. ISSN 2174-3703
- LUR HIZTEGI ENTZIKLOPEDIKOA. *Euskal Herri inguruko itsasoaren geografia.* [sarean] http://www.euskara.euskadi.net/r59luredir/es/contenidos/articulo/c04071_eu_d0407001/0407001.html [kontsulta: 2013 Azaroa]
- MEDIANA, R., LOSADA, I., LOSADA M.A. y VIDAL, C. *Variabilidad de los perfiles de playa: forma y distribución granulométrica.* Universidad de Cantabria
- ODRIozOLA OYARBIDE, L. *Zumaia Historia.* Zumaiako Udala. ISBN: 84-923919-1-X
- PARDO PASCUAL, J.E., PALOMAR VAZQUEZ, J.M. Y GARCÍA ASENJO, L. *Determinación de la tendencia evolutiva de un segmento de playa basándose en múltiples levantamientos tridimensionales.* Actas de las VI Jornada de Geomorfología Litoral, Tarragona 2011
- PEREZ, F.P. *Euskadiko Hondartzak.* ADVE. ISBN: 9325-46-2-2

- Red de Vigilancia de la Calidad de las Aguas y del Estado Ambiental de los Ríos de la CAPV, 2001. *Unidad hidrológica: Urola.* [sarean]
http://www.uragentzia.euskadi.net/u81-0003/eu/contenidos/informe_estudio/red_estado_ambiental_rios/eu_red_agua/adjuntos/urola.pdf [Kontsulta: 2014 Otsaila]
- SANJAUME SAUMELL, E. *Las costas valencianas, sedimentología y geomorfología.* Valencia: Universitat de Valéncia, Sección de Geografía, 1985.

ERANSKINAK:

- A. ERPINEN AZALPEN ORRIAK**
- B. TXOSTEN METEOROLOGIKOAK**
- C. PLANOAK**
- D. ARGAZKI BILDUMA**

A. ERPINEN AZALPEN ORRIAK:

- ❖ **Itzurun hondartzako erpina**
- ❖ **Santiago hondartzako erpina**

AZALPEN-ORRIA

ERPINA

Zenbakia: 98

Izena: D.G. COSTAS
RED LOCAL M.M.A.

Behaketa eguna: 2014/01/17

Kalkulu eguna: 2014/01/20



Kokapena: Hondartzaren goialdean aurkitzen da, San Telmo aldea eta erdigunearren arteko lur-muturrean. Hondar-Gain etxebide kaletik irits daiteke lur-mutur horretara hain zuzen.

ERREFERENTZIA-SISTEMA ETRS89

UTM30 KOORDENATUAK

x: 559971.107 m

y: 4794347.039 m

Kota: 40.833 m

Eskala faktorea:
0.99964424

Konbergentzia:
0.5634 gon

KOORDENATU GEODESIKOAK

Longitudea:
-2º 15' 38.27820''

Latitudea:
43º 17' 58.42770''

Altura elipsoidala:
89.449 m

KOORD. CARTESIAR GEOZENTRIKOAK

X: 4645639.496 m

Y: -183391.138 m

Z: 4351843.238 m



AZALPEN-ORRIA

ERPINA

Zenbakia: 01

Izena: Santiago basea



Behaketa eguna: 2014/01/17

Kalkulu eguna: 2014/01/20

Kokapena: Zumaiatik Getaria bitarteko errepidean (N-634) aurkitzen den tunelaren atzealdean aurkitzen da.

ERREFERENTZIA-SISTEMA ETRS89

UTM30 KOORDENATUAK

x: 561185.509 m

y: 4794616.361 m

Kota: 9.229 m

Eskala faktorea:
0.99964605

Konbergentzia:
0.5749 gon

KOORDENATU GEODESIKOAK

Longitudea:
-2º 14'44.27552''

Latitudea:
43º 18'6.80553''

Altura elipsoidala:
57.814 m

KOORD. CARTESIAR GEOZENTRIKOAK

X: 4645487.162 m

Y: -182166.996 m

Z: 4352009.705 m



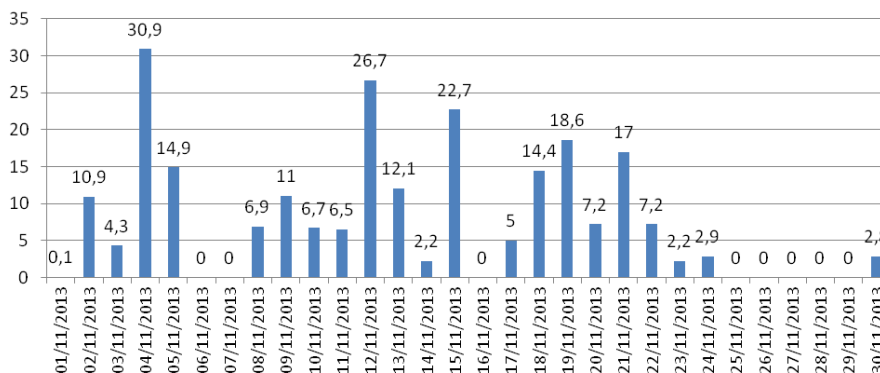
B. TXOSTEN METEOROLOGIKOAK:

- ❖ Azaroa 2013
- ❖ Abendua 2013
- ❖ Urtarrila 2014
- ❖ Otsaila 2014
- ❖ Martxoa 2014
- ❖ Apirila 2014
- ❖ Maiatza 2014

Euskalmet (euskal meteorologia agentzia) web orritik eskuratu dira datuak. Prezipitazio eta haizearen datuak Zarautzko behatokian jasotakoak dira eta olatuen informazioa Pasaian.

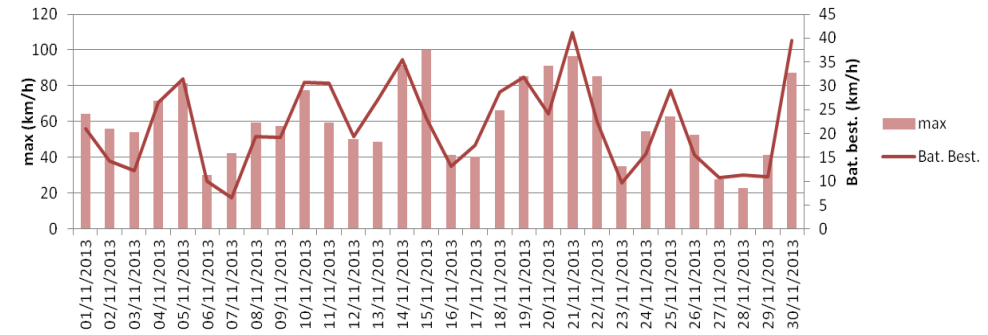
AZAROA 2013

PREZIPITAZIOA (l/m²)



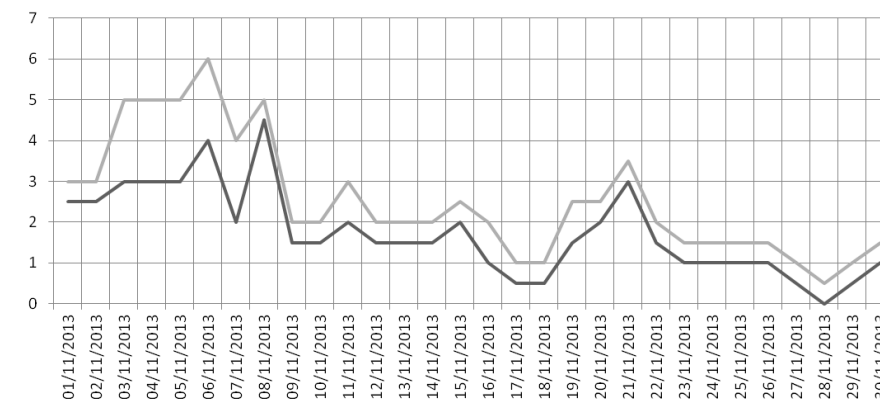
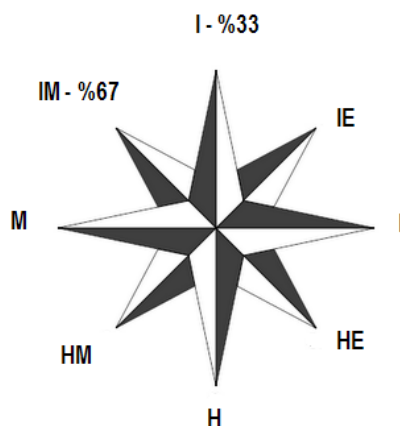
Grafikoa E1. Prezipitazioa Zarautzen (Azaroa 2013)

HAIZEA (km/h)



Grafikoa E2. Haizea Zarautzen (Azaroa 2013)

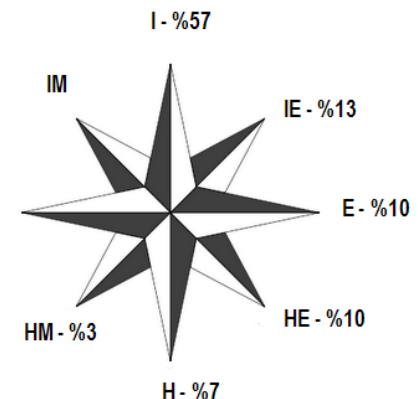
OLATUEN JOKABIDEA



Grafikoa E3. Olatuen jokabidea (Azaroa 2013)

OLATUA (m)

HAIZEAREN NORABIDEA

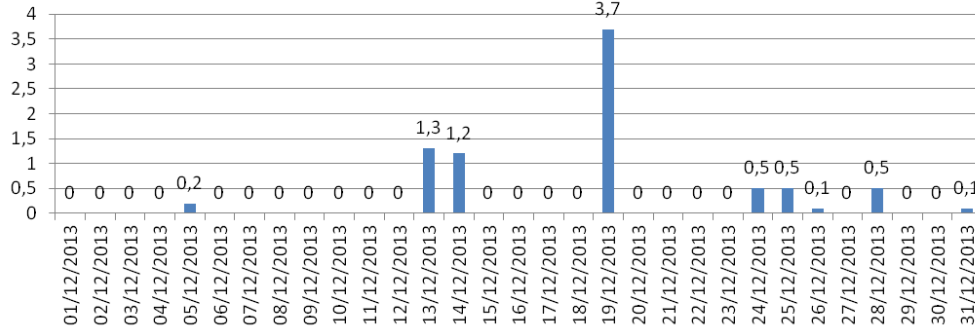


Grafikoa E5. Haizearen norabidea (Azaroa 2013)

Grafikoa E4. Olatuen altuera (Azaroa 2013)

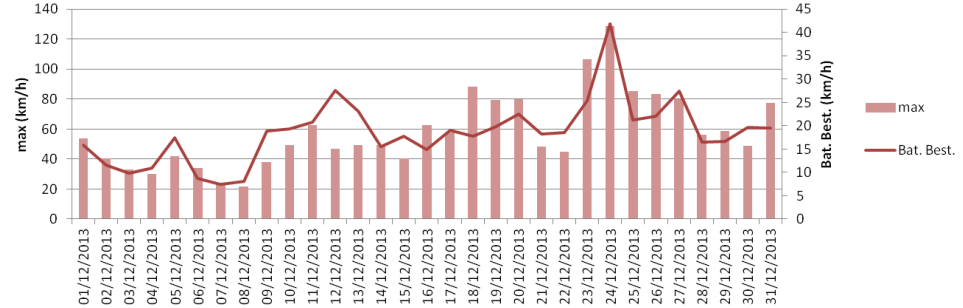
ABENDUA 2013

PREZIPITAZIOA (l/m²)



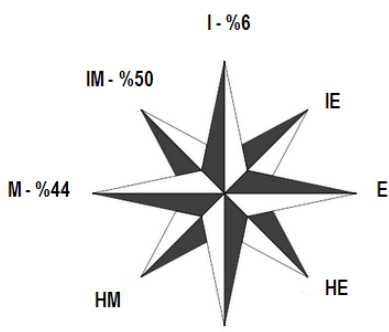
Grafikoa E6. Prezipitazioa Zarautzen (Abendua 2013)

HAIZEA (km/h)



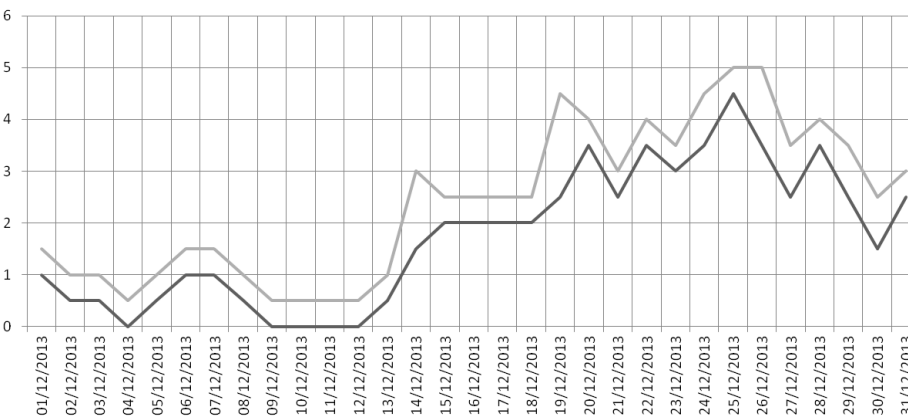
Grafikoa E7. Haizea Zarautzen (Abendua 2013)

OLATUEN JOKABIDEA



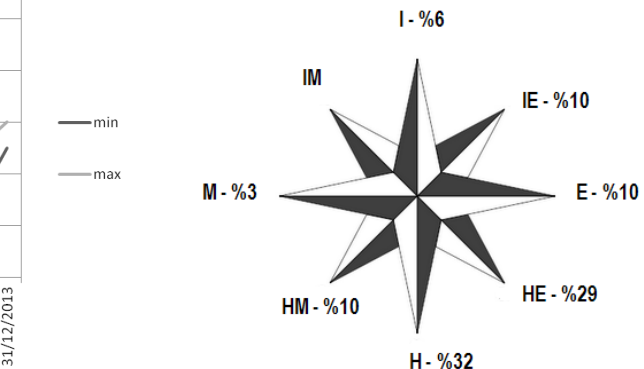
Grafikoa E8. Olatuen jokabidea (Abendua 2013)

OLATUA (m)



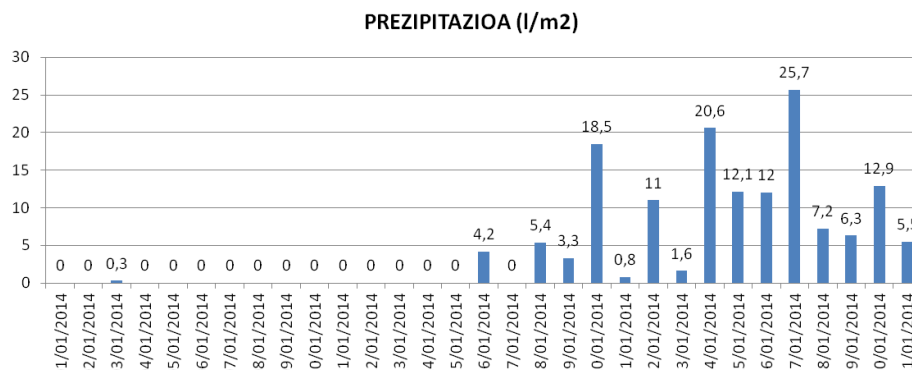
Grafikoa E9. Olatuen altuera (Abendua 2013)

HAIZEAREN NORABIDEA

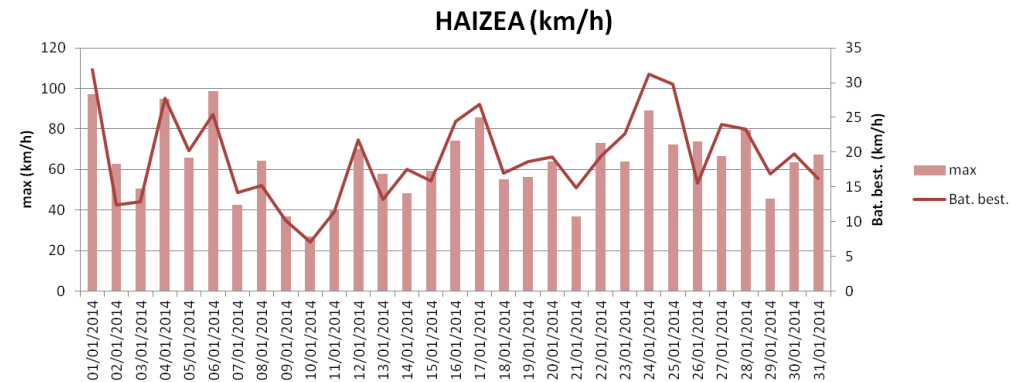


Grafikoa E10. Haizearen norabidea (Abendua 2013)

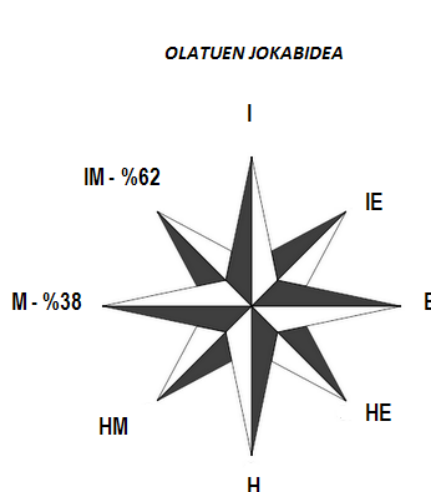
URTARRILA 2014



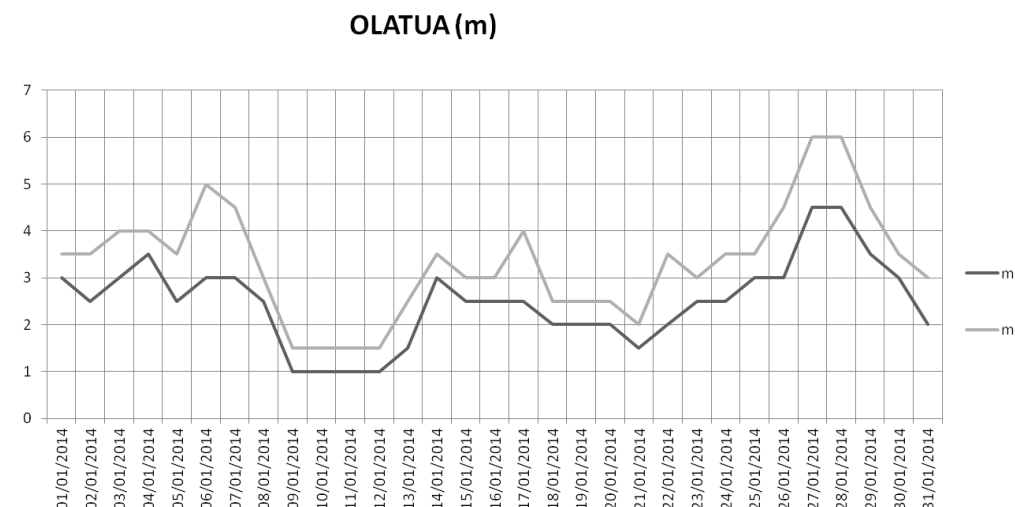
Grafikoa E11. Prezipitazioa Zarautzen (Urtarrila 2014)



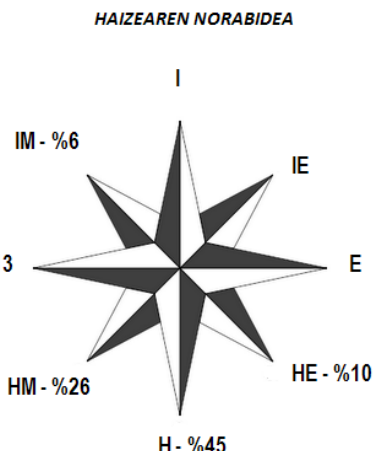
Grafikoa E12. Haizea Zarautzen (Urtarrila 2014)



Grafikoa E13. Olatuen jokabidea (Urtarrila 2014)

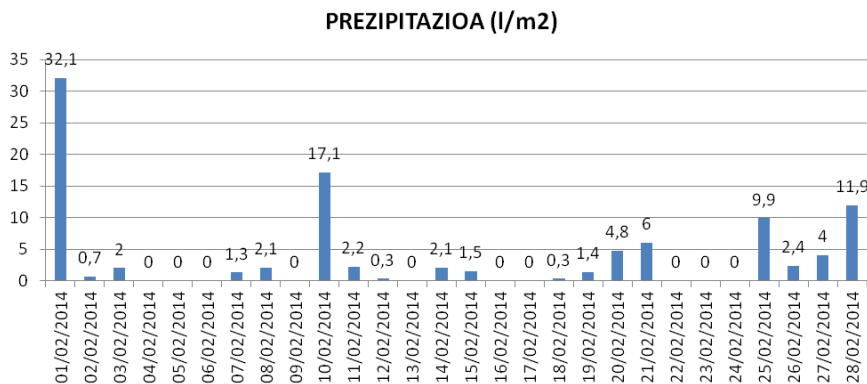


Grafikoa E14. Olatuen altuera (Urtarrila 2014)

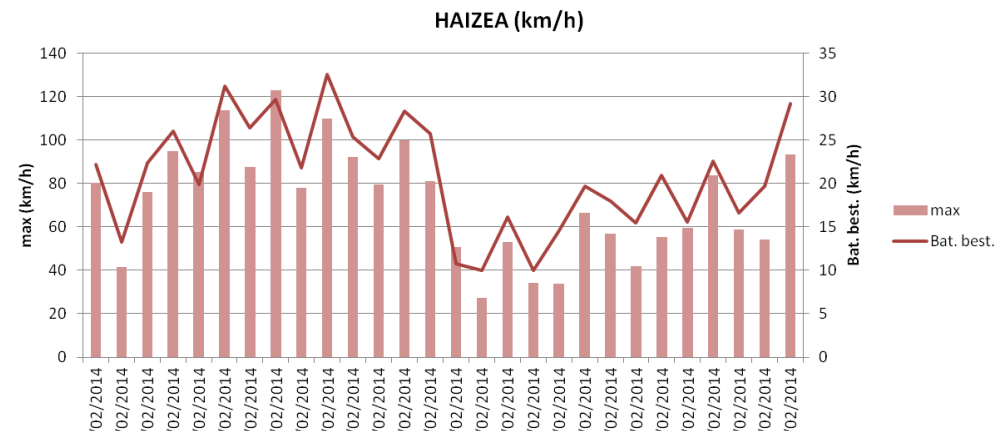


Grafikoa E15. Haizearen norabidea (Urtarrila 2014)

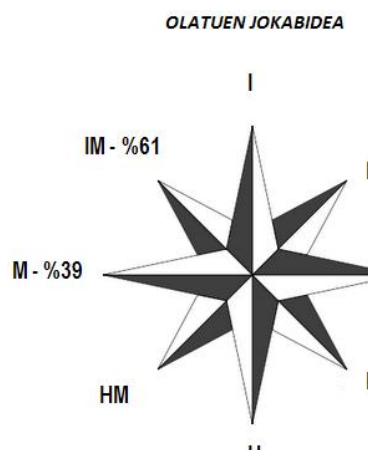
OTSAILA 2014



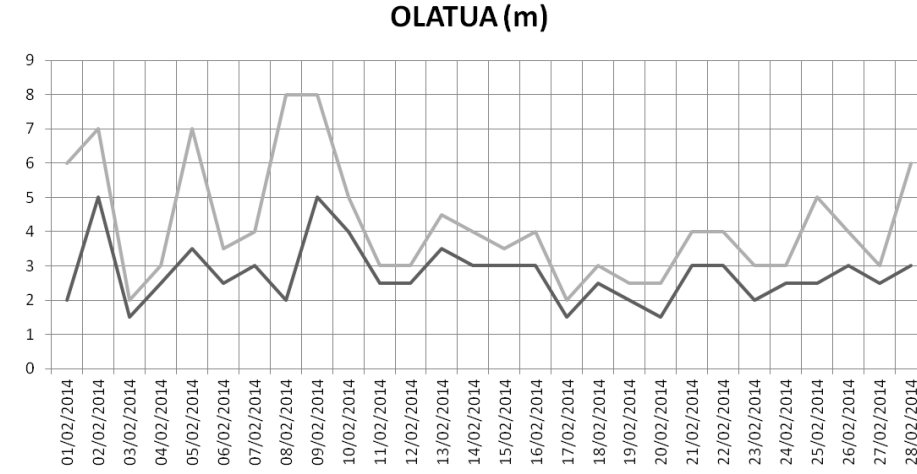
Grafikoa E16. Prezipitazioa Zarautzen (Otsaila 2014)



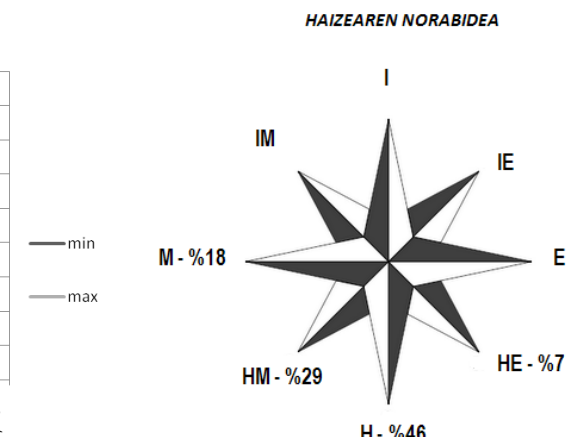
Grafikoa E17. Haizea Zarautzen (Otsaila 2014)



Grafikoa E18. Olatuen jokabidea (Otsaila 2014)

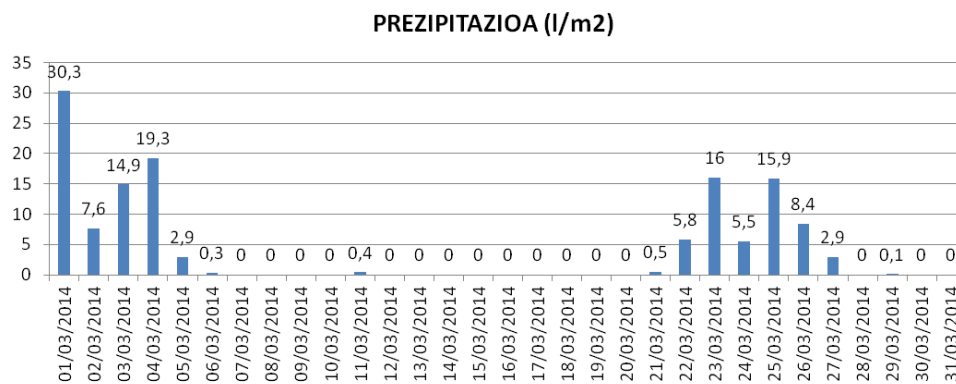


Grafikoa E19. Olatuen altuera (Otsaila 2014)

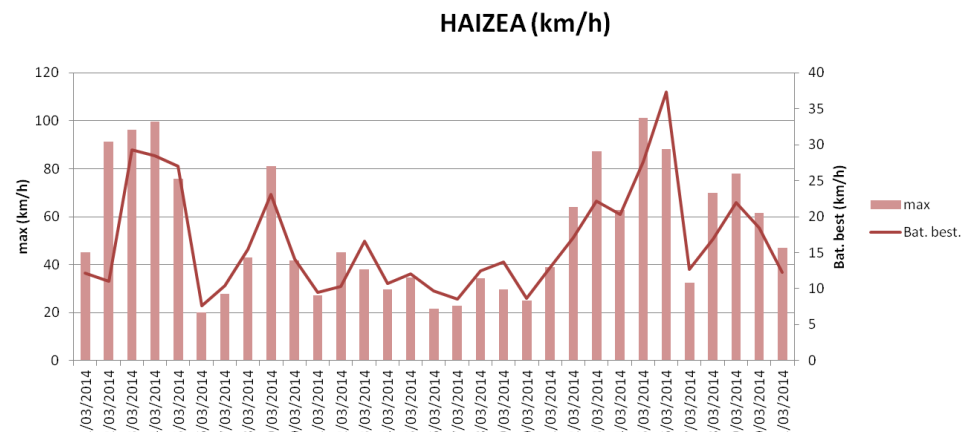


Grafikoa E20. Haizearen norabidea (Otsaila 2014)

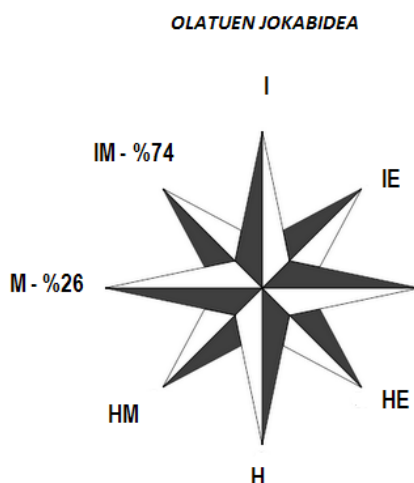
MARTXOA 2014



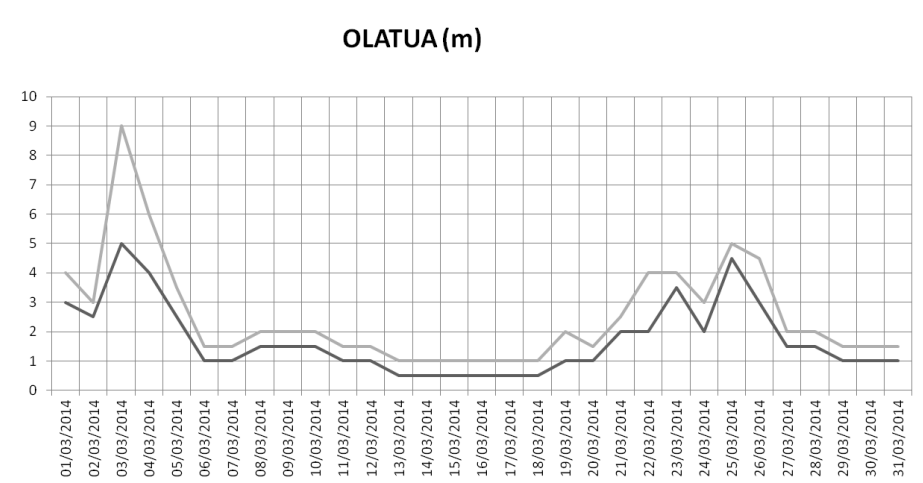
Grafikoa E21. Prezipitazioa Zarautzen (Martxoan 2014)



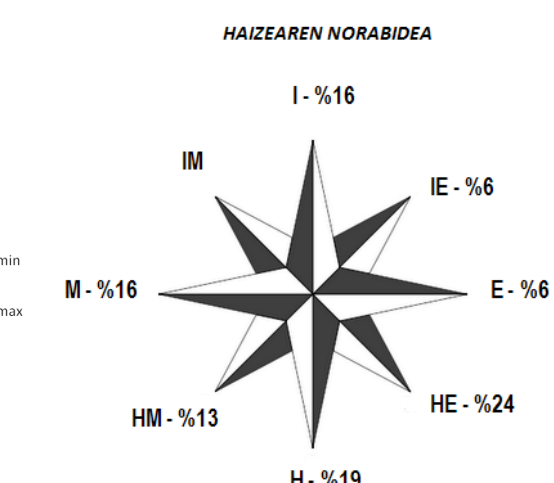
Grafikoa E22. Haizea Zarautzen (Martxoan 2014)



Grafikoa E23. Olatuen jokabidea (Martxoan 2014)



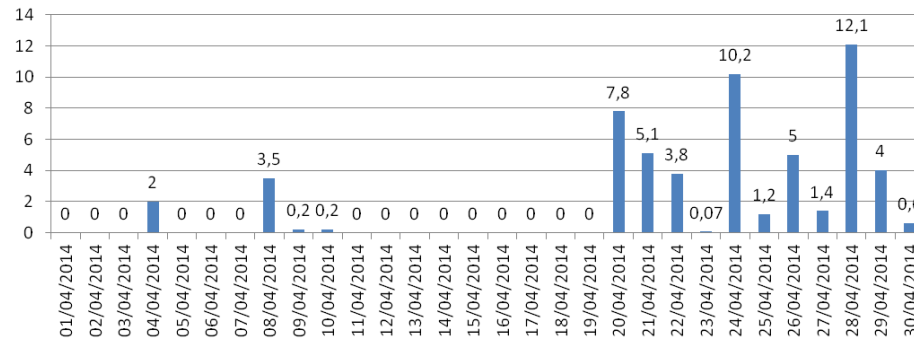
Grafikoa E24. Olatuen altuera (Martxoan 2014)



Grafikoa E25. Haizearen norabidea (Martxoan 2014)

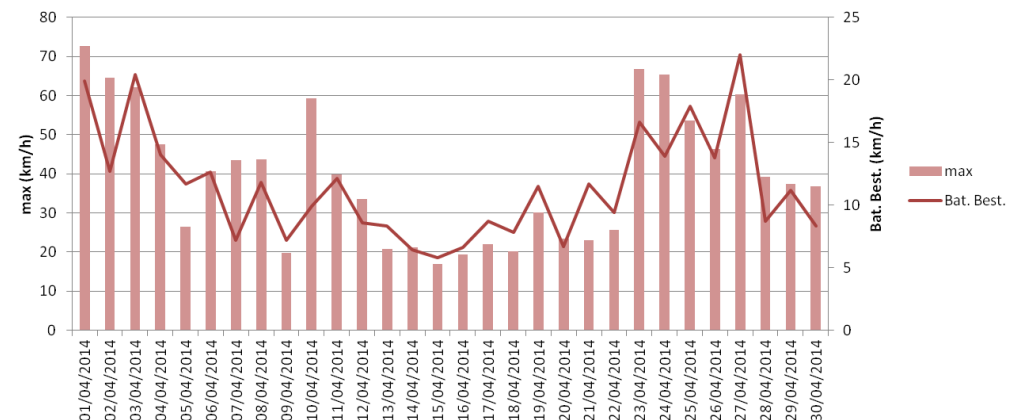
APIRILA 2014

PREZIPITAZIOA (l/m²)



Grafikoa E26. Prezipitazioa Zarautzen (Apirila 2014)

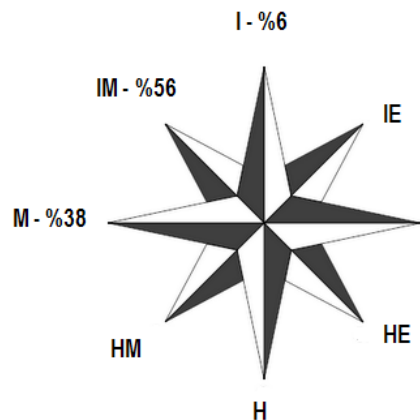
HAIZEA (km/h)



Grafikoa E27. Haizea Zarautzen (Apirila 2014)

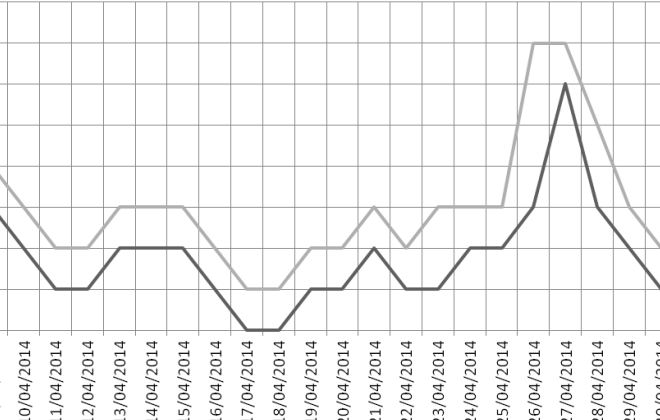
OLATUA (m)

OLATUEN JOKABIDEA

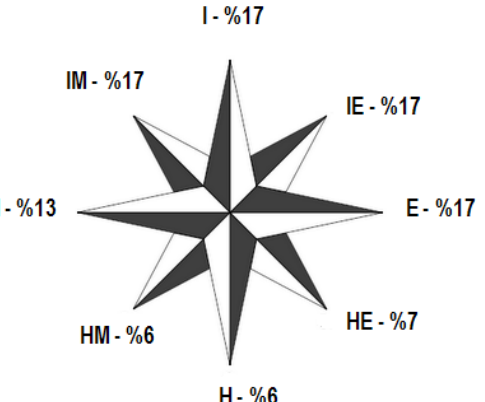


Grafikoa E28. Olatuen jokabidea (Apirila 2014)

Grafikoa E29. Olatuen altuera (Apirila 2014)

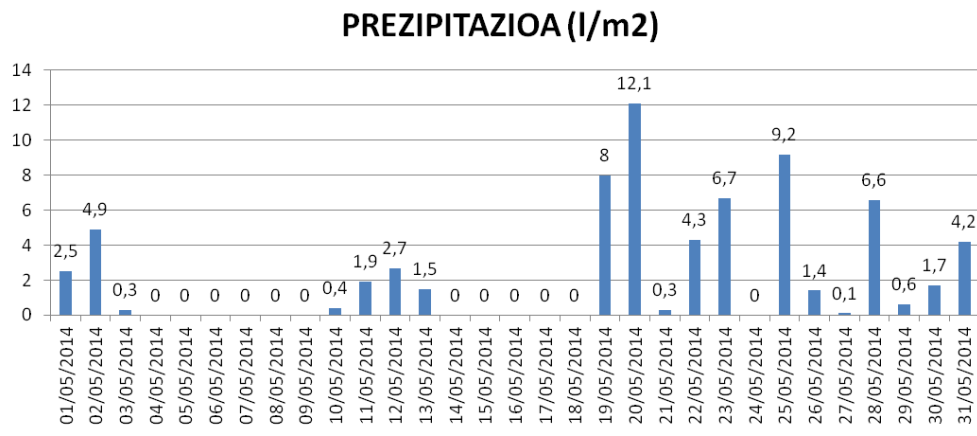


HAIZEAREN NORABIDEA

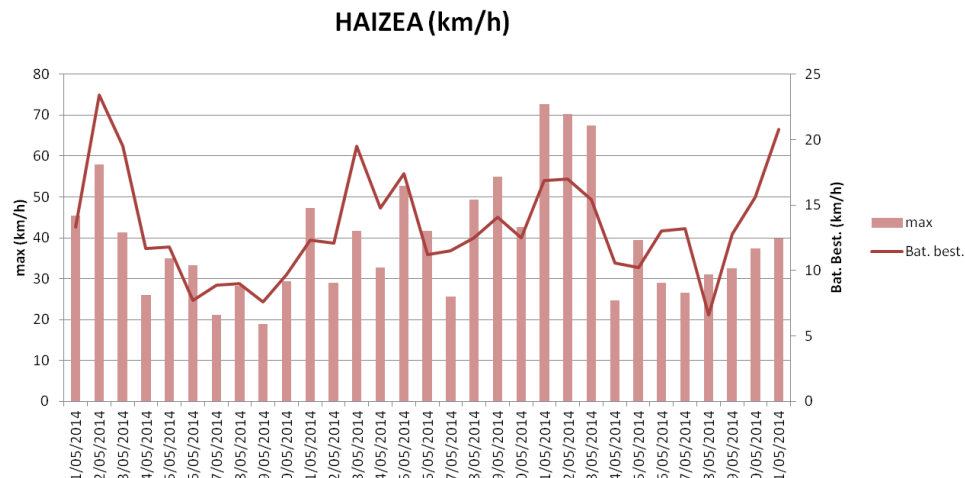


Grafikoa E30. Haizearen norabidea (Apirila 2014)

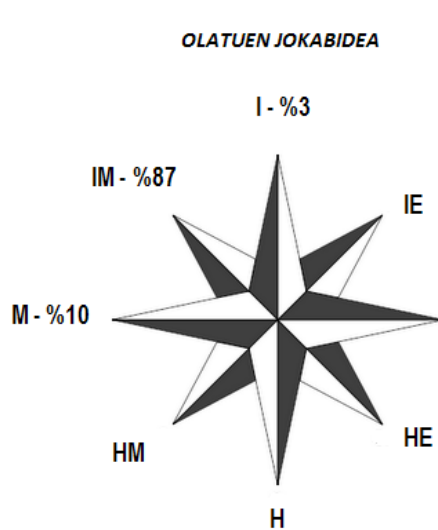
MAIATZA 2014



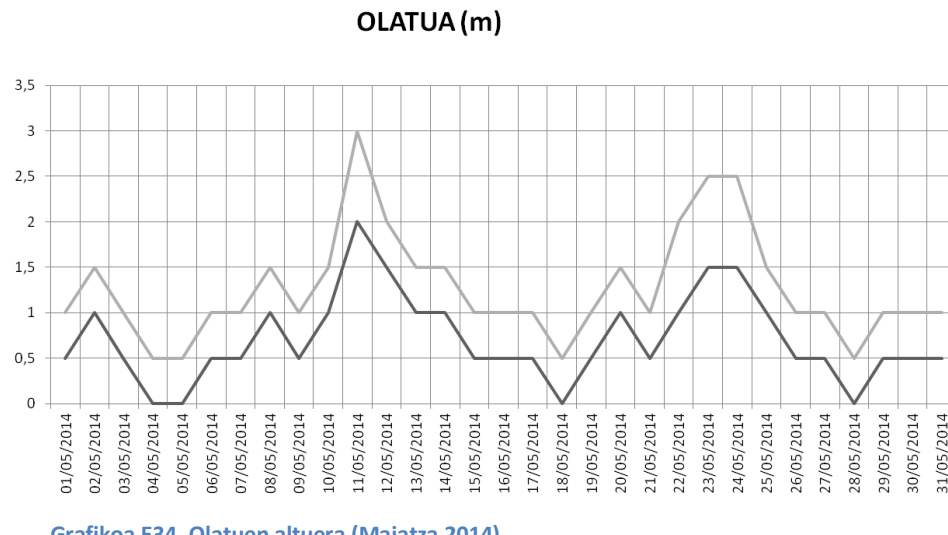
Grafikoa E31. Prezipitazioa Zarautzen (Maiatza 2014)



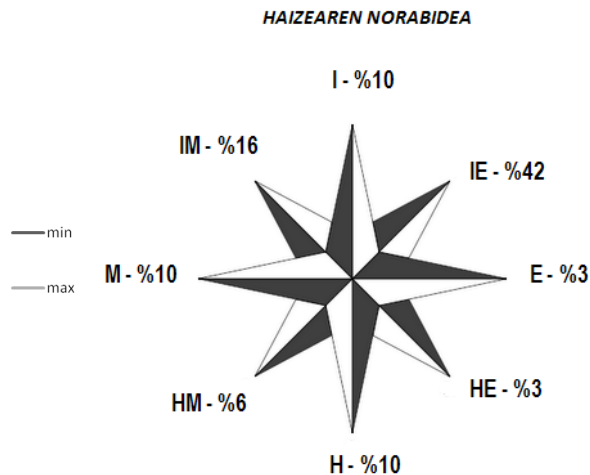
Grafikoa E32. Haizea Zarautzen (Maiatza 2014)



Grafikoa E33. Olatuen jokabidea (Maiatza 2014)



Grafikoa E34. Olatuen altuera (Maiatz 2014)



Grafikoa E35. Haizearen norabidea (Maiatz 2014)

C. PLANOAK:

- ❖ 01 Itzurun hondartzako bolumen differentziien kotak
[2013/11/01 - 2013/12/08]
- ❖ 02 Itzurun hondartzako bolumen differentziak
[2013/11/01 - 2013/12/08]
- ❖ 03 Santiago hondartzako bolumen differentziien kotak
[2013/11/02 - 2013/12/07]
- ❖ 04 Santiago hondartzako bolumen differentziak
[2013/11/02 - 2013/12/07]
- ❖ 05 Itzurun hondartzako bolumen differentziien kotak
[2013/12/08 - 2014/01/17]
- ❖ 06 Itzurun hondartzako bolumen differentziak
[2013/12/08 - 2014/01/17]
- ❖ 07 Santiago hondartzako bolumen differentziien kotak
[2013/12/07 - 2014/01/18]

- ❖ 08 Santiago hondartzako bolumen differentziak
[2013/12/07 - 2014/01/18]
- ❖ 09 Itzurun hondartzako bolumen differentziien kotak
[2014/01/17 - 2014/02/16]
- ❖ 10 Itzurun hondartzako bolumen differentziak
[2014/01/17 - 2014/02/16]
- ❖ 11 Santiago hondartzako bolumen differentziien kotak
[2014/01/18 - 2014/02/17]
- ❖ 12 Santiago hondartzako bolumen differentziak
[2014/01/18 - 2014/02/17]
- ❖ 13 Itzurun hondartzako bolumen differentziien kotak
[2014/02/16 - 2014/05/15]
- ❖ 14 Itzurun hondartzako bolumen differentziak
[2014/02/16 - 2014/05/15]
- ❖ 15 Santiago hondartzako bolumen differentziien kotak
[2014/02/17 - 2014/05/14]
- ❖ 16 Santiago hondartzako bolumen differentziak
[2014/02/17 - 2014/05/14]
- ❖ 17 Santiago hondartzako luzetarako profil simpleak (Mendebaldea)
- ❖ 18 Santiago hondartzako luzetarako profil simpleak (Zentroa)
- ❖ 19 Santiago hondartzako luzetarako profil simpleak (Ekialdea)
- ❖ 20 Itzurun hondartzako luzetarako profil simpleak (Mendebaldea)
- ❖ 21 Itzurun hondartzako luzetarako profil simpleak (Zentroa)
- ❖ 22 Itzurun hondartzako luzetarako profil simpleak (Ekialdea)

PLANOAK APARTEKO KARPETAN DAUDE

D. ARGAZKI BILDUMA:



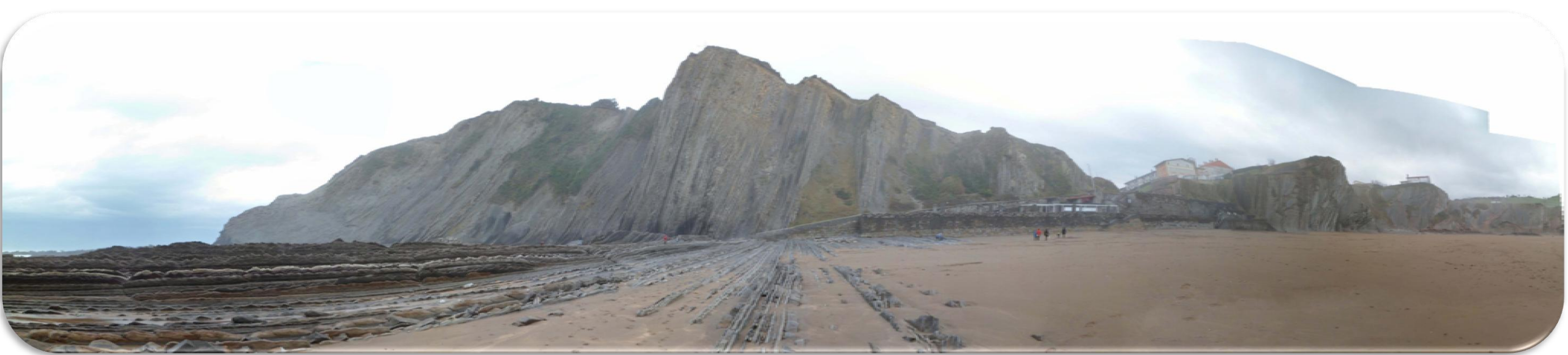
Irudia E1. Itzurun hondartza



Irudia E2. Itzurun hondartza [2013/09/13]



Irudia E3. Itzurun hondartzaren mendebaldea [2013/12/06]



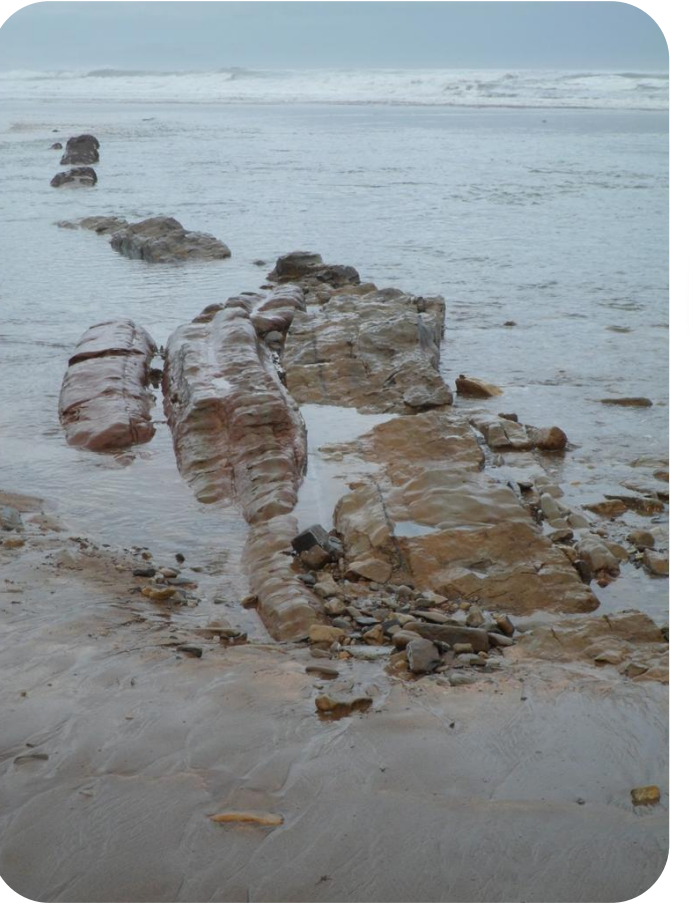
Irudia E4. Itzurun hondartzaren ekialdea [2014/01/03]



Irudia E5. Itzurun hondartzaren ekialdea [2014/01/03]



Irudia E6. Itzurun hondartzaren zentroa [2014/01/03]



Irudia E7. Itzurun hondartza mendebaldea [2013-01-03]





Irudia E8. Itzurun hondartza [2014/01/05]



Irudia E9. Itzurun hondartza [2014/01/10]



Irudia E10. Itzurun hondartza [2014/02/01]



Irudia E11. Itzurun hondartza [2014/01/10]





Irudia E12. Itzurun hondartzaren mendebaldea [2014/02/01]



Irudia E13. Itzurun hondartza [2014/02/02]



Irudia E14. Itzurun hondartza [2014/02/02]



Irudia E15. Itzurun hondartza [2014/02/08]

Irudia E16. Itzurun hondartza;
denboralearen ondorioak [2014/02/08]





Irudia E17. Itzurun hondartzaren mendebaldea [2014/02/15]





Irudia E18. Itzurun hondartza, mendebaldeko itsaslabarrak. Baleike aldizkaria [2014/03/03]



Irudia E19. Itzurun hondartza. Baleike aldizkaria [2014/03/03]



Irudia E20. Itzurun hondartza [2014/03/06]



Irudia E21. Itzurun hondartzaren zentroa [2014/03/06]



Irudia E22. Itzurun hondartzaren ekialdea [2014/05/16]



Irudia E23. Itzurun hondartza [2014/05/16]



Irudia E23. Itzurun hondartza [2014/02/02]

Irudia E24. Itzurun hondartzaren mendebaldea [2014/02/02]

Irudia E24. Itzurun hondartzaren mendebaldea [2014/05/16]



Irudia E25. Santiago hondartza eta Urola ibaiaren bokala [2014/01/10]



Irudia E26. Santiago hondartza [2013/01/17]



Irudia E27. Santiago hondartza [2014/03/13]



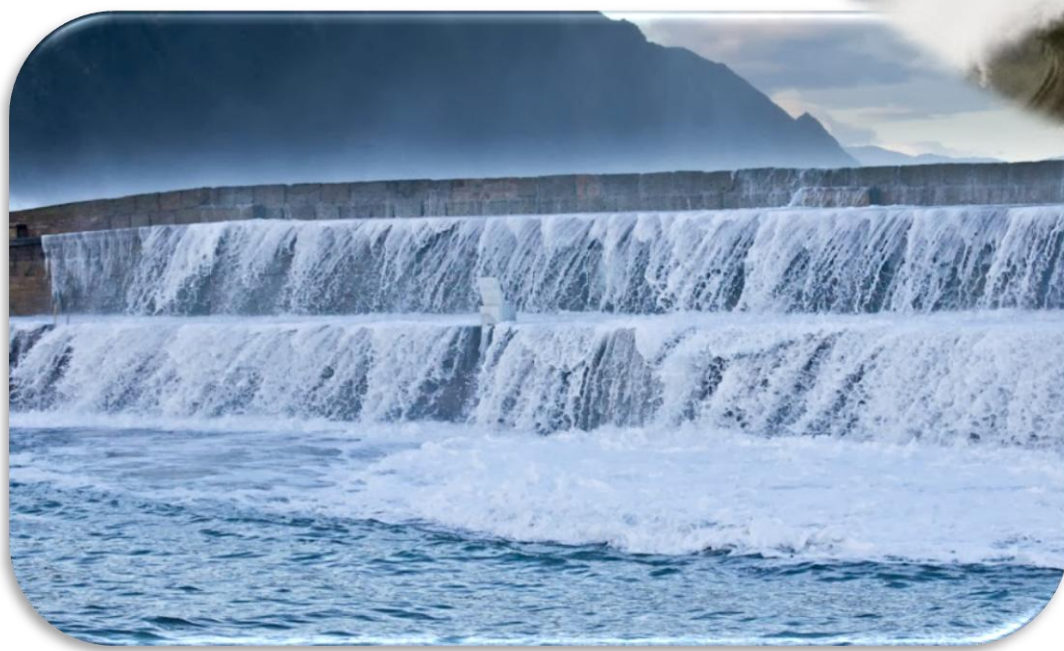
*Irudia E28. Santiago hondartzatik aterata, N-634 errepidea.
Baleike aldizkaria [2014/01/08]*



*Irudia E29. Santiago hondartzatik aterata, itsaso zakarra. Baleike
aldizkaria [2014/01/08]*



*Irudia E30. Santiago hondartzaren mendebaldea.
Baleike aldizkaria [2014/01/08]*



Irudia E31. Kai-muturra. Baleike aldizkaria [2014/01/08]



Irudia E32. Kai-muturra. Baleike aldizkaria [2014/01/08]



Irudia E33. Kai-muturra [2014/02/02]





Irudia E34. Santiago hondartzatik aterata, N-634 errepidea. Baleike aldizkaria [2014/03/03]



Irudia E35. Santiago hondartzza. Baleike aldizkaria [2014/03/03]



Irudia E36. Kai-muturra. Baleike aldizkaria [2014/01/28]



Irudia E37. Kai-muturra. Baleike aldizkaria [2014/03/03]



Irudia E38. Kai-muturra. Baleike aldizkaria [2014/01/28]



Irudia E39. Kai-muturra. Baleike aldizkaria [2014/01/28]



Irudia E40. Kai-muturra. Baleike aldizkaria [2014/03/03]



Irudia E41. Dikea. Baleike aldizkaria [2014/01/28]



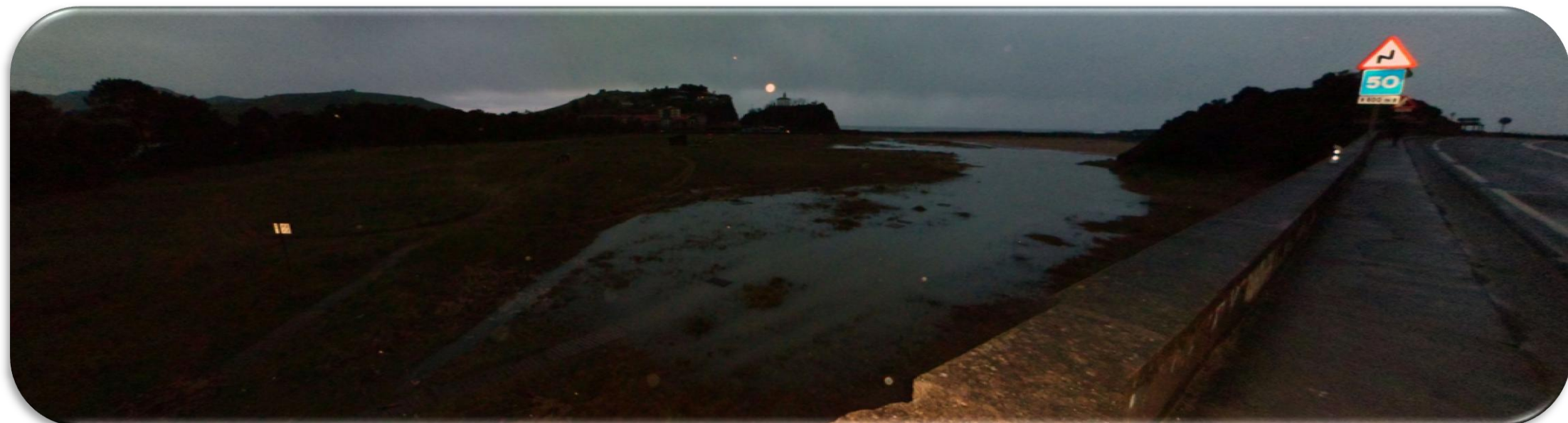
Irudia E42. Urola ibaia [2014/03/03]



Irudia E43. Santiago hondartza [2014/03/13]



Irudia E44. Santiago hondartzaren goialdean sortutako putzua denboralearen ondorioz [2014/02/02]



Irudia E45. Santiago hondartzaren goialdean sortutako putzua denboralearen ondorioz [2014/02/02]



Irudia E46. Urola ibaiaren alboko pasealekuaren sortutako kalteak [2014/02/02]



Irudia E47. Itsasoak ekarritako hondakinak [2014/02/02]



Irudia E48. Kai-muturrean sortutako kalteak [2014/01/10]



Irudia E49. Kai-muturrean sortutako kaltea [2014/02/02]



Irudia E50. Garabia uretara erorita [2014/02/02]



Irudia E51. Kai-muturrean sortutako kaltea [2014/01/10]



Irudia E52. Santiago hondartza [2014/05/16]



Irudia E53. Kai-muturrak [2014/05/16]



Irudia E54. Santiago hondartzan sortutako malda [2014/05/16]